



Materiály pre mechatroniku

www.fm.tuni.sk

Pre študijné zameranie:

Mechatronika a Mechatronika cestných motorových vozidiel

doc. Ing. Dušan Maga, PhD.

Literatúra



- Maga – Faitová: Materiály pre mechatroniku, FM TnUAD
- Faitová – Maga: Vlastnosti materiálov a ich skúšanie, FM TnUAD
- Benda – Hanajíková: Základy elektrotechniky, Alfa Bratislava 1984
- Pokluda – Kroupa – Obdržálek: Mechanické vlastnosti a struktura pevných látok – kovy – keramika – plasty, VÚT Brno 1994,
ISBN 80-214-0575-9,
- Formánek – Mikloš – Poljak: Materiály a technológie II, Alfa Bratislava 1986
- Puškár – Michel’ – Pulc: Náuka o materiáli 1, Alfa Bratislava

Program prednášok



- Úvod
- Polovodiče
- Izolanty
- Štruktúra pevných látok
- Vlastnosti kovov a ich zliatin
- Keramika,
- Plasty
- Skúšanie materiálov
- ...

Podmienky pre „skúšku“



- Zápočet (podmienky udelenia zápočtu upresnia cvičiaci),
- Absolvovanie dvoch testov počas semestra,
- Zúčastnenie sa na hodnotení kvality pedagogického procesu,
- Ďalšie podmienky, okruhy tém, postup absolvovania na: www.fm.tnuni.sk, resp. yhman.tnuni.sk/~maga

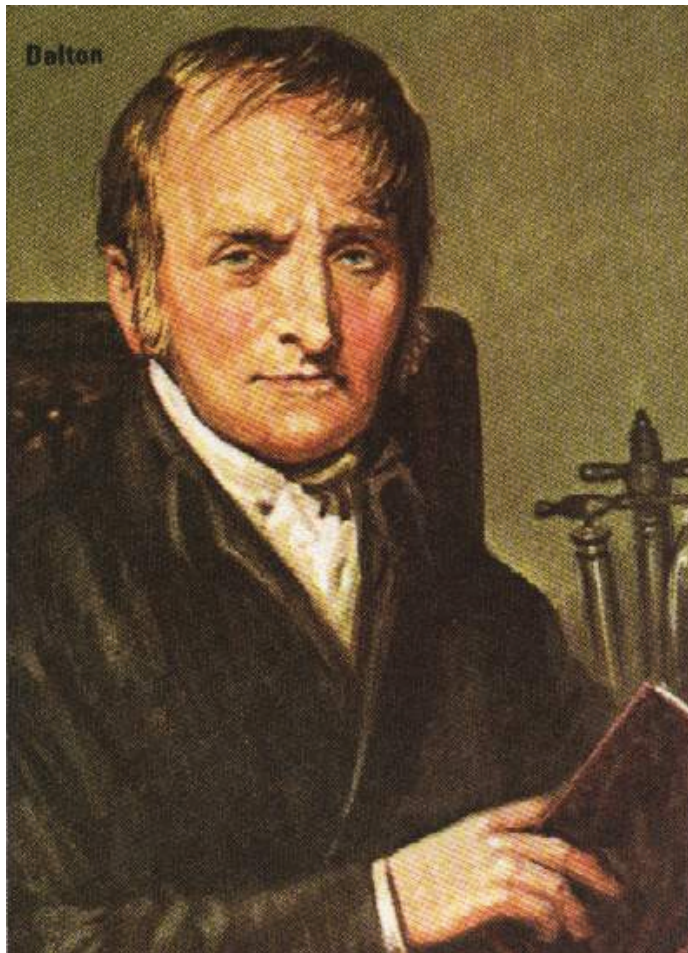
Program cvičení



- Elektrické – väčšinou polovodiče
- Mechanické – skúšky materiálov a pod.

Podrobnejšie upresnia cvičiaci,
Podmienky získania zápočtu: upresnia
cvičiaci

ÚVOD – Stavba atómu

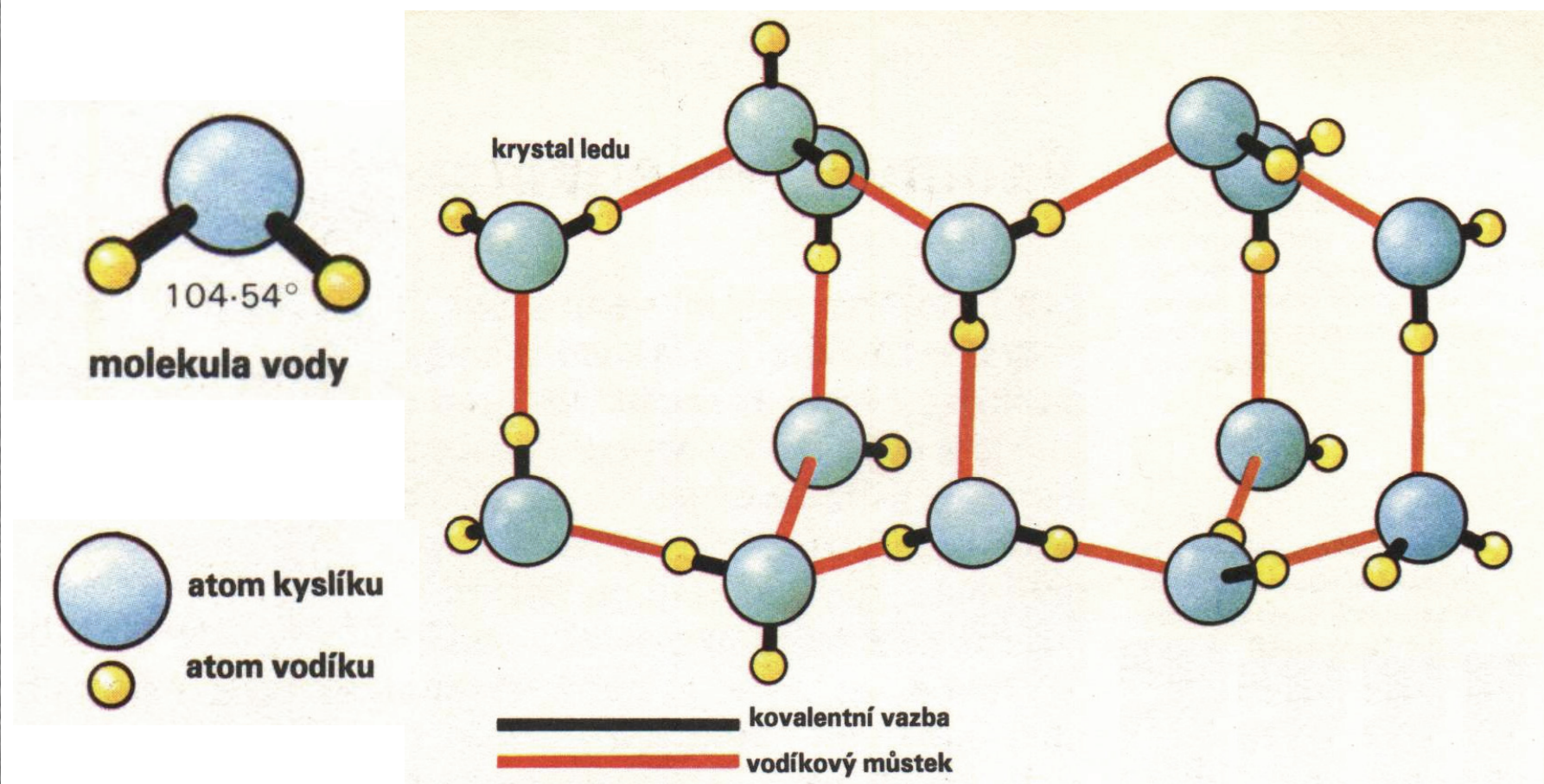


John Dalton 1766 - 1844

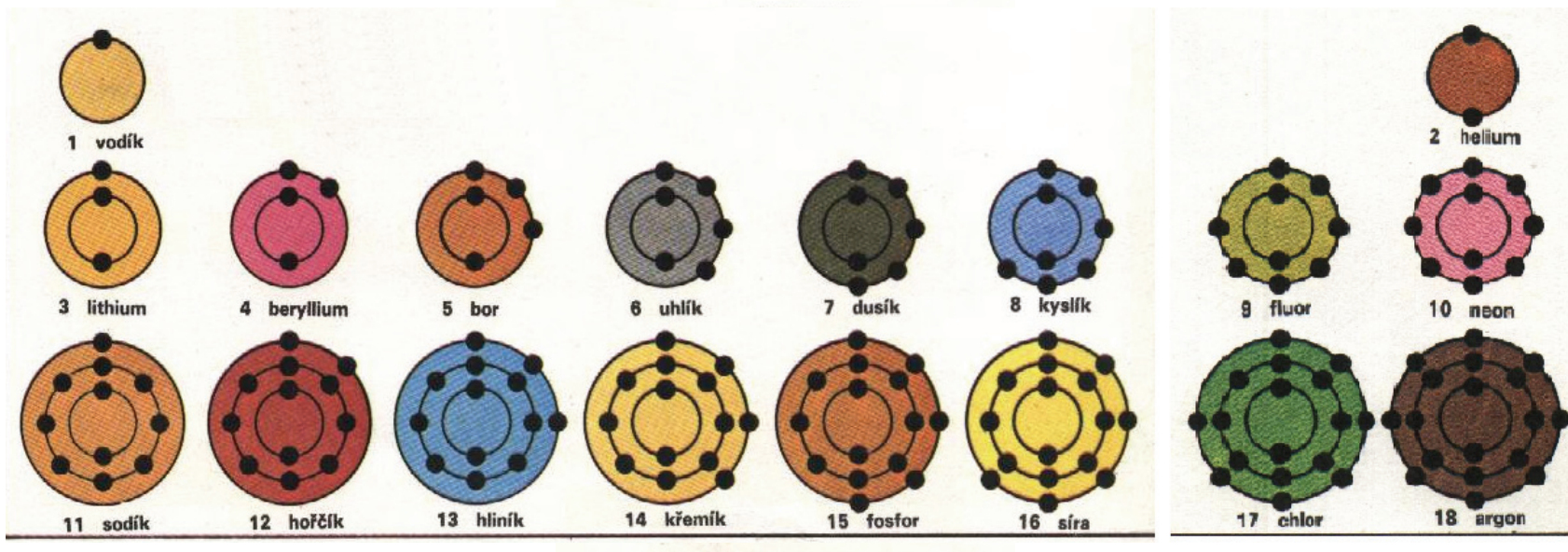
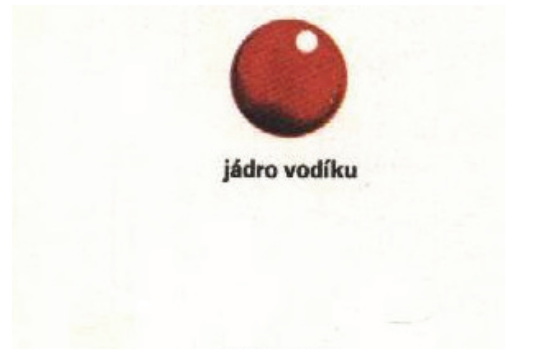
ELEMENTS		
Hydrogen	1	Strontian
Azote	.5	Barytes
Carbon	.5	Iron
Oxygen	7	Zinc
Phosphorus	9	Copper
Sulphur	13	Lead
Magnesia	20	Silver
Lime	24	Gold
Soda	28	Platina
Potash	42	Mercury

ÚVOD – Stavba atómu

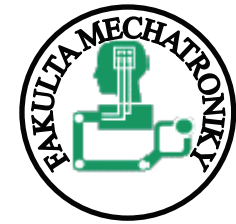
- John Dalton + Robert Brown (škótsky botanik) = základy atómovej teórie (atomy, molekuly)



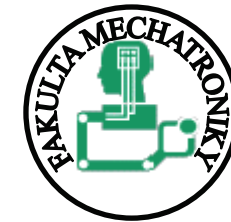
ÚVOD – Stavba atómu



ÚVOD – Stavba atómu

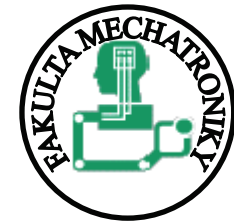


ÚVOD



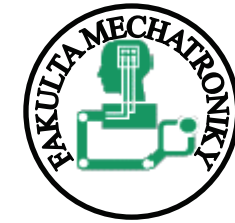
- 3 skupenstvá:
 - pevné $10^{22} – 10^{23}$ atómov na 1 cm^3
 - kvapalné $10^{22} – 10^{23}$ atómov na 1 cm^3
 - plynné 10^{19} atómov na 1 cm^3
 - (plazma)
- (ďalej len látky pevné!)

ÚVOD



- delenie podľa:
 - chémie:
 - organické
 - anorganické
 - fyziky:
 - kryštalické
 - amorfné
 - iné oblasti vedy a výskumu...

1 Polovodiče

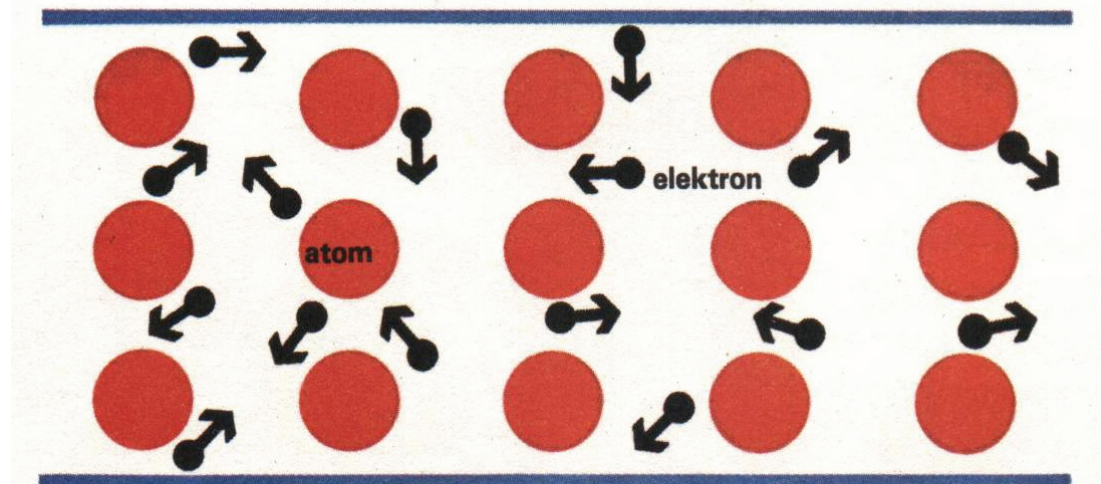
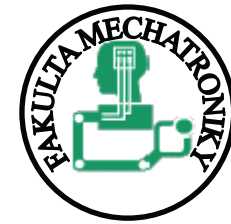


1.1 Úvod

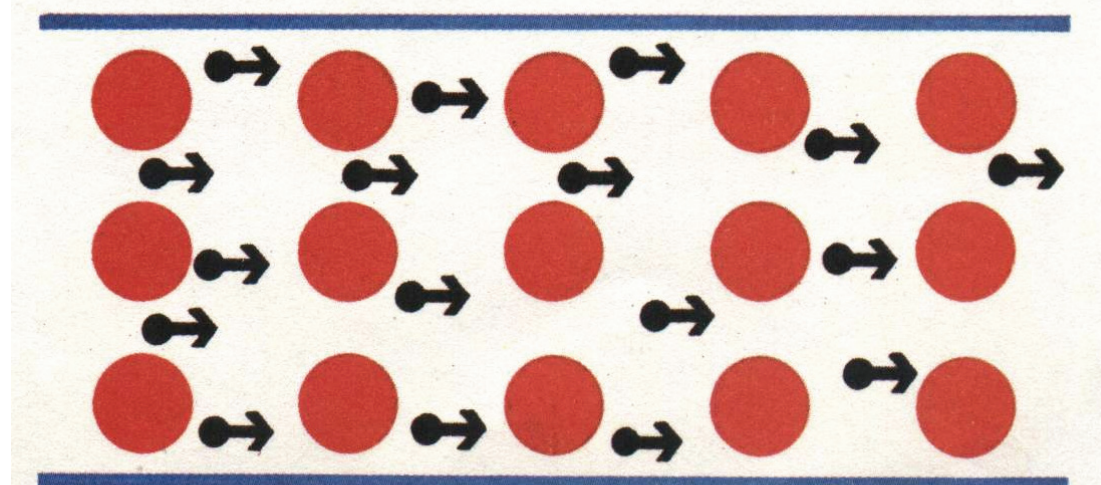
1.2 Polovodivé materiály

1.3 Technológie výroby

1.1 Úvod

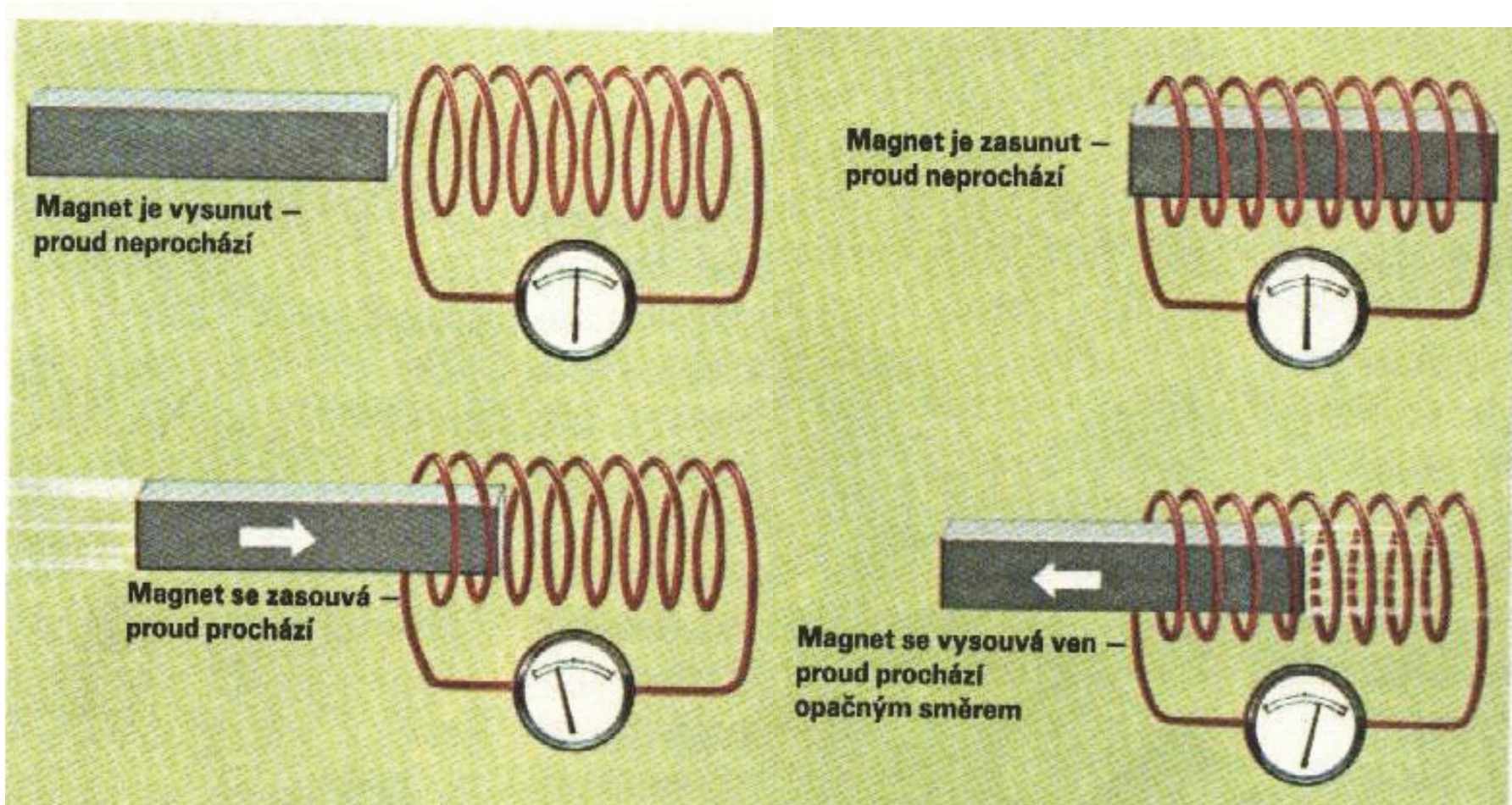


Elektrony se pohybují neuspořádaně – proud neprotéká



Elektrony se pohybují stejným směrem – proud protéká

1.1 Úvod





1.1 Úvod

Elektrický náboj → elektrón (obalová časť atómov)

$e = -1,602 \cdot 10^{-19}$ C (Coulomb) = A.s

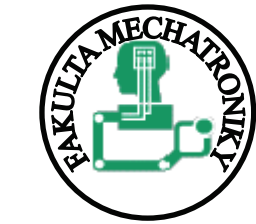
$m_0 = 9,109 \cdot 10^{-31}$ kg (pokojová hmotnosť')

1730 Duffay (správca francúzskej kráľovskej botanickej záhrady) objavil 2 druhy elektriny:

trenie skla (kladná)

trenie jantáru (záporná)

Jantár má rovnakú polaritu ako elektrón → elektrón je záporný → (jantár = elektrón po grécky)



1.1 Úvod

Elektrický prúd:

$$I = \Delta Q / \Delta t$$

Náboj, ktorý určitým prierezom prejde za jednotku času. Fyzikálne kladný zmysel prúdu → smer pohybu kladných nábojov



1.1 Úvod

Vo vákuu → prúd 1 A → cez prierez prejde každú sekundu $1/1,602 \cdot 10^{-19} = 6,24 \cdot 10^{18}$ elektrónov

Vodiče: obsahujú slabo viazané elektróny, ktoré sa môžu voľne pohybovať → elektrónový plyn. Tieto sa nazývajú vodivostné.

Sú to hlavne kovy → med' → $8,5 \cdot 10^{22}$ vodivostných elektrónov na m^3 .



1.1 Úvod

Merná vodivosť (konduktivita) σ :

konštanta úmernosti medzi prúdovou hustotou a intenzitou elektrického pola:

$$\vec{J} = \sigma \cdot \vec{E}$$

$$[\sigma] = \frac{[J]}{[E]} = \frac{A/m^2}{V/m} = \frac{A}{V \cdot m} = S \cdot m^{-1}$$



1.1 Úvod

Merný elektrický odpor:

$$\frac{1}{\sigma} = \rho$$

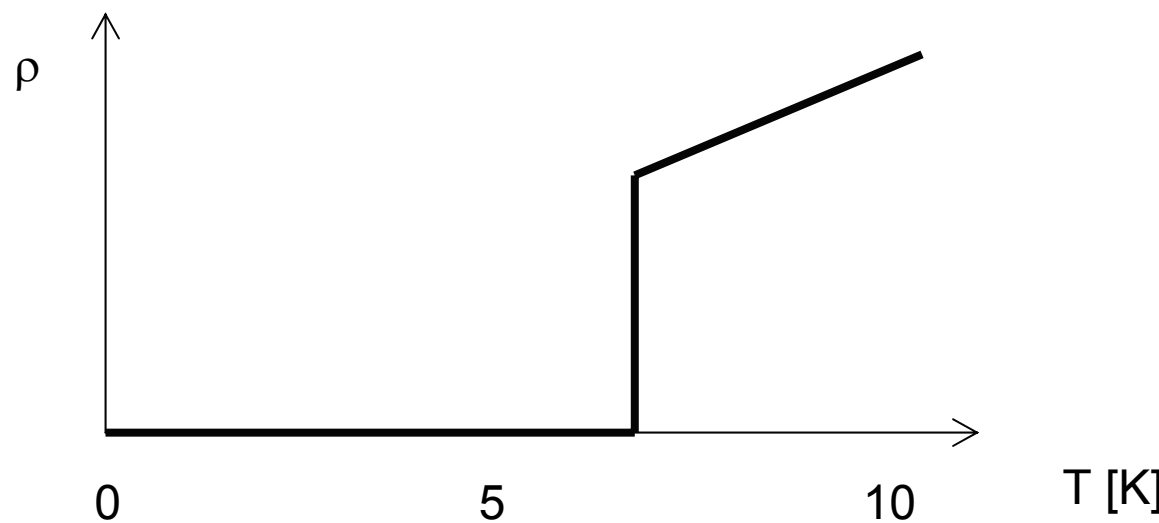
$$[\rho] = \frac{\text{m}}{\text{s}} = \Omega \cdot \text{m}$$

1.1 Úvod

Supravodivost':

1911 H. Kamerling Onnes (Holandsko) → ortut', olovo, cín

hlavne u kovov, pri extrémne nízkych teplotách (dosiahnuté odparovaním hélia)





1.1 Úvod

Polovodiče → látky, kde sa na prenose elektrického náboja zúčastňujú prevažne elektróny alebo diery, pričom ich konduktivita σ pri teplote 300K je rádovo $10^5 - 10^{11}$ S/m (izolanty $10^{-7} - 10^{-18}$ S/m)

1.1 Úvod



Rozdelenie polovodičov:

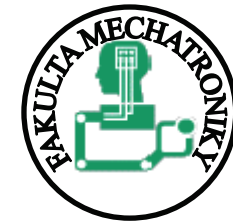
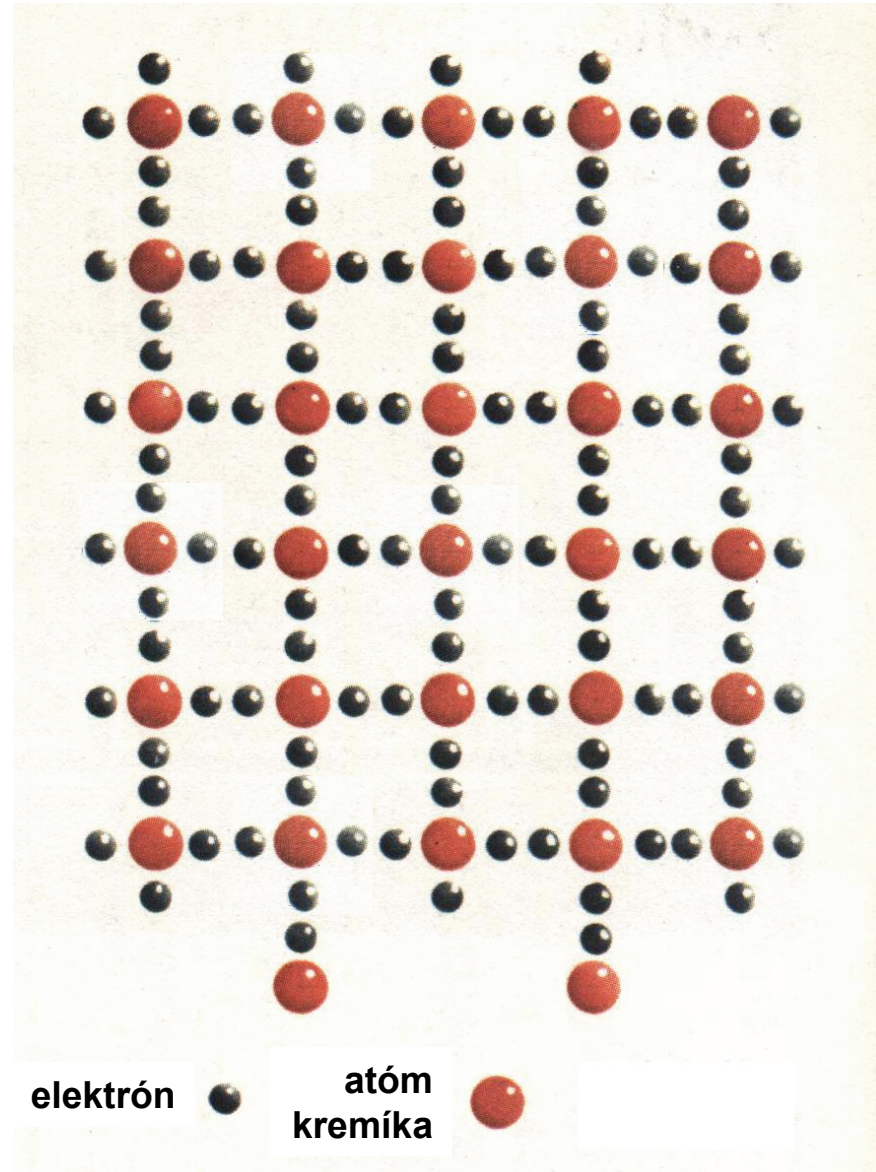
- Podľa štruktúry:
 - monokryštalické
 - polykryštalické
 - amorfné (sklovité)
- Podľa aplikačného tvaru:
 - objemové
 - vrstvové
- Podľa čistoty:
 - maximálne čisté
 - s riadeným druhom a množstvom prímesí
- Podľa chemického zloženia:
 - chemické prvky
 - zlúčeniny

1.1 Úvod



- Vlastné polovodiče
- Nevlastné polovodiče
- Polovodiče v rovnovážnom stave
- Polovodiče v nerovnovážnom stave
- Elektrická vodivost' polovodičov
- Kontakt kovu a polovodiča
- PN priechod
- Základné fyzikálne vlastnosti polovodičov

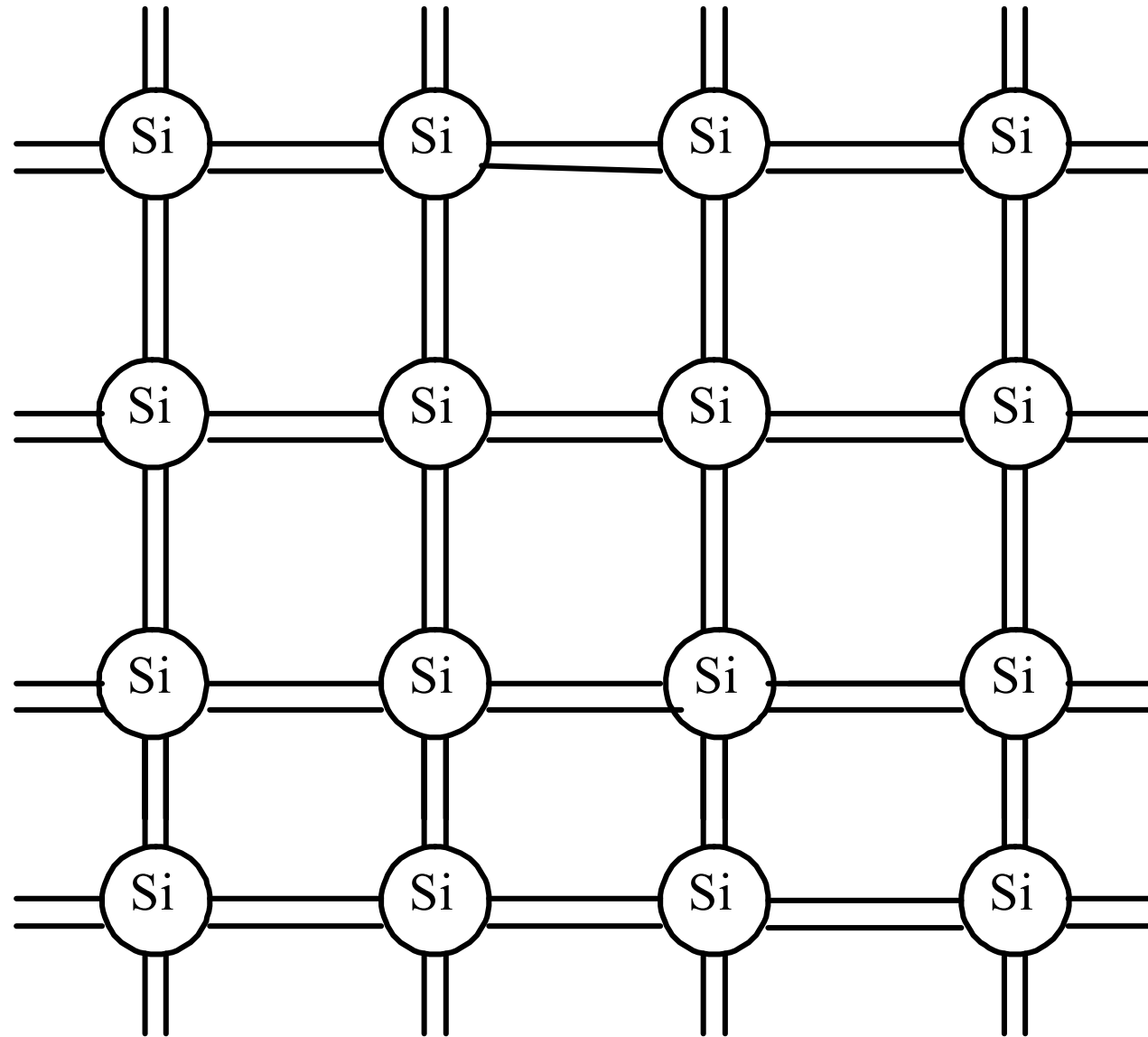
1.1 Úvod – Vlastné polovodiče



Neobsahuje poruchy v
kryštalickej mriežke

zvyčajne: štvormocný
kremík v diamantovej
kryštalickej sústave

1.1 Úvod – Vlastné polovodiče



1.1 Úvod – Vlastné polovodiče



Ideálny stav → dokonale pravidelná mriežka, bez cudzích atómov, zároveň nechýba ani žiadnen vlastný

Ak sú väzby neporušené → dokonalý izolant (pri $0\text{K} = - 273,16\text{ }^{\circ}\text{C}$). Potom: tepelný pohyb → elektrón preskočí z valenčného pásmá do vodivostného

Elektróny vo valenčnom pásmu na seba pôsobia → na voľné miesto prejde elektrón zo susednej väzby → prázdrové miesto (diera) sa pohybuje kryštálom

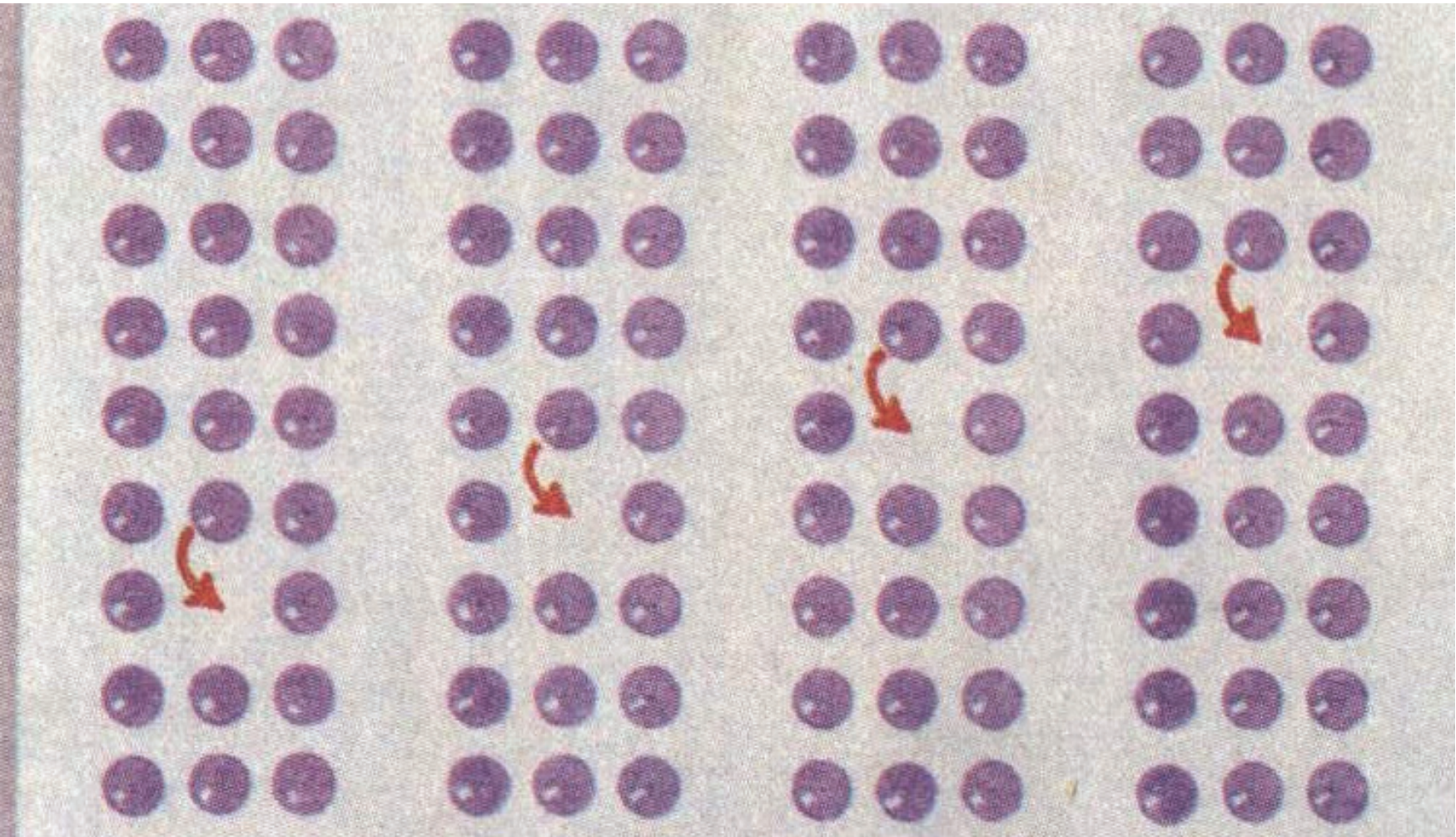
1.1 Úvod – Vlastné polovodiče



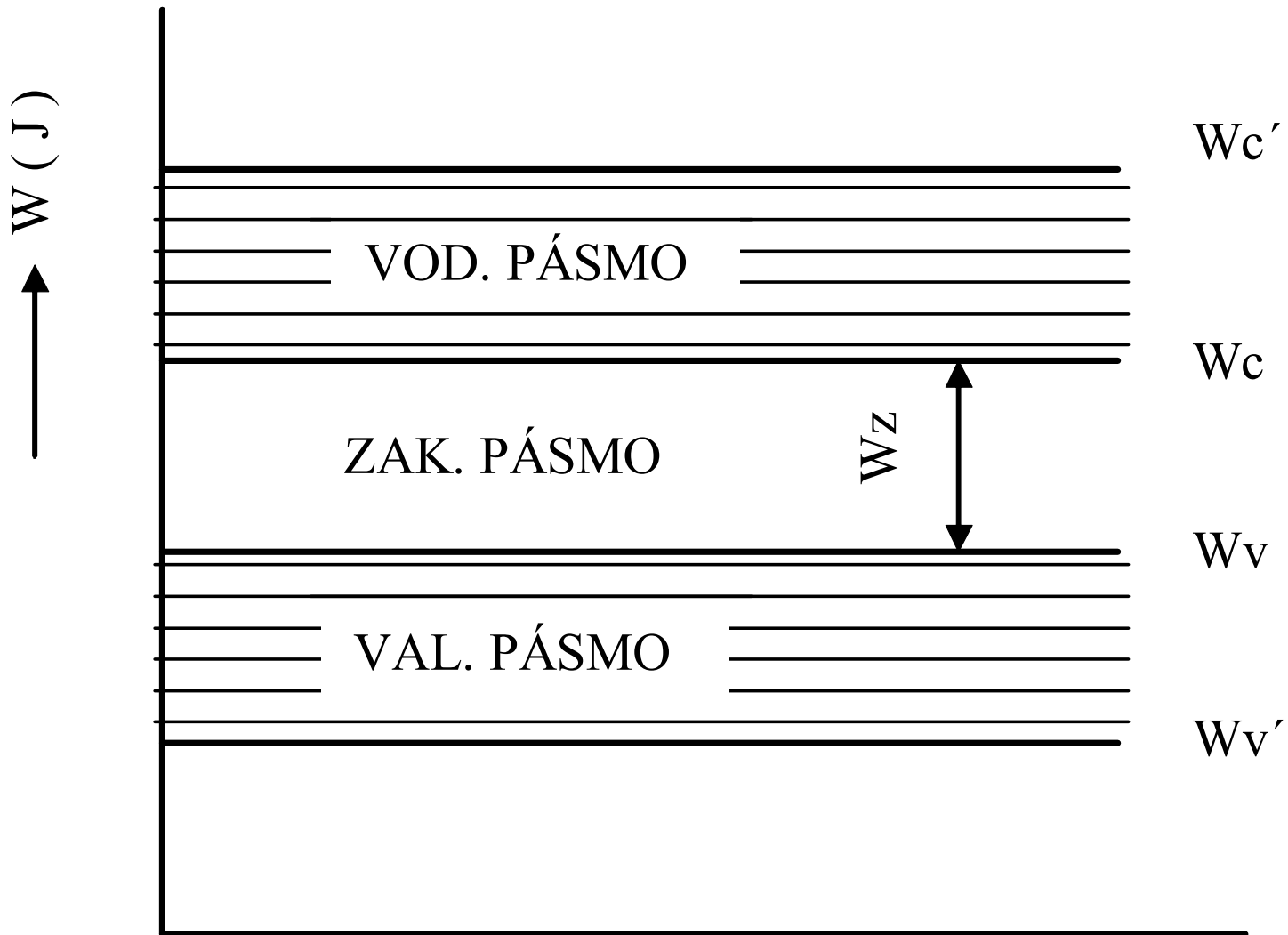
Valenčné elektróny: vonkajšie, energeticky najvyššie položené elektróny atómu prvku, kt. rozhodujúcou mierou ovplyvňujú ich schopnosť zlučovať sa s atómmi iných prvkov. Môžu byť umiestnené na rozličných hladinách.

(Všeobecný encyklopedický slovník)

1.1 Úvod – Vlastné polovodiče



1.1 Úvod – Vlastné polovodiče



Kremík: $\Delta W_z = W_c - W_v = 1,12 \text{ eV}$ (1,16 eV pri 0K)

1.1 Úvod – Vlastné polovodiče



Ak sa elektrón nezúčastňuje na kovalentnej väzbe → prebytok „+“ proti „-“ → kladne nabité centrum. Kryštál ako celok je i nadálej elektricky neutrálny:

$$n = p = n_i$$

n – koncentrácia voľných elektrónov [m^{-3}]

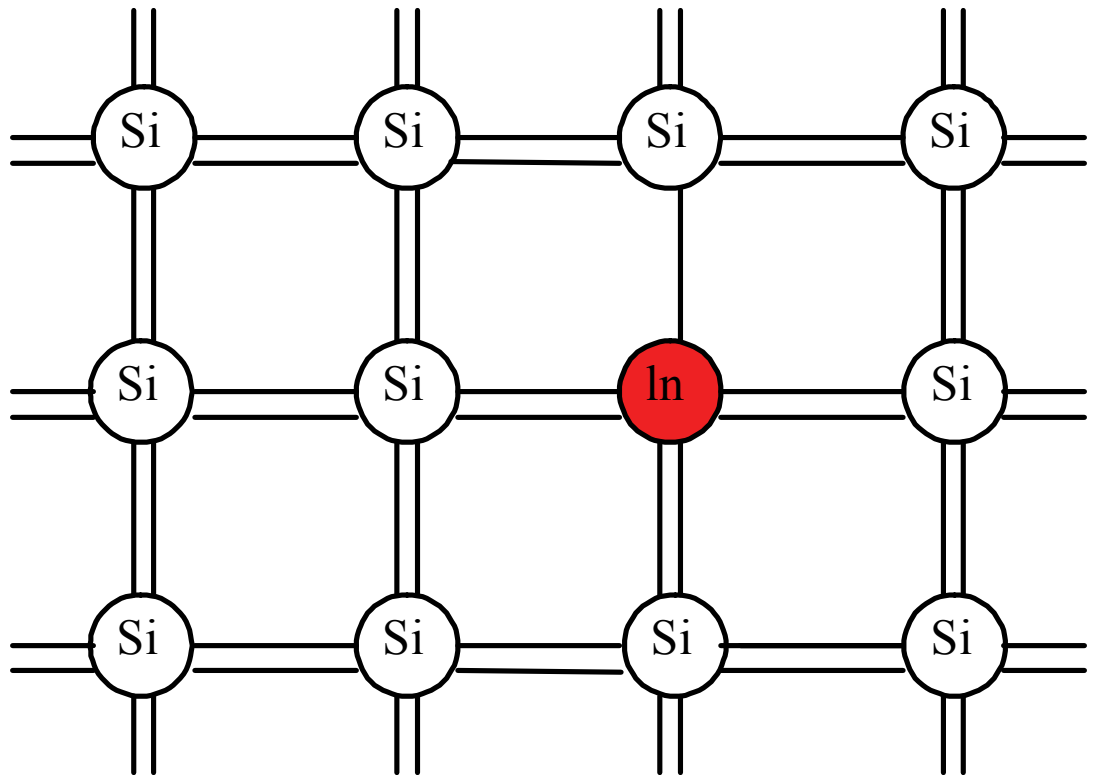
p – koncentrácia voľných dier [m^{-3}]

n_i – koncentrácia elektrónov vo vlastnom polovodiči [m^{-3}]

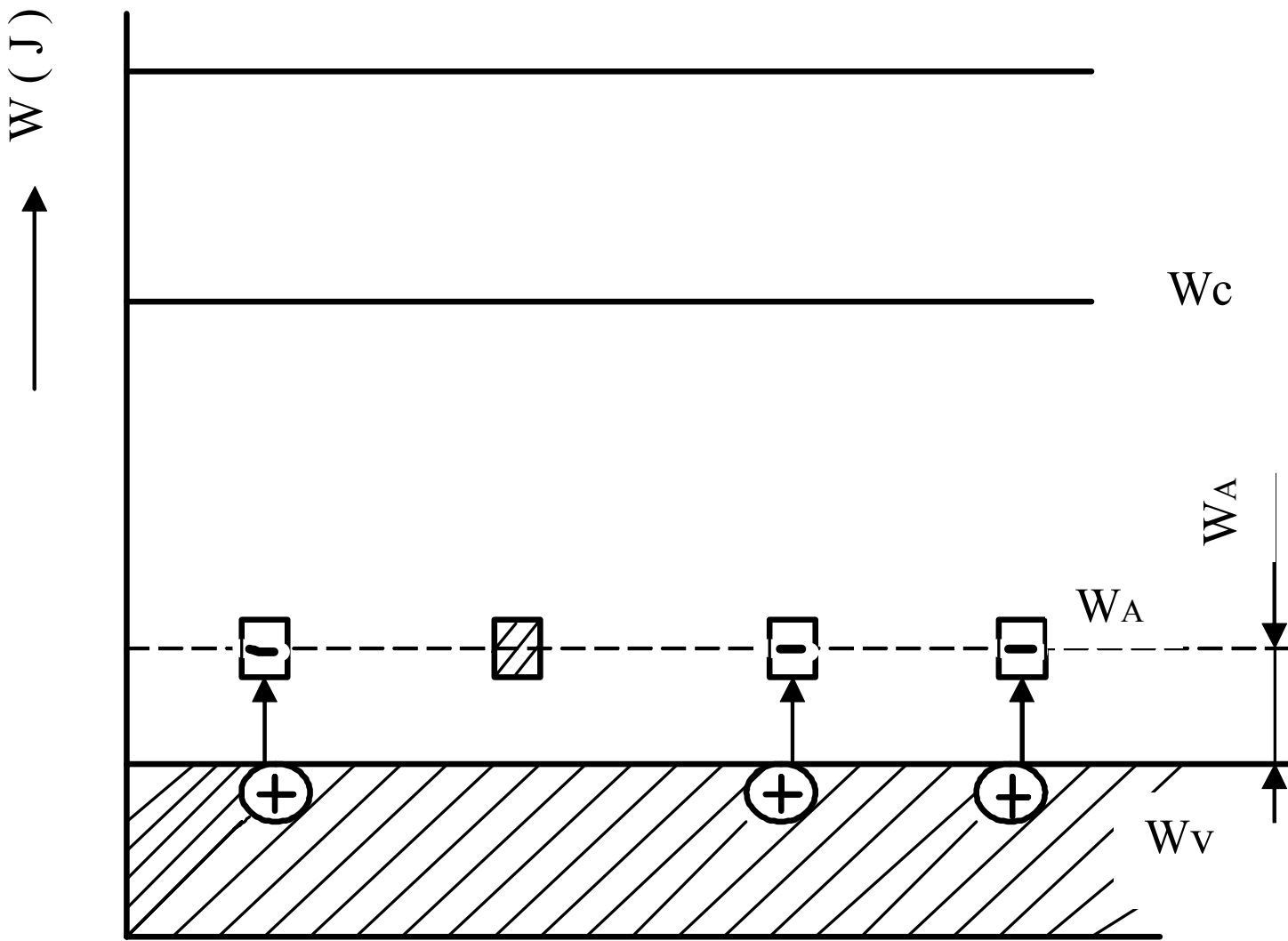
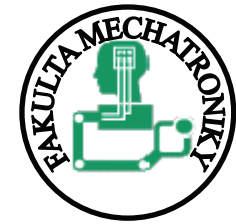
1.1 Úvod – Nevlastné polovodiče



Obsahujú poruchy v kryštalickej mriežke (substitučné prímesi). Deformujú sa energetické pomery → vytvárajú sa dovolené hladiny v zakázanom pásme.



1.1 Úvod – Nevlastné polovodiče





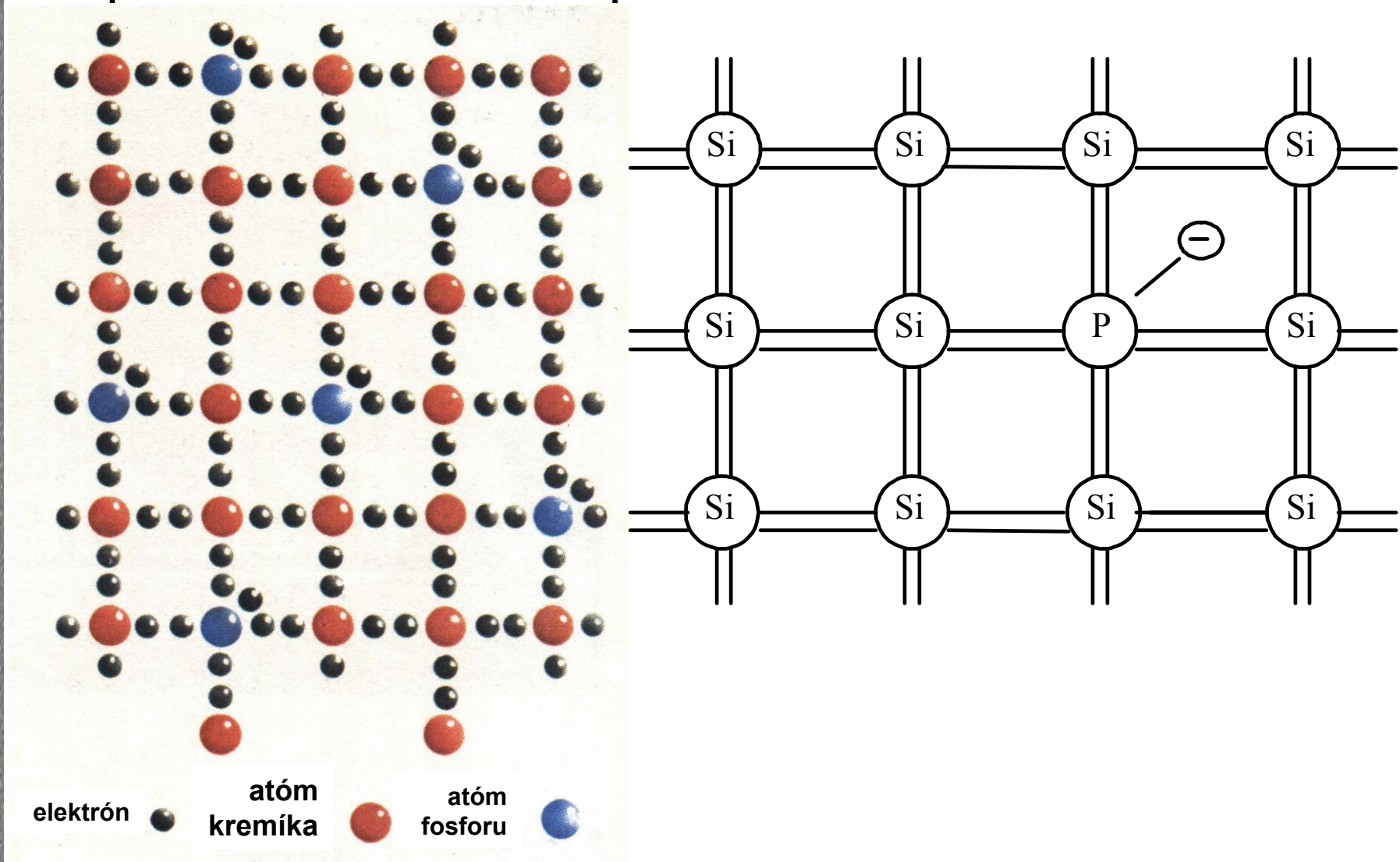
1.1 Úvod – Nevlastné polovodiče

Polovodiče, kde voľné nosiče elektrického náboja vznikajú ionizáciou AKCEPTOROV → polovodiče typu *P*. Koncentrácia voľných dier je vyššia ako koncentrácia elektrónov → diery sú majoritné a elektróny minoritné nosiče náboja.

Podobne: bór, gálium, hliník a pod.

1.1 Úvod – Nevlastné polovodiče

Po pridaní 5-mocného prvku:



1.1 Úvod – Nevlastné polovodiče

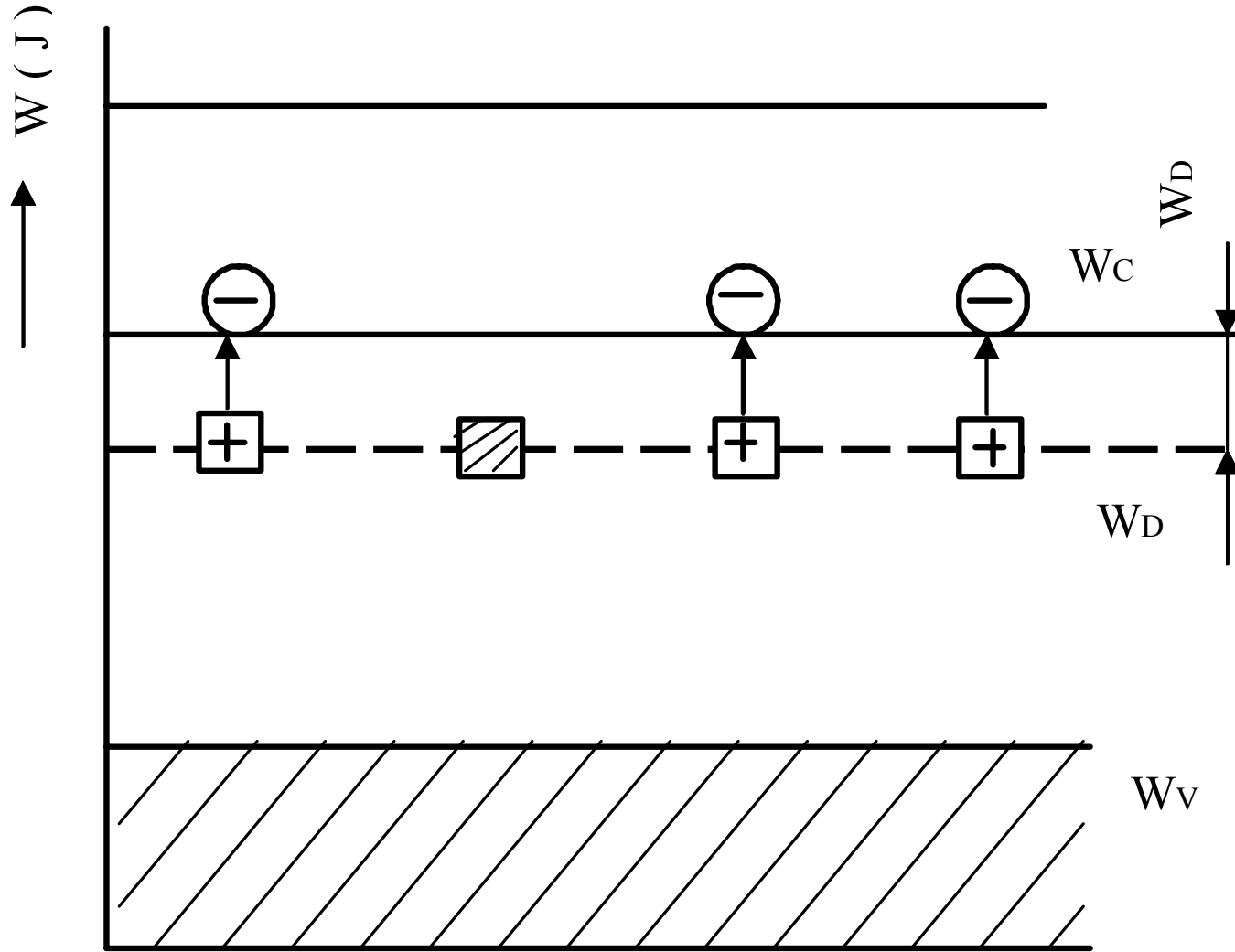
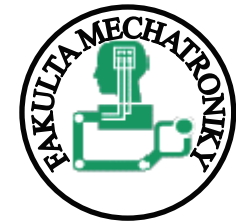


Po pridaní 5-mocného prvku:

je nevyužitý piaty valenčný elektrón (NIE VŠAK VOLNÝ – viaže ho jadro fosforového atómu).

Ostatné atómy túto väzbu zoslabujú → stačí malá energia a elektrón sa odtrhne → DONOR

1.1 Úvod – Nevlastné polovodiče



1.1 Úvod – Nevlastné polovodiče



W_D – donorová energetická hladina

ΔW_D – aktivačná energia donorov

$$\Delta W_D = W_C - W_D$$

Vzniká polovodič typu **N**.

majoritné nosiče náboja: elektróny

minoritné nosiče náboja: diery

Podobne: antimón, dusík, arzén,...

1.1 Úvod – Nevlastné polovodiče



W_A – akceptorová energetická hladina

ΔW_A – aktivačná energia akceptorov

$$\Delta W_A = W_A - W_V$$

Preskokom vznikne: 1 nepohyblivý ión india –
1 kladne nabitá voľná diera +

Atóm india môže prijať navyše jeden elektrón → akceptor

1.1 Úvod – Polovodiče v rovno-vážnom stave



Termodynamická rovnováha →
elektrická neutralita + tepelná rovnováha

1.1 Úvod – Polovodiče v rovnovážnom stave



elektrická neutralita:

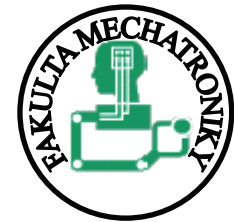
a, vlastné polovodiče: $n = p$

b, polovodiče typu **N**: $n = p + N_D$ ($N_A = 0$)

c, polovodiče typu **P**: $p = n + N_A$ ($N_D = 0$)

d, názov podľa toho,
čo prevláda: $n + N_A = p + N_D$

1.1 Úvod – Polovodiče v rovnovážnom stave



tepelná rovnováha:

interakcia elektrónov a fonónov (tepelné kvantá) →
vznik voľných nosičov elektrického náboja a zároveň
aj ich zánik (rekombinácia)

ustálený stav → rovnováha vzniku a rekombinácie

1.1 Úvod – Polovodiče v rovnovážnom stave



tepelná rovnováha:

g: [$m^{-3}s^{-1}$] koeficient generácie (počet vzniknutých voľných nosičov na jednotku objemu za jednotku času)

r: [m^3s^{-1}] koeficient rekombinácie (koeficient úmernosti medzi počtom rekombinácií v jednotke objemu za jednotku času a súčinom „n.p“:

$$r = R/(n.p)$$

R: [$m^{-3}s^{-1}$] je počet rekombinácií v jednotke objemu za jednotku času

1.1 Úvod – Polovodiče v rovnovážnom stave



tepelná rovnováha:

rovnovážny stav: $g = R$

$$g = r \cdot n \cdot p \rightarrow n \cdot p = g/r = n_i^2$$

Nevlastné polovodiče s rovnakou koncentráciou donorov a akceptorov majú podobné vlastnosti ako vlastné polovodiče → kvázivlastné polovodiče

1.1 Úvod – Polovodiče v nerovnovážnom stave – majoritné nosiče



porucha = porušenie elektrickej neutrality

dôležité: za aký čas sa objaví rovnováha →
frekvencia vonkajších porúch bez skreslenia signálu

$$\epsilon \operatorname{div} E = \rho \quad \operatorname{div} = \partial / \partial x + \partial / \partial y + \partial / \partial z$$

kde:

ϵ – absolútна permitivita [Fm^{-1}]

E – intenzita elektrického poľa [Vm^{-1}]

ρ – priestorový náboj [Cm^{-3}]

1.1 Úvod – Polovodiče v nerovnovážnom stave – majoritné nosiče



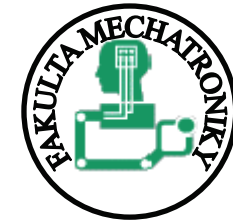
Porucha → vyvolá usmernený pohyb voľných nosičov náboja tak, aby porucha zanikla.

Hustota elektrického prúdu:

$$J = \sigma \cdot E$$

σ [Sm⁻¹] → konductivita

1.1 Úvod – Polovodiče v nerovnovážnom stave – majoritné nosiče



Náboj sa zmenšuje podľa vzťahu:

$$-\frac{d\rho}{dt} = \operatorname{div} J$$

$$-\frac{d\rho}{dt} = \sigma \operatorname{div} E \rightarrow \frac{d\rho}{dt} + \frac{\sigma}{\epsilon} \rho = 0$$

riešenie :

$$\rho = \rho_0 e^{-\frac{t}{\tau_r}}$$

ρ_0 [Cm⁻³] priestorový náboj v čase t = 0

τ_r [s] relaxačný čas: $\tau_r = \epsilon / \sigma$

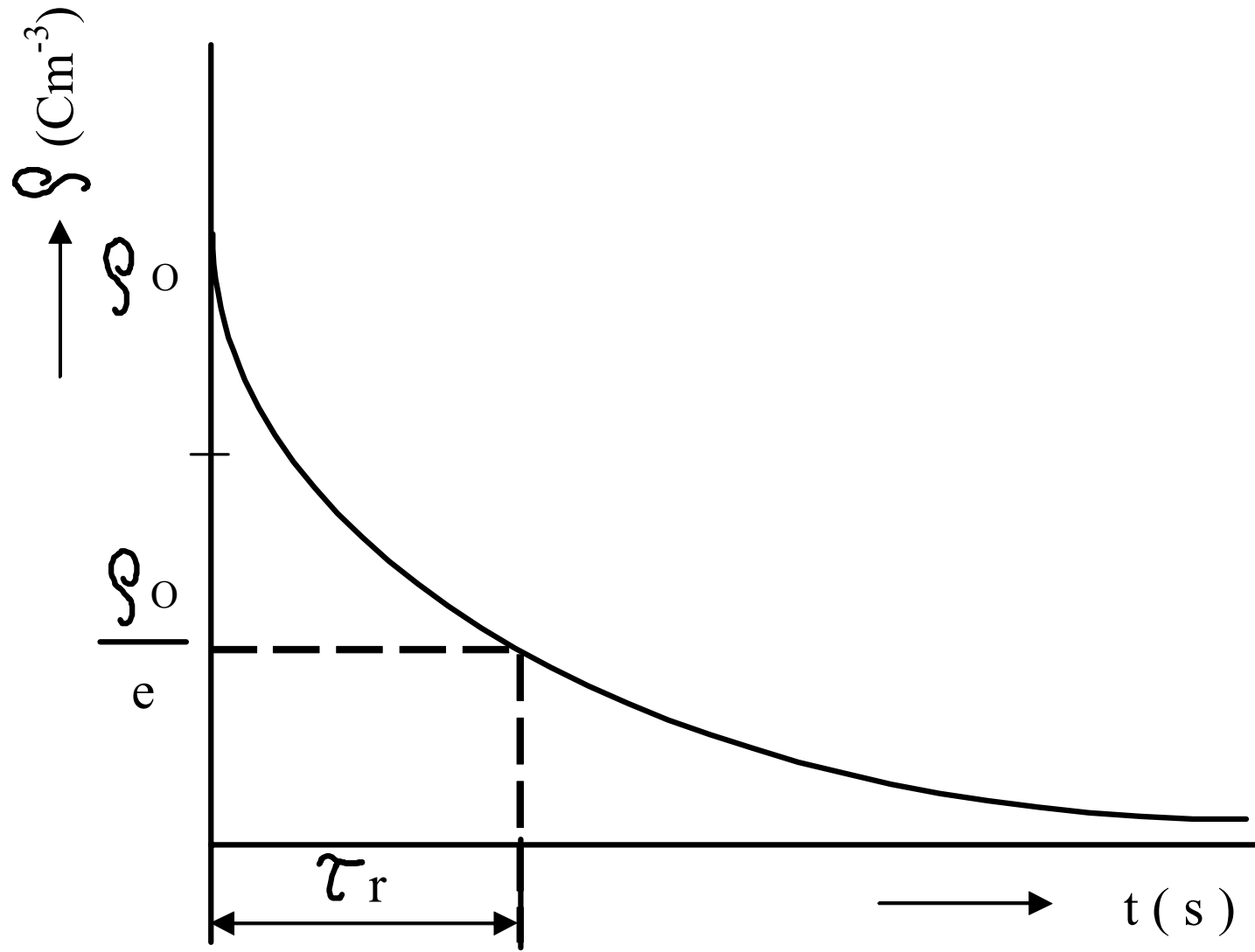
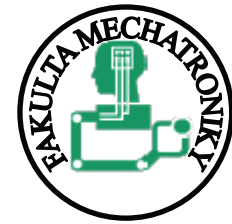
1.1 Úvod – Polovodiče v nerovnovážnom stave – majoritné nosiče



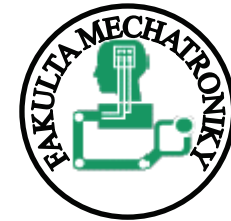
Zánik dejá: pre $t \geq 3\tau_r$

kremík, germánium: $\tau_r = 10^{-12} \text{ s} \rightarrow f \approx 300 \text{ GHz}$

1.1 Úvod – Polovodiče v nerovnovážnom stave – majoritné nosiče



1.1 Úvod – Polovodiče v nerovnovážnom stave – minoritné nosiče



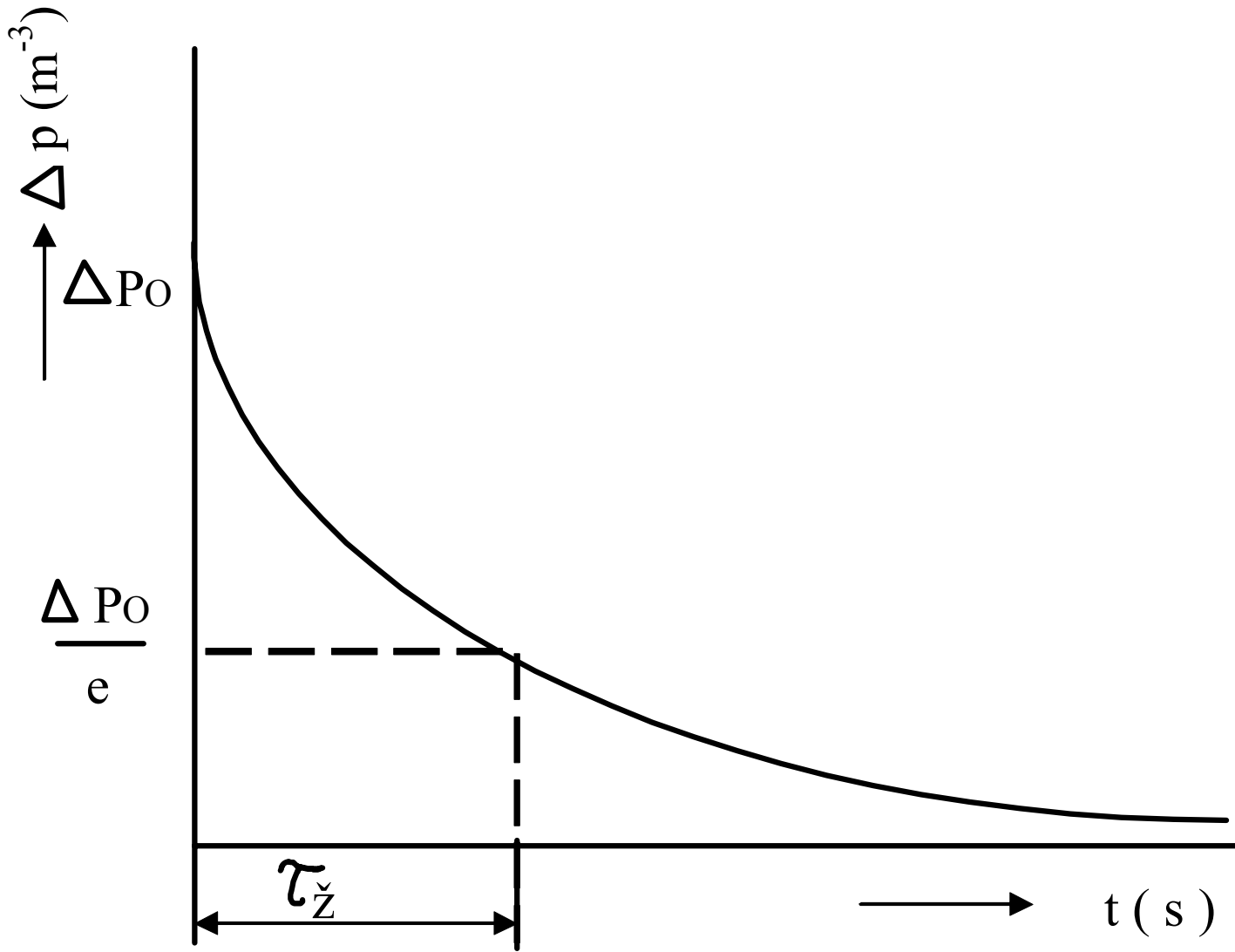
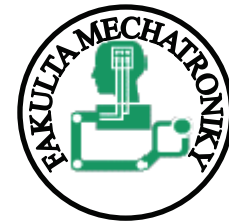
zvýši sa koncentrácia voľných dier o $\Delta P \rightarrow$
adekvátny postup $\rightarrow -\frac{t}{\tau_z}$ kde:

$$\Delta p = \Delta p_0 e^{-\frac{t}{\tau_z}}$$

$r(n+p) = \tau_z = \text{doba života minoritných nosičov}$

Doba života minoritných nosičov je tým menšia, čím väčší je koeficient rekombinácie voľných nosičov náboja. Pretože rekombinácia sa uskutočňuje najčastejšie cez poruchy kryštalickej mriežky \rightarrow na základe doby života možno posúdiť dokonalosť mriežky

1.1 Úvod – Polovodiče v nerovnovážnom stave – minoritné nosiče



1.1 Úvod – Elektrická vodivost'



Pоловodič v elektrickom poli → pohyb + v smere intenzity elektrického poľa, - proti smeru

Vzniká elektrický prúd → množstvo náboja, ktorý prejde za jednotku času jednotkovým prierezom

Dôležité parametre:

koncentrácia nosičov

pohyblivosť nosičov (miera rýchlosťi pohybu pod účinkom elektrického poľa)

1.1 Úvod – Elektrická vodivost'



$$\sigma = e(n \cdot u_n + p \cdot u_p)$$

kde:

e [C] náboj elektrónu

u_n, u_p [$m^2 s^{-1} V^{-1}$] pohyblivost'

1.1 Úvod – Elektrická vodivost'



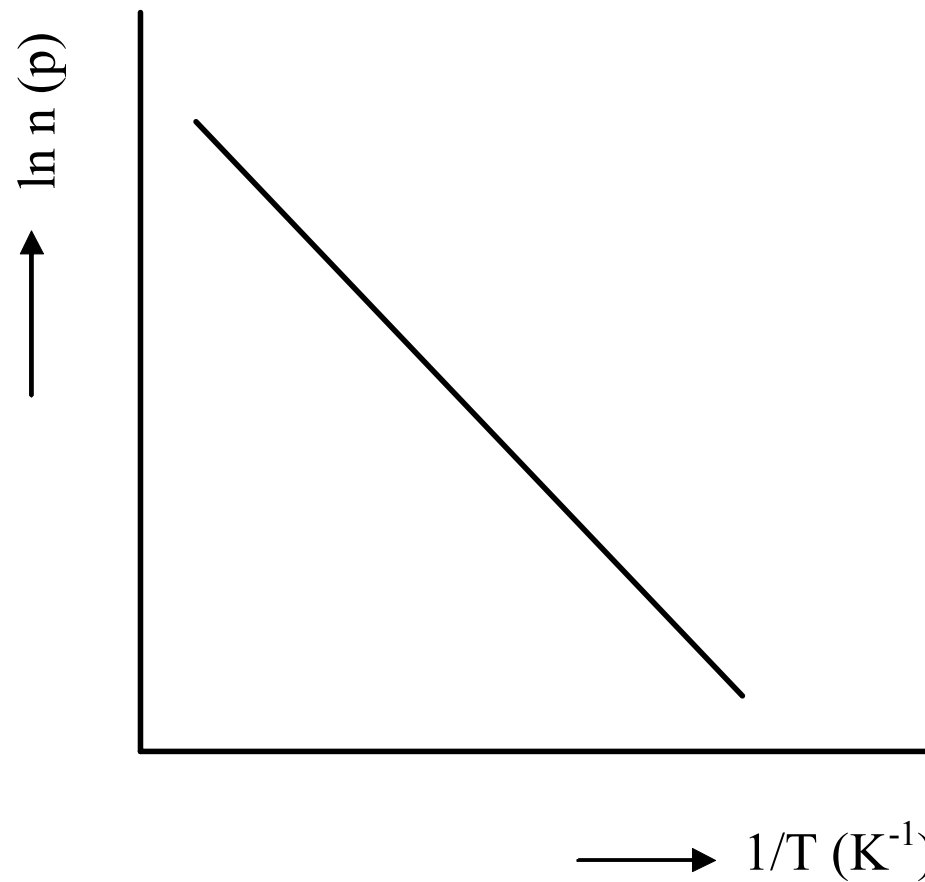
Ďalej:

- a. koncentrácia voľných elektrónov a dier vo vlastných polovodičoch,
- b. koncentrácia voľných elektrónov a dier v nevlastných polovodičoch,
- c. pohyblivosť vo vlastných polovodičoch
- d. pohyblivosť v nevlastných polovodičoch

1.1 Úvod – Elektrická vodivost'



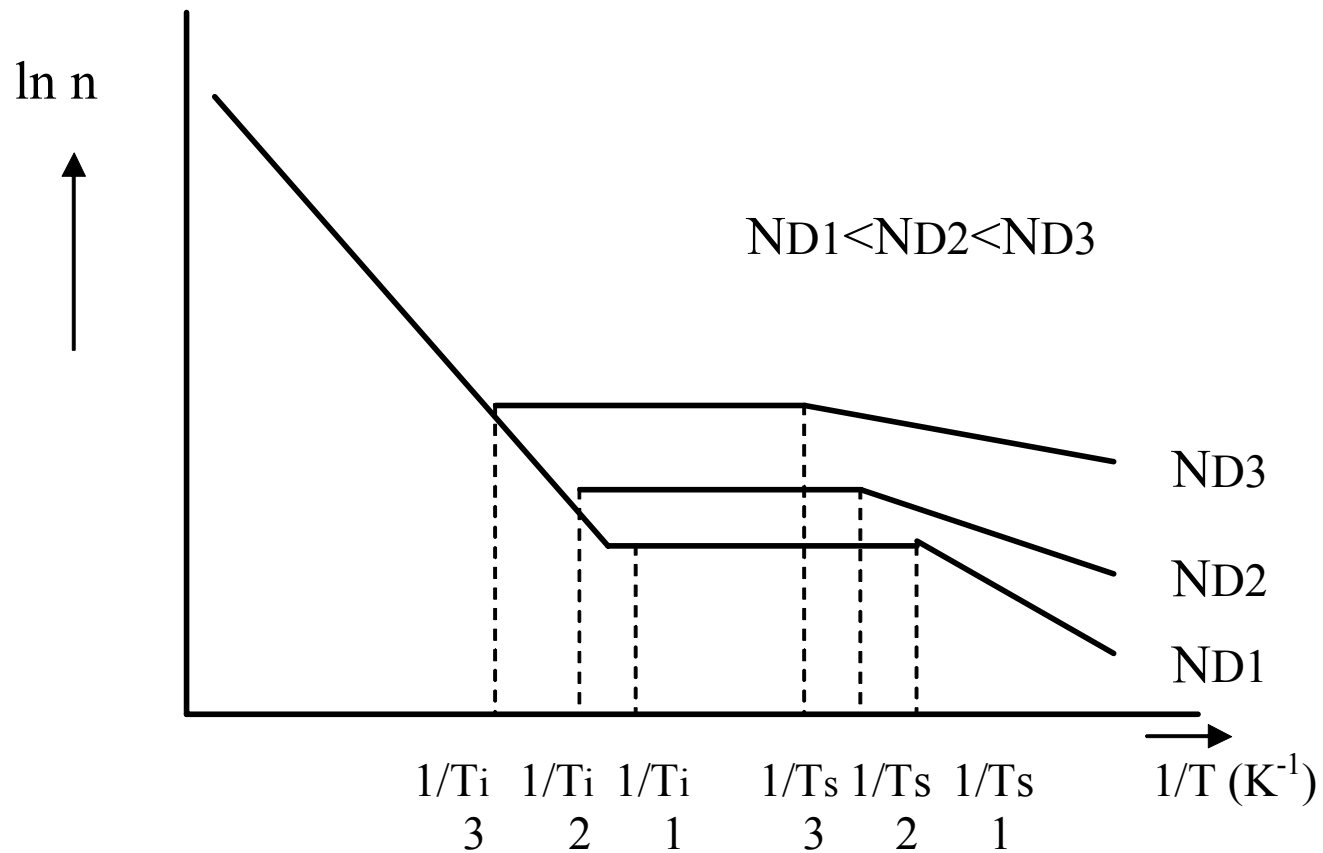
a. Koncentrácia voľných elektrónov a dier vo vlastných polovodičoch



1.1 Úvod – Elektrická vodivost'



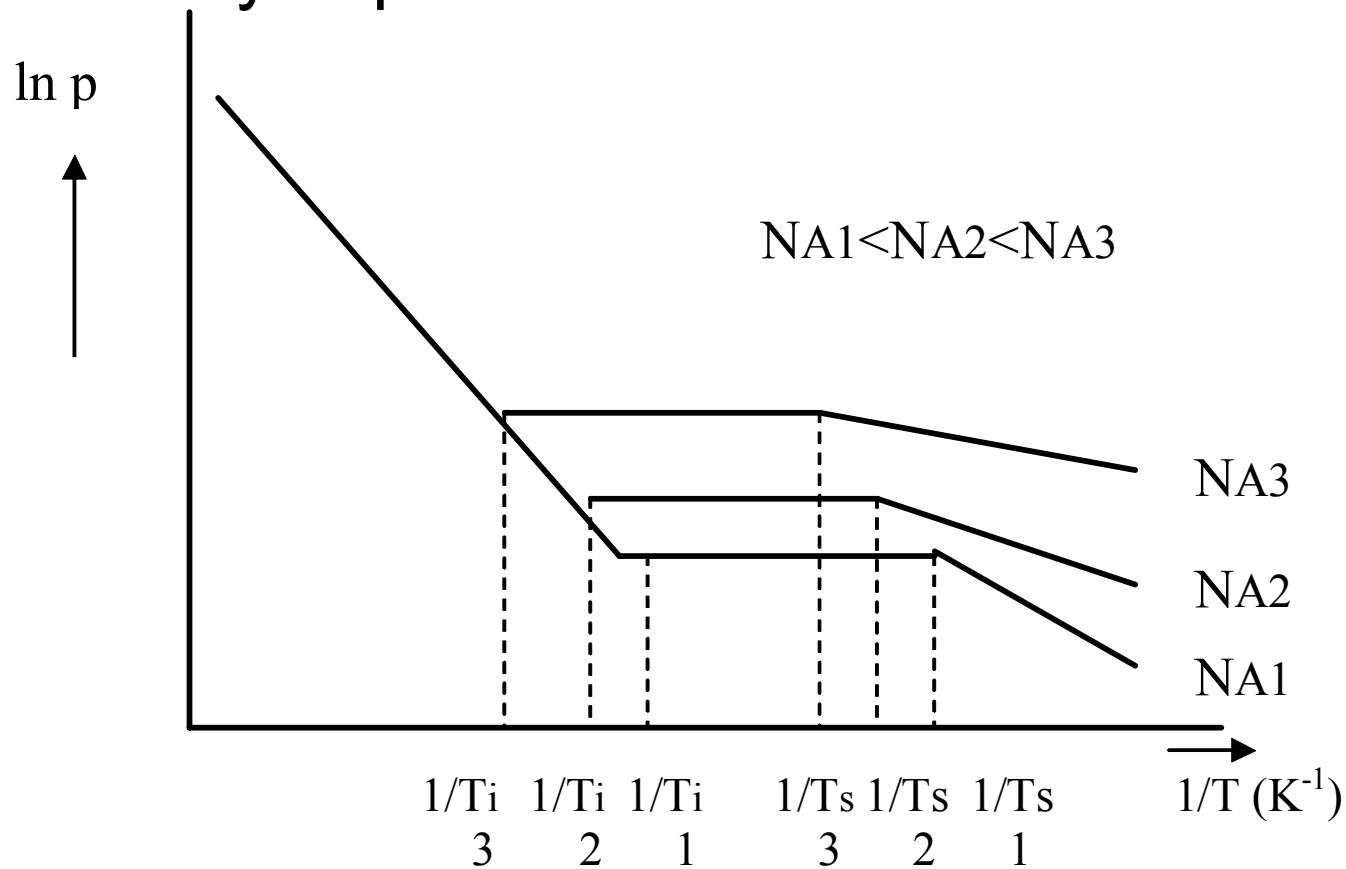
b. Koncentrácia voľných elektrónov a dier v nevlastných polovodičoch



1.1 Úvod – Elektrická vodivost'



b. Koncentrácia voľných elektrónov a dier v nevlastných polovodičoch



1.1 Úvod – Elektrická vodivost'



b. Koncentrácia voľných elektrónov a dier v nevlastných polovodičoch

$T_s \rightarrow$ úplná ionizácia prímesí \rightarrow všetky elektróny prešli do vodivostného stavu

$T_i \rightarrow$ nad touto teplotou platia mechanizmy ako vo vlastných polovodičoch (rovnaké sú aj hodnoty)



1.1 Úvod – Elektrická vodivost'

c. Pohyblivosť vo vlastných polovodičoch

$$u = \frac{|\vec{v}|}{|E|} \quad [m^2 s^{-1} V^{-1}]$$

stredná
rýchlosť

stredná rýchlosť závisí od rozptylu nosičov náboja
rozptyl → zmena smeru ich pohybu:

rozptyl na tepelných kmitoch kryštalickej mriežky

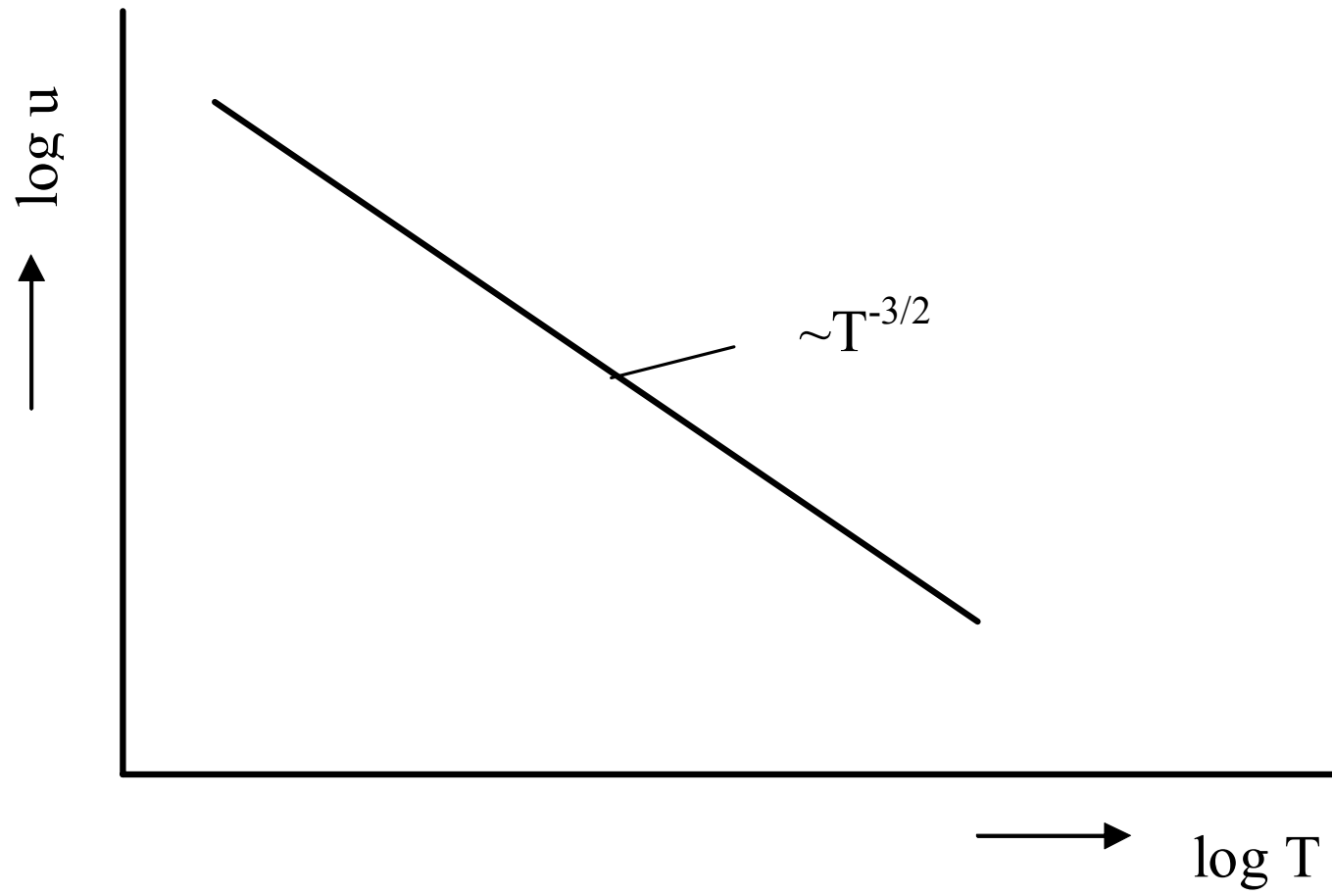
rozptyl na ionizovaných prímesiach

rozptyl na ostatných poruchách kryštalickej mriežky

1.1 Úvod – Elektrická vodivost'



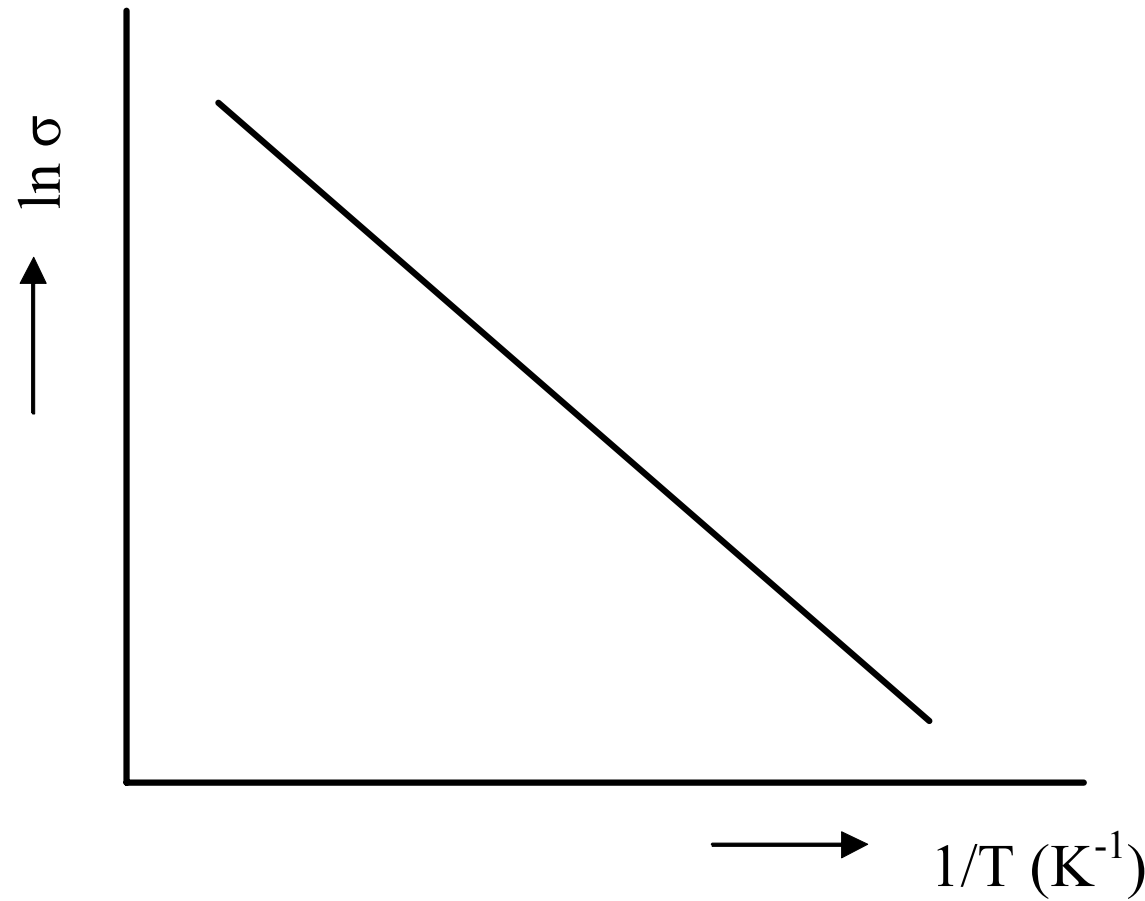
c. Pohyblivost' vo vlastných polovodičoch



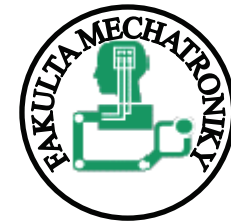
1.1 Úvod – Elektrická vodivost'



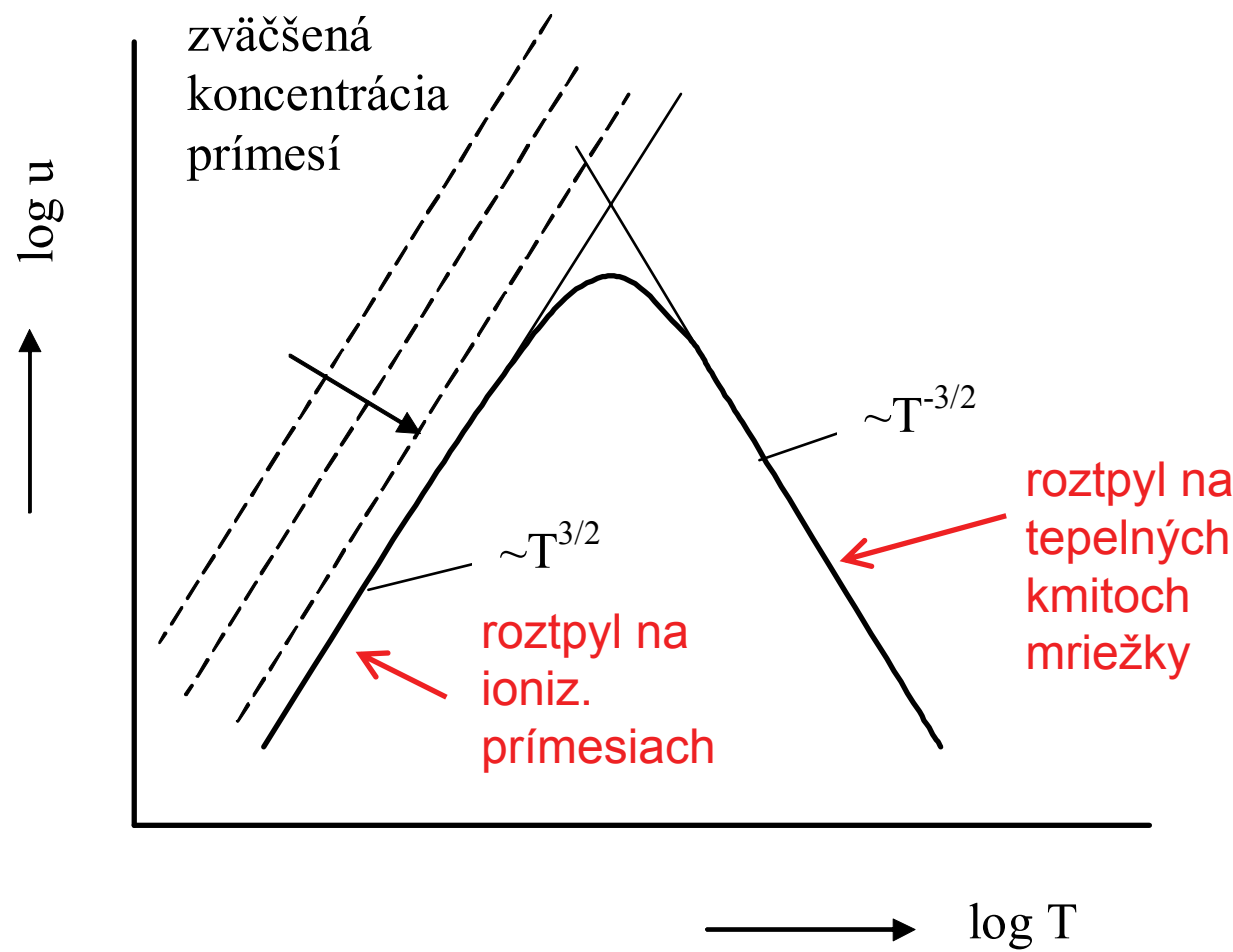
Vlastné polovodiče



1.1 Úvod – Elektrická vodivost'



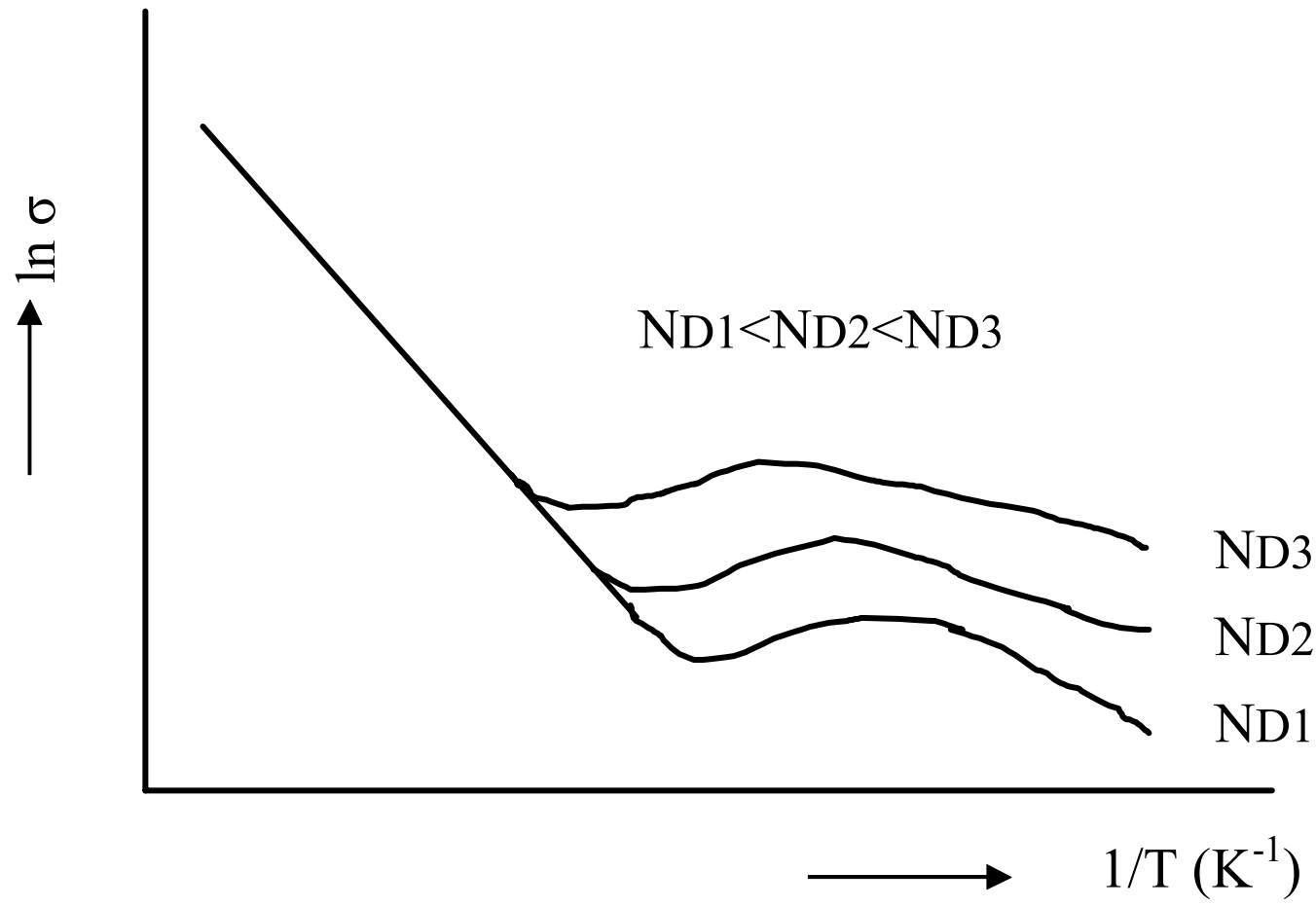
d. Pohyblivosť v nevlastných polovodičoch



1.1 Úvod – Elektrická vodivost'



d. Vodivosť v nevlastných polovodičoch



1.1 Úvod – Kontakt kovu a polovodiča



Povrch materiálu → iné vlastnosti ako vnútro
(nenasýtené väzby, množstvo porúch a nečistôt,
nie sú ideálne hladké)

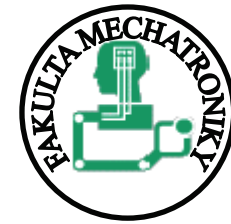
Ideálny kontakt → hrúbka kontaktu \approx vzdialenosť
medzi atómmi

Dôležitý parameter: hodnoty výstupných prác
elektrónov:

najprv elektrón z materiálu s menšou výstupnou
prácou do druhého → vytvorenie elektrického poľa
→ opačný jav

Po krátkom čase nastane rovnováha

1.1 Úvod – Kontakt kovu a polovodiča



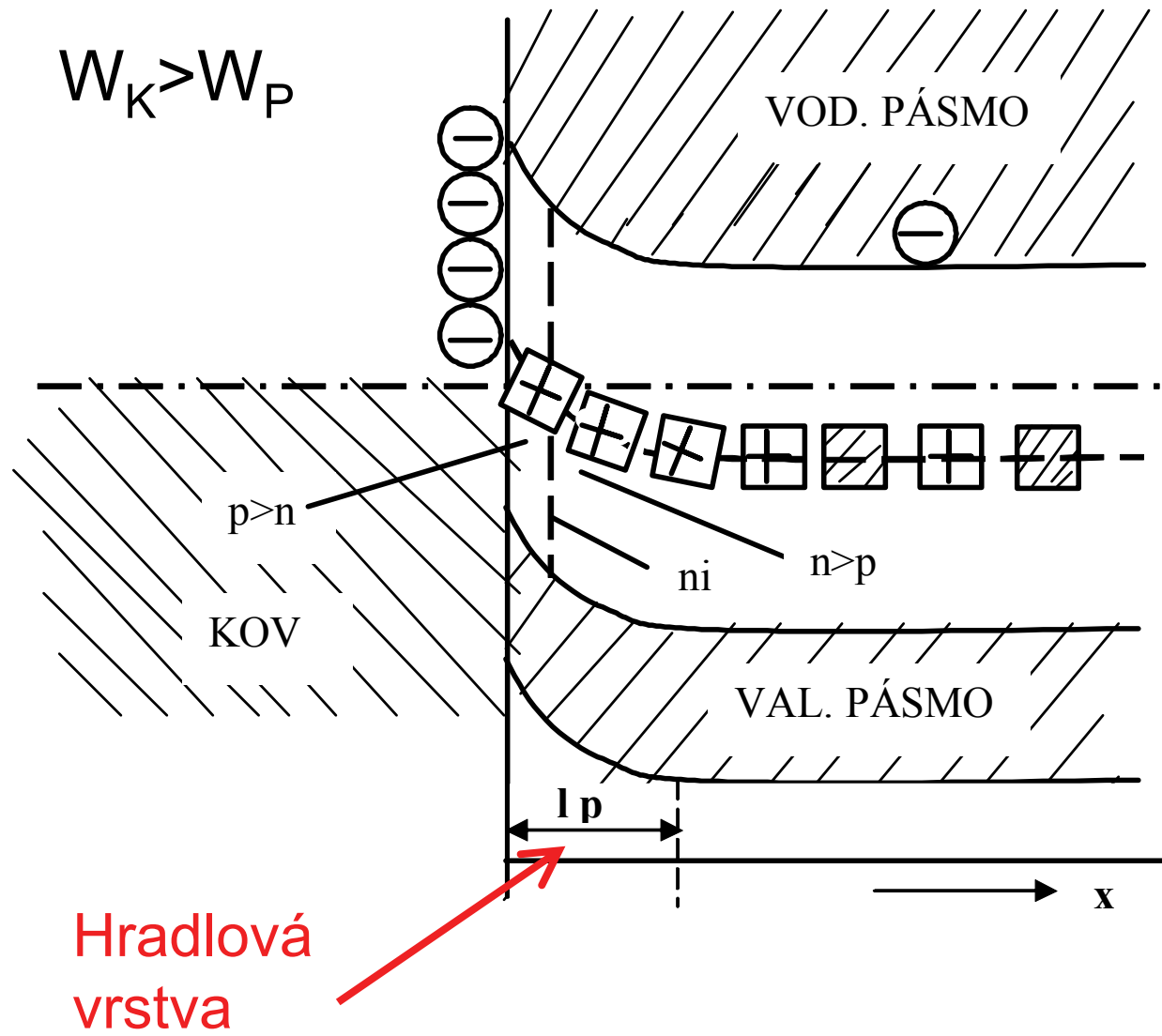
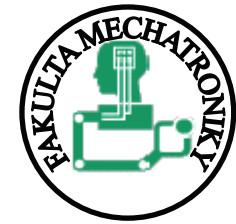
W_K – výstupná práca elektrónu z kovu

W_P – výstupná práca elektrónu z polovodiča

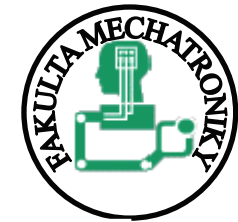
Kontaktové napätie: $U_K = \frac{W_K - W_P}{e}$ [V]

zvyčajne cca 1 V

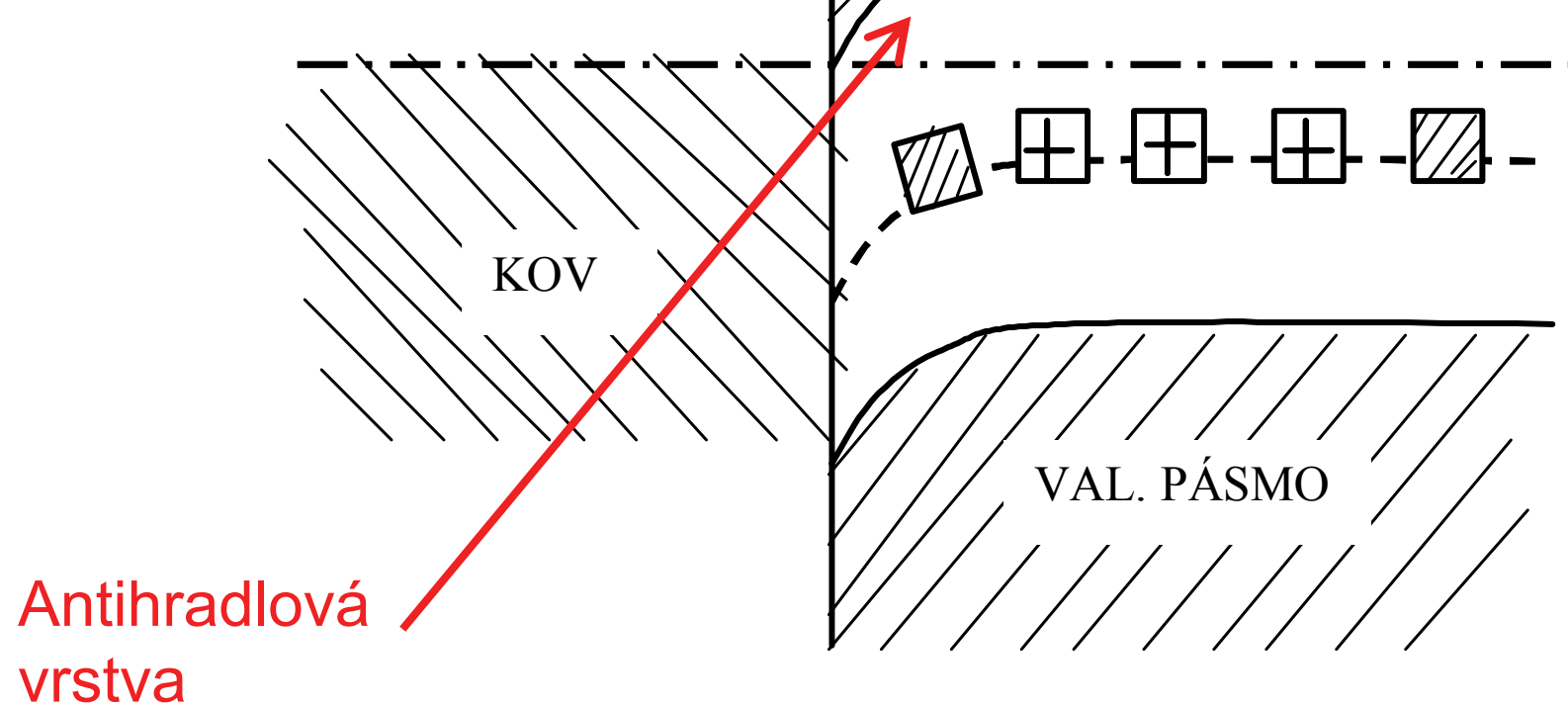
1.1 Úvod – Kontakt kovu a polovodiča



1.1 Úvod – Kontakt kovu a polovodiča



$$W_K < W_P$$



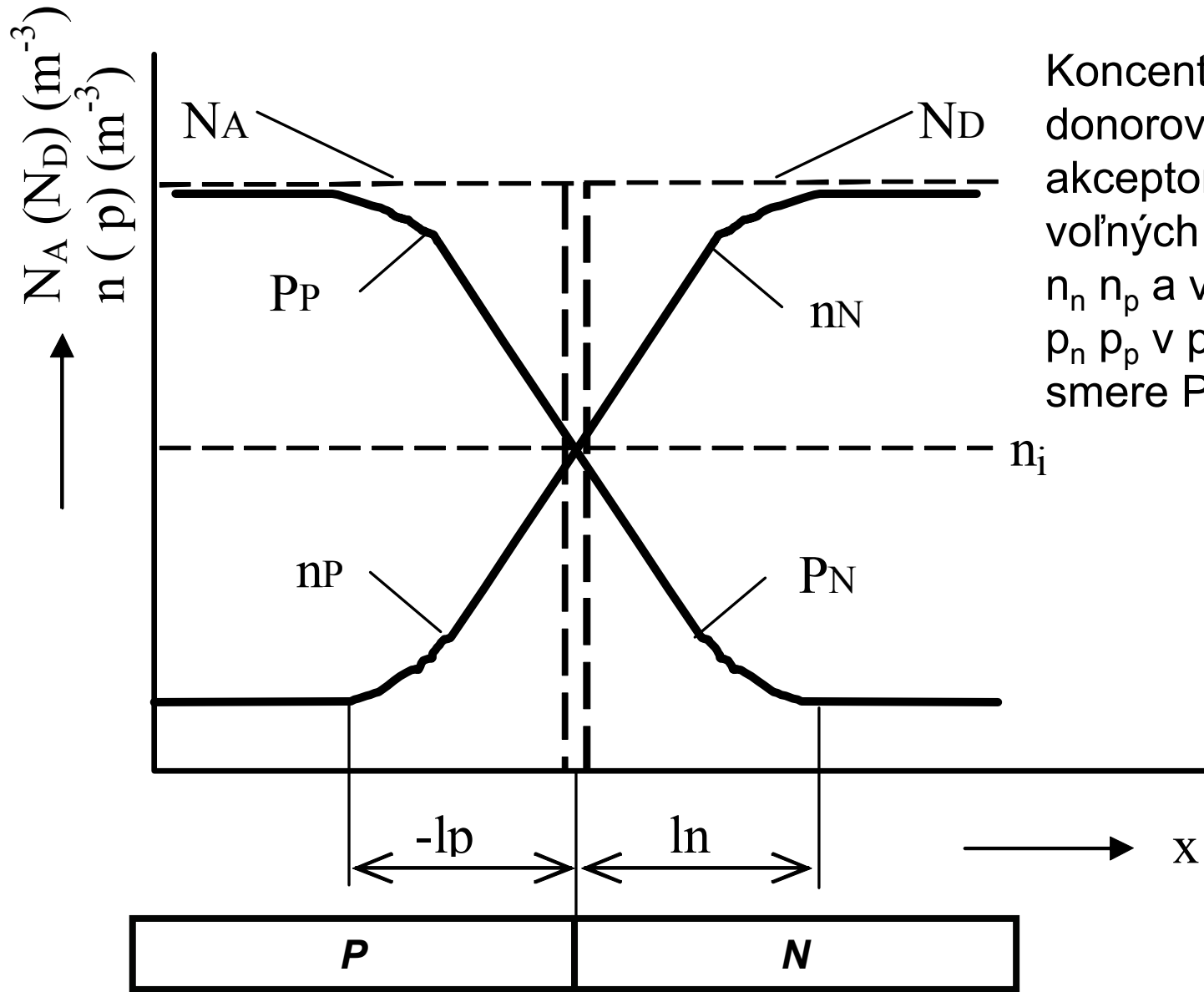
1.1 Úvod – PN priechod



PN priechod → priestorová zmena typu polovodiča

- do jednej časti donory
- do druhej časti akceptory.

1.1 Úvod – PN priechod



Koncentrácia
donorov N_D ,
akceptorov N_A ,
voľných elektrónov
 n_n n_p a voľných dier
 p_n p_p v pozdĺžnom
smere PN priechodu

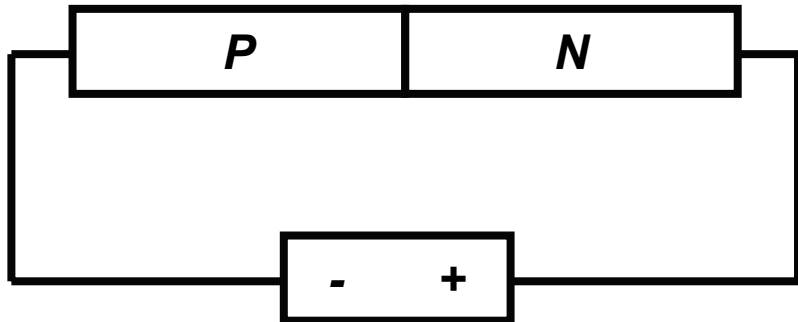
1.1 Úvod – PN priechod



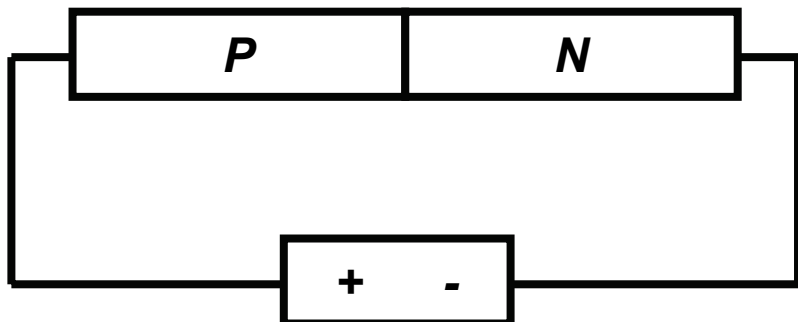
Difúzia → elektróny z „*N*“ do „*P*“ a diery z „*P*“ do „*N*“ až kým nenastane rovnovážny stav. Vznikne el. pole, ktoré bráni ďalšej difúzii.

Vzniká vrstva ochudobnená o nosiče → hradlová vrstva. Jej hrúbku možno regulovať pripojeným napäťím

1.1 Úvod – PN priechod

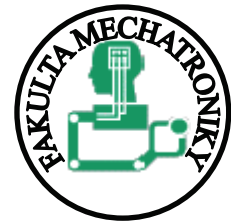


Polarita zhodná s polar. difúzneho napäťia $U_D \rightarrow$ major. nosiče sú vytláčané zo stredu PN priechodu k okrajom \rightarrow zväčšenie hradlovej vrstvy



Zmenšenie hradlovej vrstvy \rightarrow ak $U = U_D \rightarrow$ hradl. vrstva zanikne

1.1 Úvod – PN priechod



VA charakteristika PN prechodu:

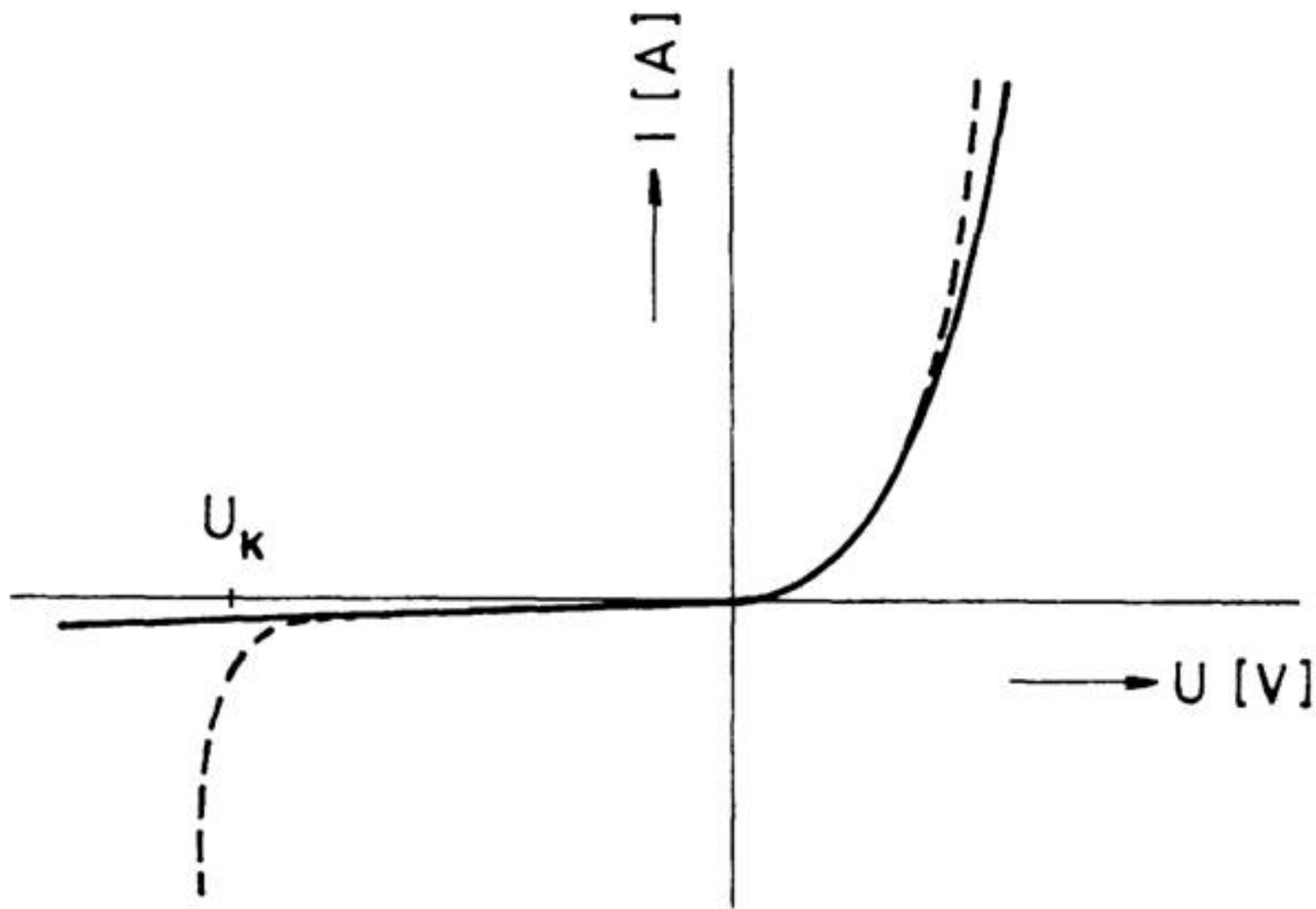
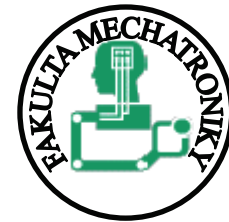
Podmienka rovnosti difúznej a ohmickej prúdovej hustoty:

$$e \cdot D_n \frac{dn}{dx} = e \cdot n \cdot u_n \cdot E_D$$

$$J = J_S \left[e^{\frac{+eU}{kT}} - 1 \right]$$

1.1 Úvod – PN priechod

VA charakteristika PN prechodu



1.1 Úvod – PN priechod

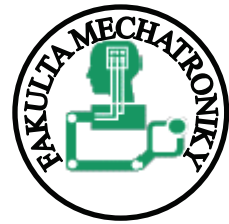


Základné fyzikálne javy v polovodičoch

Najdôležitejšie skupiny:

1. elektrické javy - diódový, tranzistorový, lavinový, Zenerov, prepínací a pamäťový
2. termoelektrické – Seebekov, Peltierov, Thomsonov
3. galvanomagnetické – Hallov, magnetorezistenický, Ettinghausenov jav
4. termomagnetické – Nernstov-Ettinghausenov, Righiho-Leducov jav
5. fotoelektrické – vnútorný, vonkajší, fotovoltický jav
6. luminiscenčné javy

1.1 Úvod – Základné fyzikálne javy v polovodičoch



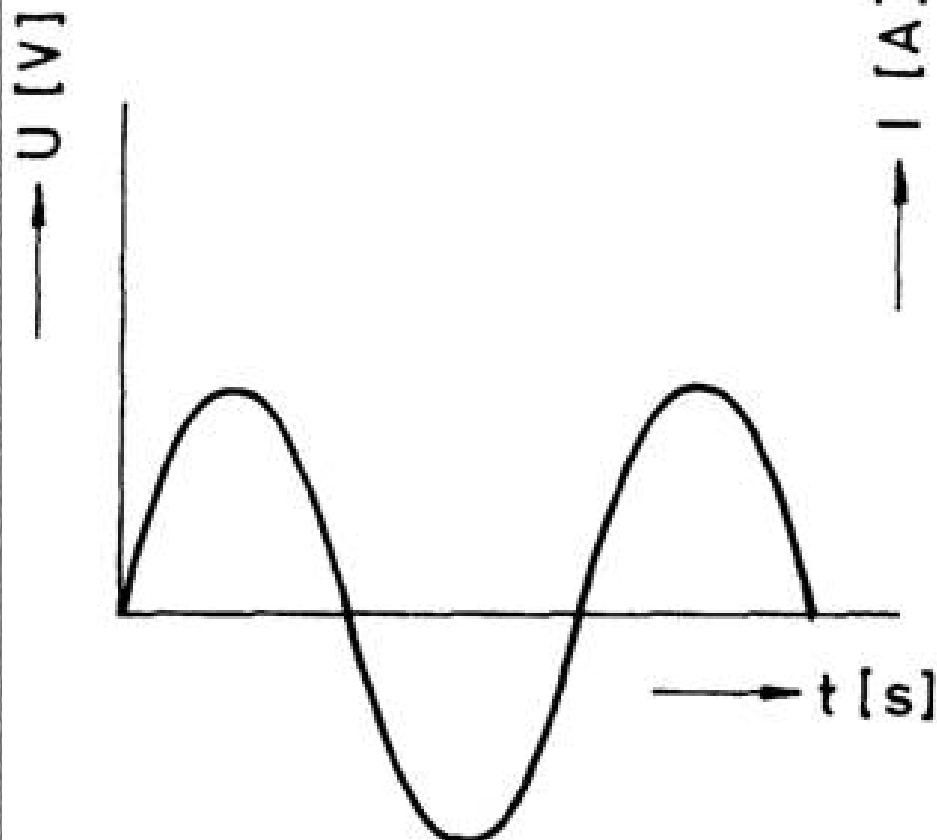
Najdôležitejšie skupiny:

1. elektrické javy - diódový, tranzistorový, lavínový, Zenerov, prepínací a pamäťový
2. termoelektrické – Seebekov, Peltierov, Thomsonov
3. galvanomagnetické – Hallov, magnetorezistenický, Ettinghausenov jav
4. termomagnetické – Nernstov-Ettinghausenov, Righiho-Leducov jav
5. fotoelektrické – vnútorný, vonkajší, fotovoltaický jav
6. luminiscenčné javy

1.1 Úvod – Základné fyzikálne javy v polovodičoch



Diódový jav

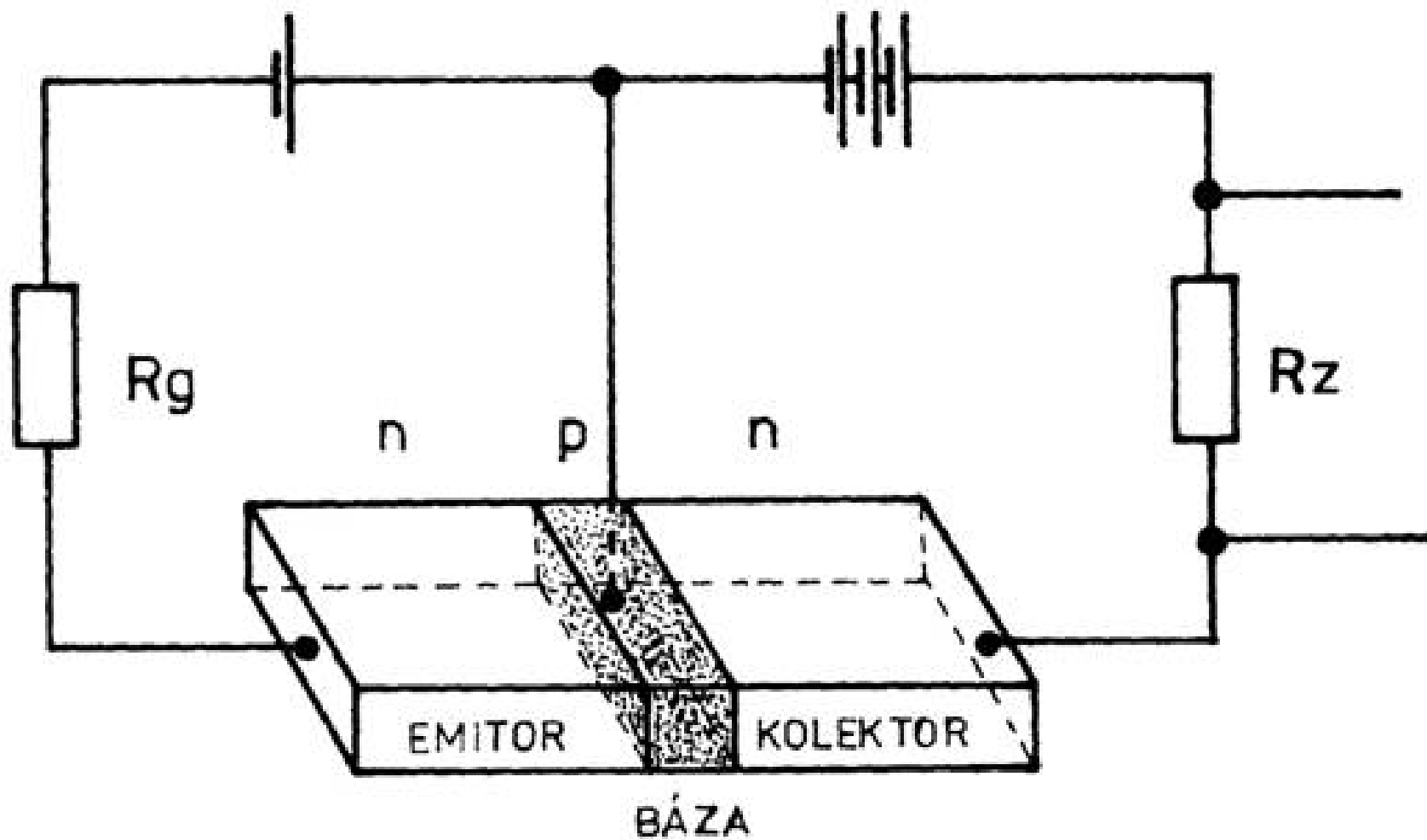


Usmerňovací jav na PN
priechodoch (alebo na styku
polovodič-kov)

1.1 Úvod – Základné fyzikálne javy v polovodičoch



Tranzistorový jav



1.1 Úvod – Základné fyzikálne javy v polovodičoch



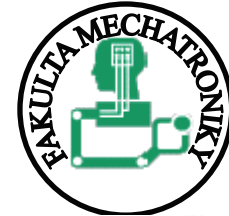
Tranzistorový jav

Zosilňovací jav.

- Tranzistory:
- bipolárne (major. a minor. nosiče)
 - unipolárne (len major. nosiče)
 - PNP
 - NPN

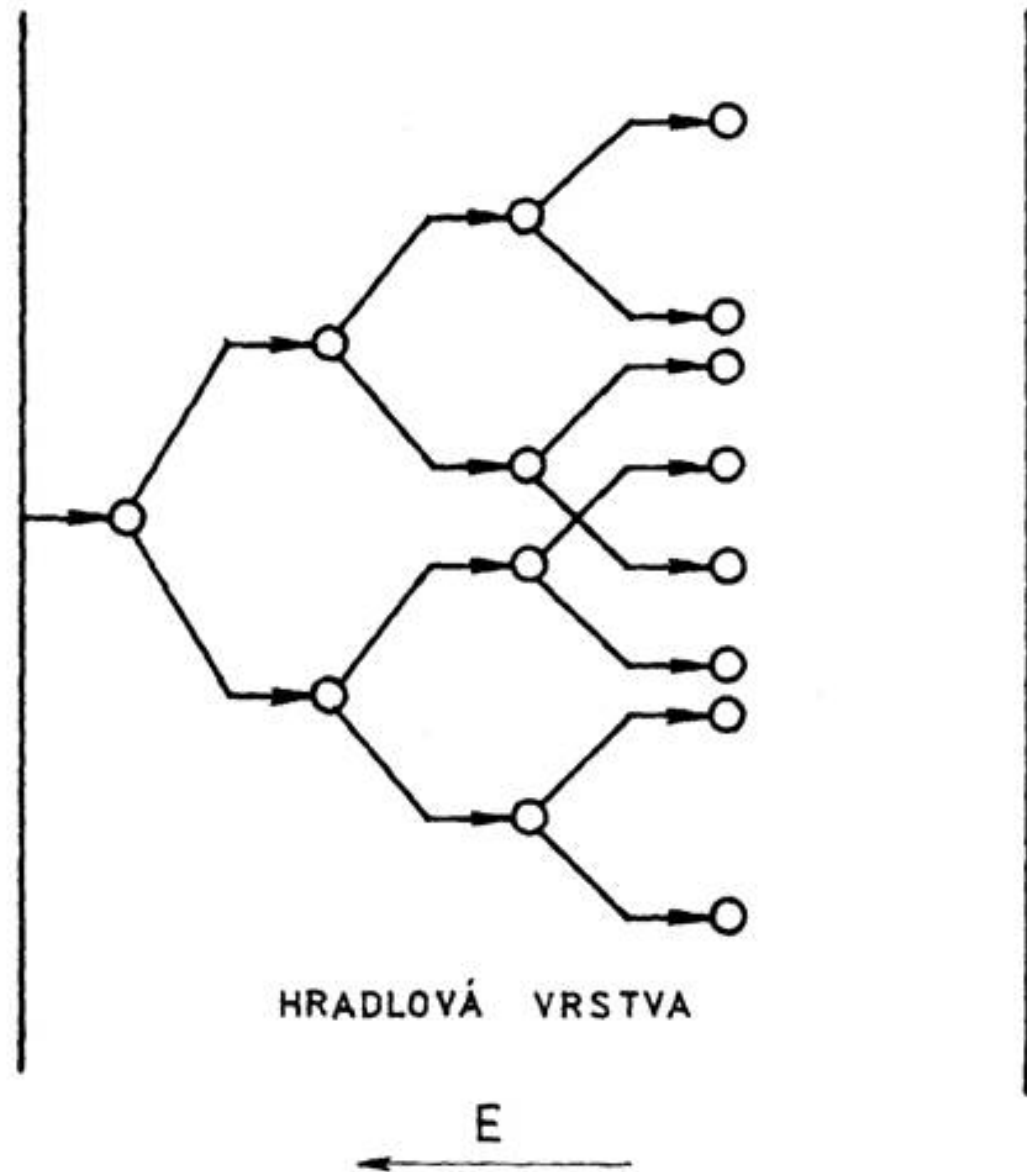
Zosilnenie: veľký počet nosičov (väčšina) ktorých emitor vstrekol do bázy sa dostane ku kolektoru a prejde kolektorovým obvodom. Treba zaistiť, aby čo najmenší počet emitovaných nosičov rekombinoval v báze → báza je tenká.

1.1 Úvod – Základné fyzikálne javy v polovodičoch



Lavínový jav

Nárazová
ionizácia atómov
elektrónmi



1.1 Úvod – Základné fyzikálne javy v polovodičoch



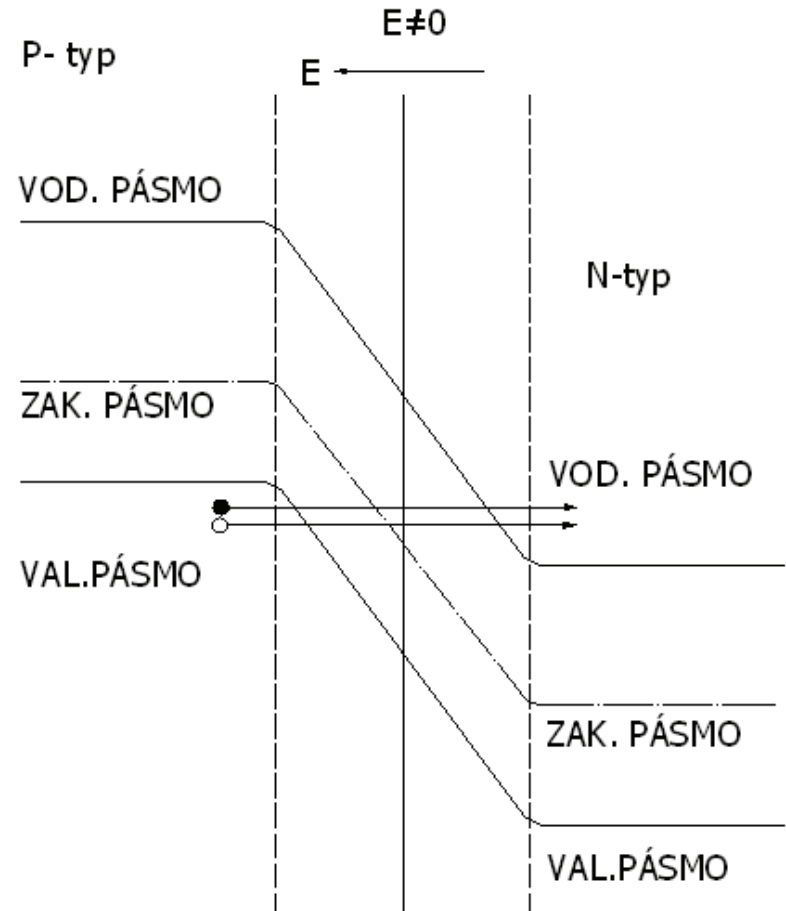
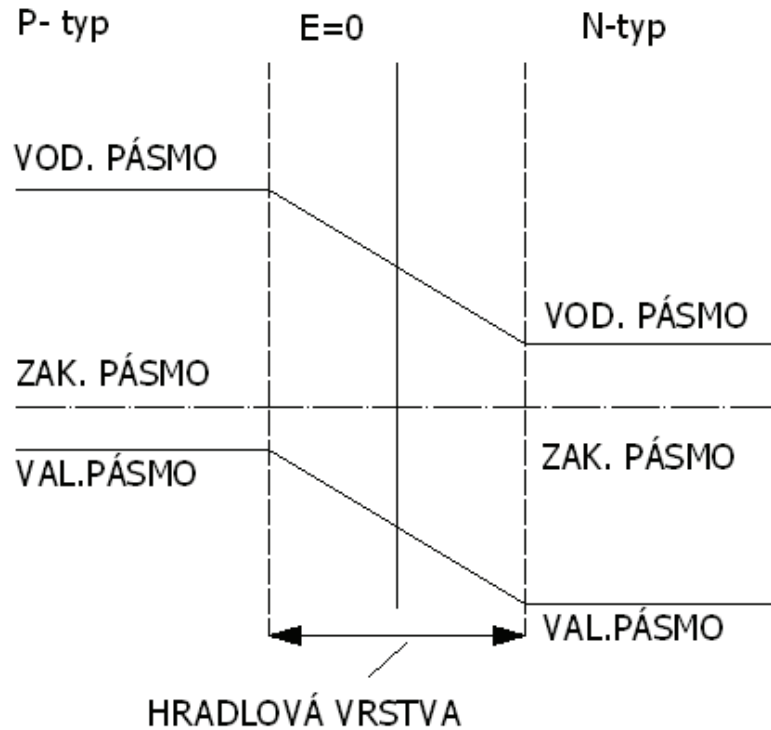
Zenerov jav

→ uvoľňovanie el. z kryštal. mriežky polovodiča silným el. poľom (Zenerove diódy = tenká hradlová vrstva → malé napätie vyvolá silné pole). Súčasne sa uplatňuje aj lavínový jav.

1.1 Úvod – Základné fyzikálne javy v polovodičoch



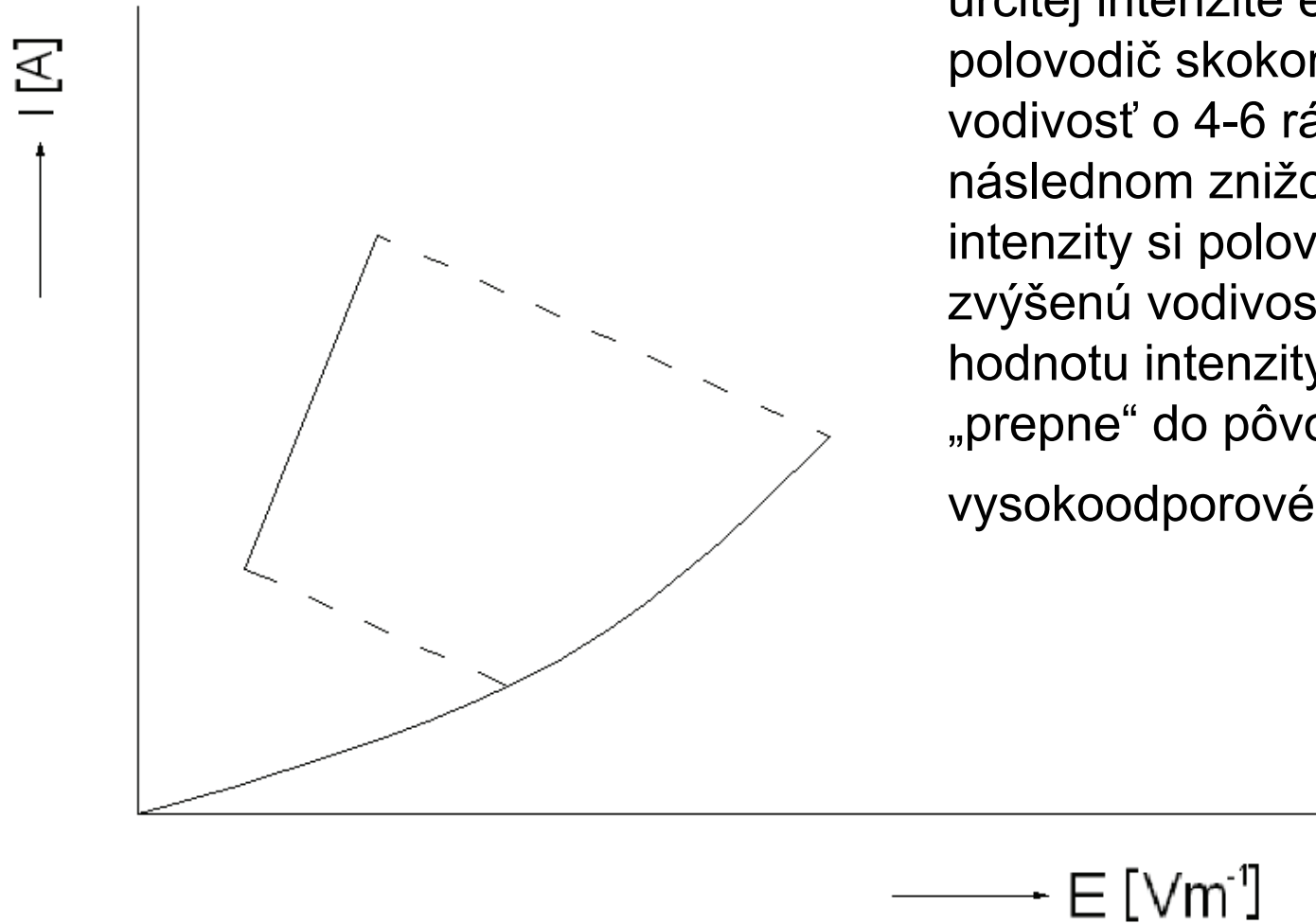
Zenerov jav



1.1 Úvod – Základné fyzikálne javy v polovodičoch



Prepínací jav

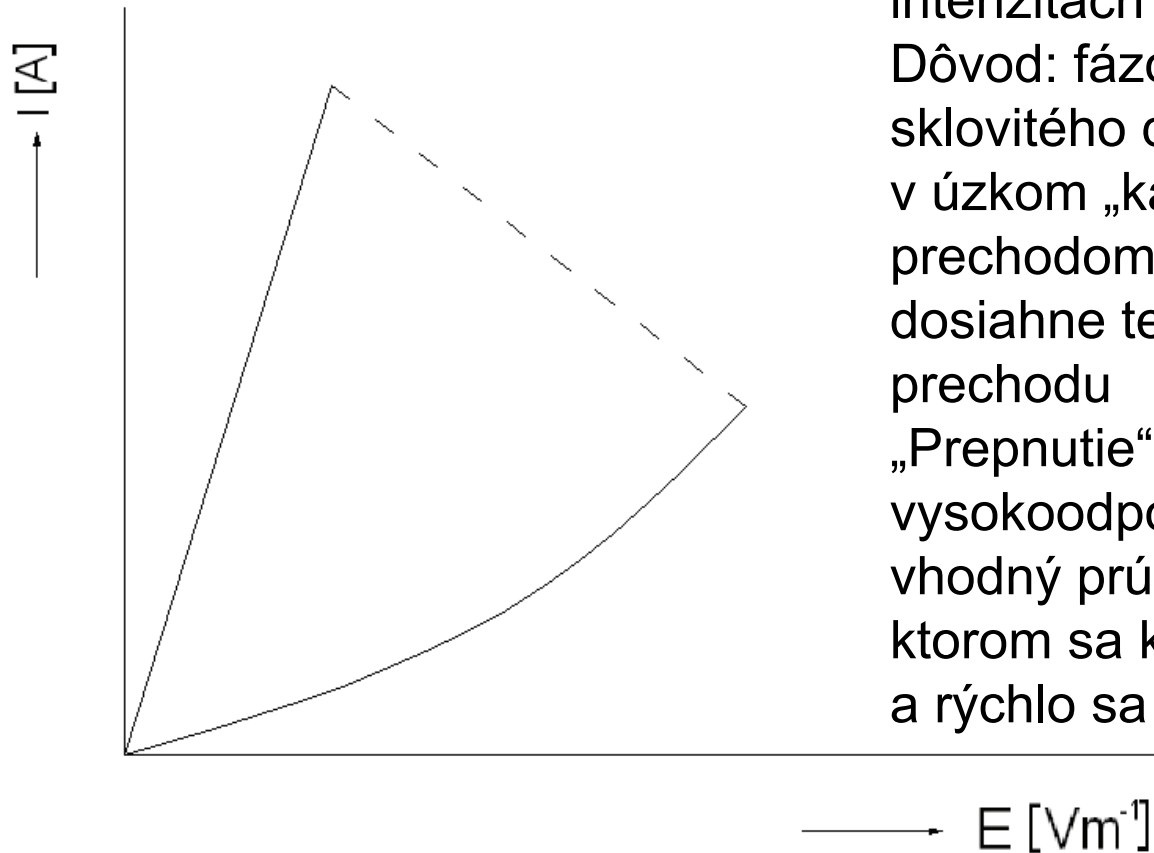


Sklovité polovodiče. Pri určitej intenzite el. poľa polovodič skokom zvýši el. vodivosť o 4-6 rádov. Pri následnom znižovaní intenzity si polovod. udrží zvýšenú vodivosť až po určitú hodnotu intenzity, potom „prepne“ do pôvodného vysokoodporového stavu.

1.1 Úvod – Základné fyzikálne javy v polovodičoch



Pamäťový jav



Sklovité polovodiče. Platí to isté čo pre prepínací jav, až na to, že ani pri nízkych intenzitách neprepne späť. Dôvod: fázových prechod zo sklovitého do kryštal. stavu v úzkom „kanáliku“, kde sa prechodom el. prúdu dosiahne teplota fázového prechodu „Prepnutie“ do vysokoodporového. stavu: vhodný prúdový impulz, pri ktorom sa kanálik roztačí a rýchlo sa ochladzuje.

1.1 Úvod – Základné fyzikálne javy v polovodičoch



Seebeckov jav

Vznik termoelektrického napäťia v látke pozdĺž ktorej existuje gradient teploty.

Seebeck: v uzavretom okruhu zloženom z 2 rozličných vodičov vzniká el. prúd, ak spojené konce majú rozličné teploty

Využitie: meranie teploty, premena tepelnej energie na elektrickú

$$\alpha = U_\alpha / (T_2 - T_1) \quad \alpha [VK^{-1}] = \text{koef. termoel. napäťia}$$
$$U_\alpha [V] = \text{termoel. napätie}$$

1.1 Úvod – Základné fyzikálne javy v polovodičoch



Peltierov jav

Pohlcovanie alebo uvoľňovanie tepla na spojoch a rozličných vodičov alebo polovod., ak nimi preteká el. prúd.

Podstata: ak el. prechádzajú z mater. kde je ich energia vyššia do mater. kde je ich energia nižšia → rozdiel sa odovzdá okoliu → oteplovanie. Pri opačnom smere: odčerpanie en. z okolia → ochladzovanie.

$$Q_P = \Pi \cdot I \cdot t \quad \text{Peltierovo teplo [J], Peltierov koeficient [V], prúd [A], čas [s]}$$

1.1 Úvod – Základné fyzikálne javy v polovodičoch



Thompsonov jav

Odvzdanie alebo odoberanie tepla látkou, ktorou prechádza el. prúd, ak v látke existuje gradient teploty

Podstata: existencia el. s rozličnou en. pozdĺž gradientu teploty. Ak el. prechádza v smere teplotného grad. → dopĺňa si energiu z okolia → ochladzuje sa

$$Q_T = \mu \cdot I \cdot t \frac{dT}{dx}$$

Q_T [Jm⁻¹] Thompsonovo teplo
 μ [VK⁻¹] Thompsonov koeficient
 dT/dx [Km⁻¹] gradient teploty

1.1 Úvod – Základné fyzikálne javy v polovodičoch



Hallov jav

Vznik el. napäťia na vzorke polovodiča (alebo kovu) ak ňou preteká el. prúd a súčasne sa nachádza v magnetickom poli. Silové pôsobenie na nosiče náboja → Lorentzov vztah:

$$\vec{F} = q(\vec{E} + \vec{v} \times \vec{B}) \quad \rightarrow \text{vychyľovanie nosičov do oblúka v smere } y$$

Hallova konštanta $R_H = f(e, p, n, \dots)$

1.1 Úvod – Základné fyzikálne javy v polovodičoch



Magnetorezistenčný jav

= závislosť rezistivity (konduktivity) polovodičov (vodičov) od magnetickej indukcie.

Zakrivenie dráh elektrónov závisí od Hallovho napäťia a od rýchlosťi nosičov. Malé a veľké rýchlosťi → vychýlenie do opačnej strany

$$\sigma = \sigma_0 \left(1 - \frac{u^2 B^2}{2} \right)$$

1.1 Úvod – Základné fyzikálne javy v polovodičoch



Magnetorezistenčný jav

Halovo pole bráni zakriveniu dráh elektrónov →
výsledok závisí na rýchlosťi el., ktorá je rôzna

1.1 Úvod – Základné fyzikálne javy v polovodičoch



Ettinghausenov jav

Vznik priečneho rozdielu teplôt vo vzorke polovodiča (kovu) ak ňou prechádza el. prúd a súčasne sa nachádza v magnetickom poli

Podstata: silové pôsobenie magnetického poľa na nosiče náboja s rozličnými rýchlosťami. Konštanta úmernosti $\rightarrow R_E$ (Ettinghausenov koeficient):

$$R_E = \frac{\nabla_Y T}{B_Z J_X} \quad [m^3 K J^{-1}] \quad \nabla_Y T : \text{teplotný gradient v smere } Y$$

1.1 Úvod – Základné fyzikálne javy v polovodičoch



Nernstov-Ettinghausenov jav

Vznik priečneho el. poľa vo vzorke kovu (polovod.) ak ním prechádza tepelný prúd a je pritom v magnetickom poli → Nernstov-Ettinghausenov koeficient:

$$R_{NE} = \frac{E_Y}{B_Z \nabla_X T} \quad [m^2 K^{-1} s^{-1}]$$

1.1 Úvod – Základné fyzikálne javy v polovodičoch



Righiho-Leducov jav

Vznik priečneho rozdielu teplôt vo vzorke kovu (polovod.) vloženej do mg. poľa ak ňou prechádza tepelný prúd → Righiho-Leducov koeficient

$$R_{RL} = \frac{\nabla_Y T}{B_Z \nabla_X T} \quad [m^2 V^{-1} s^{-1}]$$

1.1 Úvod – Základné fyzikálne javy v polovodičoch



Vnútorný fotoelektrický jav

Zmena en. el. v látke následkom jej osvetlenia resp. ožiarenia. Zmena en. nastane ak el. toto žiarenie absorbujú.

Rozdiel konduktivity osvetleného a neosvetleného polovodiča → fotoelektrická konduktivita: $\sigma_f = \sigma - \sigma_0$

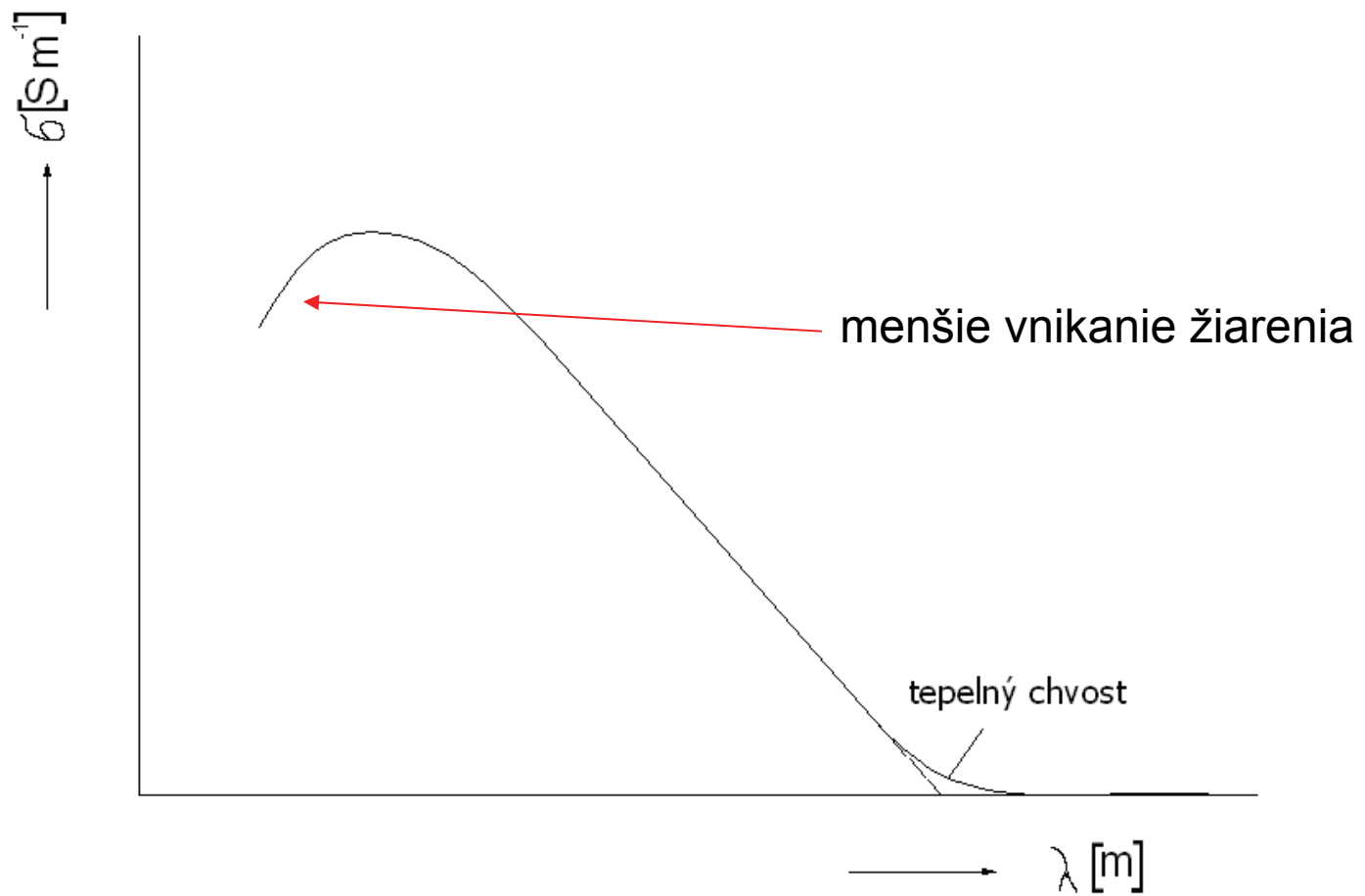
Svetlom uvoľnené nosiče náboja: $n_f = g_f \cdot \tau_z [m^{-3}]$

$g_f [m^{-3}s^{-1}]$ fotoelektrický generačný koeficient,
 $\tau_z [s]$ doba života minoritných nosičov

1.1 Úvod – Základné fyzikálne javy v polovodičoch



Vnútorný fotoelektrický jav



1.1 Úvod – Základné fyzikálne javy v polovodičoch



Vonkajší fotoelektrický jav

Vystupovanie el. z látky v dôsledku jej ožiarenia (osvetlenia), (absorbovaná en. musí byť väčšia ako je en. potrebná na uvoľnenie el.) Materiál opustia len tie el., ktoré zložka rýchlosi v okamihu pohlcovania fotónov smeruje kolmo na povrch materiálu. Využitie : fotonásobiče, fotokatódy

1.1 Úvod – Základné fyzikálne javy v polovodičoch



Fotovoltaický jav

Vznik el. napäťia v dôsledku ožiarenia (osvetlenia)

Využitie → premena svetelnej en. na elektrickú.

Realizácia → hradlové fotočlánky (PN priechod, styk kovu a polovodiča)

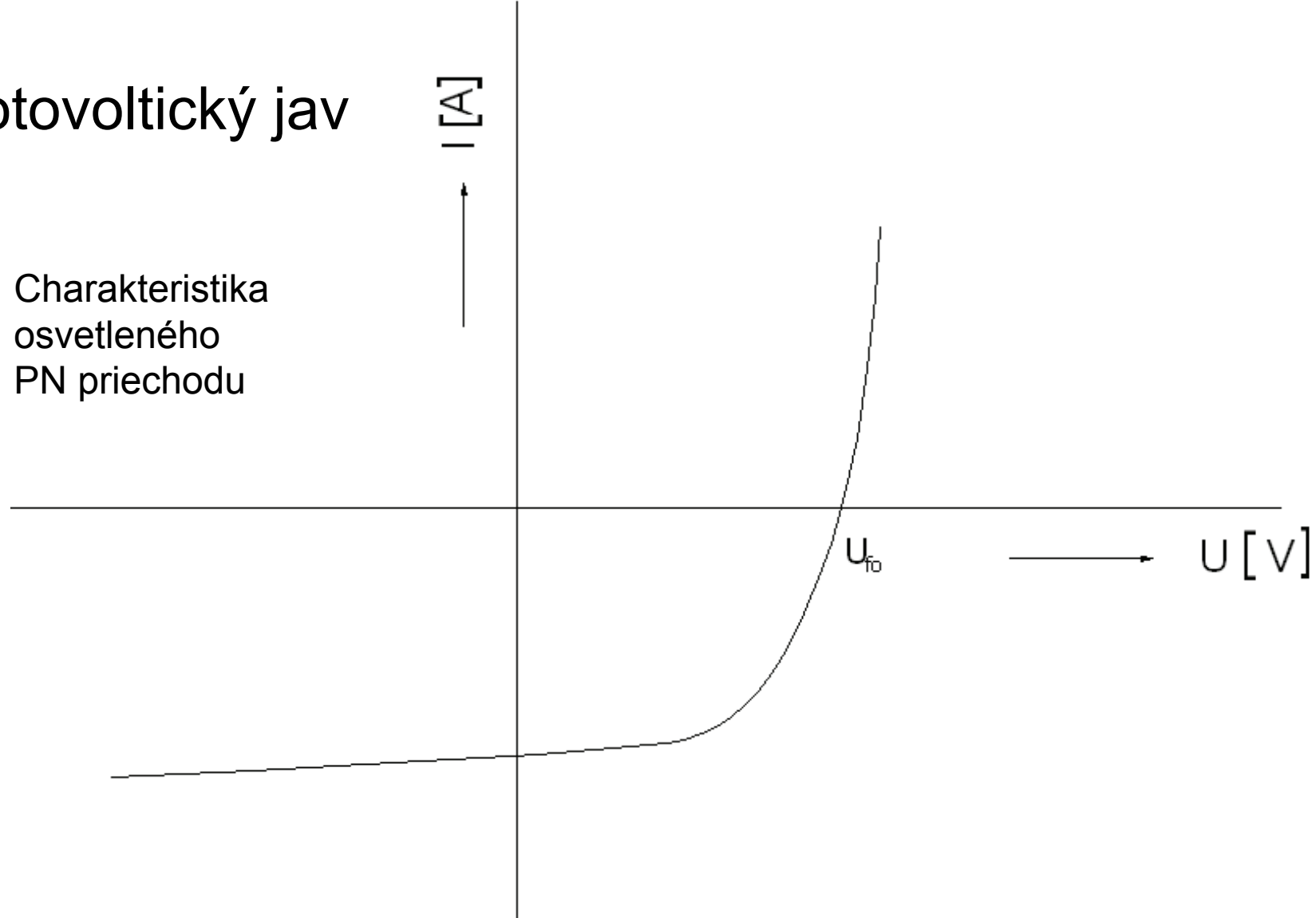
Pri nulovom zaťažení vznikne na osvetlenom PN priechode fotoel. napätie U_{f0}

1.1 Úvod – Základné fyzikálne javy v polovodičoch



Fotovoltaický jav

Charakteristika
osvetleného
PN priechodu



1.1 Úvod – Základné fyzikálne javy v polovodičoch



Luminiscenčné javy

Vyžarovanie el. mg. žiarenia látkou následkom rozličných vonkajších vplyvov.

Príčina: priamy prechod el. na nižšie dovolené en. hladiny

1.1 Úvod – Základné fyzikálne javy v polovodičoch



Luminiscenčné javy

Vonk. vplyv: el. pole (elektroluminiscencia)
ožiarenie (osvetlenie) (fotoluminiscencia)

obrazovky ← následkom dopad. el. (katódoluminiscencia)
chemické reakcie (chemiluminiscencia)
trenie látky (triboluminiscencia)

vyskytuje sa v látkach nazvaných luminofory = polovodiče so širokým zakázaným pásmom

Parameter: čas zániku luminiscencie po zrušení príčiny:
čas $\leq 10^{-8}$ s → fluorescencia
 $> 10^{-8}$ s → fosforescencia

1.2 Polovodivé materiály



Elementárne polovodiče
(kremík, germánium, selén...)

Zlúčeniny
(arzenid gália, antimonid india)

Silná závislosť vlastností od : koncentrácie a druhu prímesí, štruktúry, teploty, ožiarenia, el. a mg. poľa, tlaku...

1.2 Polovodivé materiály



Elementárne polovodiče

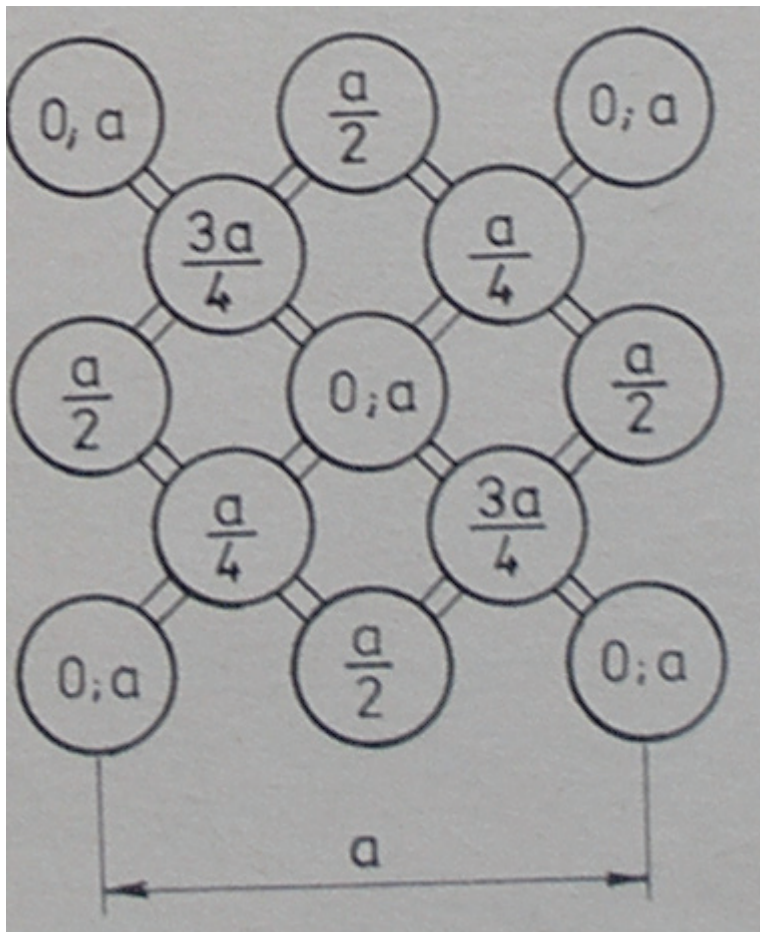
		protónové číslo	šírka zakázaného pásma
5	B	1,39 eV	Bór
6	C	5,6	Uhlík
14	Si	1,12	Kremík
32	Ge	0,66	Germánium
50	Sn	0,09	Cín (šedý cín)
15	P	1,5 (2,1)	Fosfor
33	As	1,2	Arzén
51	Sb	0,11	Antimón
16	S	2,6	Síra
34	Se	1,8	Selén
52	Te	0,34	Telúr

1.2 Polovodivé materiály



Elementárne polovodiče

Kremík – „diamantová“ mriežka



mriežková konštantă: $a = 0,543 \text{ nm}$

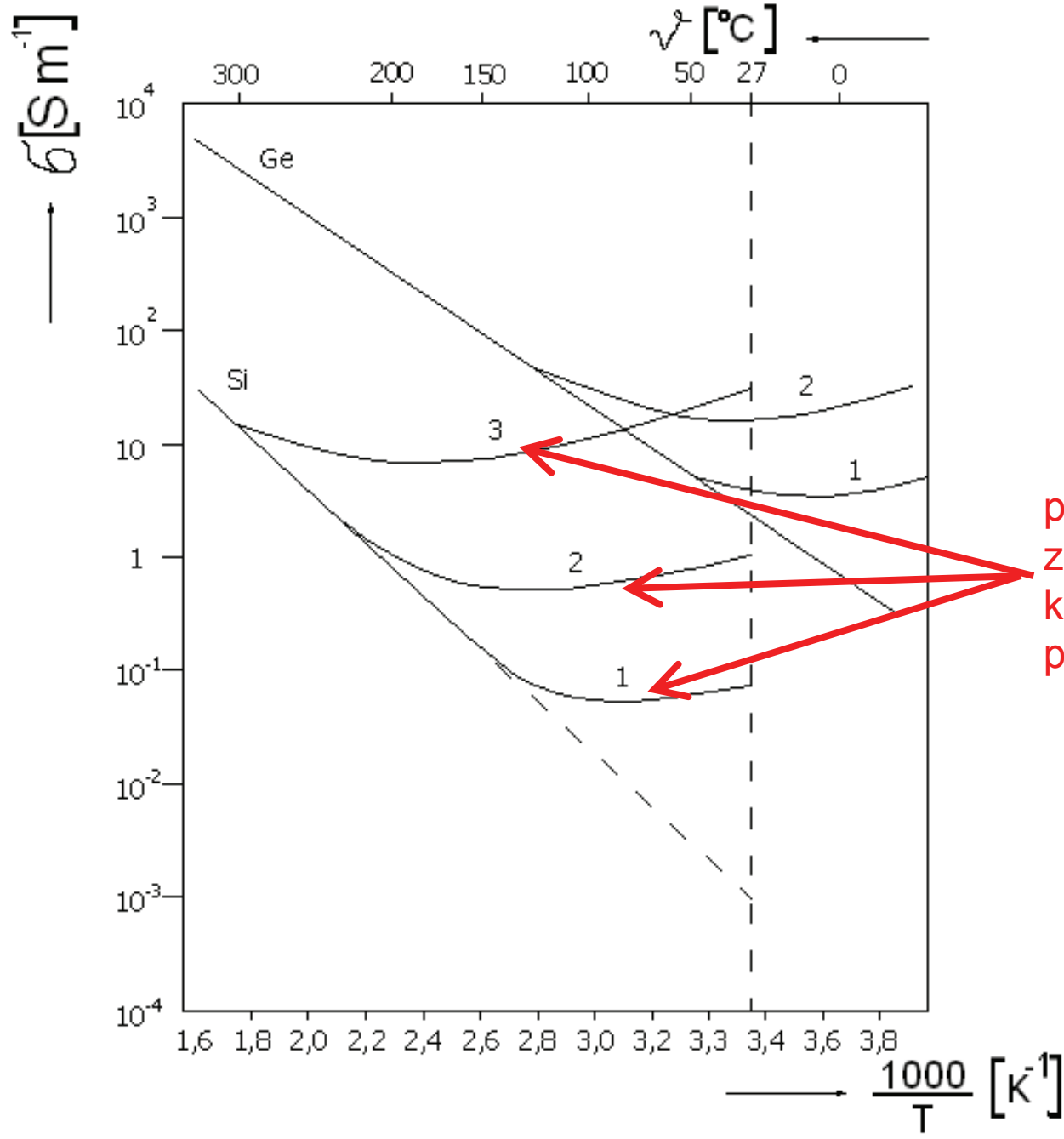
vzdialenosť susedných atómov: $0,234 \text{ nm}$

1.2 Polovodivé materiály

Elementárne polovodiče

	Si	Ge	GaAs
protónové číslo	14	32	31 - 33
mriežková konštant a [nm]	0,543	0,566	0,566
vzd. susedných atómov [nm]	0,234	0,244	0,244
koordinačné číslo	4	4	4
počet atómov v element. bunke	8	8	4 + 4
koncentrácia atómov N [m ⁻³]	4,96.10 ²⁸	4,42.10 ²⁸	2 x 2,21.10 ²⁸
hmotnosť atómu [kg]	4,66.10 ⁻²⁶	1,20.10 ⁻²⁵	1,16.10 ⁻²⁵ (Ga) 1,24.10 ⁻²⁵ (As)
hustota [kgm ⁻³]	2328	5320	5320
teplota tavenia [°C]	1420	937	1238
merná tepelná vodivosť [Wm ⁻¹ K ⁻¹]	145	64	46
relatívna permitivita	12	16	11
elektrická pevnosť [Vm ⁻¹]	~3.10 ⁷	~1.10 ⁷	~4.10 ⁷
intrinzičká koncentrácia n _i [m ⁻³]	1,5.10 ¹⁶	2,4.10 ¹⁹	1,1.10 ¹³
u _n [m ² V ⁻¹ s ⁻¹]	0,14	0,39	0,85
u _p [m ² V ⁻¹ s ⁻¹]	0,05	0,19	0,04
konduktivita $\tilde{\sigma}_i$ [Sm ⁻¹]	4,5.10 ⁻⁴	2,23	1,57.10 ⁻⁶
prah.fotocitlivosti λ _f [μm]	1,11	1,88	0,87
šírka zakázaného pásma ΔW _z [eV]	1,12	0,66	1,43

1.2 Polovodivé materiály



postupne sa
zvyšujúca
koncentrácia
prímesí



1.2 Polovodivé materiály

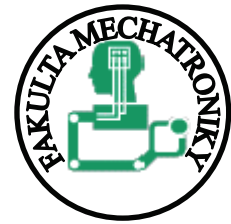


Elementárne polovodiče – Kremík

Diamantová kryštalická mriežka (2 plošne centrovane kubické mriežky navzájom posunuté v smere telesovej uhlopriečky). Má 14 elektrónov, z toho 4 valenčné.

Kremík tvorí cca 16,7% zo všetkých prvkov zemskej kôry, čistý sa však nevyskytuje, často je SiO_2 (kremeň)

1.2 Polovodivé materiály



Elementárne polovodiče – Kremík

Výroba: uvoľnenie z SiO_2 (kremičitý piesok) pri teplote 1000°C uhlíkom → vznikne „ferosilícium“ (0,5% Fe, 0,5% Al, 0,5% Ca + C, P, CU, SB, As a pod.) → spaľovanie v prúde chlóru → destilácia a extrakcia → dosiahne sa veľká čistota SiHCl_3 (trichlórsilán) Prechod el. prúdu → ohrev na 1000°C → polykryštalické valce s priemerom do 10 cm → fyzikálne čistenie + výroba monokryštálu.

Výroba: diódy, tranzistory, tyristory, integr. obvody a pod.

1.2 Polovodivé materiály



Elementárne polovodiče – Kremík

Šírka zakázaného pásma	$\Delta W_z = 1,12 \text{ eV}$ (1,16 eV pri 0 K)
Koncentrácia atómov	$N = 4,96 \cdot 10^{28} \text{ m}^{-3}$
Hustota	$\rho = 2328 \text{ kg m}^{-3}$
Teplota tavenia	1420°C
Relat. permitivita	$\epsilon_r = 12$
Koncentr. vl. nos. náboja	$n_i = 1,5 \cdot 10^{16} \text{ m}^{-3}$
Konduktivita	$\sigma_i = 4,5 \cdot 10^{-4} \text{ Sm}^{-1}$
Vzdial. susedných atómov	0,234 nm
Hmotnosť atómu	$4,66 \cdot 10^{-26} \text{ kg}$
Pohyblivosť elektrónov	$u_n = 0,14 \text{ m}^2 \text{V}^{-1} \text{s}^{-1}$
Pohyblivosť dier	$u_p = 0,05 \text{ m}^2 \text{V}^{-1} \text{s}^{-1}$



1.2 Polovodivé materiály

Elementárne polovodiče – Kremík

Donory:

fosfor: (aktivačná energia $\Delta W_D = 0,045$ eV)

arzén ($\Delta W_D = 0,049$ eV)

antimón ($\Delta W_D = 0,039$ eV)

lítium ($\Delta W_D = 0,033$ eV)

Akceptory:

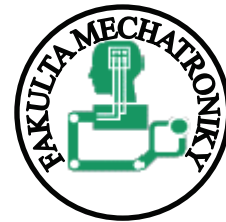
indium ($\Delta W_A = 0,16$ eV)

bór ($\Delta W_A = 0,045$ eV)

gálium ($\Delta W_A = 0,065$ eV)

hliník ($\Delta W_A = 0,057$ eV)

1.2 Polovodivé materiály



Elementárne polovodiče – Germánium

Použitie: vf tranzistory, lacné tranzistory spotrebnej elektroniky, dozimetria

Šírka zakázaného pásma $\Delta W_z = 0,66 \text{ eV}$ (0,75 eV pri 0 K)

Koncentrácia atómov $N = 4,42 \cdot 10^{28} \text{ m}^{-3}$

Hustota $\rho = 5320 \text{ kg m}^{-3}$

Teplota tavenia 937°C

Relat. permitivita $\epsilon_r = 16$

Koncentr. vl. nos. náboja $n_i = 2,4 \cdot 10^{19} \text{ m}^{-3}$

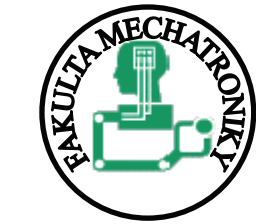
Konduktivita $\sigma_i = 2,23 \cdot 10^{-4} \text{ Sm}^{-1}$

Vzdial. susedných atómov 0,244 nm

Hmotnosť atómu $1,20 \cdot 10^{-25} \text{ kg}$

Pohyblivosť elektrónov $u_n = 0,39 \text{ m}^2 \text{V}^{-1} \text{s}^{-1}$

Pohyblivosť dier $u_p = 0,19 \text{ m}^2 \text{V}^{-1} \text{s}^{-1}$



1.2 Polovodivé materiály

Elementárne polovodiče – Germánium

Donory:

- fosfor: (aktivačná energia $\Delta W_D = 0,012 \text{ eV}$)
- arzén ($\Delta W_D = 0,013 \text{ eV}$)
- antimón ($\Delta W_D = 0,0096 \text{ eV}$)

Akceptory:

- indium ($\Delta W_A = 0,011 \text{ eV}$)
- bór ($\Delta W_A = 0,01 \text{ eV}$)
- gálium ($\Delta W_A = 0,011 \text{ eV}$)
- hliník ($\Delta W_A = 0,01 \text{ eV}$)

1.2 Polovodivé materiály



Elementárne polovodiče – Selén

prvý známy polovodič → 1886: prvý usmerňovač

v polovodičovej technike: modifikácia s $\sigma_i = 10^{-3} \text{ Sm}^{-1}$
 $\Delta W_Z = 1,8 \text{ eV}$

použitie: fotočlánky, usmerňovače, xerografia

1.2 Polovodivé materiály



Elementárne polovodiče – Ostatné prvky

Obmedzené použitie → väčšinou ako prímesi alebo zlúčeniny

1.2 Polovodivé materiály



Polovodivé zlúčeniny

- a, skupiny $A^{III}B^V$
- b, sírniky, selenidy, teluridy,
- c, zlúčeniny prechodných prvkov,
- d, ostatné anorganické zlúčeniny,
- e, chalkogénne sklá (báza: síra, selén telúr)
- f, organické polovodiče



1.2 Polovodivé materiály

Polovodivé zlúčeniny - a, skupiny A^{III}B^V

Arzenid gália
Antimonid india
Fosfid india
Antimonid gália

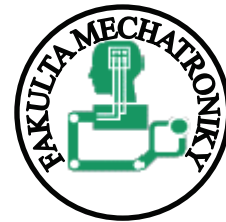
Najpoužívanejši: **GaAs - Arzenid Gália**
veľká šírka zak. pásmo → použitie až do 400°C, klasické diódy,
tranzistory, luminiscenčné diódy, laserové diódy, generátory mikrovln.,
optoelektronické súčiastky, ...

InSb – Antimonid India

Jedna z najmenších šírok zakázaného pásmo 0,18 eV → vysoká
koncentrácia nosičov $n_i = 1,6 \cdot 10^{22} \text{ m}^{-3}$, konduktivita = $2 \cdot 10^4 \text{ Sm}^{-1}$

Malá šírka zakázaného pásmo umožňuje fotoelektrický jav až do
vlnových dĺžok fotónov okolo 7,5 μm → registrácia infračerveného
žiarenia.

1.2 Polovodivé materiály



Polovodivé zlúčeniny – GaAs (arzenid gália)

Šírka zakázaného pásma	$\Delta W_z = 1,43 \text{ eV}$
Koncentrácia atómov	$N = 2 \times 2,21 \cdot 10^{28} \text{ m}^{-3}$
Hustota	$\rho = 5320 \text{ kg m}^{-3}$
Teplota tavenia	1238°C
Relat. permitivita	$\epsilon_r = 11$
Koncentr. vl. nos. náboja	$n_i = 1,1 \cdot 10^{13} \text{ m}^{-3}$
Konduktivita	$\sigma_i = 1,57 \cdot 10^{-6} \text{ Sm}^{-1}$
Vzdial. susedných atómov	0,244 nm
Hmotnosť atómu	$1,16 \cdot 10^{-25} \text{ kg (Ga)}$ $1,24 \cdot 10^{-25} \text{ kg (As)}$
Pohyblivosť elektrónov	$u_n = 0,85 \text{ m}^2 \text{V}^{-1} \text{s}^{-1}$
Pohyblivosť dier	$u_p = 0,04 \text{ m}^2 \text{V}^{-1} \text{s}^{-1}$



1.2 Polovodivé materiály

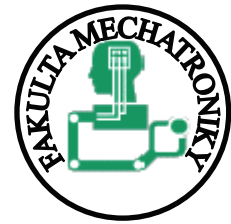
Polovodivé zlúčeniny

b, sírniky, selenidy, teluridy,

CdS = sírnik kademnatý → fotocitlivosť (zmena konduktivity pri osvetlení až o 6 rádov), veľká zotrvačnosť procesov → relativne nízka max. prípustná frekvencia signálov

Bi_2Te_3 = telurid bizmutu – termoelektrický javy

1.2 Polovodivé materiály



Polovodivé zlúčeniny

c, zlúčeniny prechodných prvkov

prvky s nezaplnenými orbitalmi: Cr, Fe, Co, Ni ..., resp. ich oxidy a sírniky

Cu_2O – kysličník medňný = „kuprox“, usmerňovač v r.1926

d, ostatné anorganické zlúčeniny,

SiC karbid kremíka $\Delta W_z = 2,9 \text{ eV}$ $\sigma = 10^{-11} - 10^3 \text{ Sm}^{-1}$

ZnO oxid zinočnatý $\Delta W_z = 3,2 \text{ eV}$ $\sigma = 10^{-4} - 10^3 \text{ Sm}^{-1}$
fotoelektrické javy, luminiscencia

1.2 Polovodivé materiály



Polovodivé zlúčeniny

e, chalkogénne nekryštalické polovodiče

chalkogénne sklá, čiže prvky s S, Se, Te v sústavách s inými
prvkami

Ide o látky s kovalentnými väzbami s dlhými reťazcami.

Použitie: infračervené žiarenie, sklené vlákna pre lasery,
oneskorovacie médiá v ultrazvukovej technike, telefónne
spínacie prvky, zobrazovacia technika, záznam informácií...



1.2 Polovodivé materiály

Polovodivé zlúčeniny

f, organické polovodiče

org. látky s elektrónovou vodivosťou $\Delta W_z = 0,1 - 1 \text{ eV}$

pohyblivosť $u_n = 10^{-2} - 10^{-6} \text{ m}^2 \text{V}^{-1} \text{s}^{-1}$

nízka pohyblivosť ← makromolekulárne látky v ktorých sa elektrón môže pohybovať len pozdĺž reťazcov.

Antracén $C_{14}H_{10}$

Chlorofyl

Hemoglobín

Proteín

Využitie: modely dejov v živých organizmoch: fotosyntéza, zretie rastlín a pod.

1.3 Technológie výroby polovodičov



Príprava objemových monokryštálov

Príprava monokryštalických vrstiev

Príprava polykryštalických polovodičov

Príprava nekryštalických polovodičov

Príprava PN priechodov



1.3 Technológie výroby polovodičov

Príprava objemových monokryštálov

Cieľ: čo najdokonalejšie a najväčšie monokryštály s max. čistotou, prípadne s vopred určeným množstvom prímesí.

Východiskový materiál: polovodiče vyčistené chemickými metódami (napr. Si a Ge na 99,999%)

1.3 Technológie výroby polovodičov

Príprava objemových monokryštálov

a) Czochralského metóda – Si Ge GaAs

Princíp: do roztavenej látky sa ponorí monokryšt. zárodok z toho istého materiálu s takou kryštalografickou štruktúrou, akú má mať vypestovaný kryštál. Vyrovnaná sa teplota a zárodok sa pri pomalom otáčaní vytahuje z taveniny smerom nahor. Používa sa ochranná atmosféra (argón, vodík) alebo vákuum. Použitím tejto metódy prebieha aj čistenie kryštálu, lebo väčšina prímesí má tendenciu zostať v kvapalnej fáze. Rozhodujúci je segregáčny (rozdeľovací) koeficient:

$$k = C_S/C_L \quad (\text{koncentrácie nečistôt v tuhej a kvapalnej fáze})$$



1.3 Technológie výroby polovodičov

Príprava objemových monokryštálov

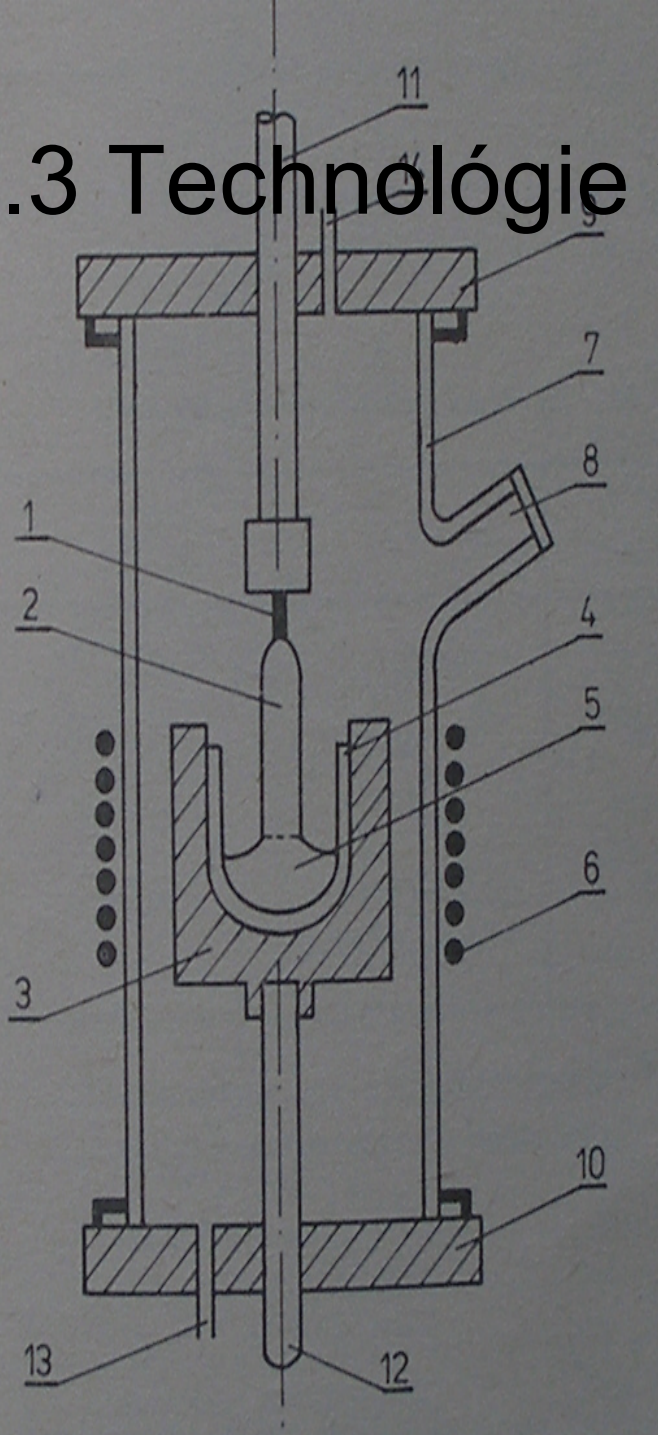
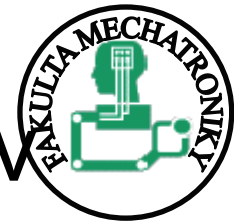
a) Czochralského metóda – Si Ge GaAs

hodnoty segregačného koeficientu k:

Prvok	Fe	Cu	Au	In	Ga	Al	As	P	B
v Si			$3 \cdot 10^{-5}$	$3 \cdot 10^{-4}$	$4 \cdot 10^{-3}$	$1,6 \cdot 10^{-3}$	$7 \cdot 10^{-2}$	$4 \cdot 10^{-2}$	0,8
V Ge	$2 \cdot 10^{-6}$	$1,5 \cdot 10^{-5}$	$3 \cdot 10^{-5}$	$1,1 \cdot 10^{-3}$	$1 \cdot 10^{-1}$	$1 \cdot 10^{-1}$	$4 \cdot 10^{-2}$	$1,2 \cdot 10^{-1}$	20

Koncentrácia prímesí sa mení pozdĺž ďahaného kryštálu, lebo objem kvapaliny sa nepretržite zmenšuje. Výsledok: cca hyperbolický priebeh koncentrácie nečistôt pozdĺž valca.

1.3 Technológie výroby polovodičov



Príprava objemových monokryštálov

a) Czochralského metóda – Si Ge
 GaAs

Zariadenie na ťahanie monokryštálov Czochralského metodou :
1 - zárodok, 2 - kryštál, 3 - grafítový nahrievač, 4 - téglík, 5 - tavenina, 6 - induktor, 7 - kremenná rúra, 8 - okienko, 9 - horná príruba, 10 - dolná príruba, 11 - tyč na ťahanie a otáčanie kryštálu, 12 - tyč na otáčanie téglíka, 13 - prítok argonu, 14 - odtok argonu



1.3 Technológie výroby polovodičov

Príprava objemových monokryštálov

b) zónová rafinácia

pozdĺž tuhého ingotu (= odliatku) sa pohybuje úzka priečne roztavená zóna. Vytvoria sa 2 nárazníkové zóny: taviaca a tuhnúca

Zvyšovaním prechodov zóny sa nečistoty sústredia na konci vzorky, resp. na začiatku → stredná časť sa vyčistí.

Aplikácie a možnosti : príprava extrémne čistého Ge: nečistoty cca $10^{-8}\%$ po 6 prechodoch

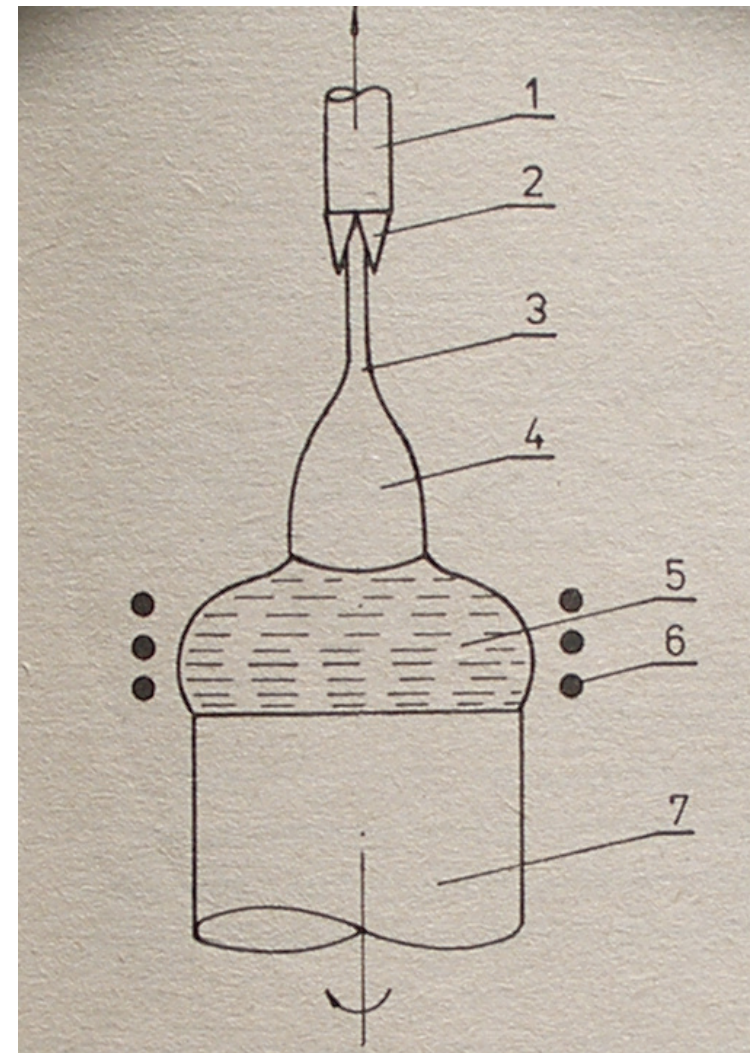
1.3 Technológie výroby polovodičov

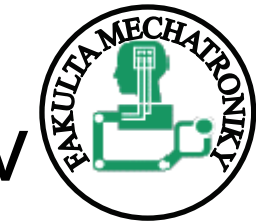
Príprava objemových monokryštálov

b) zónová rafinácia

Piedestálová metóda:

1 - ťažná tyč, 2 - držiak zárodku, 3 - orientovaný monokryštalický zárodok, 4 - vytahovaný monokryštál, 5 - tavenina, 6 - vf induktor, 7 - východiskový ingot





1.3 Technológie výroby polovodičov

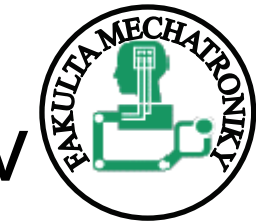
Príprava monokryštalických vrstiev

Najvýznamnejšie: epitaxné technológie → možnosť plynulo meniť koncentrácie donorov alebo akceptorov, možnosť vytvárať PN priechody ...

epitaxia z plynnej fázy

epitaxia z kvapalnej fázy

molekulárna epitaxia



1.3 Technológie výroby polovodičov

Príprava monokryštalických vrstiev

Stále väčšie využitie polovodičov vo forme vrstiev
(môžu mať rozličnú hrúbku, štruktúru, ...)

Osobitný význam → vrstvy s monokryštalickou
štruktúrou = epitaxné



1.3 Technológie výroby polovodičov

Príprava monokryštalických vrstiev

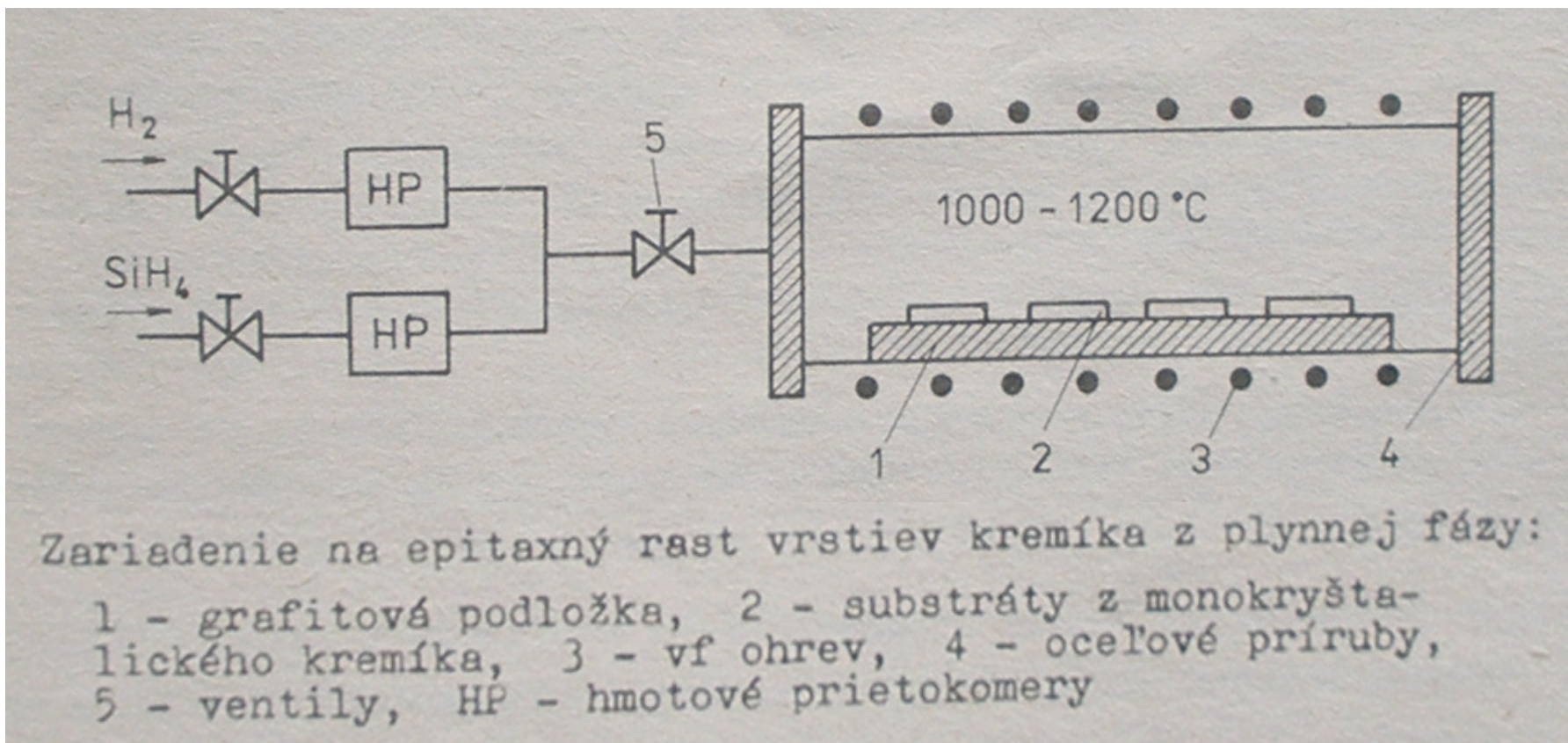
a) epitaxia z plynnej fázy – hrúbka rádovo μm →
VPE = Vapour Phase Epitaxy

Transportná chemická reakcia, keď sa do sústavy privádza polovodič A vo forme plynnej zlúčeniny s látkou B (transportné médium). V dôsledku gradientu tlaku sa plyn premiestňuje do oblasti podložky (substrátu), kde pod vplyvom zmeny teploty prebehne reverzná reakcia pri ktorej sa A vylúči vo forme monokryštalickej vrstvy. Rýchlosť rastu je cca desatiny $\mu\text{m/s}$

1.3 Technológie výroby polovodičov

Príprava monokryštalických vrstiev

a) epitaxia z plynnej fázy





1.3 Technológie výroby polovodičov

Príprava monokryštalických vrstiev

b) epitaxia z kvapalnej fázy LPE – Liquid Phase Epitaxy

Rozpustenie polovodiča vo vhodnom rozpúšťadle → zo získaného nasýteného roztoku začne kryštalizovať rozpustená látka na monokryštalickej podložke vo forme epitaxnej vrstvy.

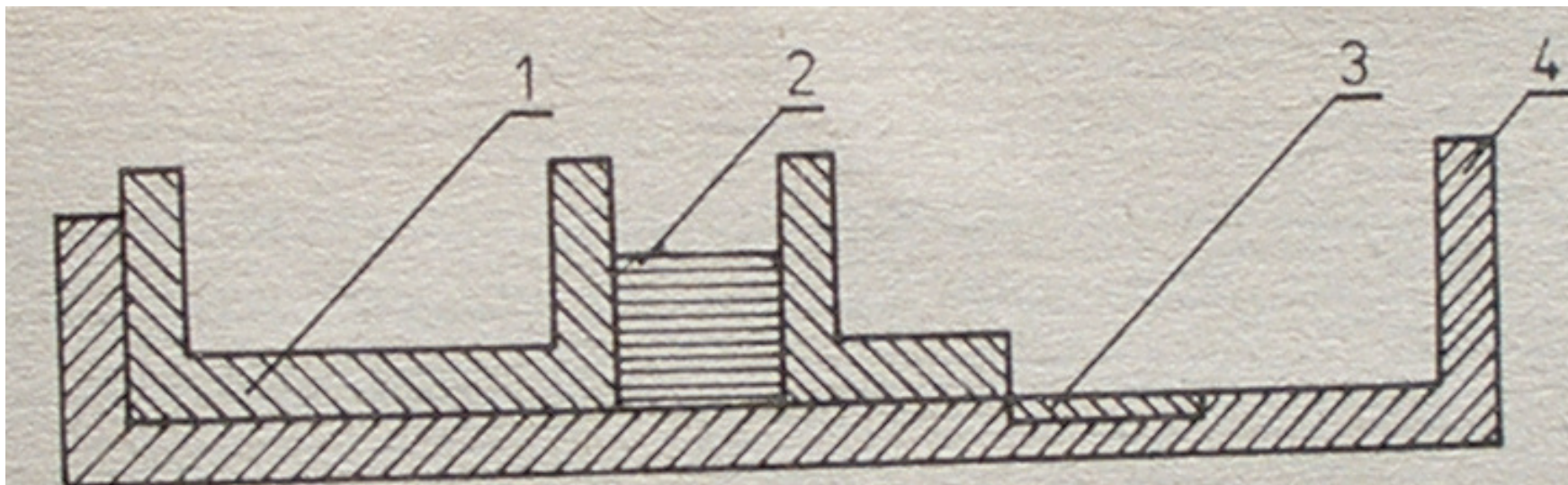
Princíp: „lodička“ so substrátom sa zaleje roztokom
obr. str. 65

Rýchlosť: $10^{-2} – 10^{-1}$ mm/s

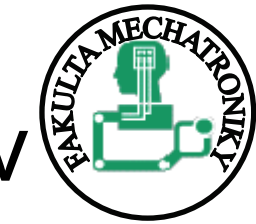
1.3 Technológie výroby polovodičov

Príprava monokryštalických vrstiev

b) epitaxia z kvapalnej fázy



Systém posuvnej lodičky na epitaxný rast vrstiev z kvapalnej fázy: 1 - posuvná časť, 2 - roztok, 3 - substrát, 4 - lodička



1.3 Technológie výroby polovodičov

Príprava monokryštalických vrstiev

c) molekulárna epitaxia

Vysoké vákuum + molekulárna reakcia látok
mimoriadne presné ovládanie hustoty a zloženia

Treba:

- zložitá aparátúra
- analýza zvyškových plynov
- chemická analýza povrchu vzorky a pod.



1.3 Technológie výroby polovodičov

Príprava polykryštalických polovodičov

a, odlievanie do blokov

Tavenie dostatočne čistého kremíka vo vákuu alebo v argóne a odliatie do grafitovej formy, ktorej chladenie znemožní reakciu medzi mater. a formou. Ingot má zreteľnú stĺpcovú štruktúru pozostávajúcu z izolovaných kryštalických oblastí, nasleduje rezania na dosky → finančne náročné

b, priame liatie substrátov

Liatie roztaveného Kremíka cez lievik na grafitovú alebo kremennú dosku → výroba veľkoplošných kremikových substrátov o hrúbke desatiny mm s priemerom zrn 10 – 100 μm . Doska je ohriata na cca 700°C

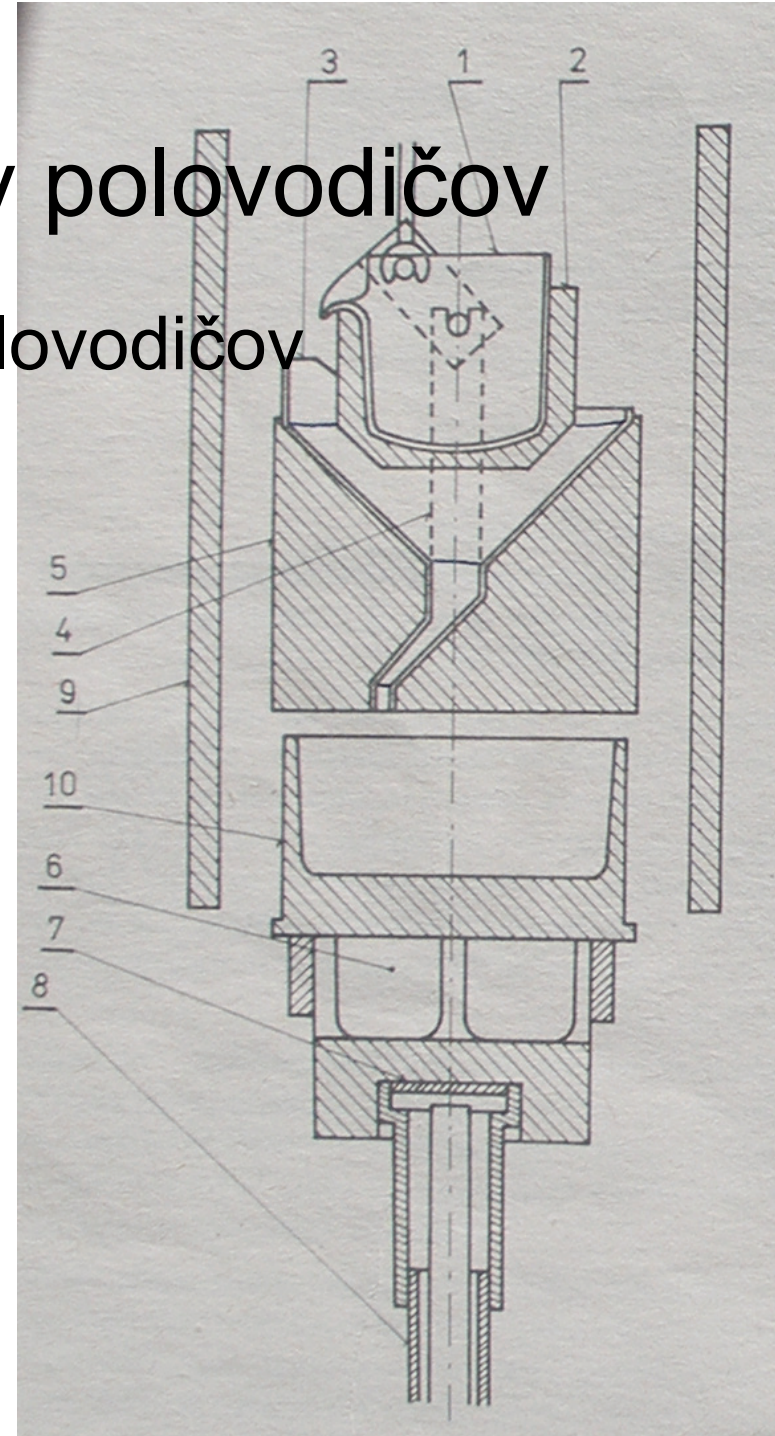
c) metóda CVD – Chemical Vapour Deposition, výroba tenkých vrstiev chemickou reakciou

d) metódy práškovej metalurgie

Tabletky z lisovaných práškových, prípadne dodatočne tepelné opracovanie východiskových materiálov. Nevyžaduje sa extrémna čistota. Východiskové suroviny Te (telúr) Bi (bizmut)

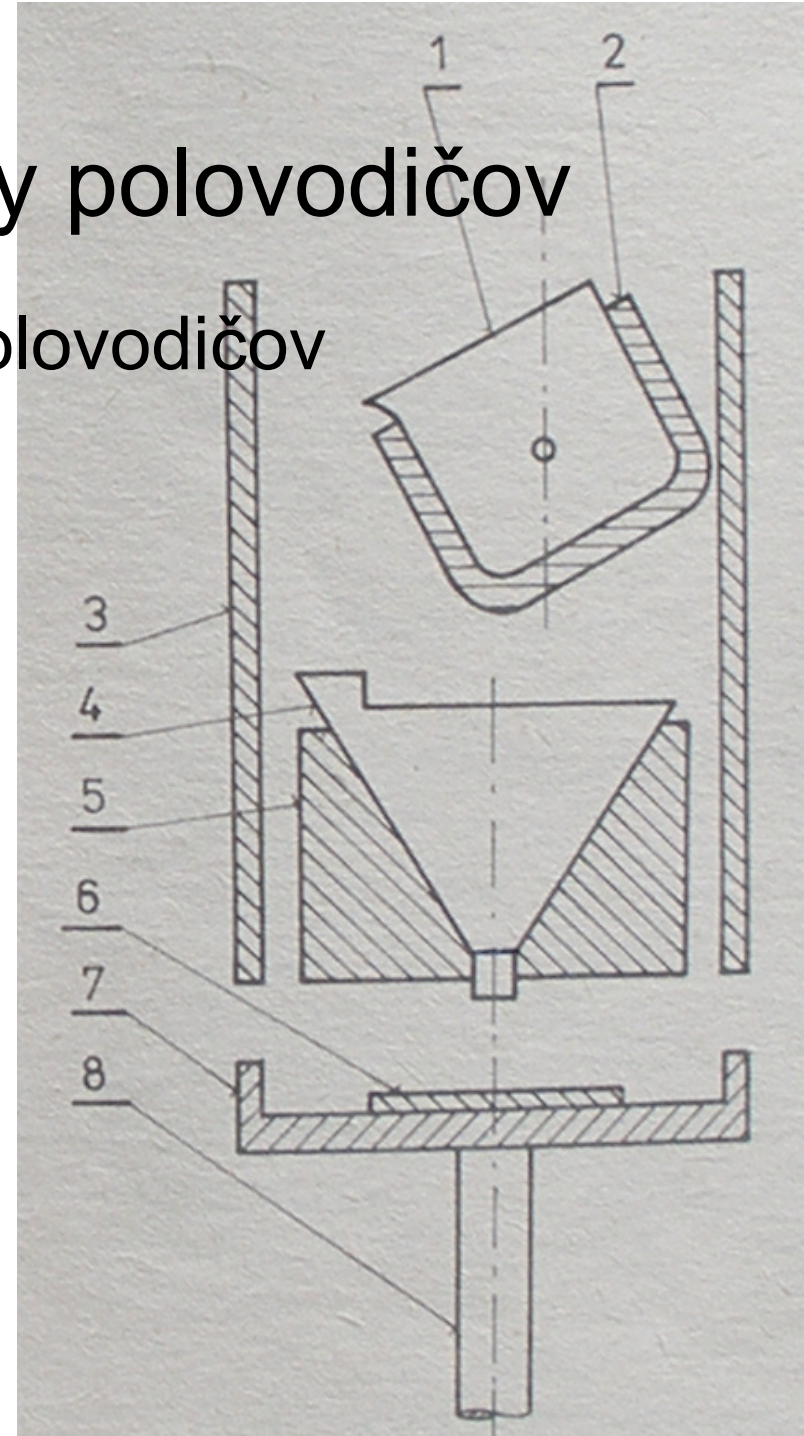
1.3 Technológie výroby polovodičov

Príprava polykryštalických polovodičov
a, odlievanie do blokov



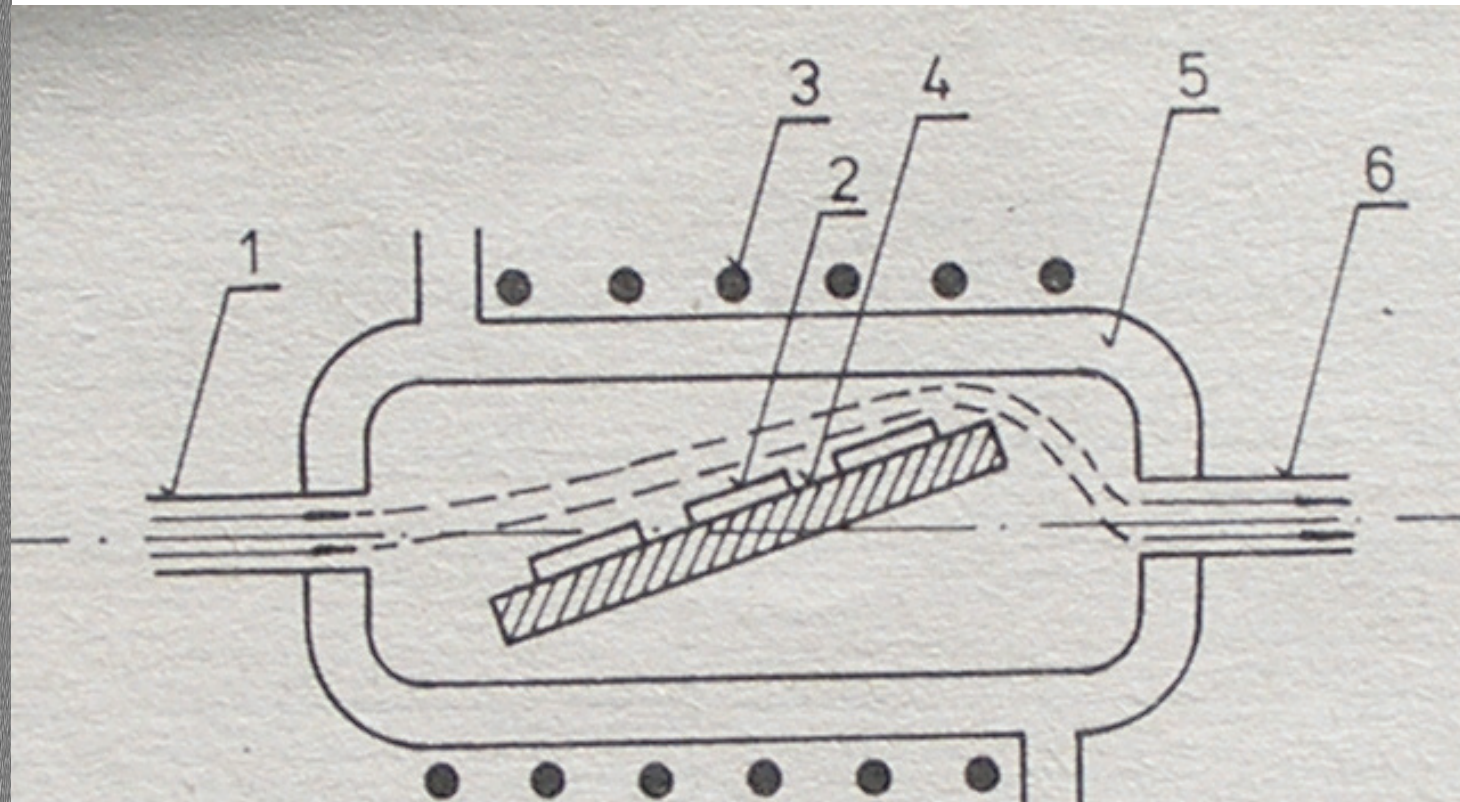
1.3 Technológie výroby polovodičov

Príprava polykryštalických polovodičov
b, priame liatie substrátov



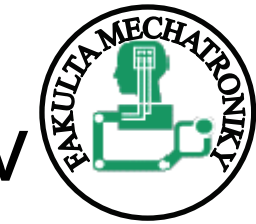
1.3 Technológie výroby polovodičov

Príprava polykryštalických polovodičov c) metóda CVD – Chemical Vapour Deposition



Horizontálny reaktor pre metódú CVD:

1 - prívod reagujúcich plynov, 2 - substráty,
3 - vf ohrev, 4 - držiak, 5 - reaktorová
rúra, 6 - odčerpávanie zreagovaných plynov



1.3 Technológie výroby polovodičov

Príprava nekryštalických polovodičov

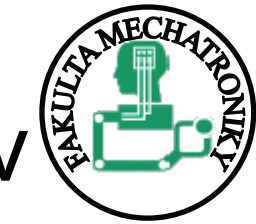
a) sklovité polovodiče

Zatavenie práškovej zmesi daného polovodiča (chalkogénne sklá) do ampulky z kremíka, zahriatie na bod tavenia a následné rýchle ochladenie (zakalením = ponorom do kvapaliny)

b) amorfné polovodiče

Váukové naparovanie = rovnaké ako pri výrobe kryštalických vrstiev, až na to, že podložka sa chladí

Iónové naprašovanie = v jednosmernom alebo tlejivom el. výboji, kladné ióny sú vytrhávané el. poľom a nasmerované na terč (= katóda)



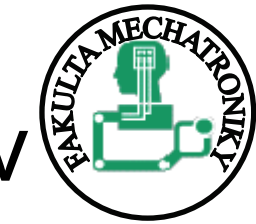
1.3 Technológie výroby polovodičov

Príprava PN priechodov

a) zliatinová (*legovacia*) technológia

Zliatina požadovanej prímesi typu *n* alebo *p* s iným prvkov.

Pri zvyšovaní sa teploty sa zliatina roztopí na povrchu polovodiča, potom sa vrstva polovodiča rozpustí v zliatine, ktorej zložky preniknú do polovodiča. Nasleduje chladnutie, pri ktorom vrstva polovodiča so zabudovanou prímesou znova kryštalizuje. (Na podložku jedného typu sa použije zliatina druhého typu).



1.3 Technológie výroby polovodičov

Príprava PN priechodov

b) difúzna metóda

Odparovanie materiálu v difúznej peci a prenášanie pomocou nosného plynu na povrch ohrievaných kremíkových doštičiek. Zmenou najmä teploty doštičiek možno regulaovať rýchlosť difúzie, hĺbku a strmosť priechodu a pod. Vhodná pre hromadnú výrobu.

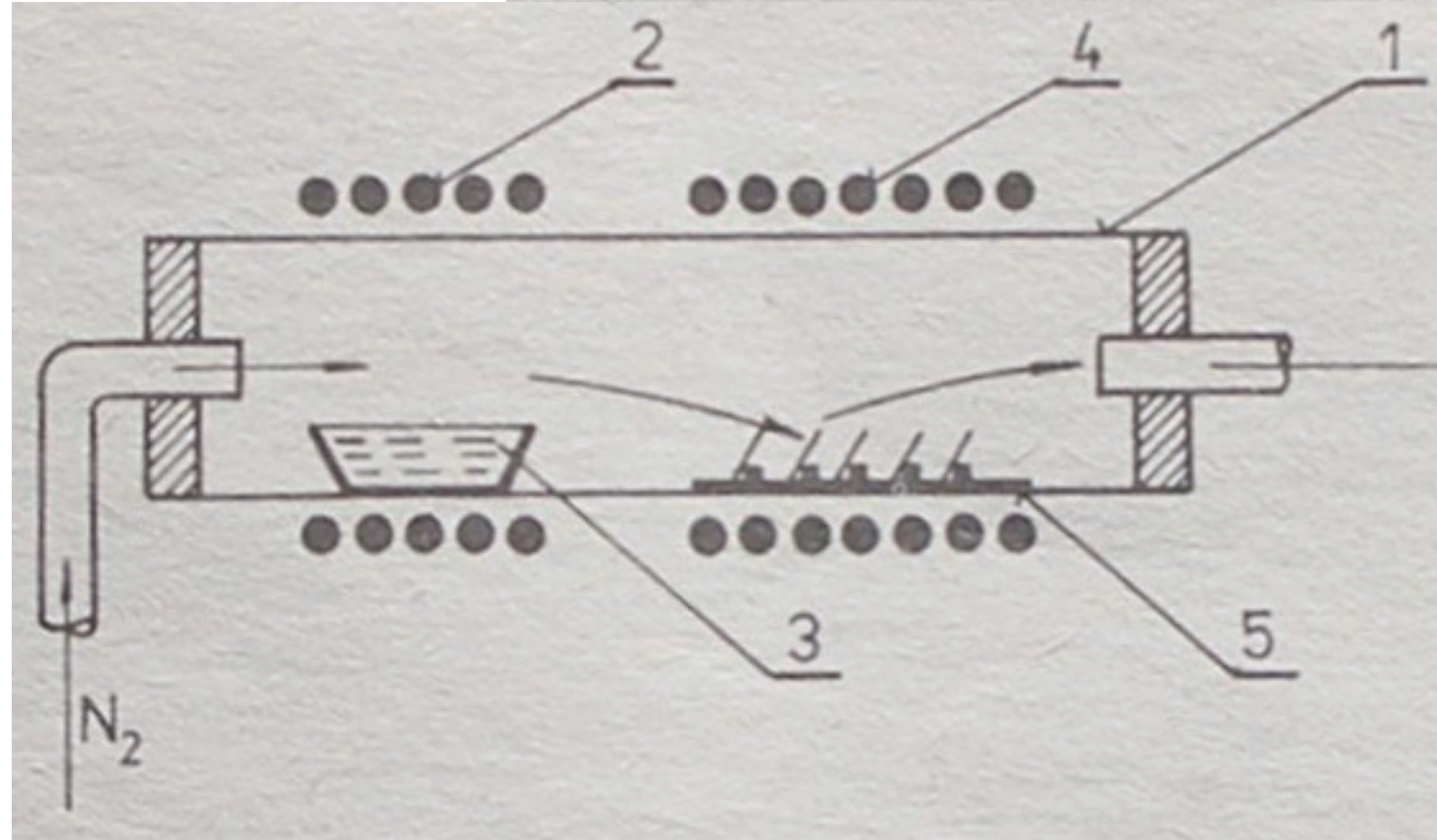
1.3 Technológie výroby polovodičov

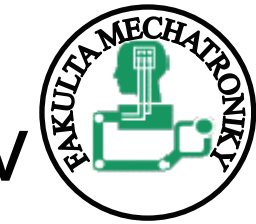
Príprava PN priechodov

b) difúzna metóda

Schéma zariadenia na difúziu fosforu do kremíka:

- 1 - kremenná rúra s nosným plynom (N_2),
- 2 - ohrev difúzneho materiálu, 3 - téglik s tuhým difúznym materálom (P_2O_5),
- 4 - ohrev podložky s doštičkou Si,
- 5 - podložka a doštičky Si





1.3 Technológie výroby polovodičov

Príprava PN priechodov

- c) ***kombinovanie a) + b) = mesa technológia*** → neskôr epitaxná technológia
- d) ***planárna technológia*** (umiestnenie všetkých vývodov v jednej rovine), (výroba aj integrovaných obvodov)

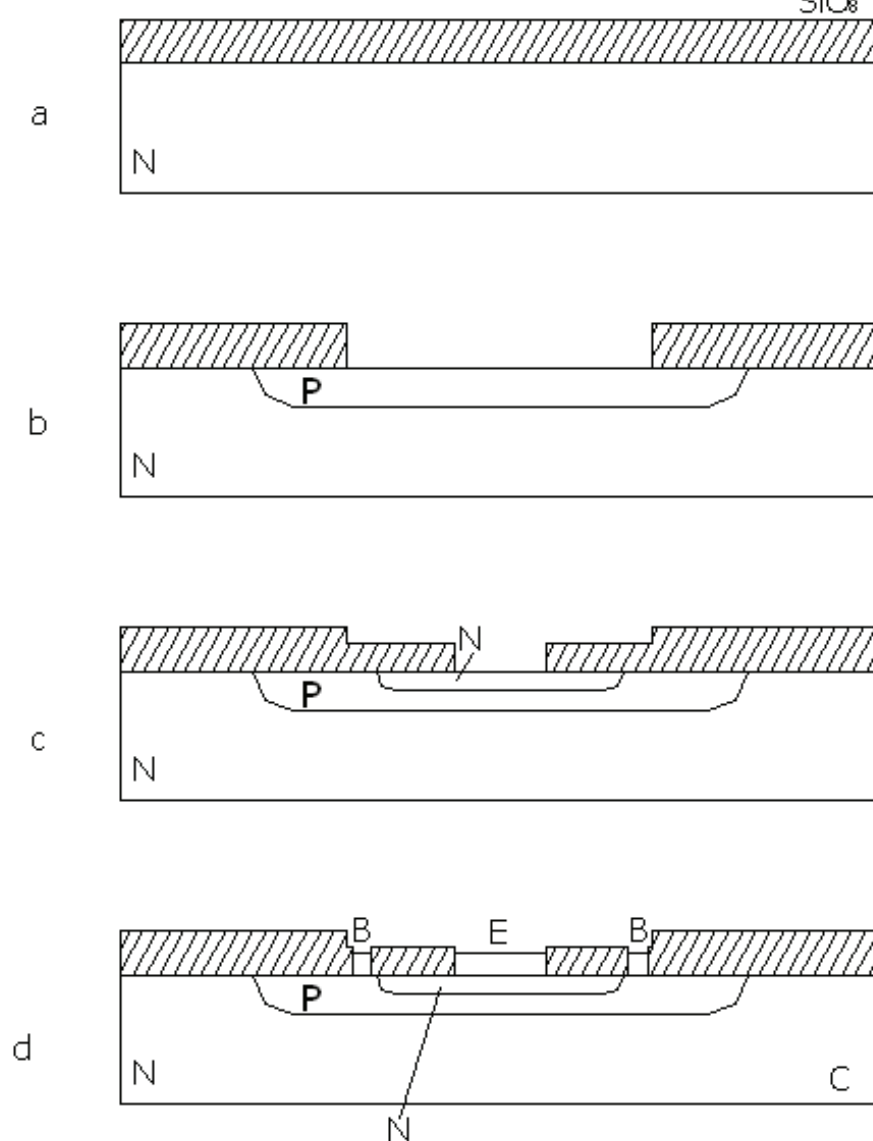
1.3 Technológie výroby polovodičov

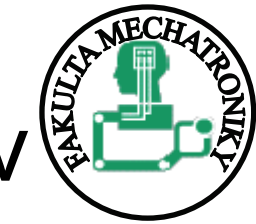
Príprava PN priechodov

d) planárna technológia

- a) vytvor. izol. vrstvy SiO_2
- b) vytvorenie vrstvy bázy
- c) vytvor. vrstvy emitora
- d) vyleptanie miest pre kontaktovanie bázy
a emitora

fotocitlivý povlak → po osvetlení
sa zakryté časti ľahko zmyjú,
odokryté zostanú





1.3 Technológie výroby polovodičov

Príprava PN priechodov

e) **iónová implantácia** – prímesové atómy sa dostávajú do materiálu formou prúdu iónov cez vrstvu SiO_2 . Ióny majú vysokú energiu (rádovo až MeV).

Výhody:

- široký sortiment prímesí
- rozpustnosť v polovodiči nie je podmienkou

2 Izolanty



Nízka konduktivita pri 300 K:

menej ako 10^{-8} Sm^{-1}

dobre izolanty: 10^{-12} Sm^{-1}

2 Izolanty



Použitie:

zamedzenie prechodu prúdu

Voľné nosiče náboja:

ióny (predprieskové javy)

Viazané nosiče:

polarizácia (dielektrické straty)

Ideálny izolant:

neobsahuje žiadne nosiče náboja

2 Izolanty

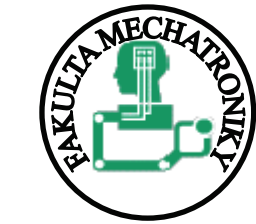


Elektrická polarizácia

Elektrická vodivost'

Dielektrické straty

Elektrická pevnosť



2 Izolanty

Rozdelenie:

Plynné

Kvapalné

Organické tuhé

Anorganické tuhé

2.1 Elektrická polarizácia

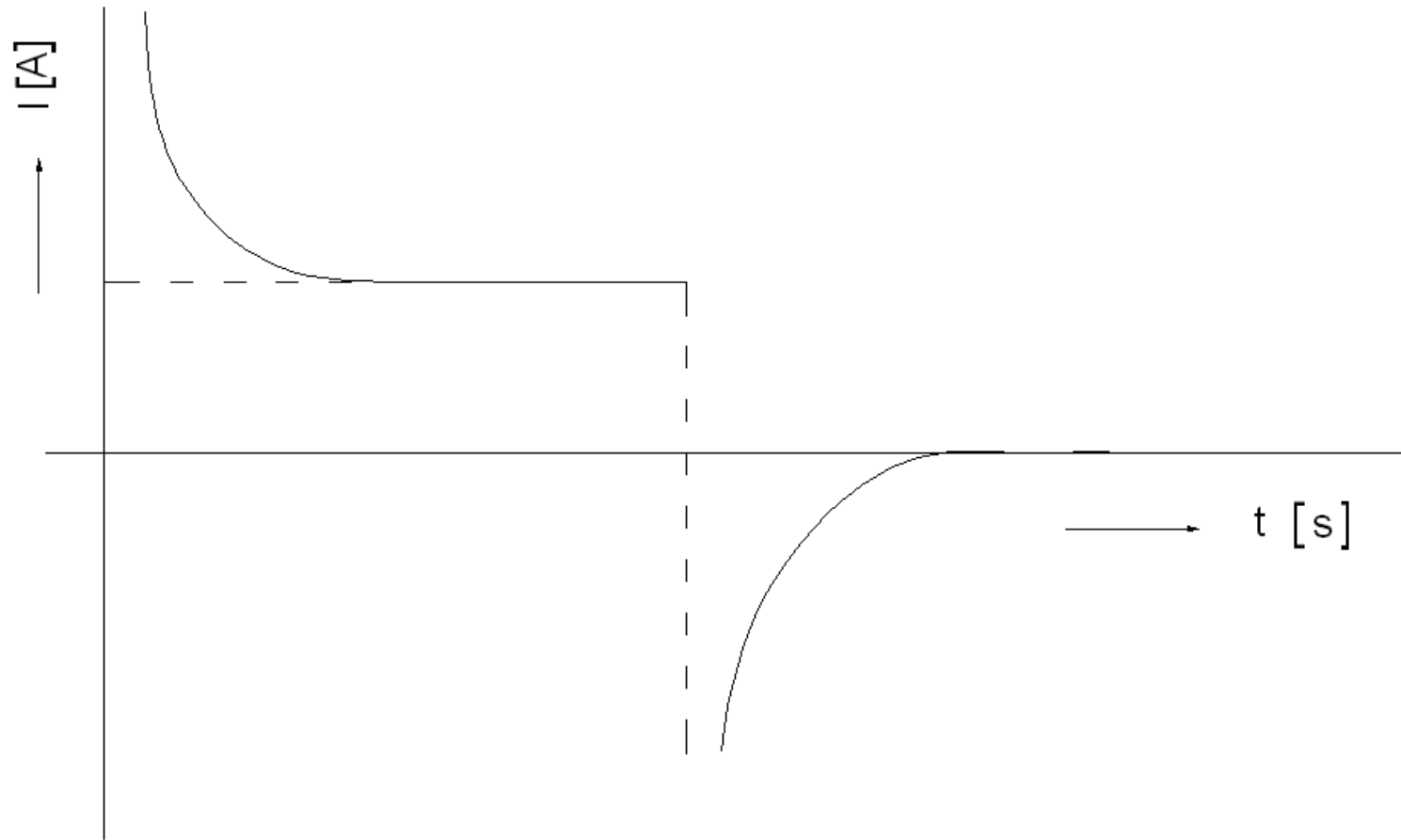


Vonkajšie nemenné elektrické pole → pohyb voľných aj viazaných nosičov náboja → prúd s dvomi zložkami:

časovo závislá (polarizačný)

časovo nezávislá (vodivostný = presakujúci)

2.1 Elektrická polarizácia



2.1 Elektrická polarizácia



Polarizácia:

makroskopicky: objavenie sa viazaných nosičov el. náboja na povrchu → vznik dipólového momentu izolantu

mikroskopicky: pootočenie permanentných dipólových momentov molekúl do smeru el. poľa

2.1 Elektrická polarizácia



materiálový parameter: relatívna permitivita ϵ
(kvantitatívne vyjadrenie polarizovateľnosti)

lokálne elektrické pole (Lorentz)

2.1 Elektrická polarizácia



Druhy elektrickej polarizácie (vzhľadom na mechanizmus pohybu nosičov náboja):

- elektrónová
- iónová pružná
- dipólová
- iónová relaxačná
- migračná
- spontánna samovoľná
- rezonančná

2.1 Elektrická polarizácia



Elektrónová polarizácia:

deformácia elektrónových orbitalov zapríčinená el.
poľom. doba ustálenia: 10^{-15} s → vyskytuje sa pri
všetkých frekvenciách použitia a vo všetkých
materiáloch. Pružné vychýlenie elektrónov →
pružná (deformačná) polarizácia.

Väčšinou vzniká dipólový moment pohybom
elektrónov na vonkajšom orbitale (najslabšia väzba
k jadru)

2.1 Elektrická polarizácia



Iónová pružná polarizácia:

pružné vychýlenie iónov z rovnovážnych polôh zapríčinené elektrickým poľom. Typické pre iónové kryštalické látky. Doba ustálenia je 10^{-13} s → vyskytuje sa stále a všade.

2.1 Elektrická polarizácia



Dipólová polarizácia:

otáčavý pohyb molekúl s dipólovým momentom zapríčinený elektrickým poľom. Molekuly sa v el. poli snažia zaujať takú polohu, aby smer ich dipólového momentu bol totožný so smerom vonkajšieho poľa. Je spojená s tepelným pohybom molekúl → závisí od teploty.

2.1 Elektrická polarizácia

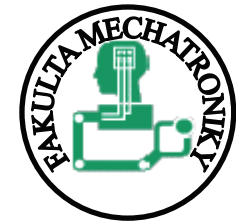


Iónová relaxačná polarizácia:

typická pre iónové sklovité látky (anorganické sklá)
→ v dutinách materiálu sa nachádzajú ióny → ich
pohyb je možný len v rámci týchto dutín.

Vyskytuje sa aj v kryštáloch s vysokým obsahom
porúch a v keramických materiáloch.

2.1 Elektrická polarizácia



Migračná polarizácia:

vyskytuje sa v nehomogénnych izolantoch, zapríčinená je voľnými nosičmi náboja. V nehomogénnych materiáloch existujú oblasti s rôznou pohyblivosťou voľných nosičov náboja → nerovnaké rozloženie (hromadenie náboja v miestach s nízkou pohyblivosťou) → vznik indukovaného dipólového momentu

2.1 Elektrická polarizácia



Spontánna (samovoľná) polarizácia:

vyskytuje sa vo feroelektrikách, v ktorých existujú oblasti s nesymetricky rozloženým el. nábojom (aj bez vplyvu vonkajšieho poľa). Domény vykazujú permanentný dipólový moment.

2.1 Elektrická polarizácia



Rezonančná polarizácia:

vyskytuje sa pri časovo sa meniacom el. poli, ktorého frekvencia je blízka frekvencii vlastných kmitov nosičov náboja. Vyskytuje sa v oblasti frekvencií cca 10^9 Hz

2.1 Elektrická polarizácia



Klasifikácia izolantov podľa polarizácie:

Nepolárne - len elektrónová polarizácia, plynné

Polárne – el. + dipólová, plynné

Iónové kryštalické – el. + iónová pružná

Iónové sklovité – el. + iónová + iónová relaxačná

Feroelektriká – el. + iónová + spontánna

2.1 Elektrická polarizácia



Permitivita izolantov ϵ :

vyjadrenie polarizovateľnosti,

rozdielne mechanizmy polarizácie pre jednotlivé skupenstvá

závisí od mnohých vonkajších faktorov → nie je to materiálová konštanta!

2.1 Elektrická polarizácia



Permitivita plynných izolantov

$$\varepsilon_r \approx 1$$

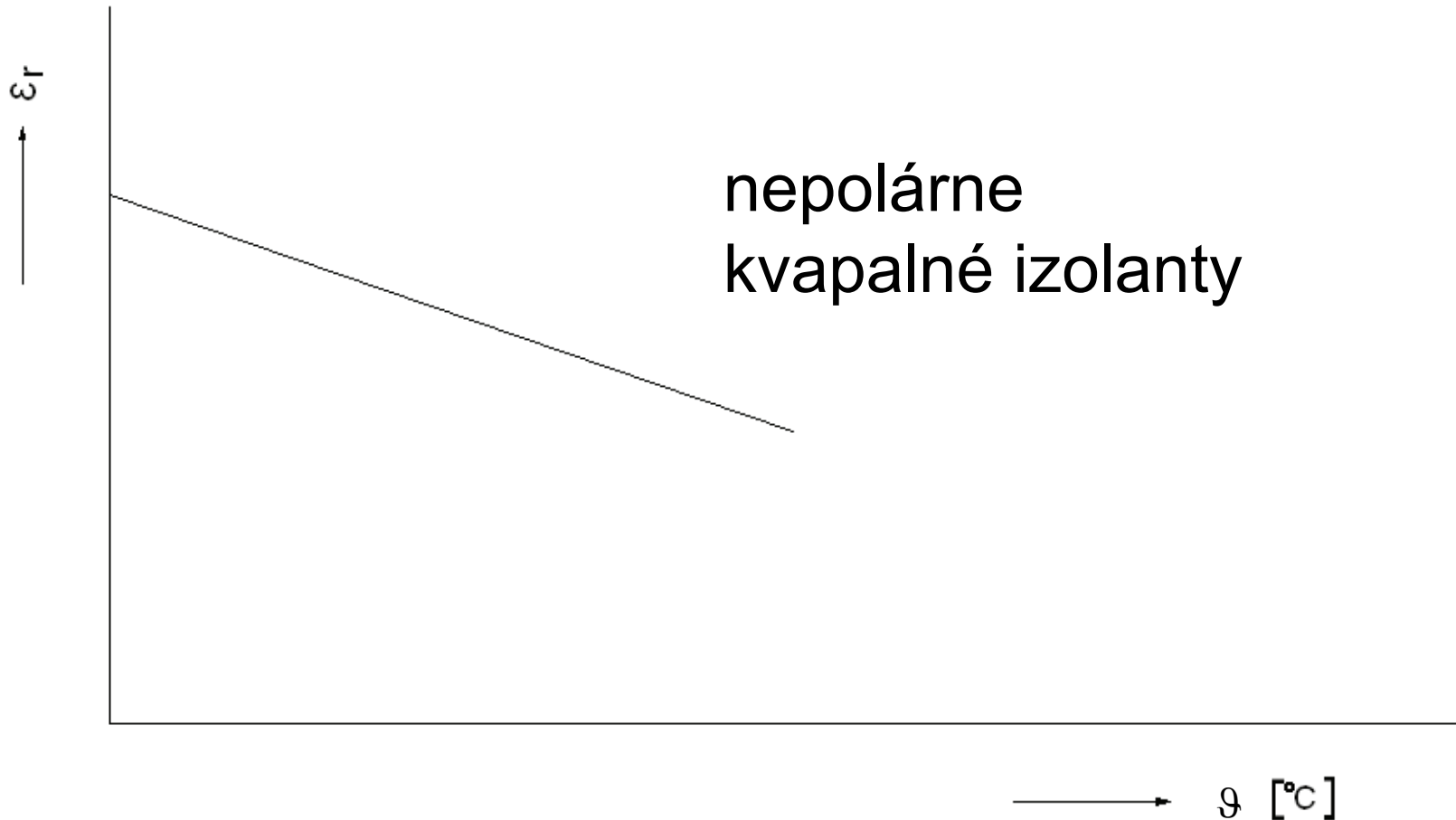
Permitivita kvapalných izolantov

$$\frac{\varepsilon_r - 1}{\varepsilon_r + 2} = \frac{n\alpha_e}{3\varepsilon_0}$$

Clausiusova – Mossottiho rovnica

Permitivita tuhých izolantov

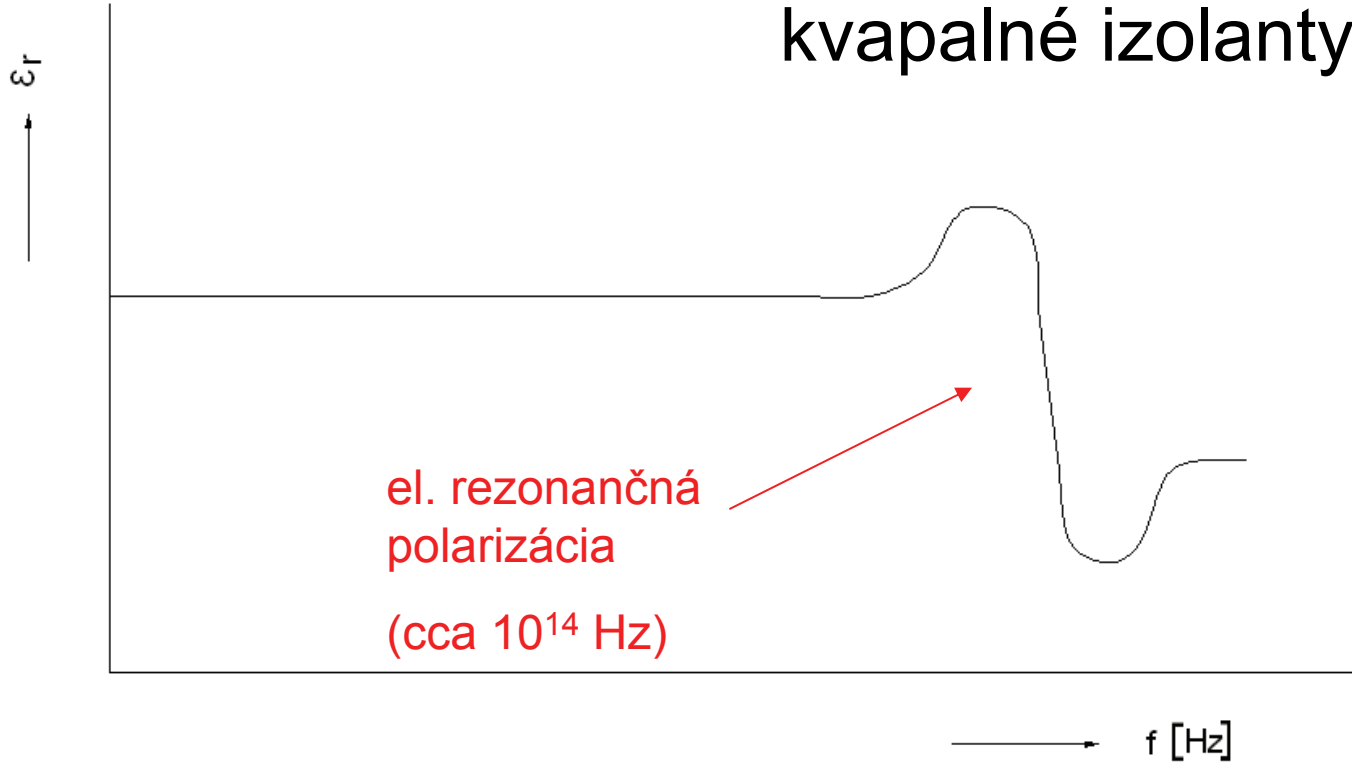
2.1 Elektrická polarizácia



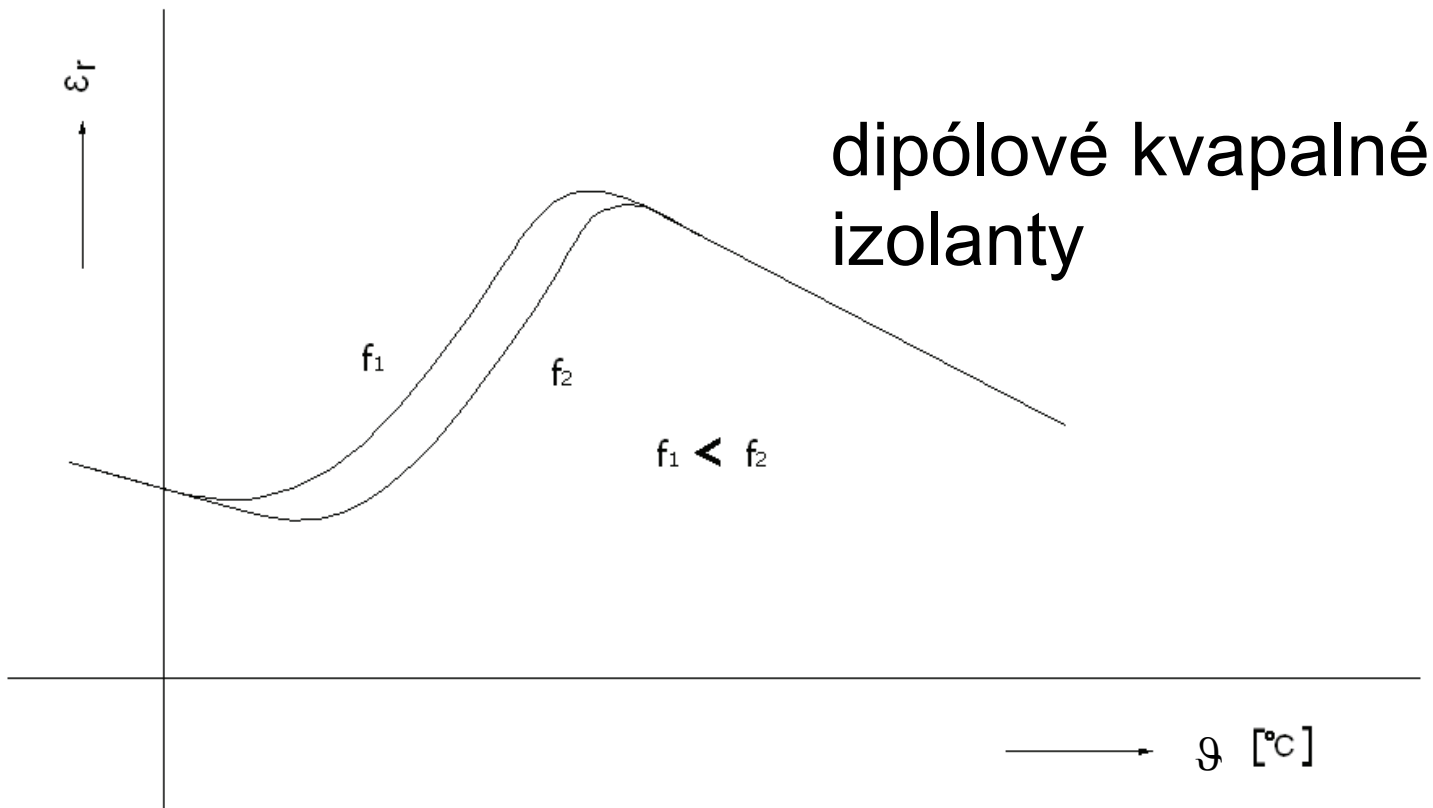
2.1 Elektrická polarizácia



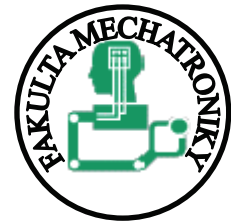
nepolárne
kvapalné izolanty



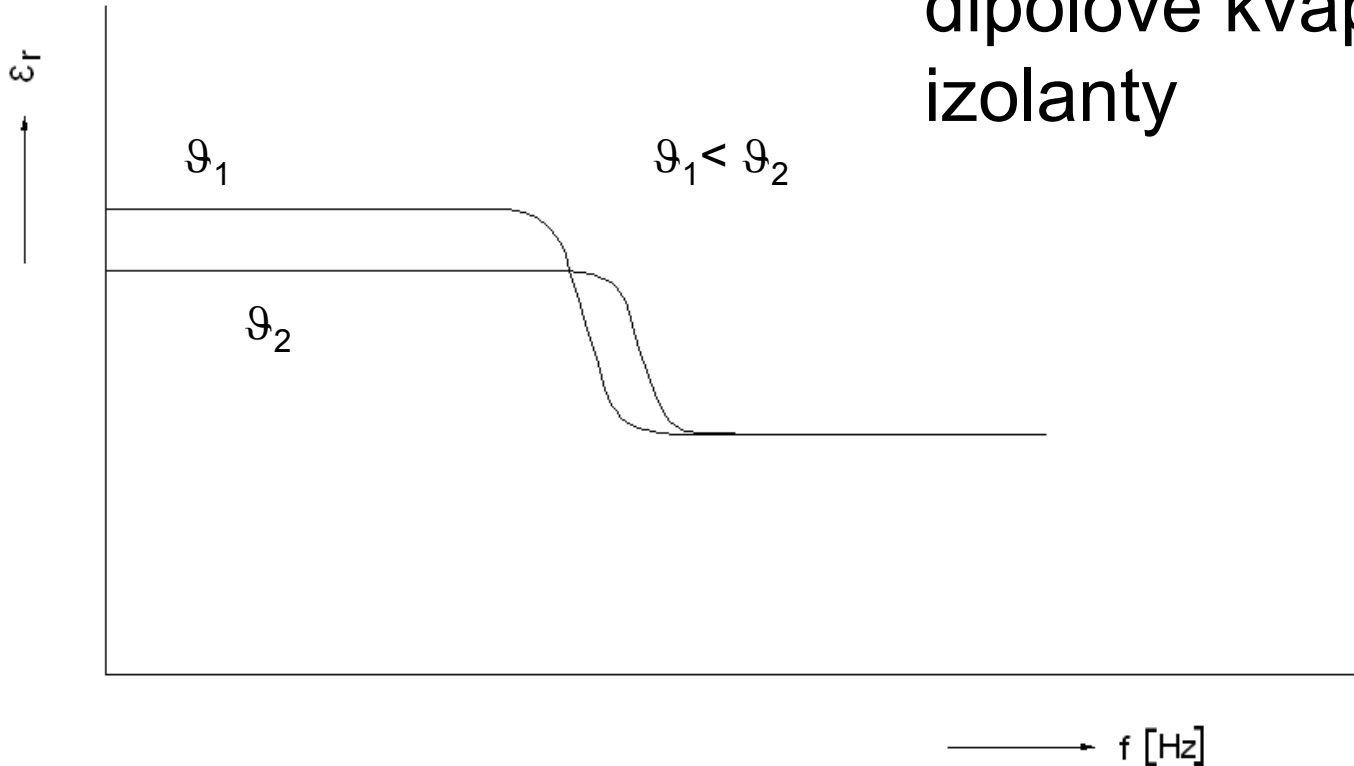
2.1 Elektrická polarizácia



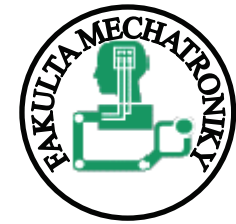
2.1 Elektrická polarizácia



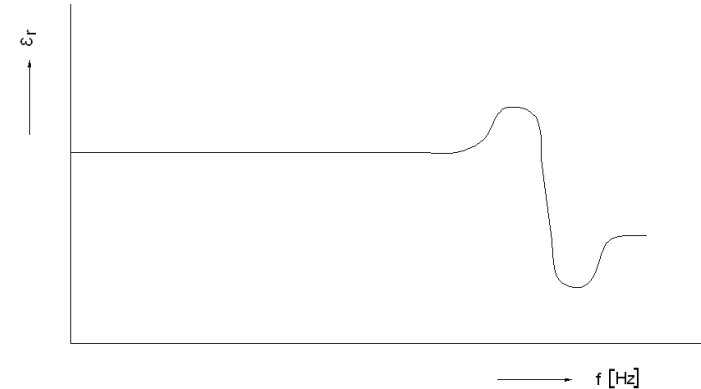
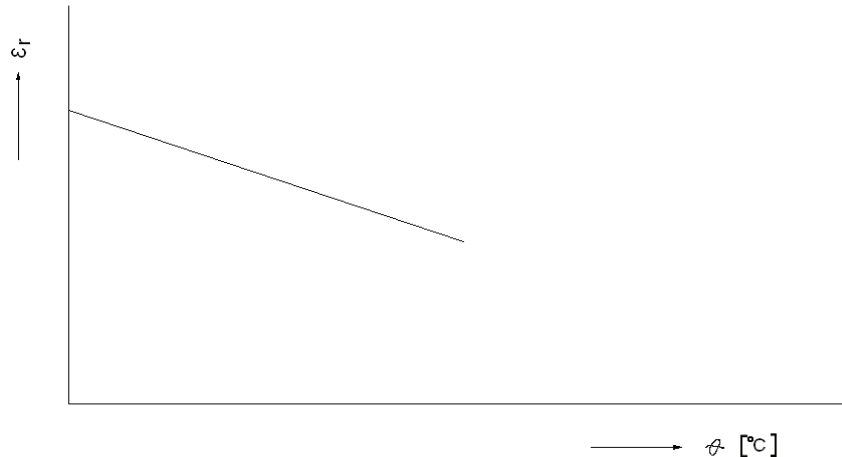
dipólové kvapalné
izolanty



2.1 Elektrická polarizácia



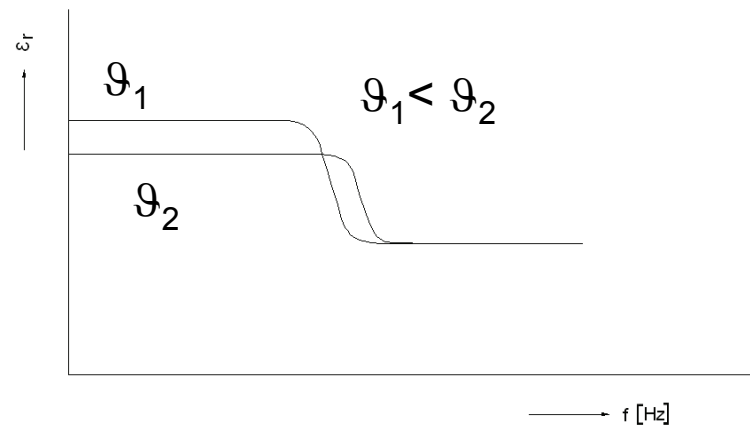
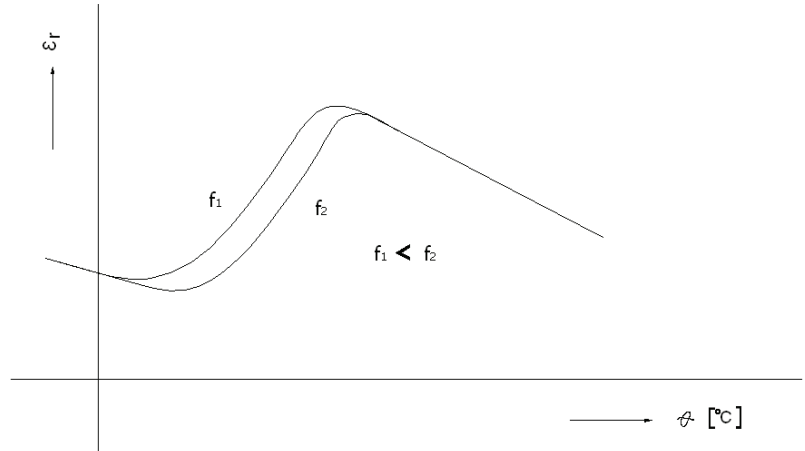
nepolárne tuhé izolanty → rovnaké vlastnosti ako pri nepolárnych kvapalných



2.1 Elektrická polarizácia



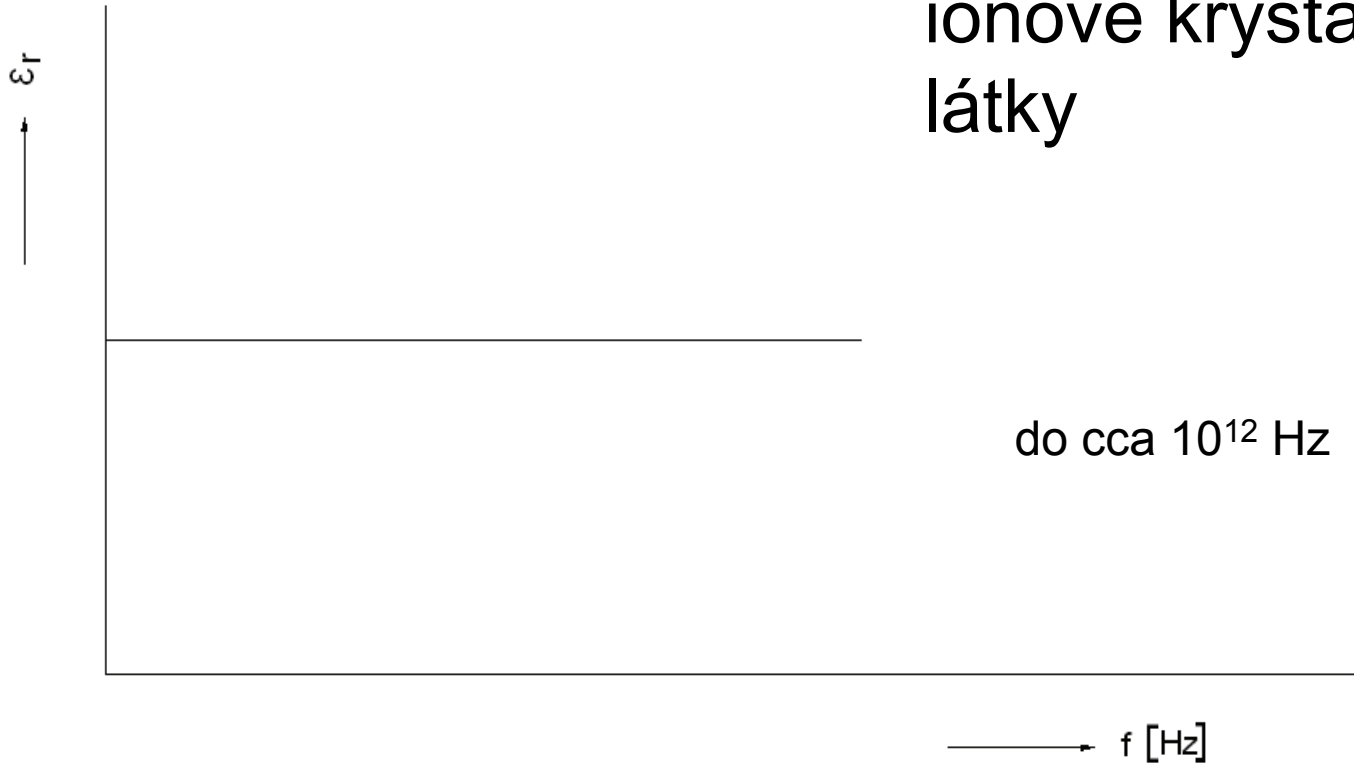
dipólové tuhé izolanty → rovnaké vlastnosti ako pri dipólových kvapalných



2.1 Elektrická polarizácia



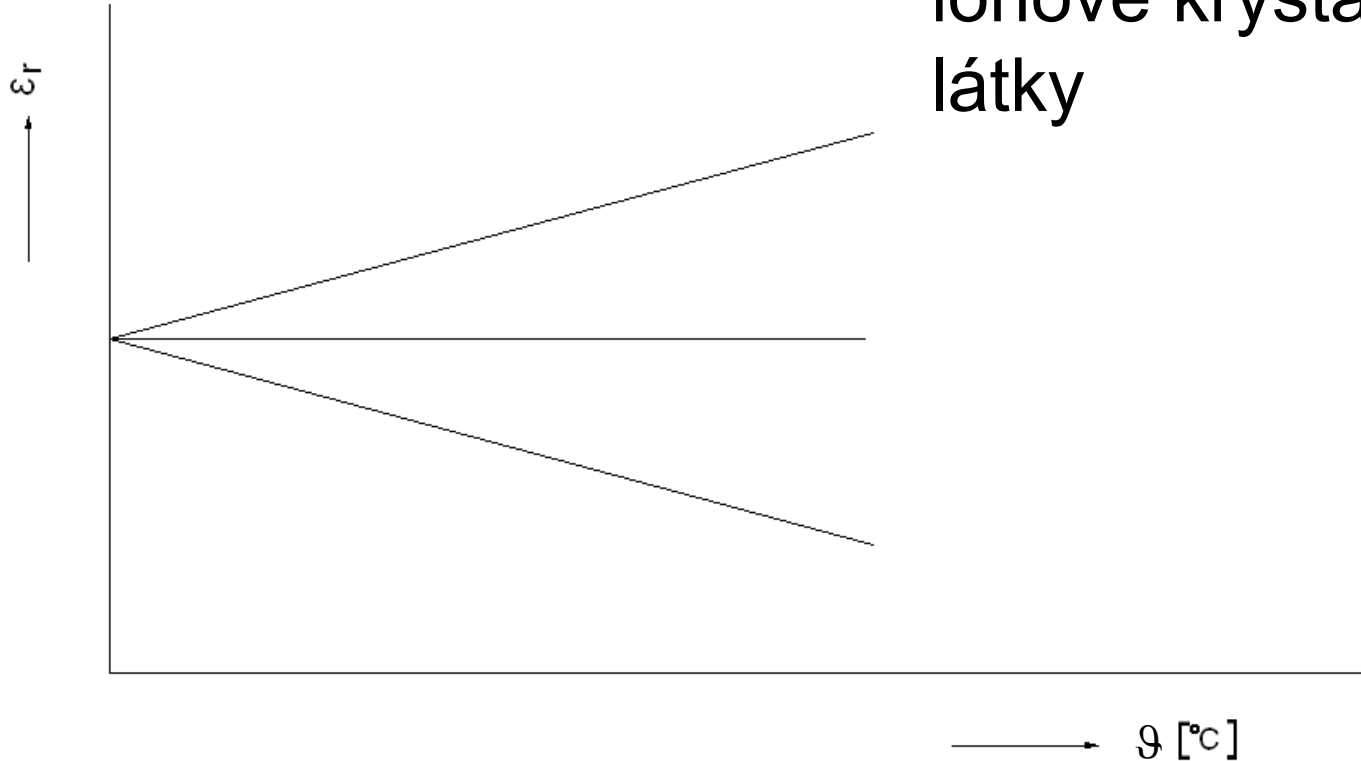
iónové kryštalické
látky



2.1 Elektrická polarizácia



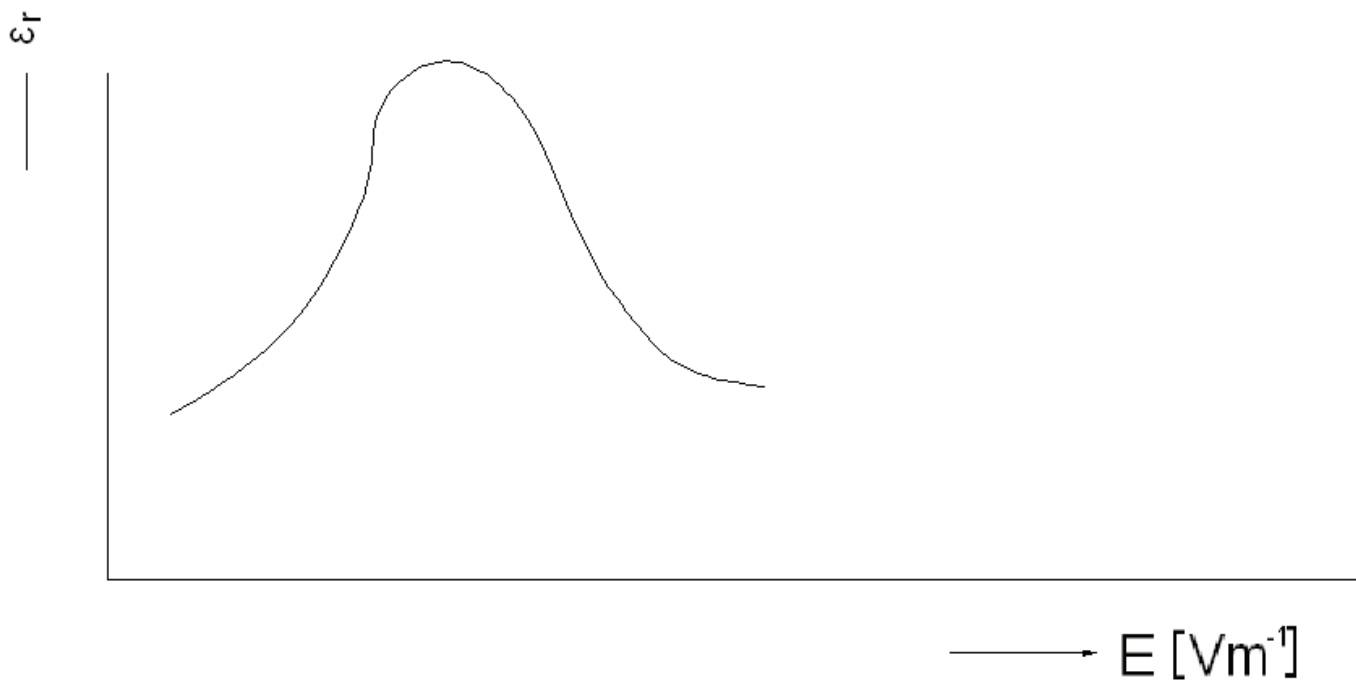
iónové kryštalické
látky



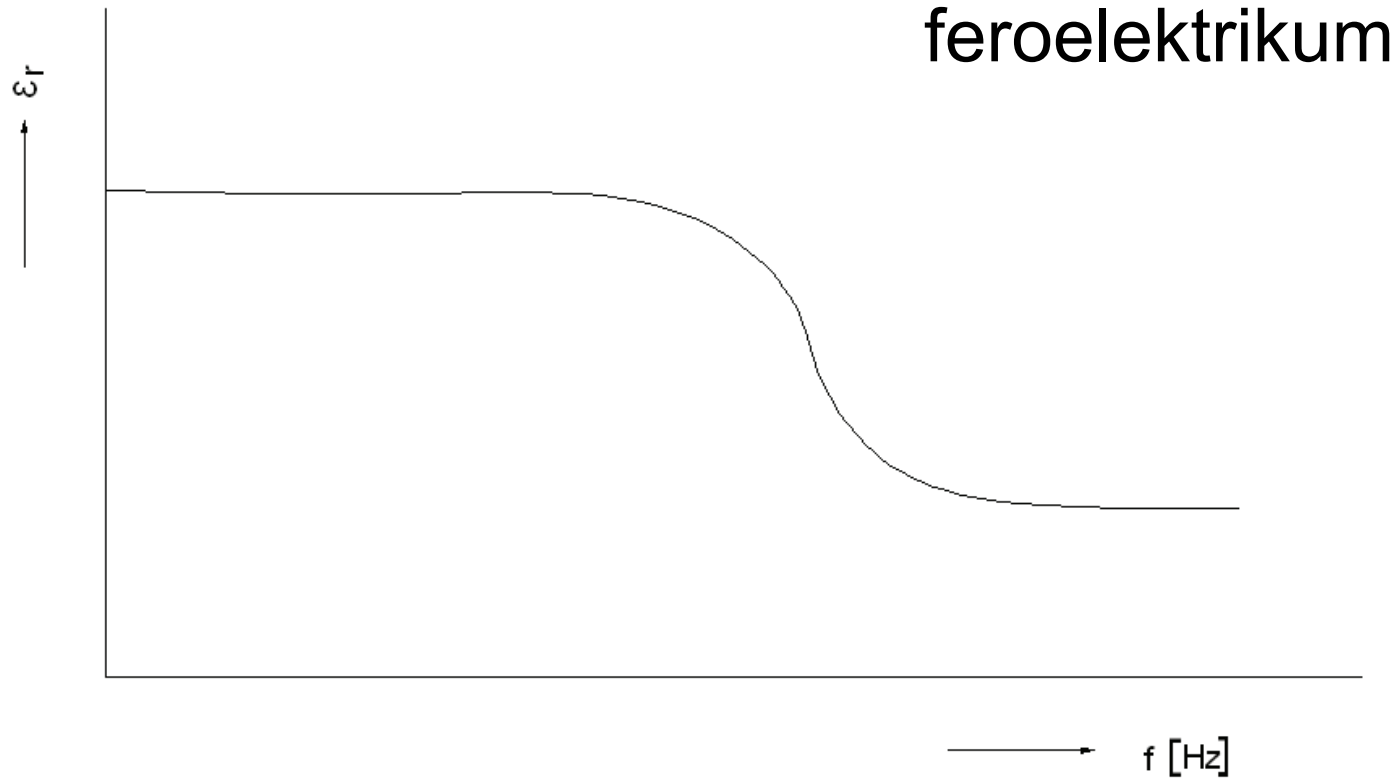
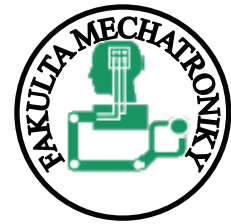
2.1 Elektrická polarizácia



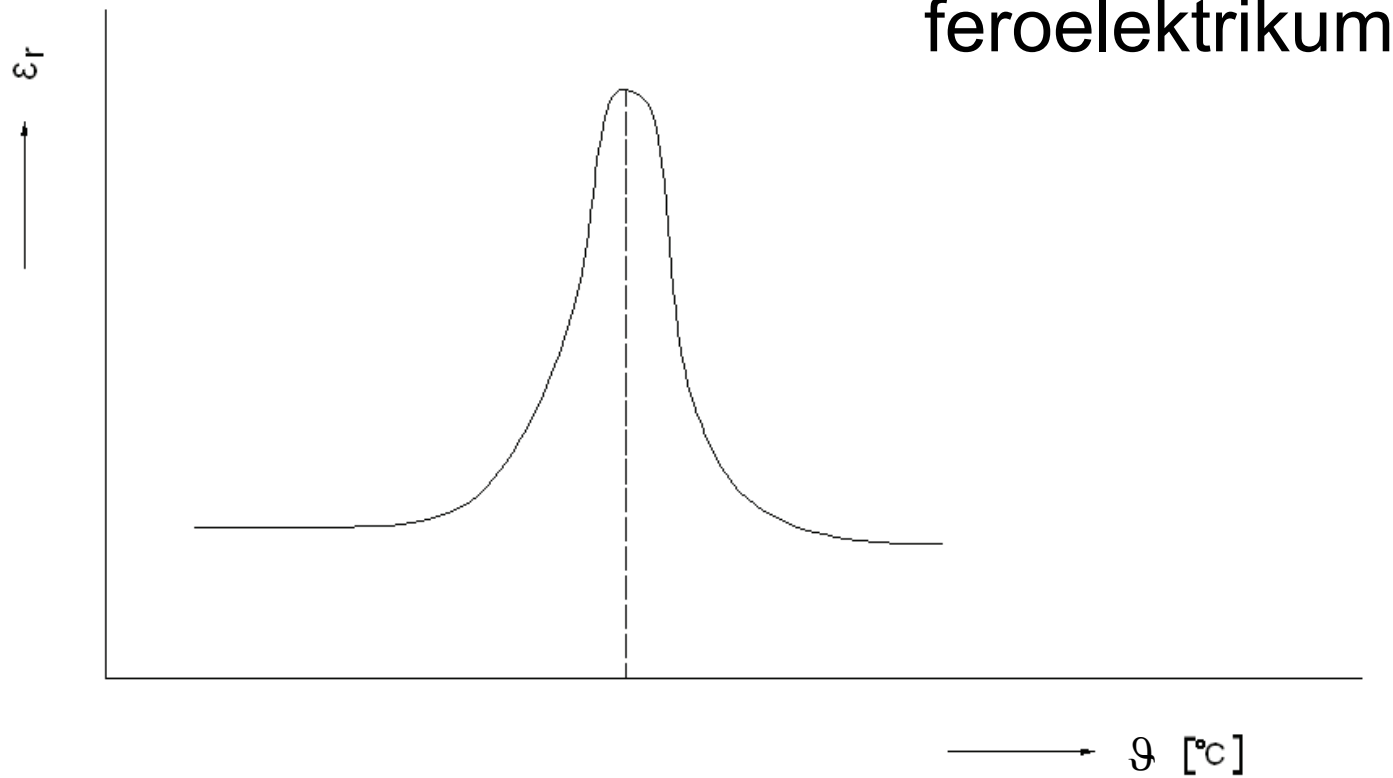
feroelektrikum



2.1 Elektrická polarizácia



2.1 Elektrická polarizácia



2.2 Elektrická vodivost'



Ideálne: len viazané nosiče náboja (= nulová vodivost')

Realita: pri $T > 0 \rightarrow$ volné ióny \rightarrow izolant vedie elektrický prúd!

Iný mechanizmus vzniku a pohybu pre plynné, kvapalné a tuhé izolanty

2.2 Elektrická vodivost'



Plyn:

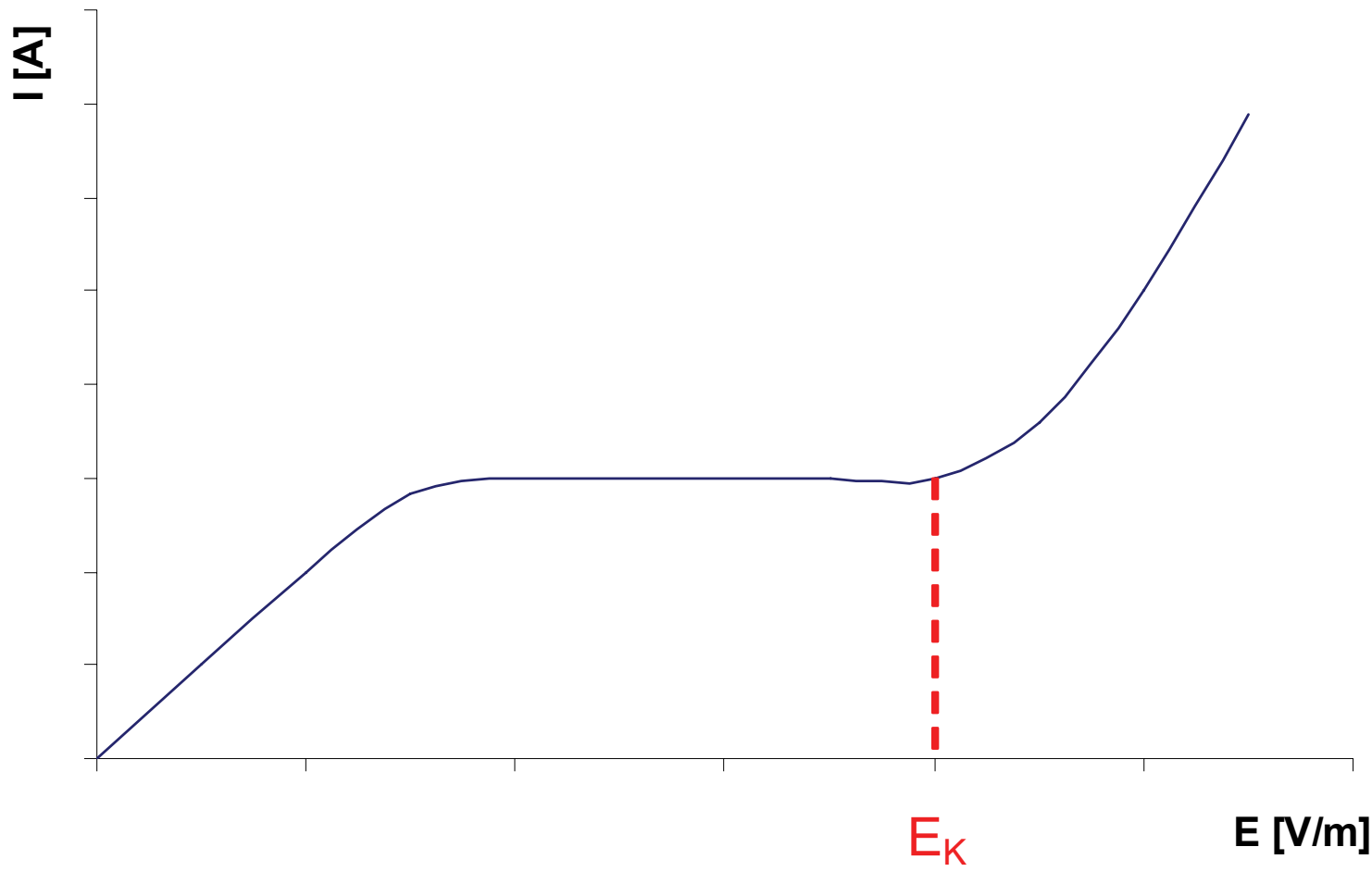
výborný izolant v slabých elektrických poliach
(nízka koncentrácia voľných nosičov náboja)

najdôležitejší: vzduch

2.2 Elektrická vodivost'



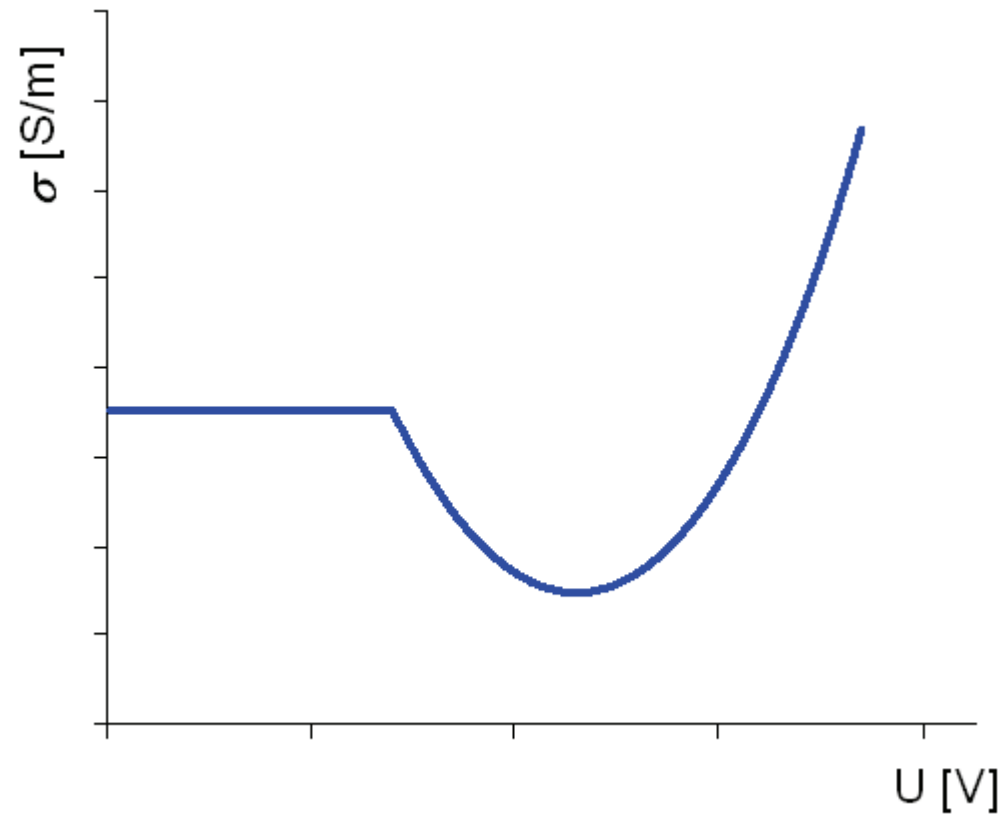
VA charakteristika plynných izolantov:



2.2 Elektrická vodivost'



Konduktivita plynných izolantov:



2.2 Elektrická vodivost'

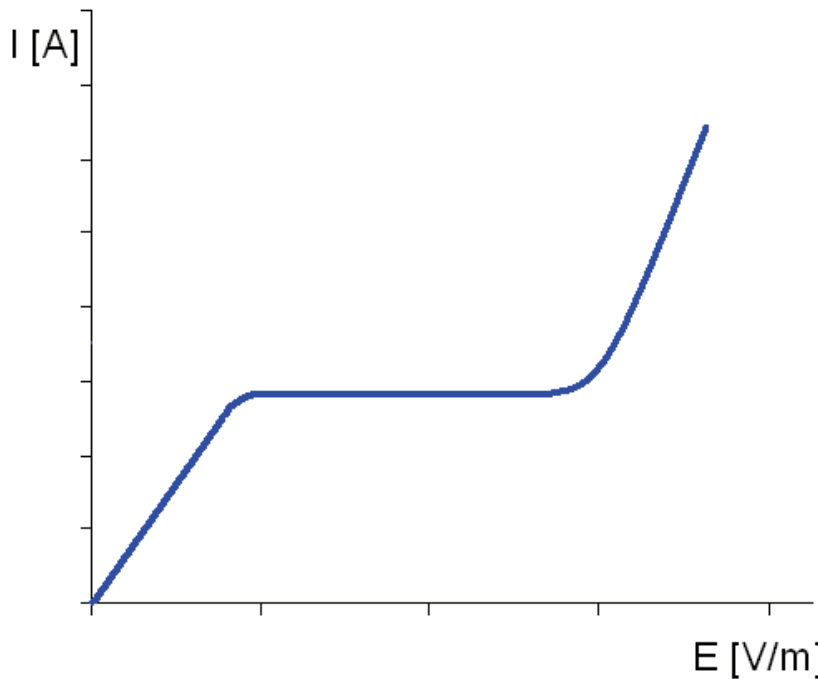


Kvapalné izolanty:

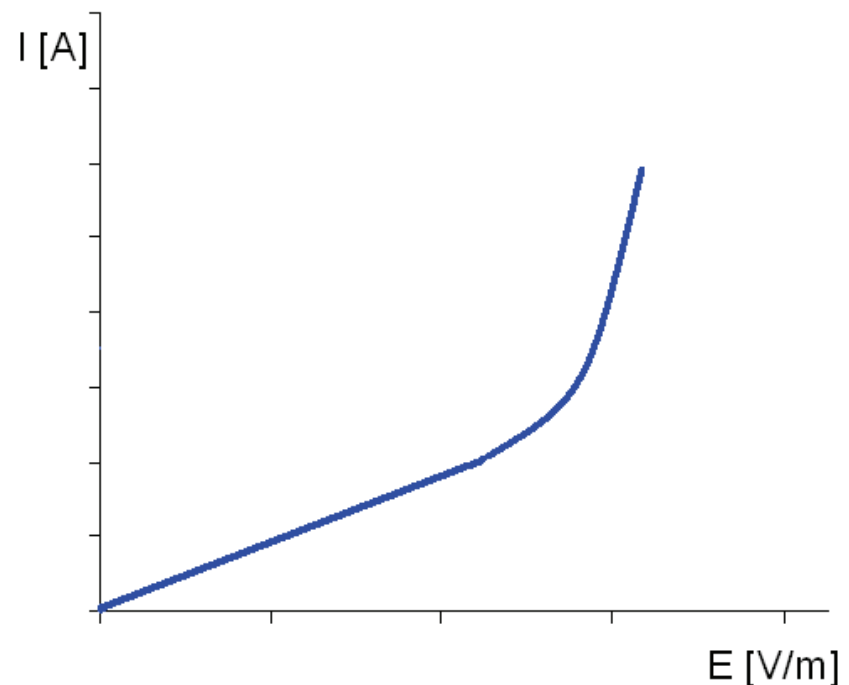
vodivosť závisí od zloženia, obsahu a štruktúry nečistôt a pod.

2.2 Elektrická vodivost'

Kvapalné izolanty:



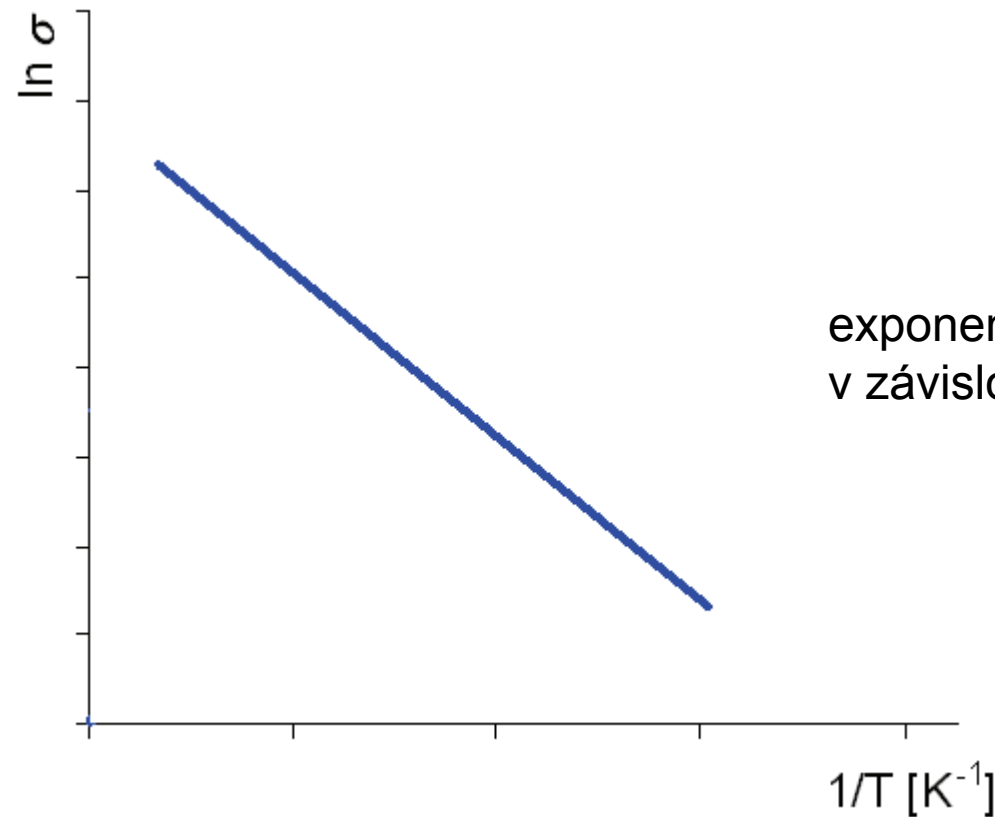
extrémne čisté



technicky čisté

2.2 Elektrická vodivost'

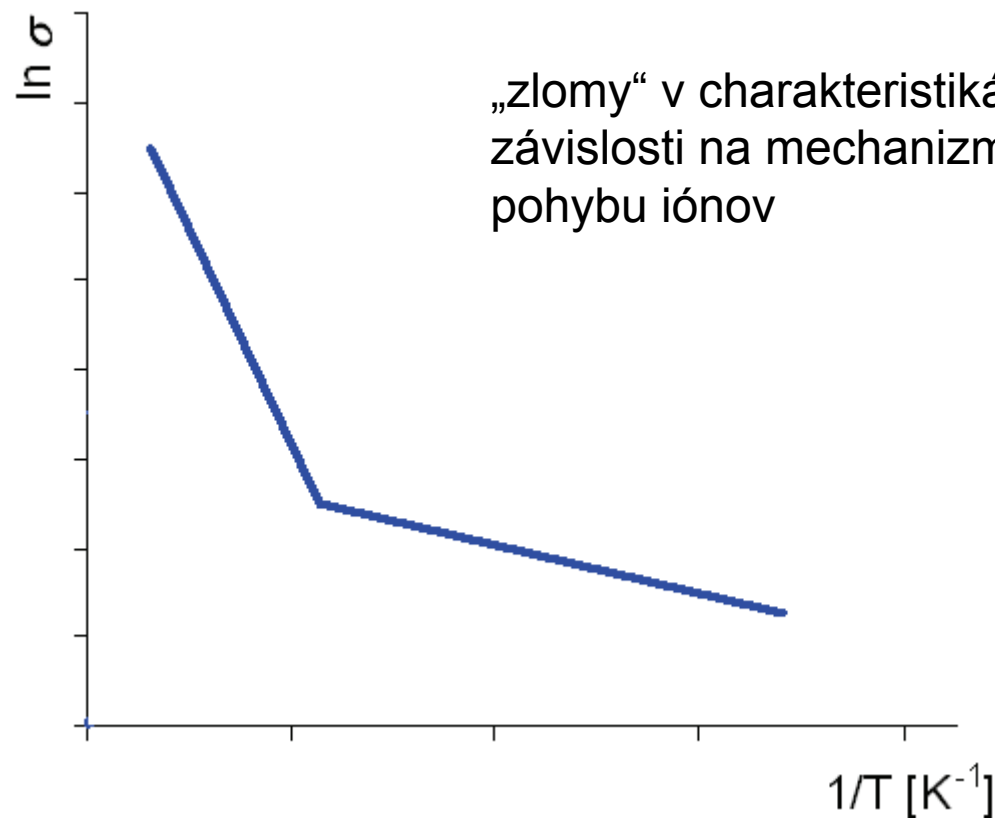
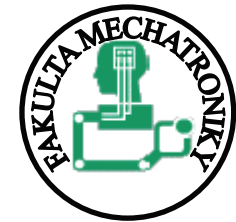
Kvapalné izolanty:



exponenciálny nárast
v závislosti na teplote

2.2 Elektrická vodivost'

Tuhé izolanty:



„zlomy“ v charakteristikách → v závislosti na mechanizmus vzniku a pohybu iónov

2.3 Dielektrické straty



Dielektrické straty → elektrická energia, ktorá sa v danom objeme premení za jednotku času na iný druh energie (spravidla en. tepelnú)

Elektrická vodivosť → straty

Stratový činitel' → kópia priebehu vodivosti

Parametre: teplota, frekvencia, materiálové vlastnosti, ostatné elektrické vlastnosti...

Parameter: stratový činitel': $\text{tg}\delta$

2.4 Elektrická pevnosť



nepatrňá el. vodivost' len do určitej hodnoty el. poľa → potom izolant stráca izolačné vlastnosti → konduktivita dosahuje hodnoty typické pre vodivé materiály → najmenšie napätie pri ktorom nastane tento dej: prierazné napätie U_p , intenzita el. poľa E_p :

$$E_p = U_p/d$$

2.4 Elektrická pevnosť'



Prieraž izolantu:

nejasný mechanizmus

vplyv nečistôt + dĺžka pôsobenia napäťia

2.4 Elektrická pevnosť

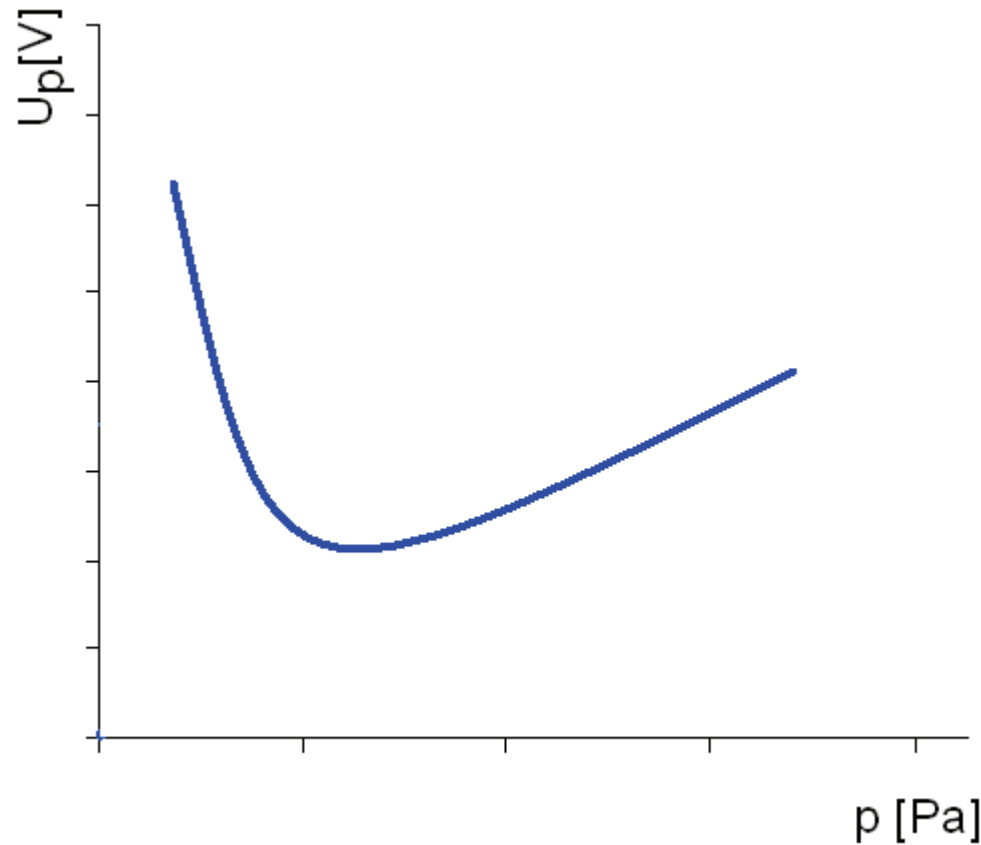


dve štádiá prierazu:

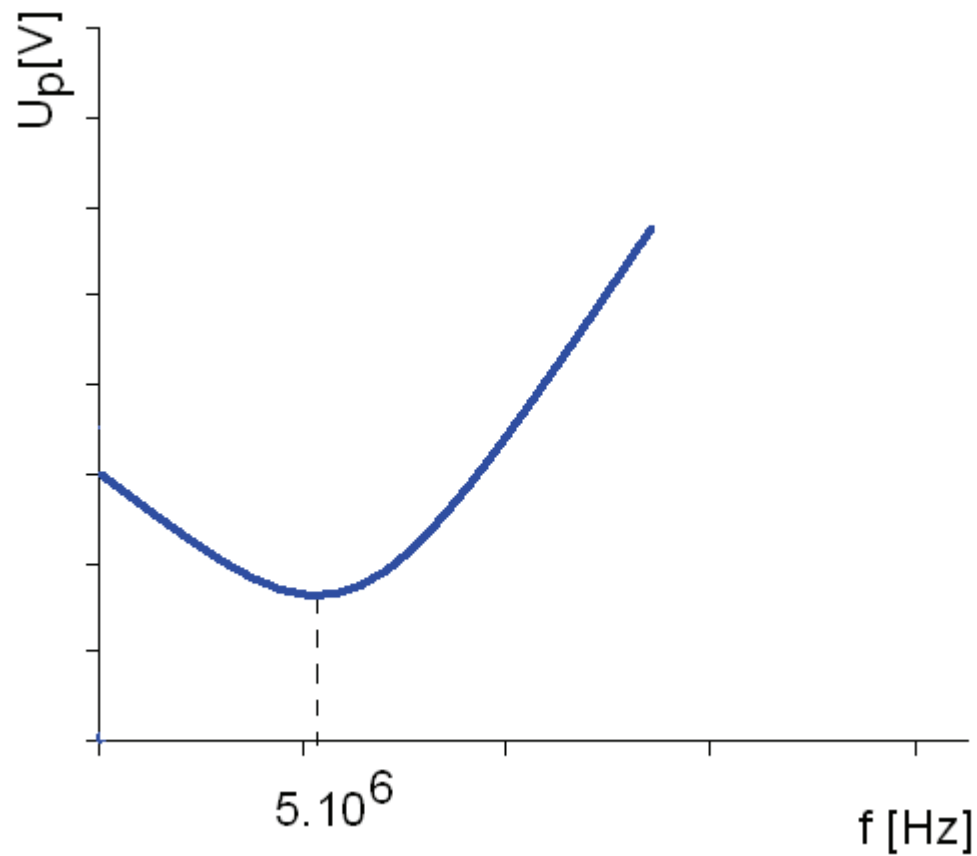
náhly vzrast elektrickej vodivosti

poprierazové (degradačné účinky), plynné a kvapalné sú schopné regenerácie, tuhé spravidla nie

2.4 Elektrická pevnost'



2.4 Elektrická pevnosť'



2.5 Izolačné materiály



Plynné:

Vzduch (najčastejší izolant)

Dusík N_2

Vodík H_2

Oxid uhličitý CO_2 (VN kondenzátory)

Vzácne plyny He, Ne, Ar, Kr, Xe
(žiarovky, žiarivky, tlejivky...)

Fluorid sírový SF_6 (transformátory)

2.5 Izolačné materiály



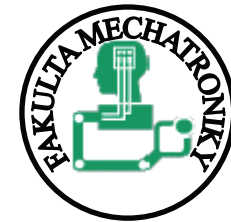
Kvapalné izolanty (často aj ako chladiace médium):

Minerálne oleje (na báze ropy)

Rastlinné oleje (ricínový, ľanový, drevný olej)

Syntetické kvapaliny (polybutény C_4H_8 , kvapaliny na báze difenylu $C_{12}H_{10}$ alebo esterov, silikónové kvapaliny)

2.5 Izolačné materiály



Organické tuhé izolanty:

Termoplasty polyetylén, polypropylén,
polystyrén, PVC

Reaktoplasty epoxidy, polyestery, aminoplasty

Elastomery modifikácie kaučuku

Vláknité izolanty celulóza, papiere, lepenky

Elektroizolačné laky

Vosky, asfalty parafín, naftalén

2.5 Izolačné materiály



Anorganické izolanty:

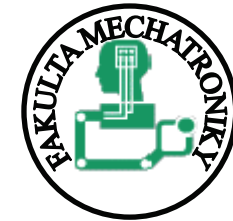
Azbest

Sľuda

Sklené izolanty oxid kremičitý SiO_2

Keramické izolanty porcelán, steatitová ker.
korundová ker., titaničitá (polo-vodičová technika...)

3. Štruktúra pevných látok



3.1 Úvod

3.2 Charakteristiky vlastností

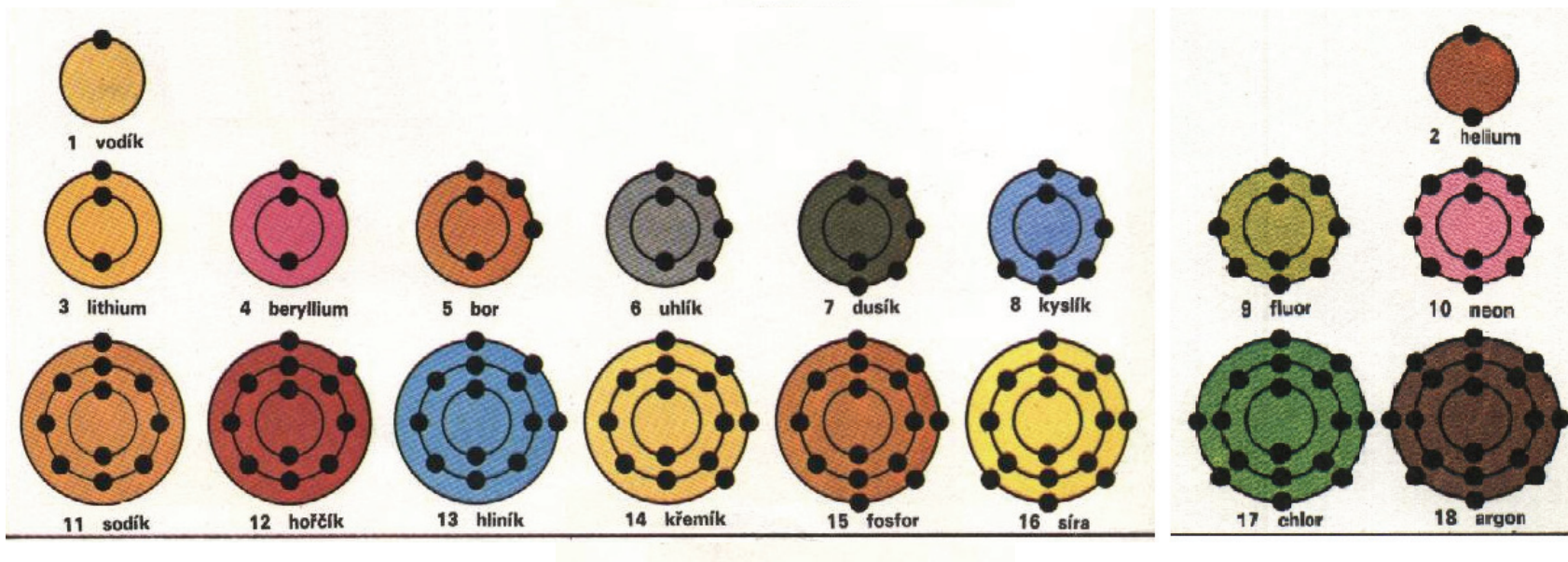
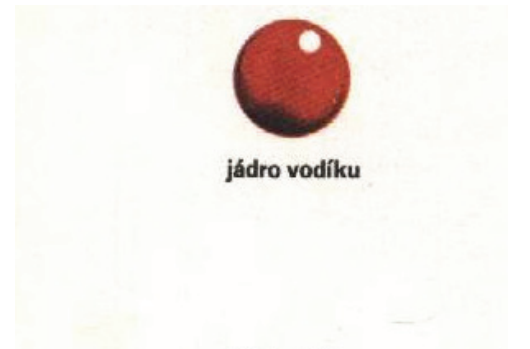
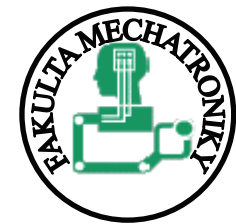
3.3 Väzby v pevných látkach

3.4 Štruktúra ideálnych kryštálov

3.5 Poruchy v kryštáloch

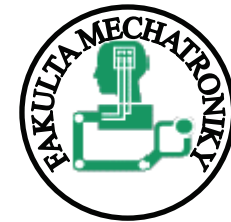
3. Štruktúra pevných látok

3.1 Úvod



3. Štruktúra pevných látok

3.1 Úvod



- 3 skupenstvá:
 - pevné $10^{22} – 10^{23}$ atómov na 1 cm^3
 - kvapalné $10^{22} – 10^{23}$ atómov na 1 cm^3
 - plynné 10^{19} atómov na 1 cm^3
 - (plazma)
- (ďalej len látky pevné!)

3. Štruktúra pevných látok

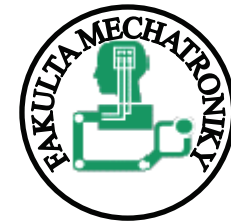
3.1 Úvod



- delenie podľa:
 - chémie:
 - organické
 - anorganické
 - fyziky:
 - kryštalické
 - amorfné
 - iné oblasti vedy a výskumu...

3. Štruktúra pevných látok

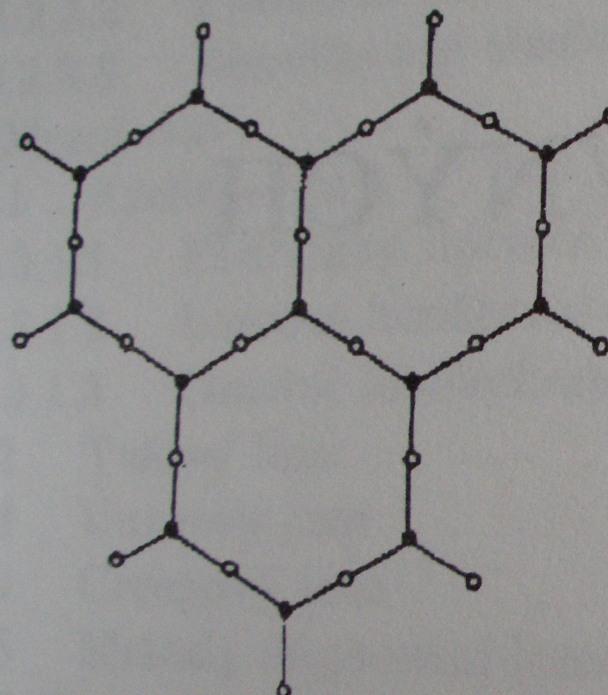
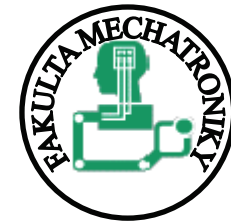
3.1 Úvod



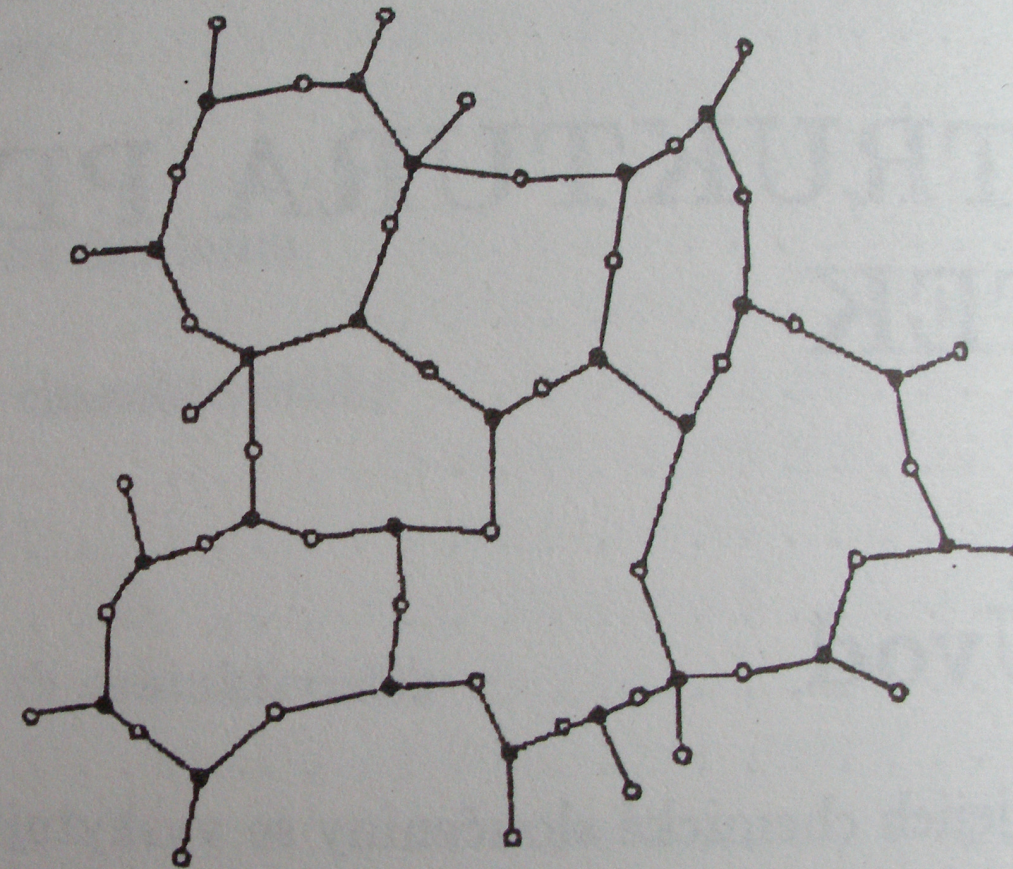
- Kryštalická forma:
 - periodické opakovanie (ideálne ∞ krát, reálne v celom objeme) = **monokryštál** (amorfné látky: veľkosť zrna \approx veľkosť základného motívu)
 - **polykryštál**: períoda prerušená na hraniciach zrň
- Delenie kryštalickej štruktúry podľa:
 - geometrického usporiadanie častíc
 - stupňa usporiadania
 - druhu častíc

3. Štruktúra pevných látok

3.1 Úvod



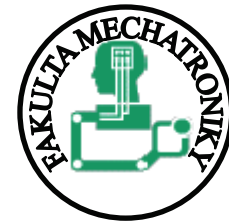
(a)



(b)

3. Štruktúra pevných látok

3.1 Úvod



- Fyzikálne vlastnosti:
 - magnetické, transportné, tepelné, radiačné, optické, emisné, **mechanické** ...
- Fyzikálno-chemické:
 - chemické, elektrochemické...
- Technologické:
 - tvarovateľnosť, kaliteľnosť, možnosti zvárania...

3. Štruktúra pevných látok

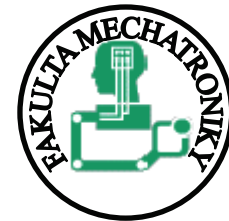
3.1 Úvod



- Pevná látka →
 - pevná poloha atómov → výnimky:
 - kmitavý (neusporiadaný) pohyb okolo rovnovážnych polôh (tepelný pohyb)
 - rotačný pohyb (v niektorých prípadoch)

3. Štruktúra pevných látok

3.2 Charakteristiky vlastností



- **Štruktúrne charakteristiky** (štruktúra = systém elementov z ktorých je zložený daný objekt):

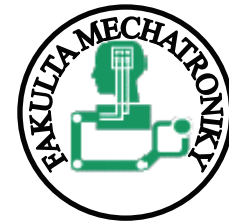
Monokryštál

Polykryštál (fázy s odlišnou kryštalografickou štruktúrou)

Mriežkové poruchy → subštruktúra

3. Štruktúra pevných látok

3.2 Charakteristiky vlastností



- **Štruktúrne charakteristiky** (štruktúra = systém elementov z ktorých je zložený daný objekt):

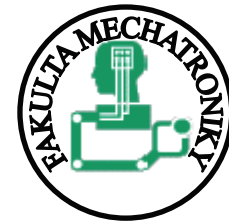
Súvislosti medzi mechanickými vlastnosťami a štruktúrnymi charakteristikami → potreba charakterizovať štruktúru pomocou fyzikálnych veličín

Faktory: vonkajšie (teplota, sily, čas, agresivita okolia...)

vnútorné (chem. zloženie, mikročistota, chyby...)

3. Štruktúra pevných látok

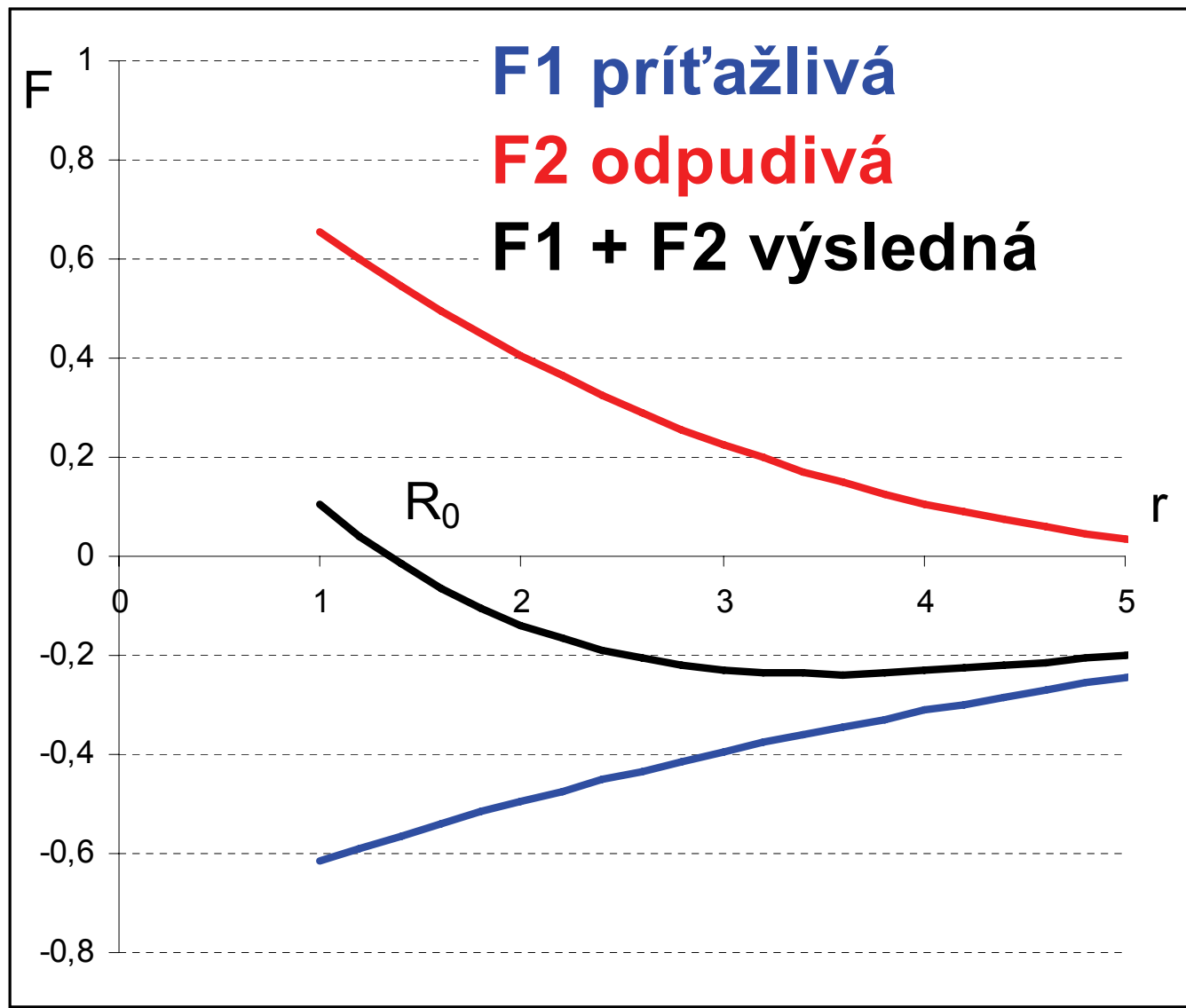
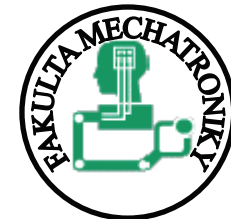
3.3 Väzby v pevných látkach



- Pevné látky sú držané pohromadé **kohéznymi silami** (elektrostatická interakcia medzi elektrónmi a jadrom)
- Kohézne sily:
 - príťažlivé
 - odpudivé(ich rovnováha = stabilita systému)
- Kohézna energia (veličina charakterizujúca stabilitu) „ U “
$$U = E_v - E \text{ [eV/atóm]}$$

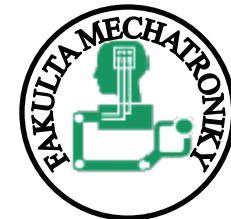
3. Štruktúra pevných látok

3.3 Väzby v pevných látkach



3. Štruktúra pevných látok

3.3 Väzby v pevných látkach



- Odpudivé sily
 - pri malých vzdialenosťach jadier atómov:
 - odpudivá reakcia (jadro – jadro → obe s kladným nábojom)
 - ak prenikne elektrónový obal do vnútra iného elektrónového obalu, potom:
 - Pauliho princíp (excitácia vonkajších elektrónov) → zvýšenie energie sústavy → odpudivá reakcia
 - nedôjde k excitácii → vznik príťažlivej sily a vznik kryštalickej väzby

3. Štruktúra pevných látok

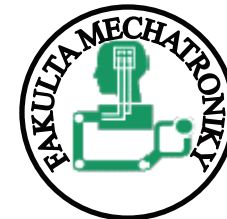
3.3 Väzby v pevných látkach



- Príťažlivé sily
 - iónová väzba,
 - kovalentná väzba,
 - kovová väzba,
 - Van der Waalsova väzba,
 - vodíkova väzba.

3. Štruktúra pevných látok

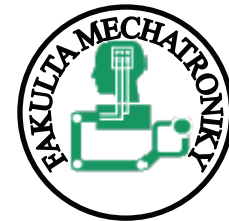
3.3 Väzby v pevných látkach



- **Iónová väzba** - dôsledok elektrostatických síl medzi aniónmi a katiónmi, ale aj rozdielnej „elektronegatívnosti“ prvkov.
 - Inertné plyny F, Cl, Br, I - tendencia zachytiť e
 - alkalické kovy Na, K, Rb, Cs - trend stratíť e
- **Vlastnosti:** aj malá zmena vzdialenosťi môže viesť k veľkému zvýšeniu vnútornej energie → obmedzenie pohybových možností dislokácií → vplyv na väčšinu mechanických charakteristík

3. Štruktúra pevných látok

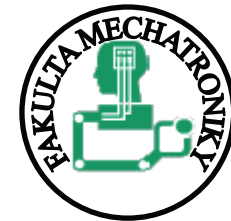
3.3 Väzby v pevných látkach



- Kovalentná väzba - dvojica elektrónov, ktorá patrí viacerým atómom.
- **Vlastnosti:** dôsledok kvantovo-mechanického efektu tzv. výmenných síl. Pri dostatočnom priblížení → zmena elektrónového oblaku → elektróny prechádzajú z atómových sfér na molekulové. Atómy si zdieľajú elektróny → zníženie energie kryštálu → vznik výmenných príťažlivých síl. Je veľmi silná. Aj malé odchyly od ideálneho usporiadania vedú k veľkému nárastu vnútornej energie → prerušenie väzieb.

3. Štruktúra pevných látok

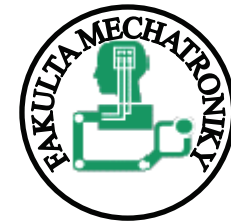
3.3 Väzby v pevných látkach



- **Kovová väzba** - atómy uvoľnia časť valenčných elektrónov do spoločného vlastníctva kladných iónov.
- **Vlastnosti:** kovy: vysoká pohyblivosť valenčných (vodivostných) elektrónov. Tieto výrazne prispievajú k väzobnej energii. Char. črta: zníženie celkovej energie vzhľadom k voľným atómom.
Kovová väzba je všesmerová, e sa ľahko preskupujú → lokálna porucha → žiadna zásadná zmena v konfigurácii energetických hladín.
Pri premiestnení porúch v mriežke nedochádza k prerušeniu väzby → dobrá plasticita väčšiny kovov

3. Štruktúra pevných látok

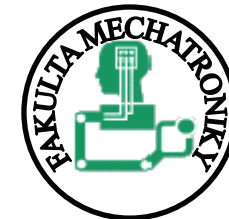
3.3 Väzby v pevných látkach



- Van der Waalsova väzba - vzájomné silové pôsobenie dipólov molekúl
- Vlastnosti: nie je podstatná pre technické materiály, relatívne slabá väzba
 - Vyskytuje sa: plyny, kvapaliny, plasty
 - Závislosť na r^6

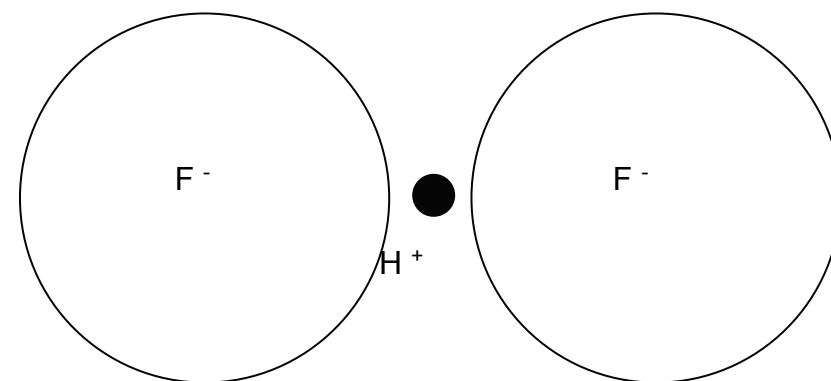
3. Štruktúra pevných látok

3.3 Väzby v pevných látkach



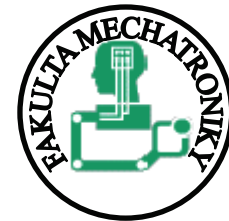
- Vodíkova väzba - špecifické pôsobenie medzi H a (napr.) O
- **Vlastnosti:** Atóm vodíku je za určitých okolností pritahovaný k 2 atómom a vytvára medzi nimi tzv. vodíkovú väzbu. Táto je základom interakcie medzi molekulami H_2O , určuje vlastnosti vody a ľadu (spolu s Van der Waalsovou väzbou).

Vodík predá elektrón ďalším atómom molekuly → protón vytvára vodíkovú väzbu. Dva susediace atómy sú veľmi blízko → nepripustia k vodíku tretí atóm



3. Štruktúra pevných látok

3.4 Štruktúra ideálnych kryštálov



- Periodické zoskupenia atómov

Kryštál = 3D periodické zoskupenie atómov

Ideálny kryštál (monokryštál) = ∞ opakovanie štruktúry jednotiek v priestore

môže to byť:

1 atóm (Cu, Ag, Fe)

2 – 1.000 atómov (anorganické kryštály)

10.000 atómov (bielkoviny)

3.4 Štruktúra ideálnych kryštálov



- Periodické zoskupenia atómov

usporiadanie atómov vyzerá rovnako, ak je pozorované z ľubovoľného bodu r alebo r' :

$$r' = r + ua + vb + wc$$

kde u, v, w sú ľubovoľné celé čísla

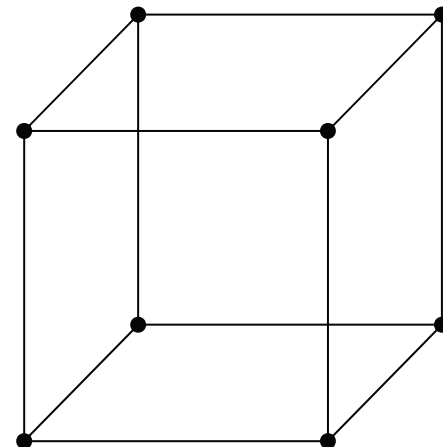
$\mathbf{a}, \mathbf{b}, \mathbf{c}$ (primitívne) translačné vektory

množina bodov r' pre všetky u, v, w tvorí mriežku

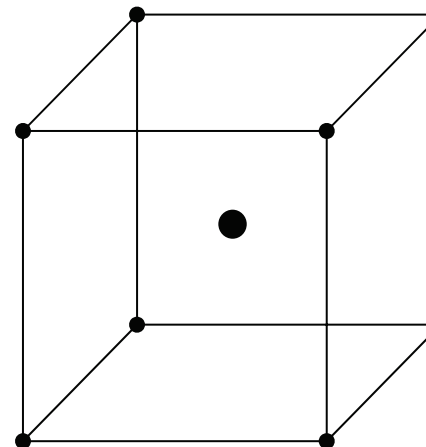
3.4 Štruktúra ideálnych kryštálov



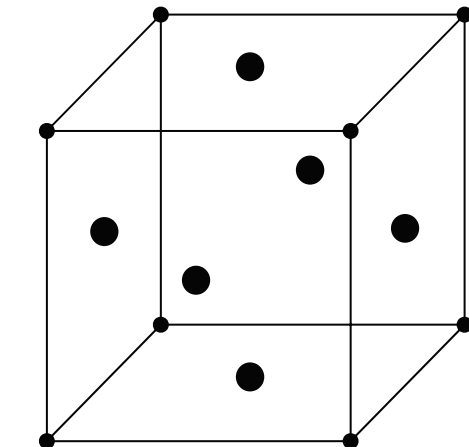
- Základné kryštálové štruktúry*



Kubická prostá
(sc)



Kubická priestoro
centrovaná (bcc)



Kubická plošne
centrovaná (fcc)

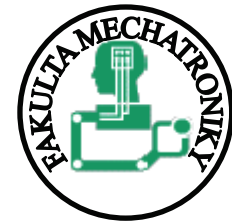
*celkom rádovo desiatky štruktúr

3.4 Štruktúra ideálnych kryštálov



- Indexy bodov, priamok a rovín
 - všetky elementárne bunky sú rovnaké → stanovením polôh atómov v jednej sú stanovené polohy všade
 - poloha atómu: 3 čísla: m, n, p:
atóm $[[\frac{1}{2}, \frac{1}{2}, \frac{1}{2}]]$ leží v strede elem. bunky

3.4 Štruktúra ideálnych kryštálov



- Indexy bodov, priamok a rovín
 - Smer: daný počiatkom a bodom:
 ua, vb, wc ako $[u \ v \ w]$

3.4 Štruktúra ideálnych kryštálov

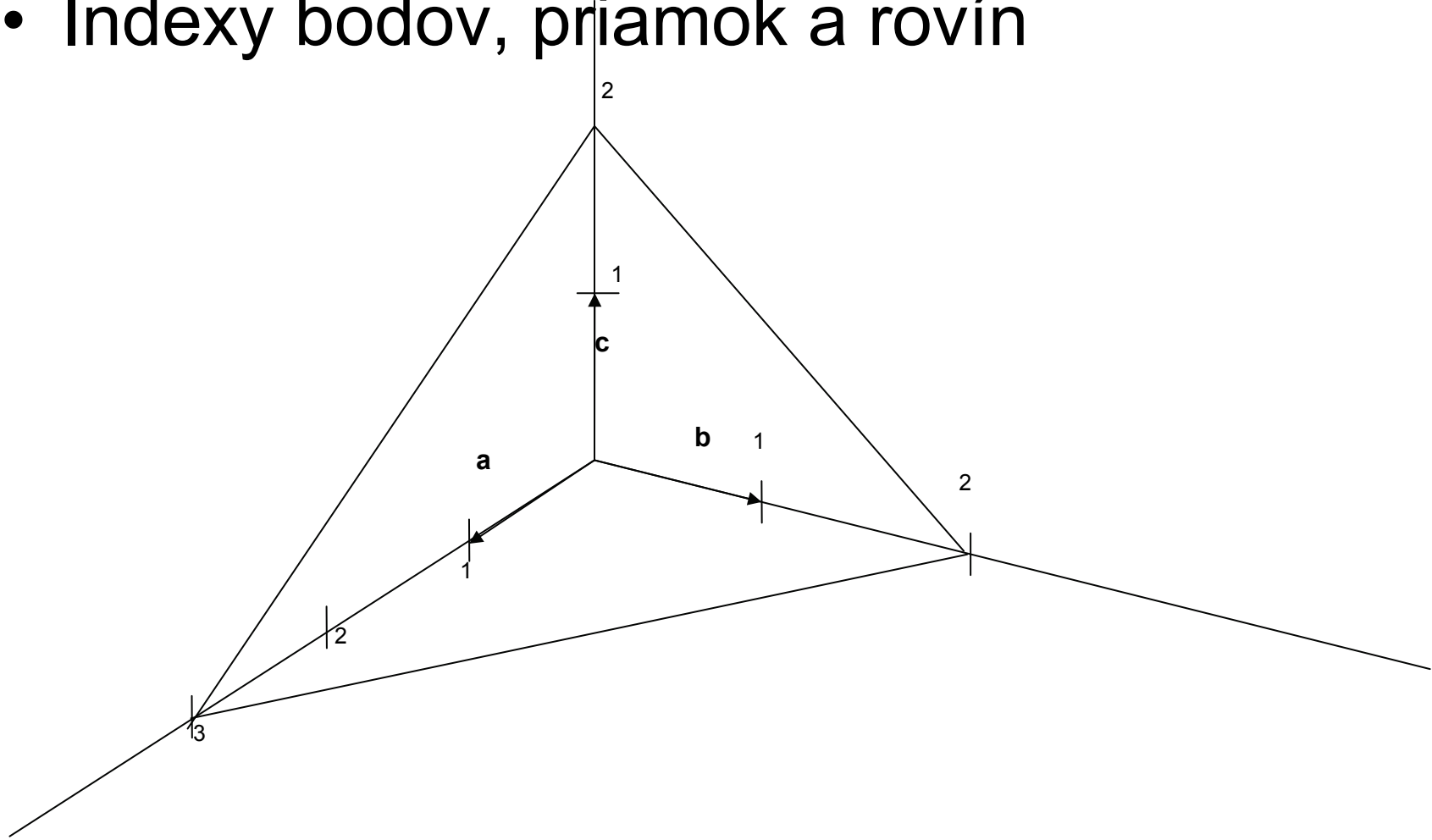


- Indexy bodov, priamok a rovín
 - Mriežkové roviny: rovina v úsekokach a/h , b/k , c/l kde h , k , l sú celé nedeliteľné čísla (tzv. Millerove indexy)
 - Hexagonálna sústava: Miller-Bravaisove indexy

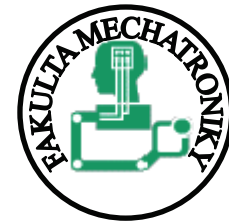
3.4 Štruktúra ideálnych kryštálov



- Indexy bodov, priamok a rovín



3.5 Poruchy v kryštáloch

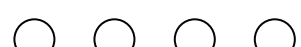
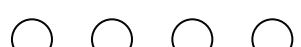


- rozmery poruchy väčšie ako atomárne:
 - bodové
 - čiarové
 - plošné
 - objemové

3.5 Poruchy v kryštáloch



- Bodové poruchy:



VAKANCIA

**INTERSTICIÁLNY
ATÓM**

**SUBST.
PRÍMESY**

**INTERST.
PRÍMESY**



DIVAKANCIA

TRIVAKANCIA

**FRENKELOV
PÁR**

**VAKANCIA
+PRÍMES**

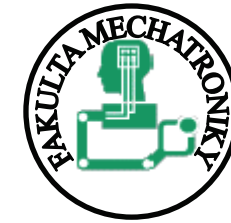
3.5 Poruchy v kryštáloch



- Bodové poruchy:
v skutočnosti: napäťové pole → posun
stredných polôh častíc

koncentrácia bodových porúch → vzťahy o energii systému (Boltzmanova konštanta,...) → Stabilný systém aj vtedy, ak časť mriežkových bodov je neosadená

3.5 Poruchy v kryštáloch



- Dislokácie = čiarové poruchy:

Dislokácia = porušenie pravidelnosti štruktúry kryštálu pozdĺž určitej čiary, jej dĺžka môže byť zrovnatelná s rozmerom kryštálu

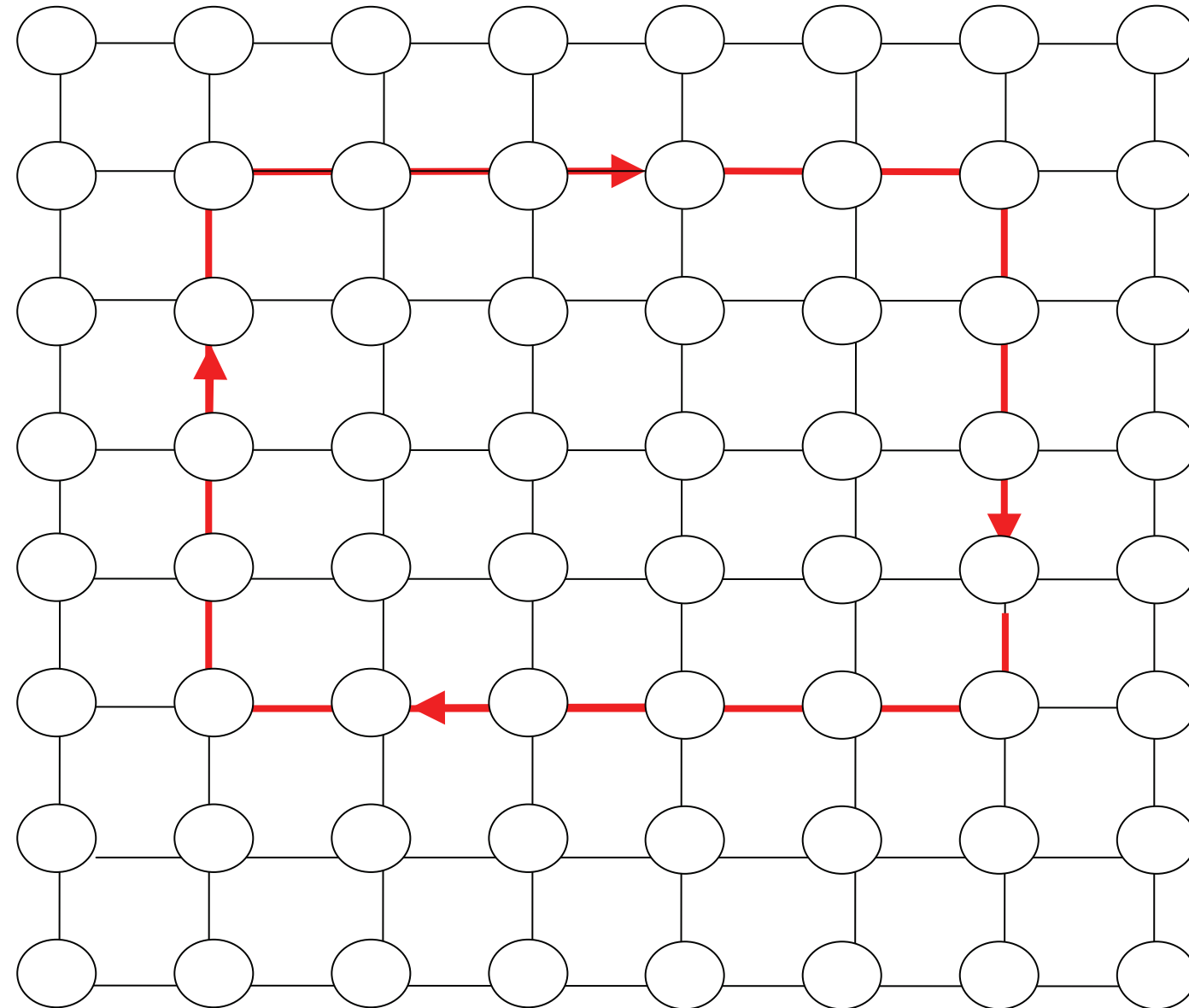
Najvýznamnejšie poruchy mriežky
V tuhej látke termodynamicky nestabilné

3.5 Poruchy v kryštáloch



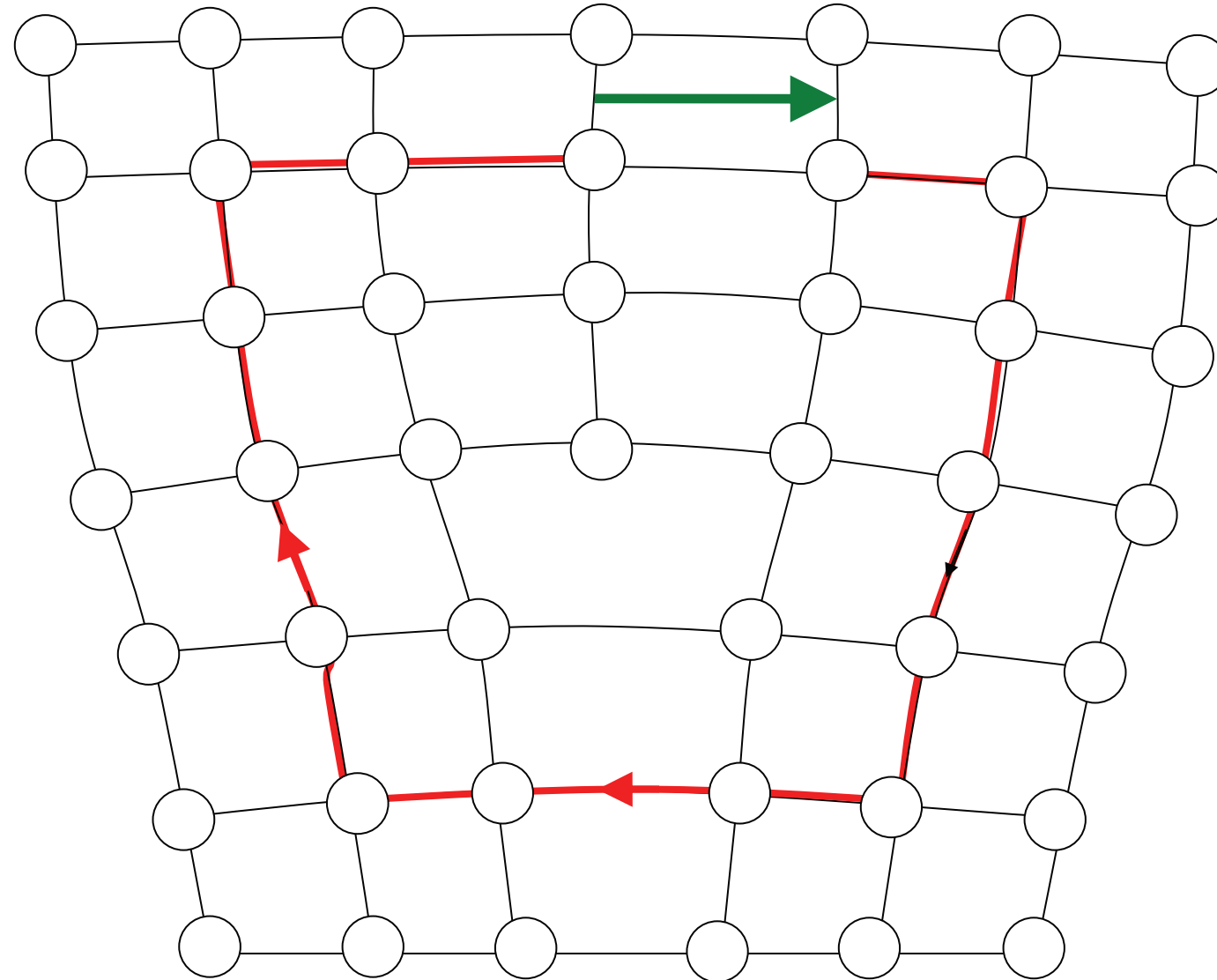
- Druhy (typy) dislokácií:
 - Hranové
 - Skrutkové
- Označenie: $T \perp$

3.5 Poruchy v kryštáloch



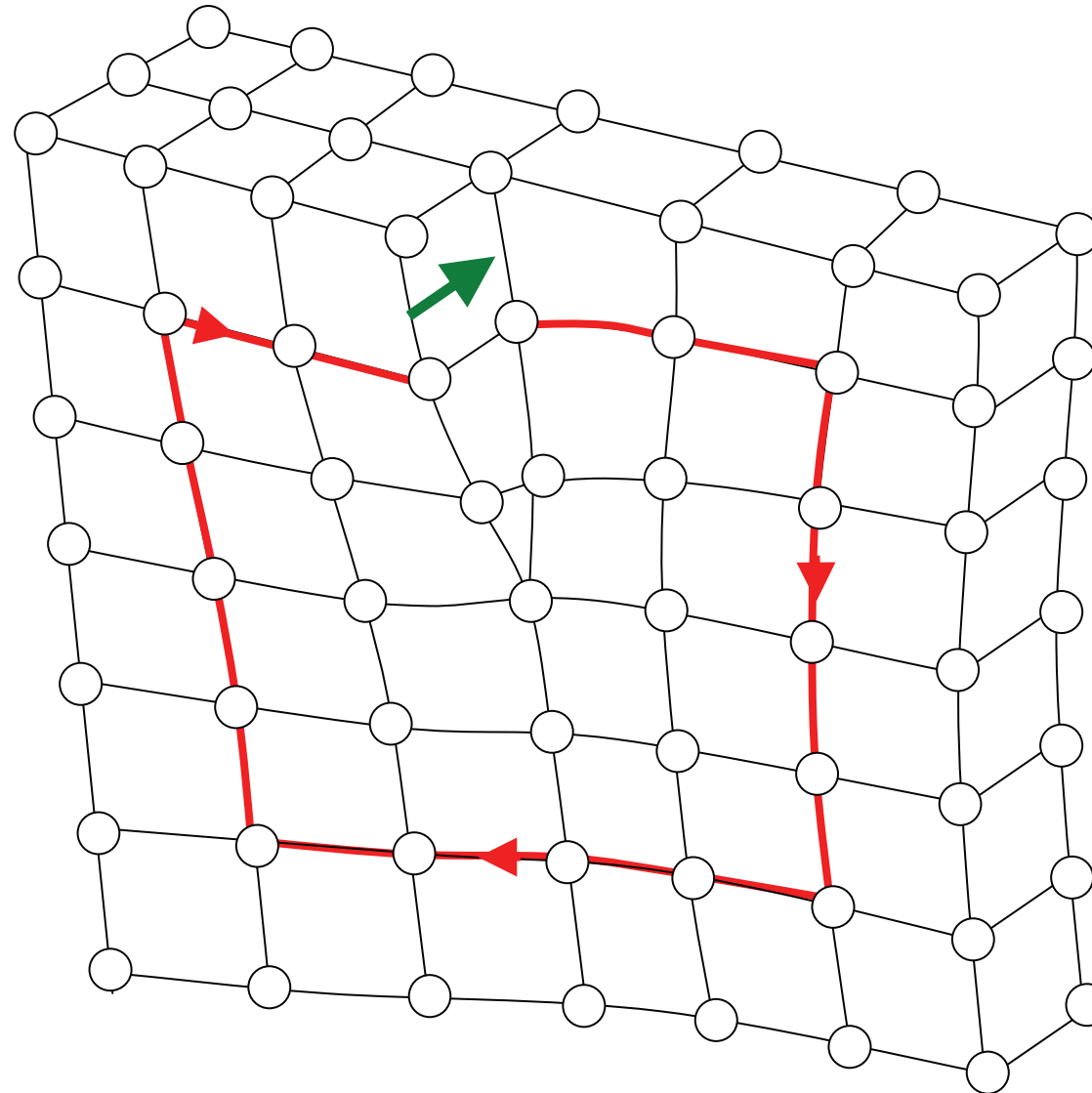
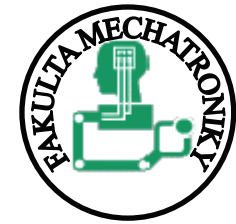
3.5 Poruchy v kryštáloch

Hranová dislokácia

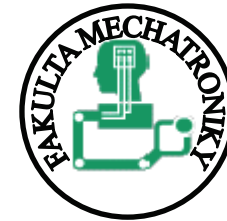


3.5 Poruchy v kryštáloch

Skrutková dislokácia

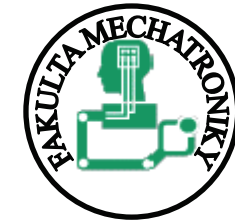


3.5 Poruchy v kryštáloch



- Dislokácie:
 - Existuje polomer $R_j \approx 1 \text{ nm}$, t. j. 2 - 3 medziatómové vzdialenosťi, kde sú deje neštandardné. Vnútorná oblasť okolo dislokácií o polomere R_j = jadro dislokácie
 - Vznik a vzrast dislokácií závisí od spôsobu výroby, spracovania materiálu ...

3.5 Poruchy v kryštáloch



- Dislokácie:
 - Hustota dislokácií: $\rho_D = \Delta l / \Delta V$ [m^{-2}]
celková dĺžka dislokačných čiar v jednotke objemu
 - Dislokácie vo svojom okolí vyvolávajú mechanické napätie a významne zvyšuje vnútornú energiu materiálu

3.5 Poruchy v kryštáloch

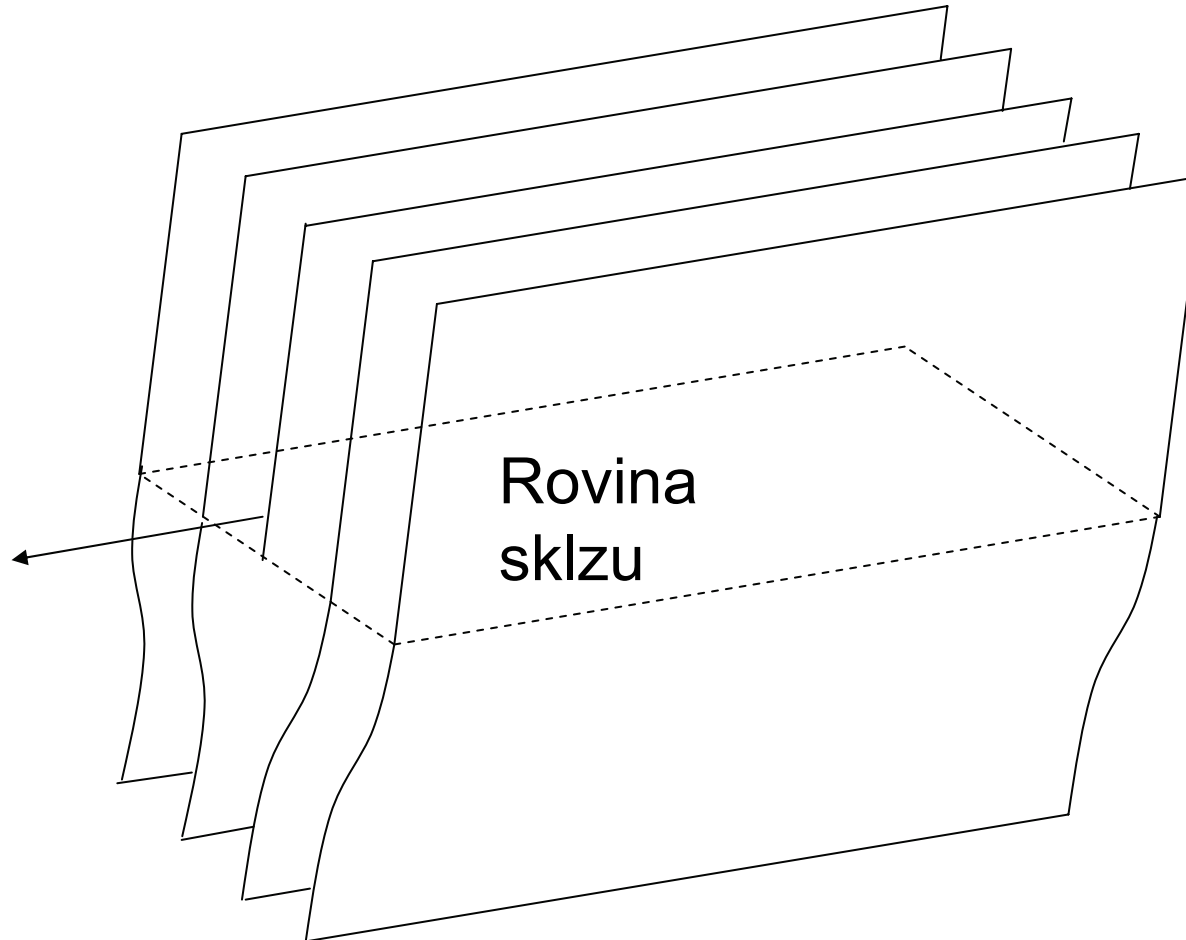


- Vlastnosti dislokácií:
 - Pohyb
 - Napäťové pole
 - Energia
 - Sila pôsobiaca na dislokáciu
 - Vzájomné pôsobenie dislokácií
 - Vplyv povrchu
 - Peierls-Nabarrovo napätie

3.5 Poruchy v kryštáloch



- Pohyb dislokácií:



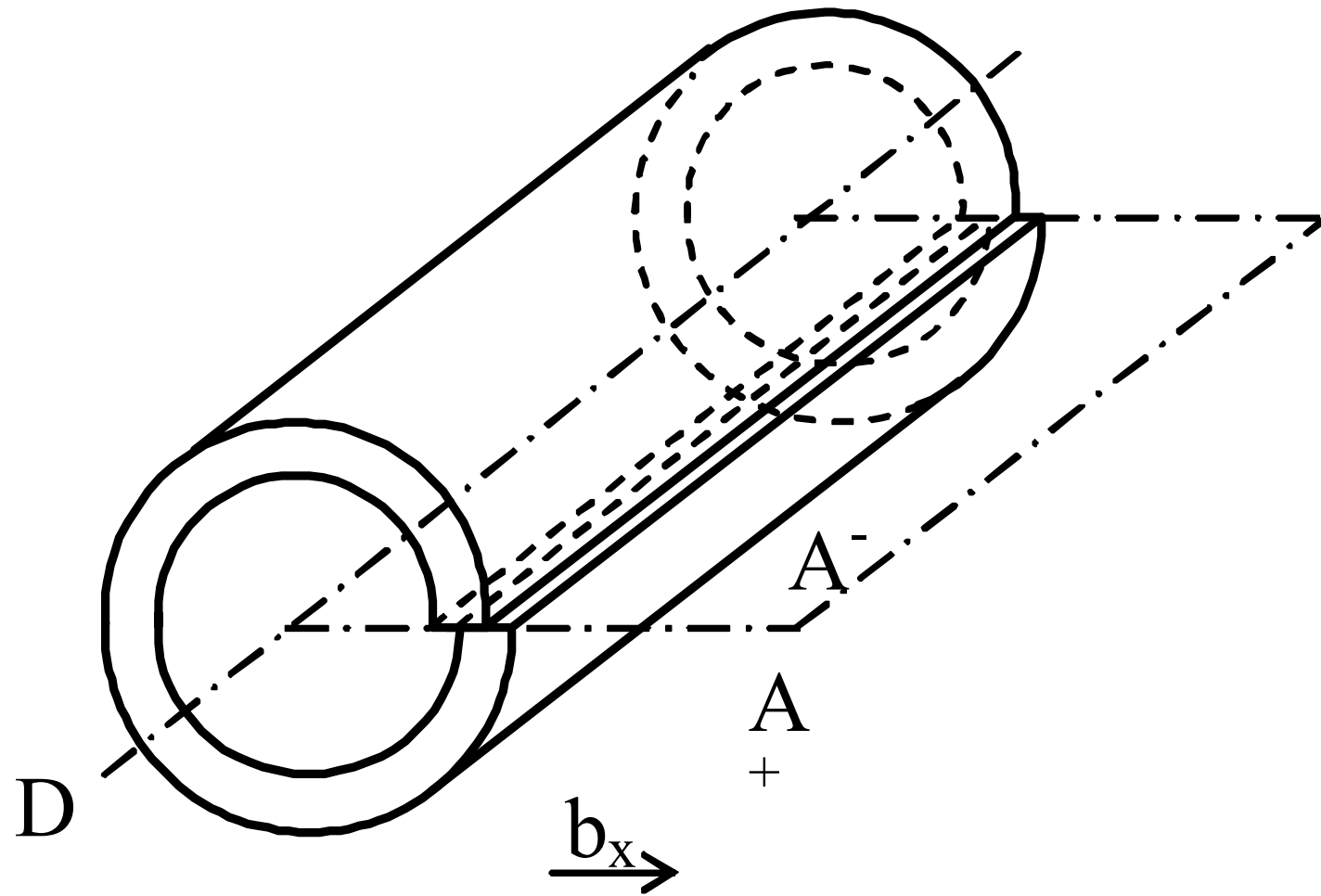
3.5 Poruchy v kryštáloch



- Pohyb dislokácií:
 - dislokácie majú schopnosť pohybu pri pôsobení napäťia. Pri pohybe môže meniť tvar
- Pohyb sklzový: pohyb v sklzovej rovine
 - príčina: vonkajšie alebo vnútorné sily
- Šplhanie dislokácií: kolmo na sklzovú rov.
 - Difúzia, vyššie teploty

3.5 Poruchy v kryštáloch

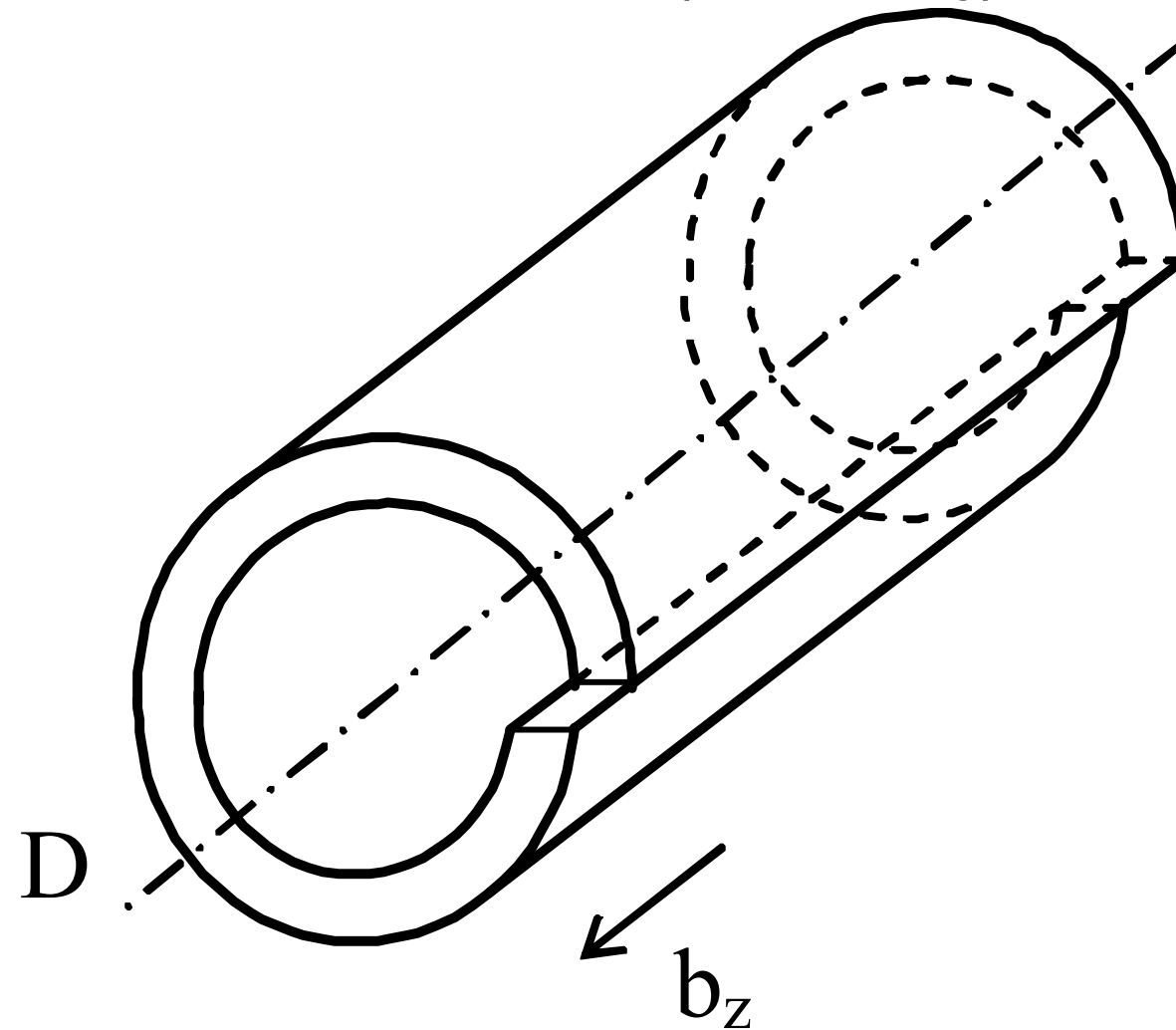
- Napäťové pole dislokácie (skrutkovej):



3.5 Poruchy v kryštáloch



- Napäťové pole dislokácie (hranovej):



3.5 Poruchy v kryštáloch

- Napäťové pole dislokácie (skrutkovej):

$$\sigma_{z\Theta} = \frac{Gb}{2\pi r}$$

- G = modul pružnosti v šmyku
- Ostatné zložky rovné nule

3.5 Poruchy v kryštáloch



- Napäťové pole dislokácie (skrutkovej) v XYZ:

$$\sigma_{XZ} = \sigma_{ZX} = -\frac{Gb}{2\pi} \frac{y}{x^2 + y^2}$$

$$\sigma_{YZ} = \sigma_{ZY} = \frac{Gb}{2\pi} \frac{x}{x^2 + y^2}$$

$$\sigma_{XX} = \sigma_{YY} = \sigma_{ZZ} = \sigma_{XY} = \sigma_{YX} = 0$$

3.5 Poruchy v kryštáloch



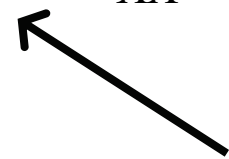
- Napäťové pole dislokácie (hranovej) v XYZ:

$$\sigma_{XX} = -\frac{Gb}{2\pi(1-\nu)} y \frac{3x^2 + y^2}{(x^2 + y^2)^2}$$

$$\sigma_{YY} = \frac{Gb}{2\pi(1-\nu)} y \frac{x^2 - y^2}{(x^2 + y^2)^2}$$

$$\sigma_{XY} = \sigma_{YX} = \frac{Gb}{2\pi(1-\nu)} x \frac{x^2 - y^2}{(x^2 + y^2)^2}$$

$$\sigma_{ZZ} = \nu(\sigma_{XX} + \sigma_{YY})$$



Poissonovo číslo

3.5 Poruchy v kryštáloch



- Energia dislokácie:
 - Elastická deformácia → vykonanie práce proti vnútorným napäťovým poliam. V deformovanom telese sa ukladá energia. Energia na jednotku objemu:

$$u = \frac{1}{2} \sum_{i,k=1}^3 \sigma_{i,k} \varepsilon_{i,k}$$

Kde σ_{ik} sú zložky napätia a ε_{ik} zložky deformácie

3.5 Poruchy v kryštáloch



- Energia dislokácie:
 - postup: energia pre jednu dislokáciu, rozdelenie na zložky (jadro + mimo jadra), rozdelenie podľa charakteru dislokácie (hranová, skrutková, zmiešaná)
→ výsledok:
 - Celková elastická energia:

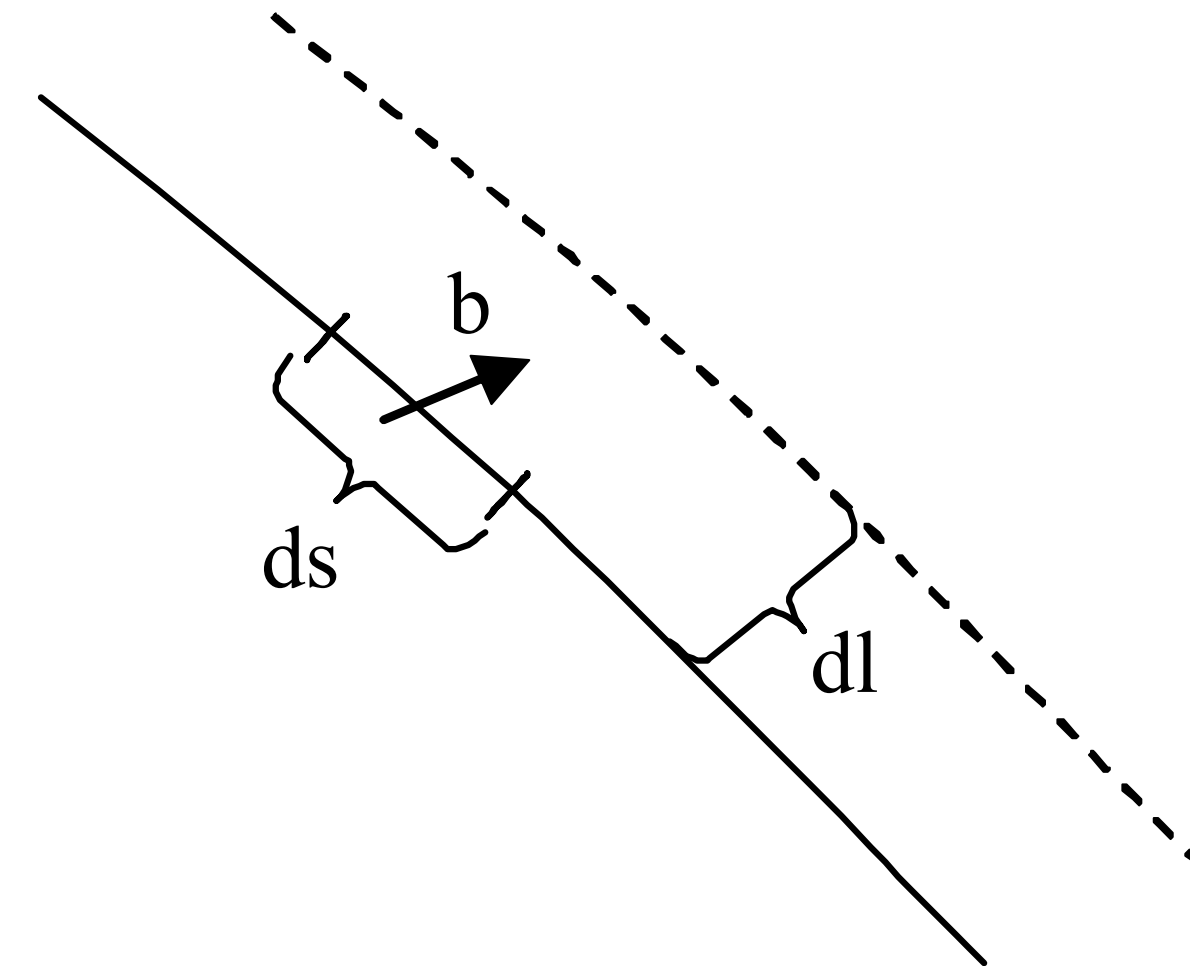
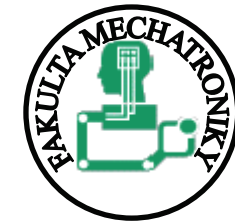
$$U_S = \frac{Gb^2}{4\pi(1-\nu)} \ln\left(\frac{R}{R_j}\right) \left(1 - \nu \cdot \cos^2 \Phi\right)$$

t.j.

$$U_S = \alpha \cdot G \cdot b^2 \quad \text{kde } \alpha \in (0,5 \div 1)$$

3.5 Poruchy v kryštáloch

- Sila pôsobiaca na dislokáciu:



3.5 Poruchy v kryštáloch

- Sila pôsobiaca na dislokáciu:
 - Dislokácia sa pohybuje v sklzovej rovine vplyvom homogénneho napäťia $\tau \rightarrow$ ak sa element ds posunie o $dl \rightarrow$ v ploche $dsdl$ vznikne posunutie o b v smere \mathbf{b} pričom naň pôsobí elementárna sila $\tau dsdl$.
 - Práca vykonaná takouto silou je:
$$dW = \tau.ds.ds.b$$
 - alebo:
$$dW = F^S.ds$$
 - Sila pôsobiaca na dislokáciu jednotkovej dĺžky je:
$$F = F^S/ds = \tau.b$$

Táto sila je vždy kolmá na dislokačnú čiaru a mieri do nedeformovanej časti sklzovej roviny

3.5 Poruchy v kryštáloch

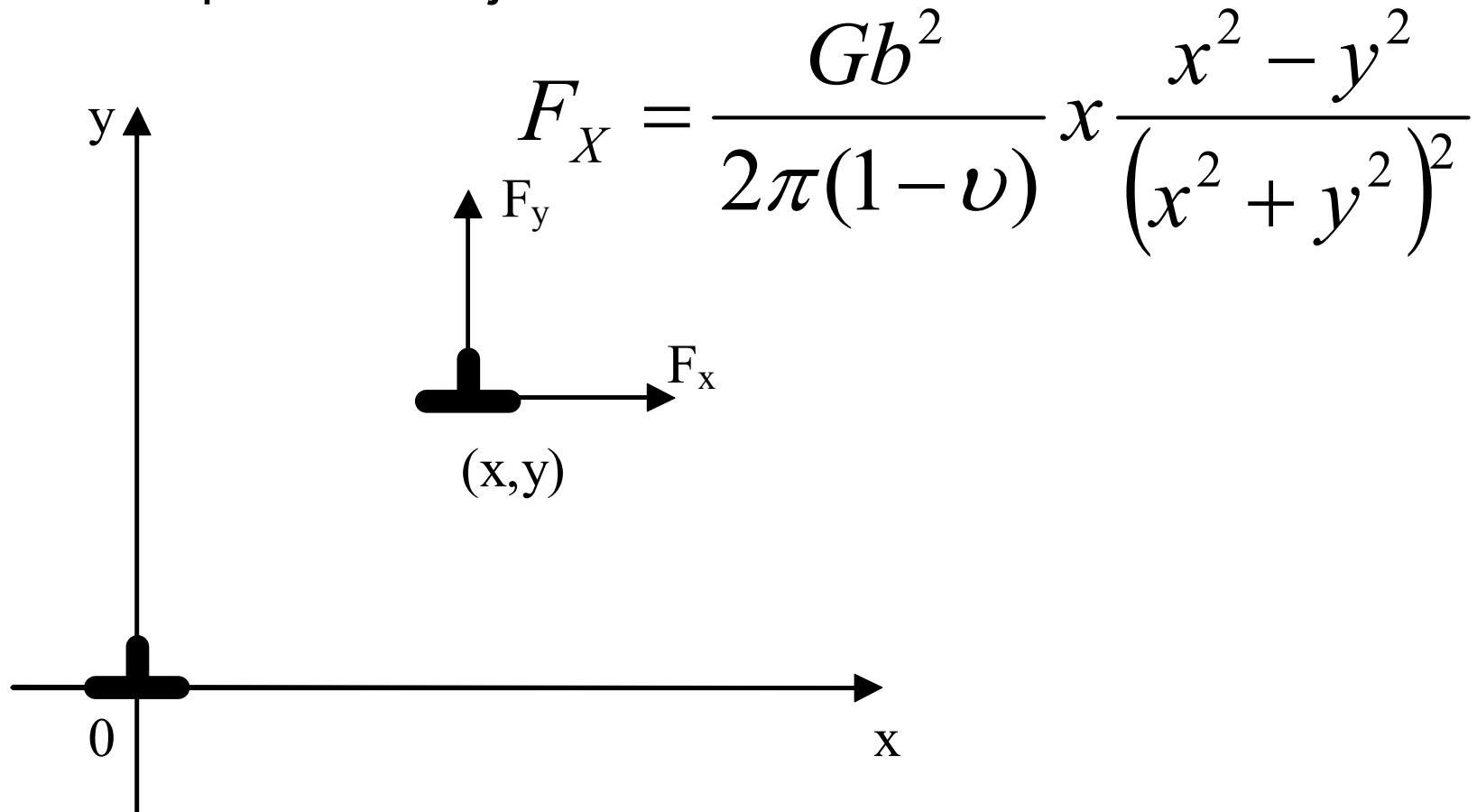


- Vzájomné pôsobenie medzi dislokáciami:
 - napäťové polia → vzájomné pôsobenie
 - rovnaké znamienko: odpudzovanie
 - rôzne znamienko: príťahovanie
- Napr.:
 - dve dislokácie, pri veľkej vzdialosti je ich celková energia na jednotku dĺžky $2\alpha \cdot G \cdot b^2$:
 - ak sú blízko, majú Burgersov vektor $2\mathbf{b}$ → ich celková energie je potom $\alpha \cdot G \cdot (2b)^2$
 - ak sú Burgersove vektory opačne orientované →
$$\mathbf{b} + (-\mathbf{b}) = 0$$

3.5 Poruchy v kryštáloch



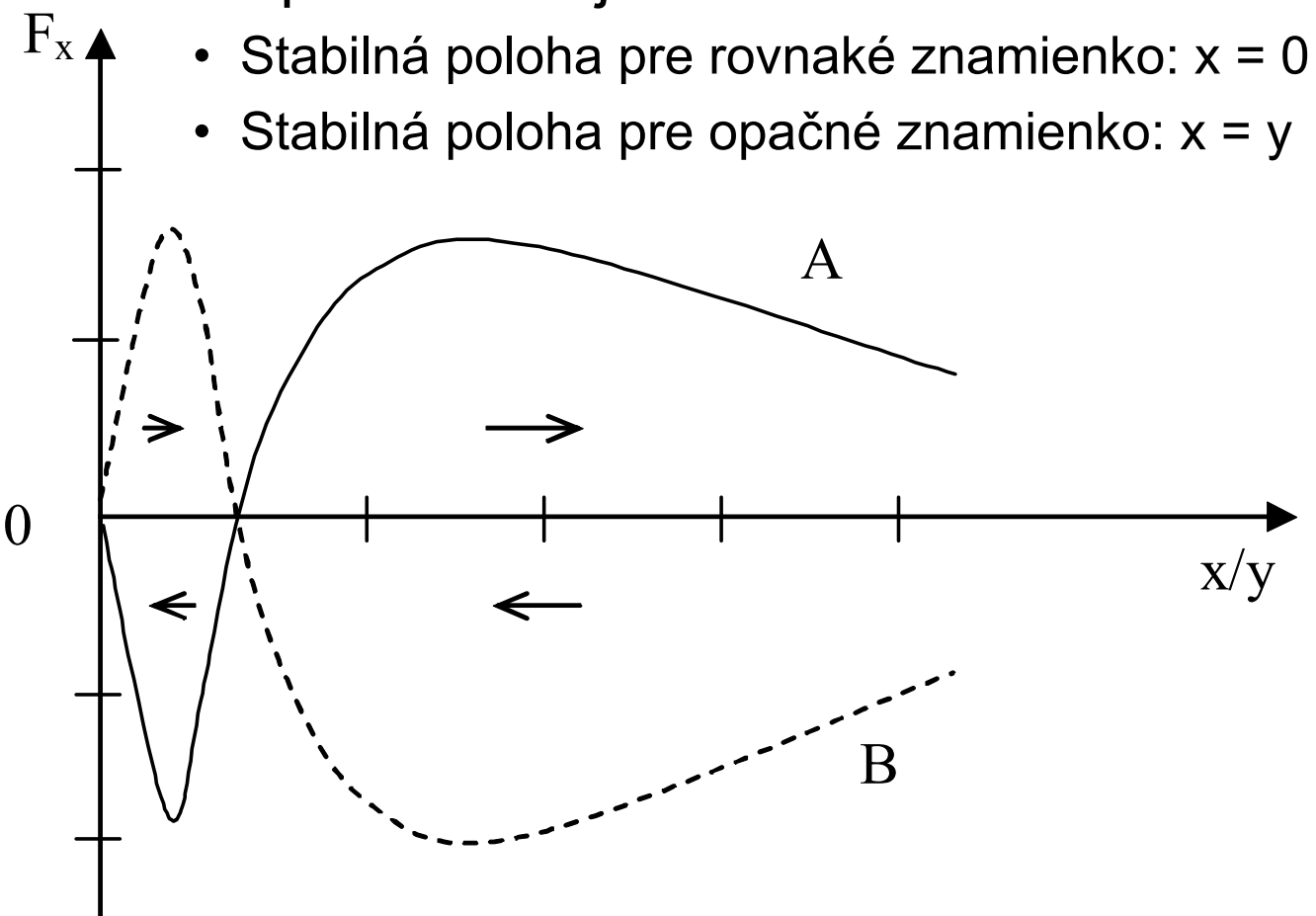
- Vzájomné pôsobenie medzi dislokáciami:
 - Sila pri hranovej dislokácii:



3.5 Poruchy v kryštáloch



- Vzájomné pôsobenie medzi dislokáciami:
 - Sila pri hranovej dislokácii:



3.5 Poruchy v kryštáloch

- Vplyv povrchu na dislokáciu:
 - Dislokácia s dislokačnou čiarou S a Burgersovým vektorom \mathbf{b} → poznáme jej pole napäťí v ∞ priestore σ_{ij}^0
 - Hľadáme σ_{ij}^* v konečnom telese obmedzenom povrhom $S \rightarrow$ výsledok:
 - vplyv „prídavného“ poľa:

$$\sigma_{ij} = \sigma_{ij}^0 + \sigma_{ij}^*$$



Prídavné pole

špeciálna kapitola: vplyv povrchu na dislokáciu v tenkých fóliách

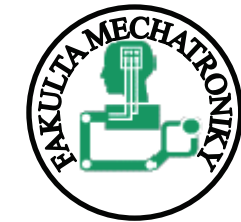
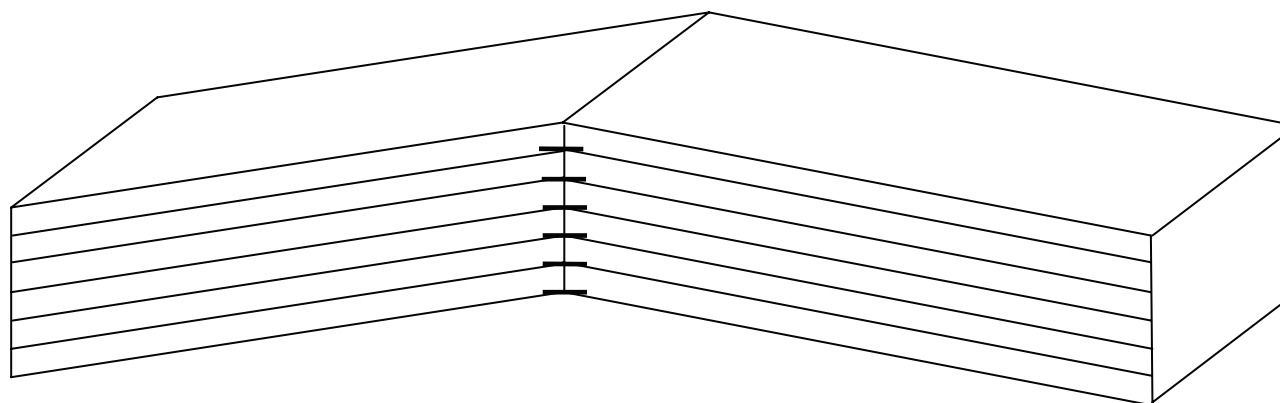
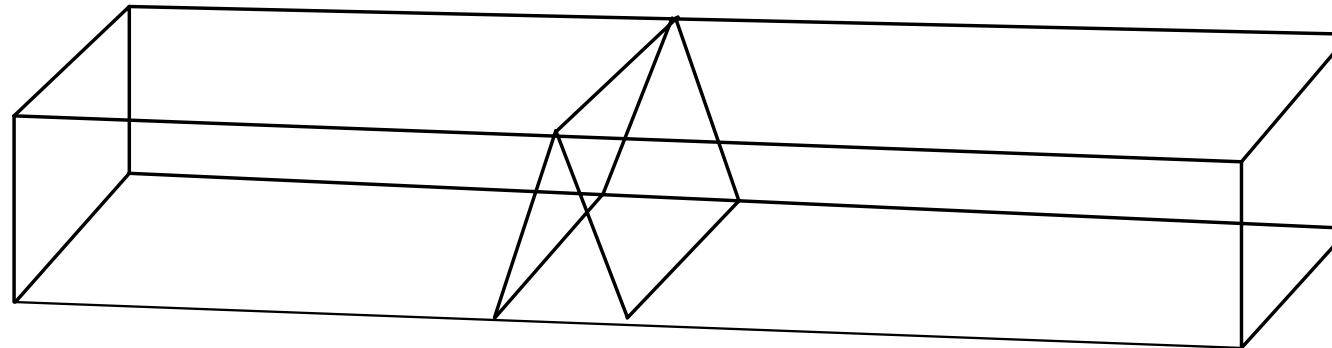
3.5 Poruchy v kryštáloch



- Peierls-Nabarrovo napätie (PN napätie):
 - Peierls-Nabarrovo napätie je šmykové napätie τ v rovine sklzu, ktoré je potrebné k uvedeniu dislokácie do pohybu pri teplote 0 K v kryštále bez ďalších porúch.
 - Označenie: τ_{PN}

3.5 Poruchy v kryštáloch

- Hranice zrn a subzrn:



3.5 Poruchy v kryštáloch



- Hranice zrn a subzrn:
 - Hranice subzrn → oblasti, ktoré oddelujú jednotlivé dokonalé bloky kryštálu s rozmermi asi $1\text{e}-6$ od seba. Dezorientácia kryštálov je maximálne niekoľko stupňov
 - Hranice zrn → dezorientácia je veľká ($5^\circ - 10^\circ$ a viac)
 - Hranice zrn výrazne vplývajú na fyzikálne, chemické, mechanické a iné vlastnosti. Chemické reakcia (oxidácia, korózia) tu prebiehajú rýchlejšie. Je tu väčšia koncentrácia nečistôt
 - Vznik hraníc → pri tuhnutí taveniny, keď prebieha kryštalizácia z rôzne orientovaných zárodkov

3.5 Poruchy v kryštáloch



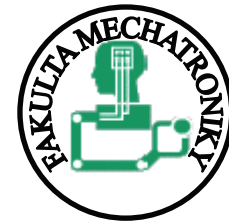
- Objemové (priestorové) poruchy:
 - 3D útvary, ktoré sa výrazne líšia, napr. zložením alebo usporiadaním atómov od základnej stavby kryštálu a výrazne narušujú periodicitu kryštalickej mriežky.
 - Patria sem: precipáty (zrazeniny), zhluky cudzích atómov, zhluky nečistôt, nekovové súčiastky v kovovej hmote a pod.

3.6 Štruktúra plastov



- z chemického hľadiska: polyméry (makromolekulárne látky), ich štruktúra sa posudzuje z dvoch hľadísk:
- **Molekulárna** (vl. molekuly: veľkosť, chemické zloženie, tvar...)
- **Nadmolekulárna** (vzťahy medzi molekulami)

3.6 Štruktúra plastov

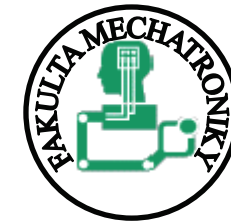


- Molekulárna

- Väzby: kovalentná (vnútri makromolekúl)

- Van der Waalsova (medzi makromolekulami)
(pôsobí na väčšie
vzdialenosťi a je o
1 - 2 rády nižšia)

3.6 Štruktúra plastov



- Molekulárna
 - Rozdelenie:
 - Lineárne → monomér má 2 reaktívne (funkčné) miesta
 - Priestorovo sietované → 3 funkčné miesta
 - Rozvetvené → nie úplne 3D

3D polyméry sú netaviteľné a nerozpustné!

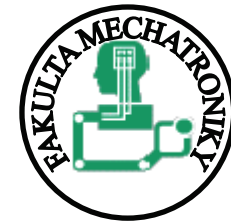
3.6 Štruktúra plastov



- Nadmolekulárna
 - amorfňá
 - kryštalická

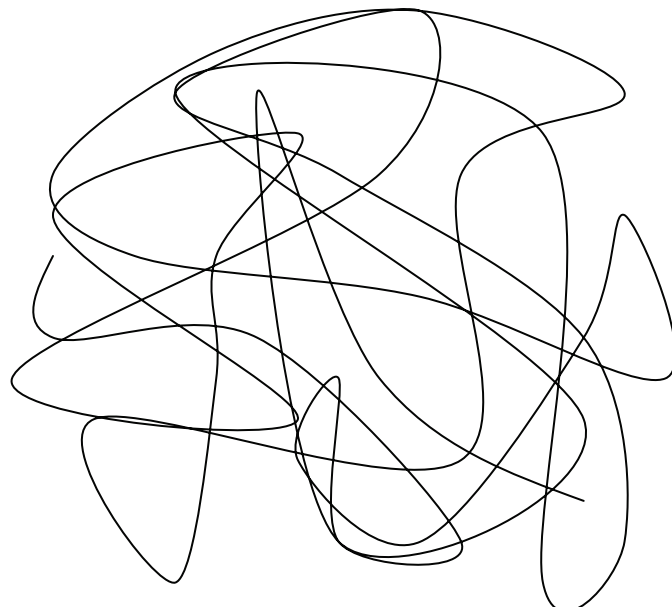
rozdiel: vo vlastnostiach (najmä mechanických)

3.6 Štruktúra plastov



- Nadmolekulárna

- najnižší prvok, t. j. prvok s najnižším (žiadnym) usporiadaním: GLOBULE → útvary, kde makromolekuly sú „zbalené do kľbka“



$$S^2 = N a^2 \frac{1 - \cos \beta}{1 + \cos \beta}$$

S – priemer kľbka

N – počet článkov reťazca

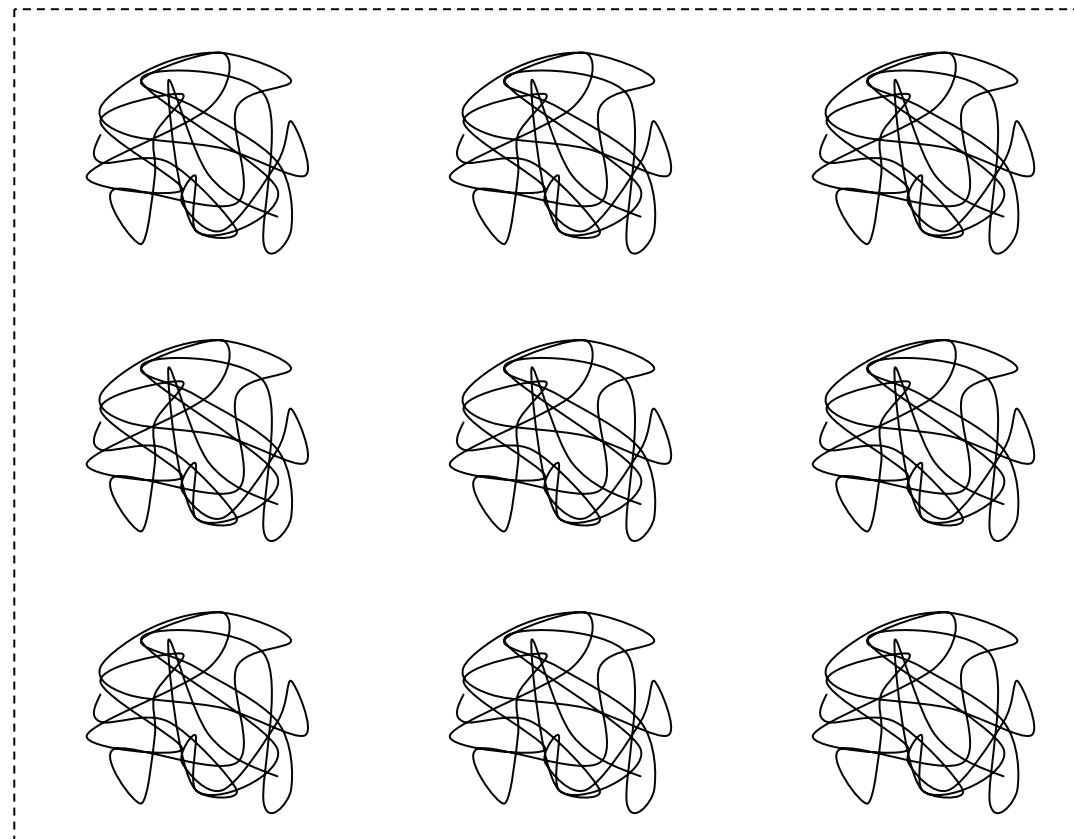
a – dĺžka jedného článku

β – uhol medzi susednými väzbami

3.6 Štruktúra plastov



- Nadmolekulárna
 - pravidelné usporiadanie globúl:



3.6 Štruktúra plastov

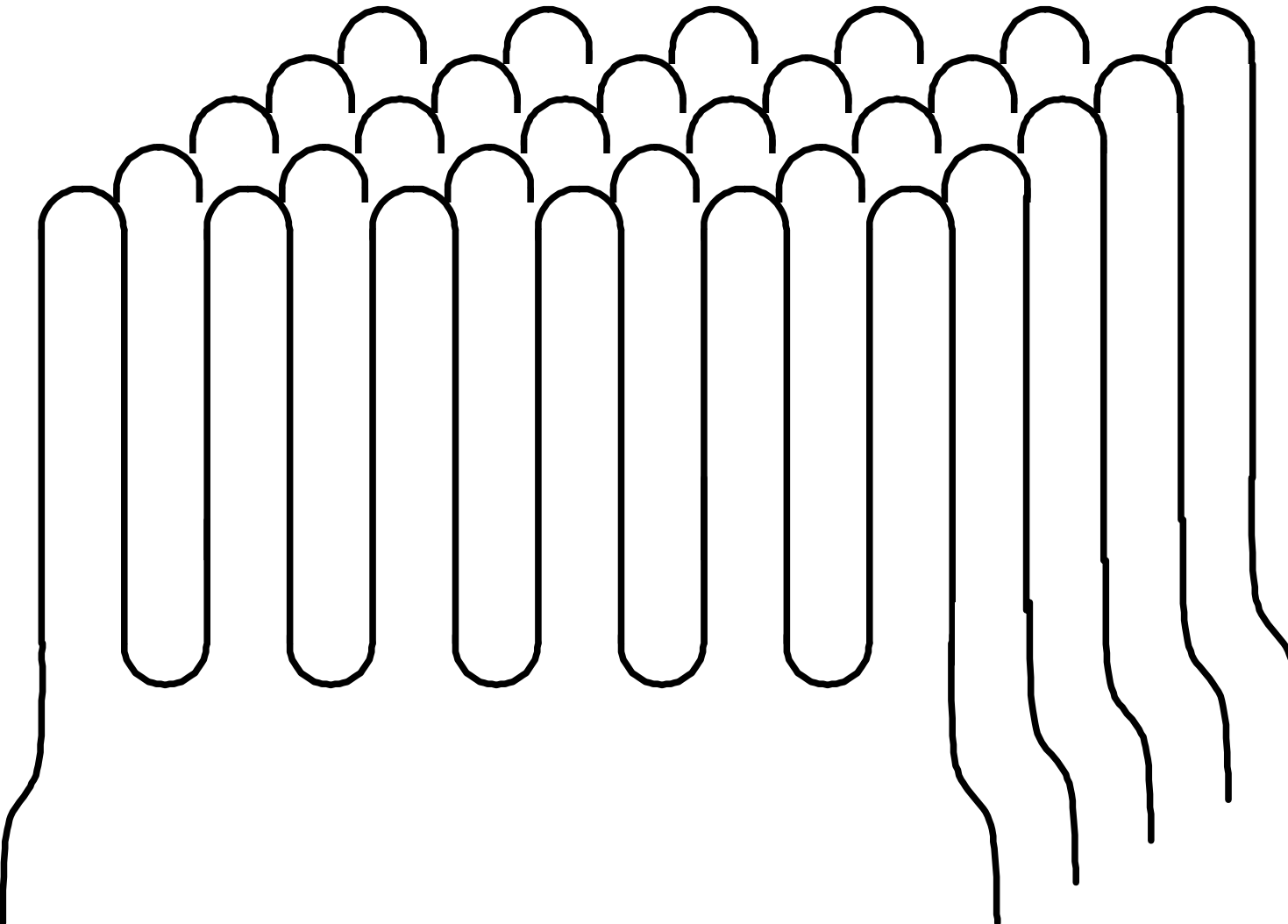


- Nadmolekulárna
 - kryštalický polymér z kryštalických oblastí, vytvorený pravidelným skladaním (ohýbaním o 180°) lineárnych makromolekúl do SEGMENTOV, ktoré vytvárajú rovinné útvary - LAMELY

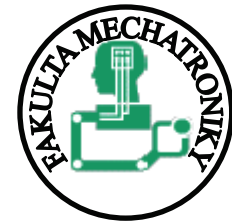
3.6 Štruktúra plastov



- Nadmolekulárna



3.6 Štruktúra plastov



- Nadmolekulárna
 - na rozdiel od kovov → kryštalizácia polymérov v menej dokonalých sústavách:
 - monoklinická
 - triklinická
 - pseudohexagonálna
 - stupeň kryštalinity: objemový podiel kryštalickej fázy v polymére:

$$c = \frac{d - d_a}{d_k - d_a}$$

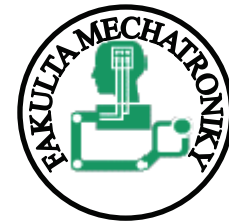
d: hustota materiálu
d_k: hustota kryštalickej fázy
d_a: hustota amorfnej fázy

3.6 Štruktúra plastov



- „Zaujímavé“ vlastnosti:
 - susedné molekuly sa môžu prakticky neobmedzene deformovať (ak netvoria priestorovú siet!) → polymérové taveniny
 - pri poklese teploty klesá kinetická energia → presadzujú sa medzimolekulárne sily → pravdepodobnosť posunu molekúl malá, pravdepodobnosť posunu kratších segmentov veľká:
 - VISKOELASTICKÝ (KAUČUKOVITÝ) stav:
pri rýchlej deformácii: správanie sa kaučuku
pri pomalej: správanie sa taveniny
 - materiál nie je schopný dlhodobo prenášať napätie

3.6 Štruktúra plastov

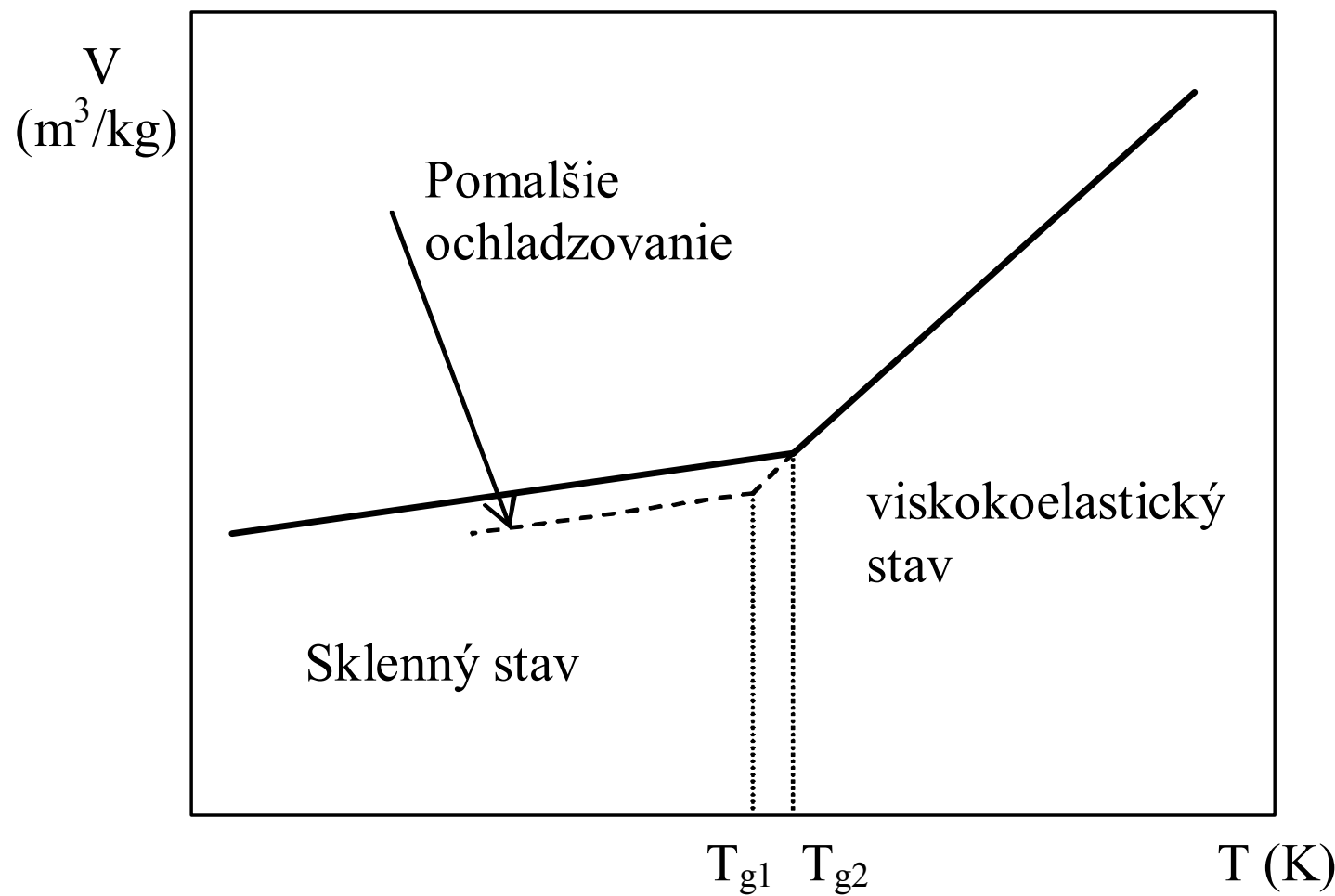


- „Zaujímavé“ vlastnosti:
 - materiál je schopný dlhodobo prenášať napätie, ak sa jedná o priestorovú siet' (ELASTOMERY, GUMY)
 - pri ďalšom poklese teplôt → kinetická energia neprekoná medzimolekulárne sily → amorfny sklenený stav.

3.6 Štruktúra plastov

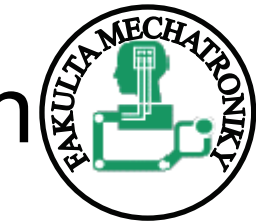


- „Zaujímavé“ vlastnosti:
 - podobná je aj závislosť merného objemu na teplote:



4. Vlastnosti kovov a ich zliatin

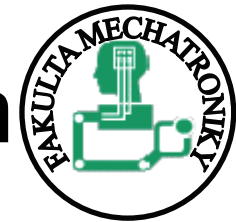
- KOVY (Všeobecný encyklopedický slovník):
 - veľká skupina chemických prvkov, ktoré majú vo vonkajšej vrstve malý počet elektrónov (s výnimkou vodíka a hélia), ktoré ľahko odštiepajú počas tvorby katiónov. Majú niektoré charakteristické vlastnosti ako napr. dobrú tepelnú a elektrickú vodivosť, lesk, tvárnosť, húževnatosť, taviteľnosť, zlievateľnosť ako aj nízku ionizačnú energiu.



4. Vlastnosti kovov a ich zliatin

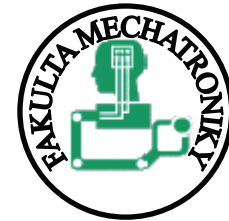
Kovy	Nekovy
Lesklé	Nelesklé
Kujné a t'ažné	Nie sú kujné a t'ažné
Veľká hustota	Malá hustota
V zlúčeninách → katióny	V zlúčeninách → anióny
Redukovadlo	Oxidovadlo
Zásadotvorné	Kyselinotvorné

4. Vlastnosti kovov a ich zliatin



- Zopár pojmov:
 - Vlastnosti:
 - štruktúrne necitlivé (merná hustota, bod topenia...)
 - štruktúrne citlivé (pevnosť, tvrdosť, el. vodivosť...)
 - Anizotropia: rozličné vlastnosti v rôznych kryštalografických smeroch (pri kryštáloch s inou mriežkou ako je kubická)
 - Izotropia: rovnaké vlastnosti vo všetkých smeroch

4.1 Niektoré fyzikálne a chemické vlastnosti



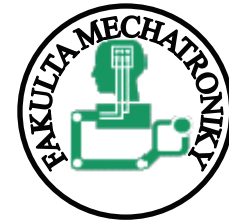
- merná hmotnosť: [kg/m³]
 - ľahké kovy Hranica: 5e3 kg/m³
 - tăžké kovy
- modul pružnosti v tăahu: E [MPa]
- modul pružnosti v strihu: G [MPa]
- pomerné predĺženie:

$$\varepsilon = \frac{\Delta l}{l_0}$$

- pomerné zúženie:

$$\eta = \frac{\Delta b}{b_0}$$

4.1 Niektoré fyzikálne a chemické vlastnosti



- modul pružnosti E, G [MPa]
 - až po určitú hodnotu napäťia (sila na jednotkovú plochu, $R = F/S$) je pomerná deformácia priamo úmerná napätiu(??!!)

$\varepsilon = \alpha \cdot R$ Hookov zákon

- platí aj:

$\eta = v \cdot \varepsilon$ kde v je Poissonovo číslo

4.1 Niektoré fyzikálne a chemické vlastnosti



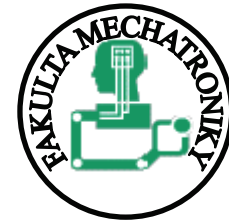
- modul pružnosti E, G [MPa]
 - v rozmedzí Hookovho zákona:

$$E = \frac{1}{\alpha} \Rightarrow E = \frac{R}{\varepsilon}$$

- definícia: MPvT je fiktívne napätie, ktoré by vyvolalo predĺženie $\varepsilon=1$, t. j. tyž by mala dvojnásobok pôvodnej dĺžky.
- Pre polykryštalické látky MPvS:

$$G = \frac{E}{2(v+1)}$$

4.1 Niektoré fyzikálne a chemické vlastnosti



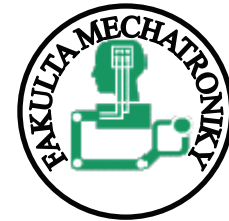
- modul pružnosti E, G [MPa]

pre väčšinu kovov: $G = 0,373 E$, $\nu = 0,33$

horniny a sklo: $\nu = 0,25$

plastické látky: $\nu = 0,5$

4.1 Niektoré fyzikálne a chemické vlastnosti



- modul objemovej pružnosti K [MPa]
 - merná veličina objemovej tuhosti látok pri namáhaní všeestranným tlakom:

$$K = \frac{E}{3(1 - 2\nu)}$$

4.1 Niektoré fyzikálne a chemické vlastnosti



- objemová teplotná rozťažnosť ϑ [K⁻¹]

$$\vartheta = \frac{1}{V_0} \frac{dV}{dT}$$

V_0 pôvodný objem
 dV zmena objemu v závislosti od zmeny teploty dT

4.1 Niektoré fyzikálne a chemické vlastnosti



- dĺžková teplotná rozťažnosť α [K⁻¹]

$$\alpha = \frac{1}{l} \frac{dl}{dT}$$

hodnota α sa mení s teplotou → priemerný súčiniteľ α^+ :

$$l = l_0(1 + \alpha^+(t_1 - t_0))$$

u izotropných materiálov:

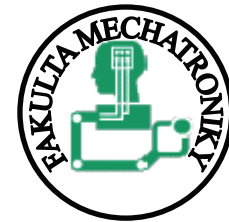
$$\vartheta = 3 \cdot \alpha$$

4.1 Niektoré fyzikálne a chemické vlastnosti



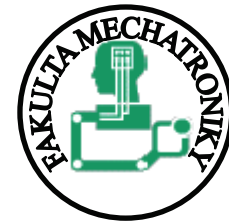
- merné teplo c : [Jkg⁻¹K⁻¹]
 - teplo potrebné dodat 1 kg kovu k jeho ohriatiu o 1 K
- teplota topenia: [°C]
 - kovy s nízkou teplotou topenia
 - strednou teplotou topenia
 - vysokou teplotou topenia
 - závisí od väzieb medzi atómmi

4.1 Niektoré fyzikálne a chemické vlastnosti



- vplyv vonkajšieho elektrického poľa:
 - elektróny sa zoskupujú tak, že môžu nadobúdať spojito vzrástajúce hodnoty energie → **vodivá látka**
 - ak sa to nedá → **nevodivá látka**
 - pri významnom obmedzení možností zvyšovania energie vodivostných elektrónov → **polovodič**

4.1 Niektoré fyzikálne a chemické vlastnosti



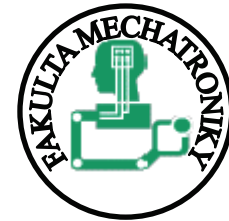
- merná elektrická vodivost' σ : [S/m]
 - charakterizuje materiál z hľadiska vedenia el. prúdu
- merný odpor ρ : [Ω/m]
 - odpor vodiča o dĺžke 1 m s prierezom 1 mm²

$$\rho = \frac{m \cdot v}{n \cdot e^2 \cdot l}$$

n	počet elektrónov v jednotke objemu
m	hmotnosť elektrónu
e	náboj elektrónu
l	stredná voľná dráha elektrónov
v	stredná rýchlosť pohybu elektrónov

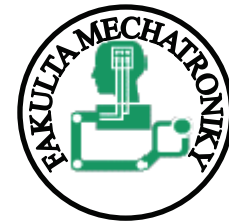
atómy cudzích prvkov zvyšujú elektrický odpor materiálu!!!

4.1 Niektoré fyzikálne a chemické vlastnosti



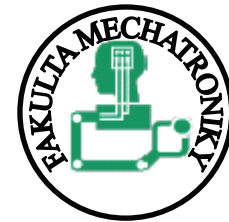
- supravodivosť:
 - skokovitý pokles elektrického odpory o 7 a viac rádov (pri teplotách blízkych absolútnej nule)
- tepelná vodivosť λ :
 - schopnosť látky prenášať kinetickú energiu neusporiadaného pohybu medzi atómmi vedením

4.1 Niektoré fyzikálne a chemické vlastnosti



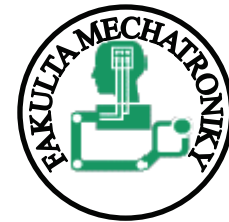
- magnetické vlastnosti:
 - dôsledok elektromagnetického pôsobenia elektrónov, pohybujúcich sa okolo jadier atómov. Elektrický náboj elektrónu obiehajúceho okolo jadra vytvára prúdový slučku a patričný magnetický moment. Podobne, spin elektrónu vytvára svoj spinový magnetický moment.

4.1 Niektoré fyzikálne a chemické vlastnosti



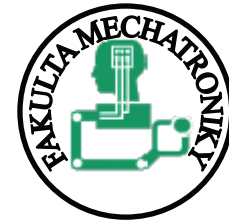
- magnetické vlastnosti:
 - ked' sa kompenzujú spinové momenty → DIAMAGNETICKÁ látka
 - PARAMAGNETIZMUS → nevykompenzované magnetické momenty, navonok však výsledok nulový
 - FEROMAGNETIZMUS → súbežná orientácia spinových momentov
 - ANTIFEROMAGNETIZMUS → antiparalelné vykompenzovanie mg. momentov
 - FERIMAGNETIZMUS → antiparalelné usporiadanie, avšak výsledok nie je nulový → **ferity**

4.1 Niektoré fyzikálne a chemické vlastnosti



- odolnosť voči korózii:
 - KORÓZIA → chemická (elektrochemická) reakcia na povrchu kovu, pri ktorom kov prechádza do okysličeného stavu
 - ERÓZIA → druh mechanického opotrebenia na povrchu materiálu, účinkom dopadajúcich tvrdých častíc
 - CHEMICKÁ KORÓZIA → vzniká v plynnom, kvapalnom prostredí, na mieste kde prebehla vznikajú splodiny
 - ELEKTROCHEMICKÁ KORÓZIA → súvisí s prechodom elektrického prúdu

4.1 Niektoré fyzikálne a chemické vlastnosti

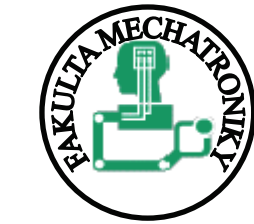


- odolnosť voči korózii:
 - ELEKTROCHEMICKÁ KORÓZIA
 - anódová reakcia → oxidácia kovu → korózia
 - katódová reakcia → redukcia oxidujúcej zložky roztoku (napr. redukcia kyslíka rozpusteného v elektrolyte)
 - môže vzniknúť aj spojením dvoch kovov v koróznom prostredí → **korózny mikročlánok**, pričom anódová reakcia sa sústredí na menej ušľachtilý kov (podobne aj spojenie rôznorodých častí materiálu môže vytvárať podmienky pre vznik korózneho mikročlánku)

4.2 Deformácie



- Elastická
- Anelastická
- Plasticická



4.2 Deformácie

- Elastická deformácia = pružná deformácia

Fyzikálny proces: relatívne malý posuv atómov z rovnovážnej polohy v dôsledku pôsobenia vonkajších síl

Navonok: zmena tvaru
 zmena objemu

Vratný proces → po odstránení síl sa rozmiery telesa vrátia späť

4.2 Deformácie

- Elastická deformácia = pružná deformácia

pri pôsobení síl vznikajú v telesе napäťia:

deformácia → tenzor ε_{ij}

napätie → tenzor σ_{ij}

pre malé deformácie $|\varepsilon_{ij}| \ll 1$ platí lineárny vzťah
medzi deformáciou a napätím (Hookov zákon)



4.2 Deformácie

- Elastická deformácia = pružná deformácia

Izotropné prostredie:

$$\varepsilon_{11} = \frac{1}{E} (\sigma_{11} - \nu(\sigma_{22} + \sigma_{33}))$$

$$\varepsilon_{22} = \frac{1}{E} (\sigma_{22} - \nu(\sigma_{11} + \sigma_{33}))$$

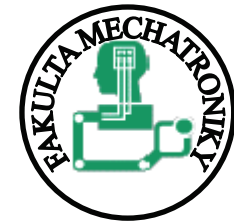
$$\varepsilon_{33} = \frac{1}{E} (\sigma_{33} - \nu(\sigma_{22} + \sigma_{11}))$$

$$\varepsilon_{23} = \frac{1+\nu}{E} \sigma_{23}$$

$$\varepsilon_{13} = \frac{1+\nu}{E} \sigma_{13}$$

$$\varepsilon_{12} = \frac{1+\nu}{E} \sigma_{12}$$

4.2 Deformácie



- Elastická deformácia = pružná deformácia

Napr.: pre jednoduchý tŕah v smere osi „x“:

$$\sigma_{11} \neq 0$$

$$\text{ostatné } \sigma_{ij} = 0$$



$$\varepsilon_{11} = \frac{\sigma_{11}}{E}$$

$$\varepsilon_{22} = \varepsilon_{33} = -\nu \frac{\sigma_{11}}{E} = -\nu \varepsilon_{11}$$

4.2 Deformácie

- Elastická deformácia = pružná deformácia

Napr.: pre jednoduchý ľah v smere osi „x“

E je potom konštanta úmernosti medzi napäťím a deformáciou ($\sigma_{11} = \varepsilon_{11} \cdot E$) a ν je pomer priečneho skrátenia k pozdĺžnemu predĺženiu ($\nu = -\varepsilon_{22}/\varepsilon_{11}$)

Fyzikálne: $\nu > 0$
 $E > 0$

Niekedy sa namiesto E a ν používajú modul pružnosti v šmyku G , resp. modul objemovej pružnosti K



4.2 Deformácie

- Elastická deformácia = pružná deformácia
- V jednotke objemu elasticky deformovaného telesa je vložená vnútorná energia W , vytvorená prácou vonkajších síl → hustota deformačnej energie:

$$W = \frac{1}{2}(\sigma_{11} \varepsilon_{11} + \sigma_{22} \varepsilon_{22} + \sigma_{33} \varepsilon_{33} + 2\sigma_{23} \varepsilon_{23} + 2\sigma_{13} \varepsilon_{13} + 2\sigma_{12} \varepsilon_{12})$$

(platí aj pre anizotropné prostredie)



4.2 Deformácie

- Elastická deformácia = pružná deformácia

Anizotropné prostredie:

$$\varepsilon_{ij} = \sum_{k=1}^3 \sum_{l=1}^3 S_{ijkl} \sigma_{kl} \quad \text{alebo} \quad \varepsilon_{ij} = \sum_{k=1}^3 \sum_{l=1}^3 C_{ijkl} \epsilon_{kl}$$

kde elastické konštanty sú:

S_{ijkl} = tenzor elastickej poddajnosti

C_{ijkl} = tenzor elastickej tuhosti

4.2 Deformácie



- Elastická deformácia = pružná deformácia

Anizotropné prostredie:

platí zákon symetrie:

$$\varepsilon_{ij} = \varepsilon_{ji}$$

$$\sigma_{ij} = \sigma_{ji}$$

potom:

$$\sigma_{11} = \sigma_1$$

$$\sigma_{22} = \sigma_2$$

$$\sigma_{33} = \sigma_3$$

$$\sigma_{23} = \sigma_{32} = \sigma_4$$

$$\sigma_{13} = \sigma_{31} = \sigma_5$$

$$\sigma_{12} = \sigma_{21} = \sigma_6$$

podobne aj pre ε

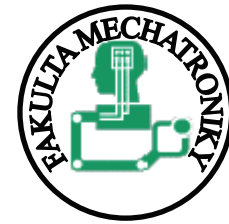


4.2 Deformácie

- Elastická deformácia = pružná deformácia

Anizotropné prostredie:

$$\varepsilon_i = \sum_{j=1}^6 S_{ij} \sigma_j \quad \text{alebo} \quad \sigma_i = \sum_{j=1}^6 C_{ij} \varepsilon_j$$



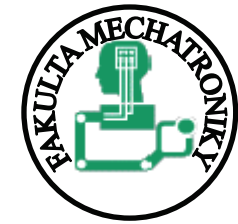
4.2 Deformácie

- Elastická deformácia = pružná deformácia

Tepelné pnutie:

Napäťia vznikajú aj vnútorným pnutím (teplota, okolie mriežkových porúch ...) → stredná hodnota je nulová (podm. rovnováhy telesa)

Voľné homogénne teleso → homogénne rozloženie teploty (lineárne rozloženie teploty) → nevzniká pnutie (teleso sa môže voľne roztiahat)



4.2 Deformácie

- Elastická deformácia = pružná deformácia

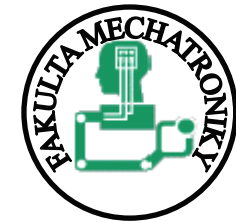
Tepelné pnutie:

a, upnuté teleso

napätie v tyči $\sigma = -\alpha \cdot \Delta T \cdot E$

b, povrchové ochladenie

$$\sigma = \frac{-\Psi \cdot \alpha \cdot \Delta T \cdot E}{1 - \nu}$$



4.2 Deformácie

- Plastická deformácia

Ak napätie prekročí hodnotu medze sklzu (medze pružnosti) dôjde k plastickej deformácii → po odľahčení zostáva trvalá deformácia tvaru telesa.

Najčastejšie: dislokačný sklz, pre kovy:

$$\tau_{PN} = 10 \text{ MPa}$$

toto sú malé napäťia → pri nenulovej teplote budú ešte menšie → dislokácie sa chovajú ako voľne pohyblivé → kovy sú tvárne

4.2 Deformácie

- Plastická deformácia

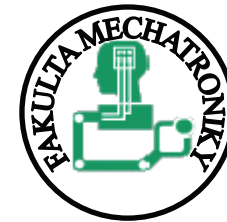
O medzi sklzu rozhoduje:

vzájomná interakcia dislokácií

interakcia dislokácií s ostatnými poruchami

hranice zrn

atd'.

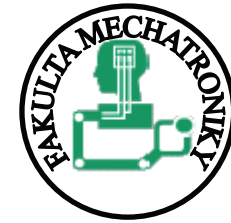


4.2 Deformácie

- Plastická deformácia

Pri plastickej deformácii nedochádza k zmene objemu!

$$\nu = 0,5 (\pm 2\%)$$





4.2 Deformácie

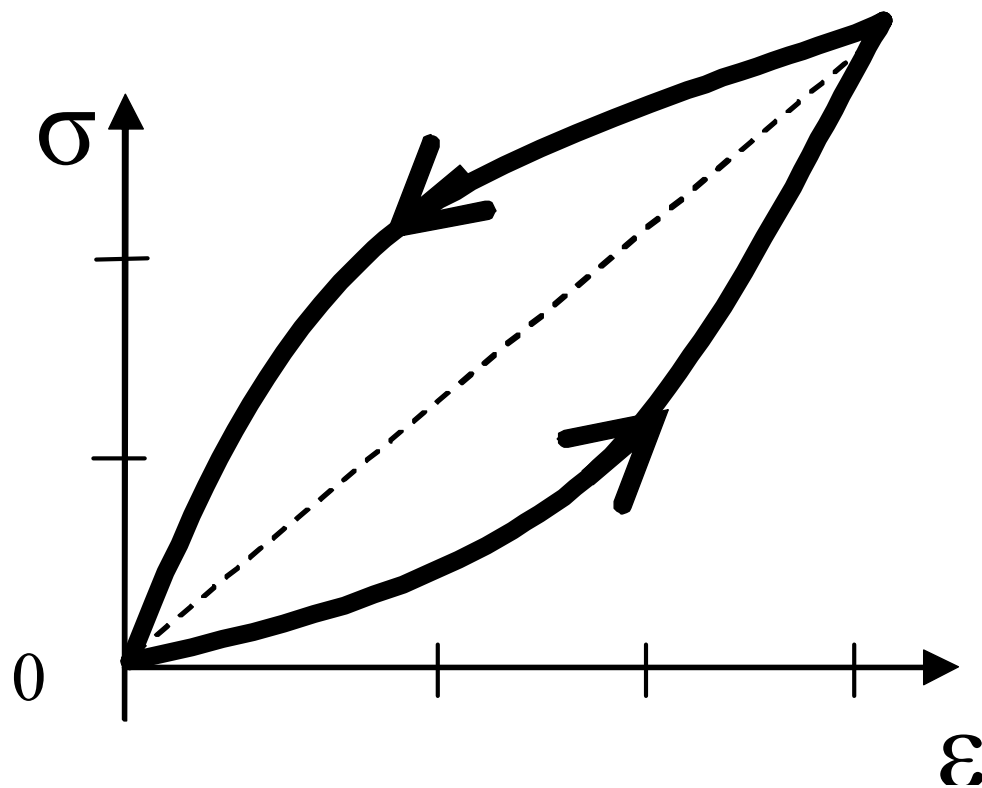
- Anelastická deformácia

Priama úmera medzi napäťím a deformáciou?

Presné meranie → odklon od Hookovho zákona

4.2 Deformácie

- Anelastická deformácia



opakované zaťaženie
→ existencia
deformačnej
hysteréznej slučky →
jej plocha je úmerná
energií absorbovanej
materiálom →
ANELASTICITA
(dopružovanie)

4.2 Deformácie



- Anelastická deformácia

Príčiny:

Vychyľovanie vonkajších dislokačných segmentov
→ vrátia sa po odťahčení do pôvodnej polohy,
avšak tento proces prebieha **po inej krivke** ako
zaťaženie

Intersticiály náhodne rozložené po zaťažení prijmú
energeticky výhodnejšiu polohu a spôsobia
nesymetrické zdeformovanie mriežky. Po
odťahčení je **návrat späť oneskorený**.



4.2 Deformácie

- Anelastická deformácia

Príčiny:

Vyššie rýchlosťi deformácie → adiabatický proces → objem sa zväčšuje → zníženie teploty → tendencia ku zmršťovaniu → ohriatie ... → ...roztiahnutie ... → ... atď..., tieto zmeny tiež majú **časové oneskorenie** → hysterézia

4.2 Deformácie

- Anelasticke deformácie – experimentálne:

$$\varepsilon = \varepsilon_0 + \varepsilon_\tau \left[1 - e^{-\frac{t}{\tau}} \right] \quad \text{pre } 0 < t \leq t_1$$

$$\varepsilon = \varepsilon_\tau e^{-\frac{t-t_1}{\tau}} \quad \text{pre } t > t_1$$

ε_0 – okamžitá pružná deformácia

t – čas po zaťažení

ε_τ – časovo závislá zložka deformácie

τ – doba dopruženia

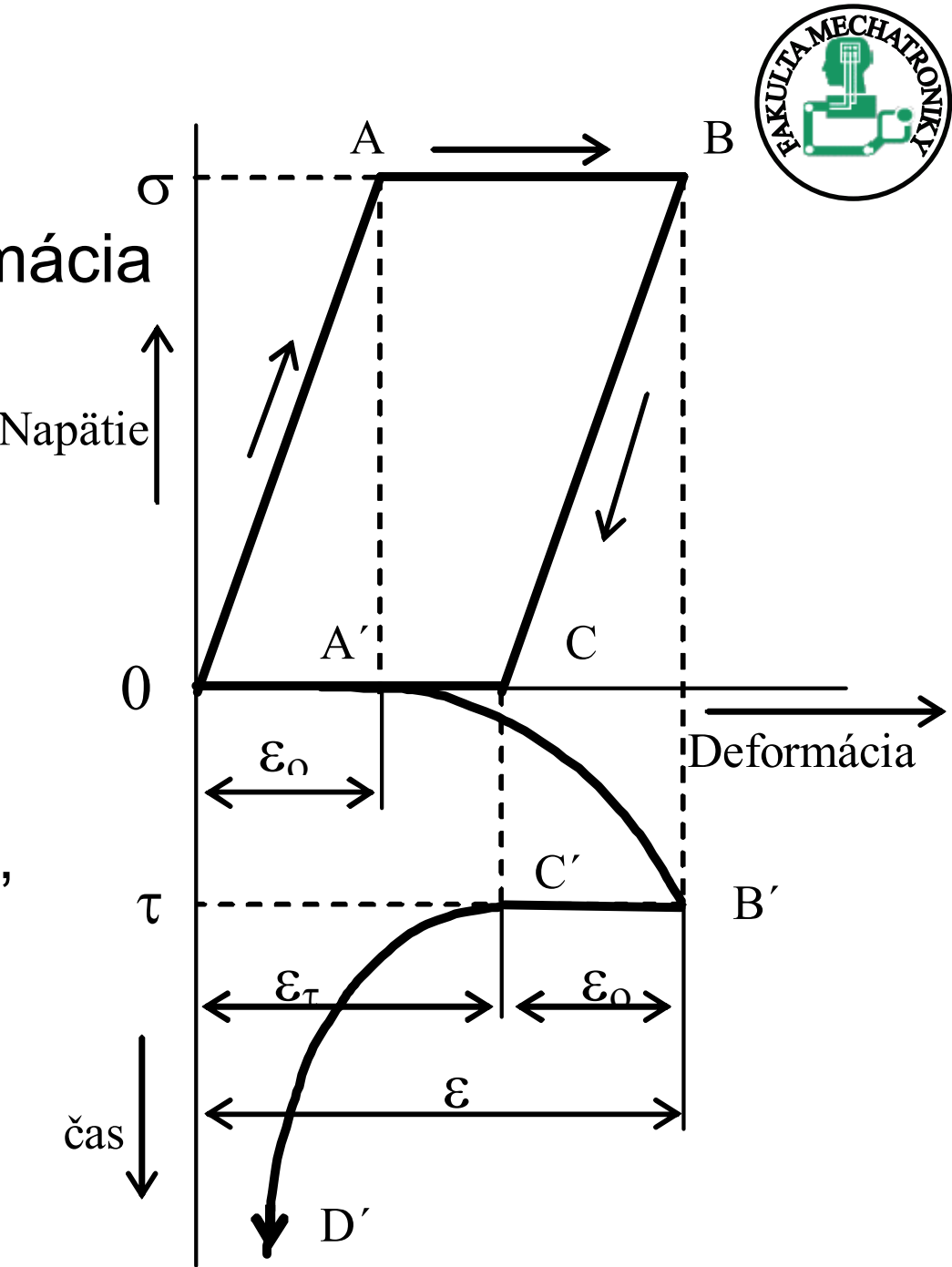
4.2 Deformácie

- Anelastická deformácia

$0A \rightarrow$ zaťaženie
(okamžitá pružná
deformácia)

$AB \rightarrow$ časovo závislá
deformácia za čas t_1

$B \rightarrow$ odľahčenie ($R=0$),
deformácia okamžite
klesne o ε_0 , zvyšok
mizne postupne



4.2 Deformácie

- Anelastická deformácia

τ závisí najmä od:

typu anelastických procesov,
veľkosti pôsobiaceho napätia,
teploty.

4.2 Deformácie

- Anelastická deformácia

Niektoré praktické dôsledky:

sadanie pružín,

relaxácia napäťí skrutiek

predpínacie výstuže

poškodzovacie procesy pri opakovanom
zaťažení (pomer jednotlivých zložiek deformácie)

4.2 Deformácie

- Mechanizmy plastickej deformácie

Sklz dislokácií (najviac)

Difúzne tečenie (vysoké teploty)

Dislokačné tečenie

Sklz po hraniciach zrn (veľmi vysoké teploty)



4.2 Deformácie

- Mechanizmy plastickej deformácie – Sklz dislokácií

Makroskopicky: tvarová deformácia → zmena tvaru
nezvratnosť ← vzájomná interakcia dislokácií, resp.
ich interakcia s inými poruchami, ich výstup na
povrch



4.2 Deformácie

- Mechanizmy plastickej deformácie – Sklz dislokácií

bežná hustota dislokácií v kryštáloch (po tepelnom spracovaní) 10^{12} m^{-2} ,

pri plastickej deformácii ich hustota narastie na $10^{14} - 10^{15} \text{ m}^{-2}$,

4.2 Deformácie

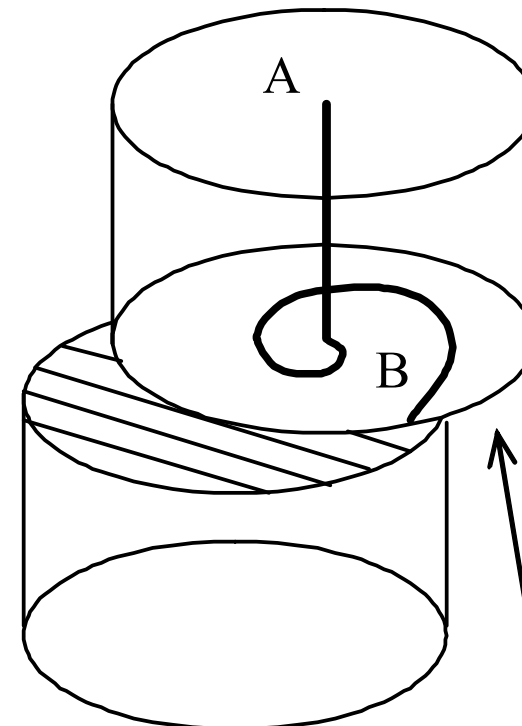
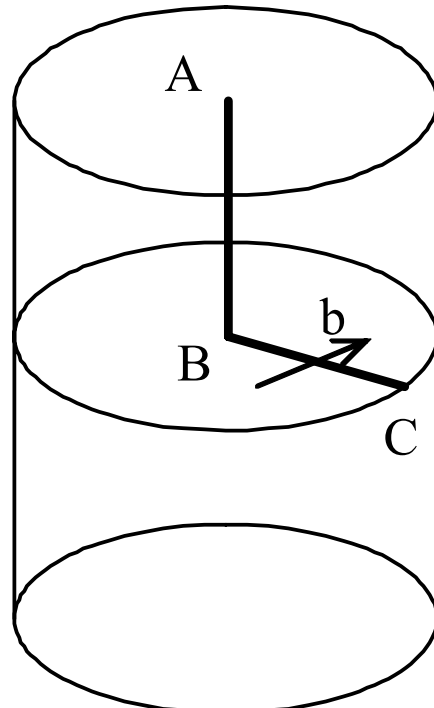
- Mechanizmy plastickej deformácie – Sklz dislokácií

Existencia multiplikačných mechanizmov, ktoré sú schopné generovať 10^2 – 10^3 dislokácií za sebou

- Existujú 2 mechanizmy navrhnuté (popísané) Frankom a Readom:
 - povrchový zdroj
 - Frankov – Readov zdroj
- Zoskupenie dislokácií
- Pretínanie dislokácií
- Tepelne aktivovaný pohyb dislokácií

4.2 Deformácie

- Mechanizmy plastickej deformácie – Sklz dislokácií – Povrchový zdroj



Sklzový
stupeň



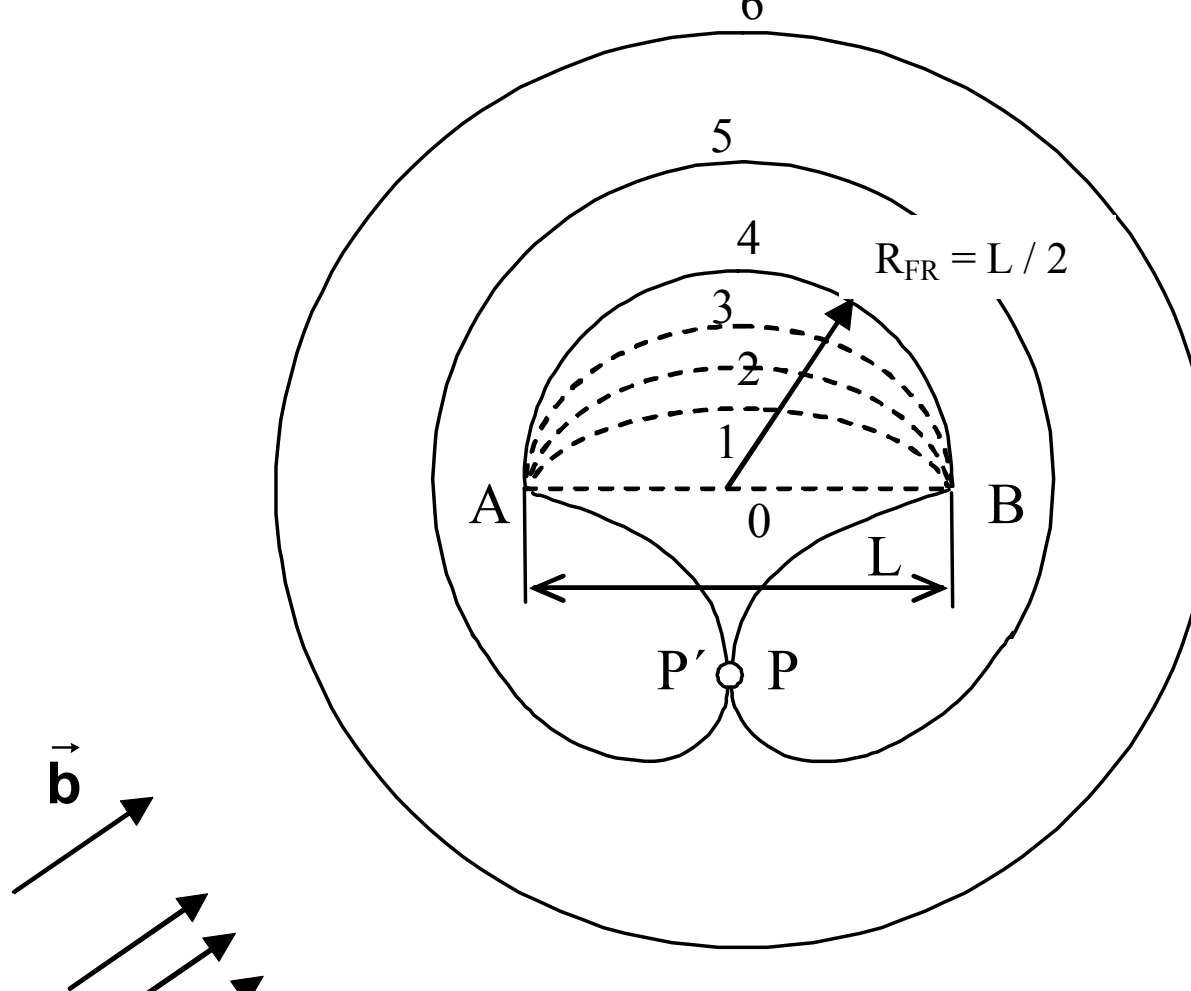
4.2 Deformácie

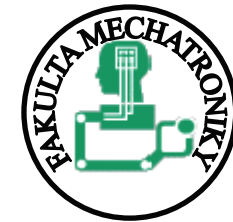
- Mechanizmy plastickej deformácie – Sklz dislokácií – Frankov - Readov zdroj

Dislokácia ukotvená na oboch koncoch,
Vplyvom napäťia τ sa dislokačná čiara môže
prehýbať, napätie, keď má tvar polkružnice o
polomere $L/2$ $\tau_{FR} = Gb/L$ → toto napätie je nutné
pre činnosť FR zdroja dĺžky L

4.2 Deformácie

- Mechanizmy plastickej deformácie – Sklz dislokácií – Frankov - Readov zdroj





4.2 Deformácie

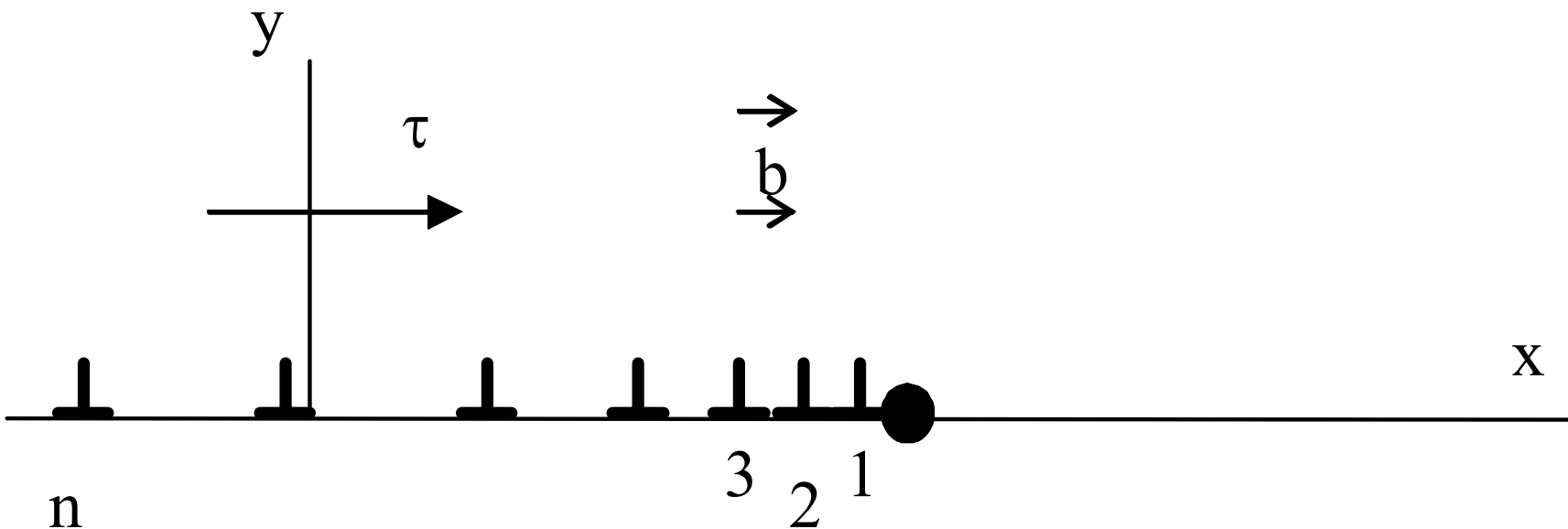
- Mechanizmy plastickej deformácie – Sklz dislokácií – Zoskupenie dislokácií

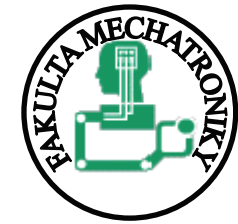
Pri FR zdroji, ak sa vedúca dislokácia zastaví pred prekážkou (hranica zrn) → vzniká zoskupenie dislokácií

4.2 Deformácie



- Mechanizmy plastickej deformácie – Sklz dislokácií – Zoskupenie dislokácií





4.2 Deformácie

- Mechanizmy plastickej deformácie – Sklz dislokácií – Zoskupenie dislokácií

Sila F_1 , ktorou pôsobí τ a ostatné dislokácie na vedúcu dislokáciu → pri fiktívnom posunutí dislokácie o Δx sa na posunutie prekážky musí vykonat' práca: $\Delta L = F_1 \Delta x$

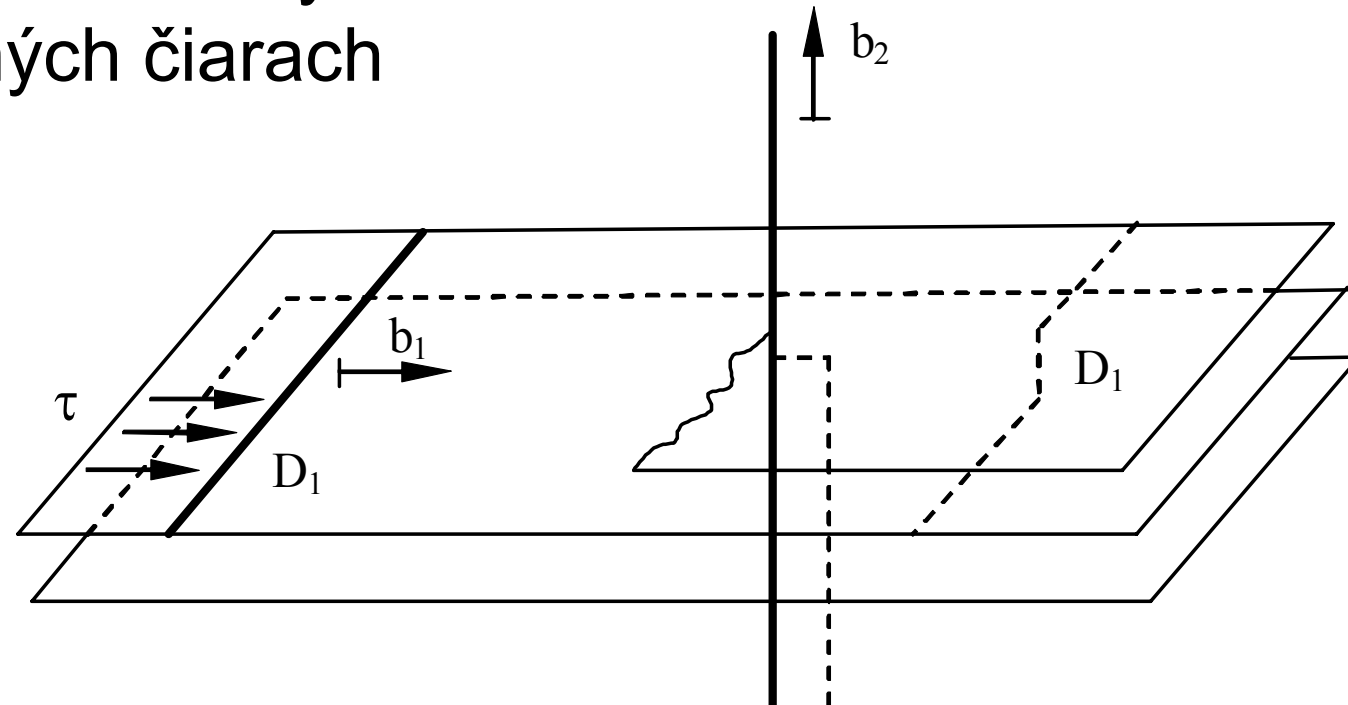
Celé zoskupenie dislokácií sa pritom tiež pohne o Δx → vnútorné sily teda konajú prácu $\Delta L = n F_0 \Delta x$, kde $F_0 = b \cdot \tau$ je sila pôsobiaca na každú dislokáciu.

Táto práca sa spotrebuje na posunutie prvej dislokácie spojenej s prekážkou: $F_1 = n F_0 = n \cdot b \cdot \tau$

4.2 Deformácie

- Mechanizmy plastickej deformácie – Sklz dislokácií – Pretínanie dislokácií

Dislokácie pri svojom pohybe v rovine sklzu pretnú inú dislokáciu → vytvorenie „schodov“ na dislokačných čiarach





4.2 Deformácie

- Mechanizmy plastickej deformácie – Sklz dislokácií – Tepelne aktivovaný pohyb dislokácií

Difúzne tečenie → difúzia = proces, ked' dochádza k časovej zmene stredných polôh častíc kryštalickej mriežky pri zachovaní štruktúry, teda k pohybu častíc mriežky

(Dislokačné tečenie – pri relatívne vysokých hodnotách zaťažovacieho napätia, v hrubozrnných materiáloch)

Sklzy po hraniciach zŕn → vzájomný pohyb susedných zŕn



4.2 Deformácie

- Deformačné spevnenie

V priebehu plastickej deformácie kovov dochádza k rastu aplikovaného napäťia s narastajúcou deformáciou → deformačné spevnenie.

Príčiny:

vzájomná interakcia dislokácií
interakcia dislokácií s inými poruchami

4.2 Deformácie

- Deformačné spevnenie

Rozdielne vlastnosti a mechanizmy:

monokryštály čistých kovov

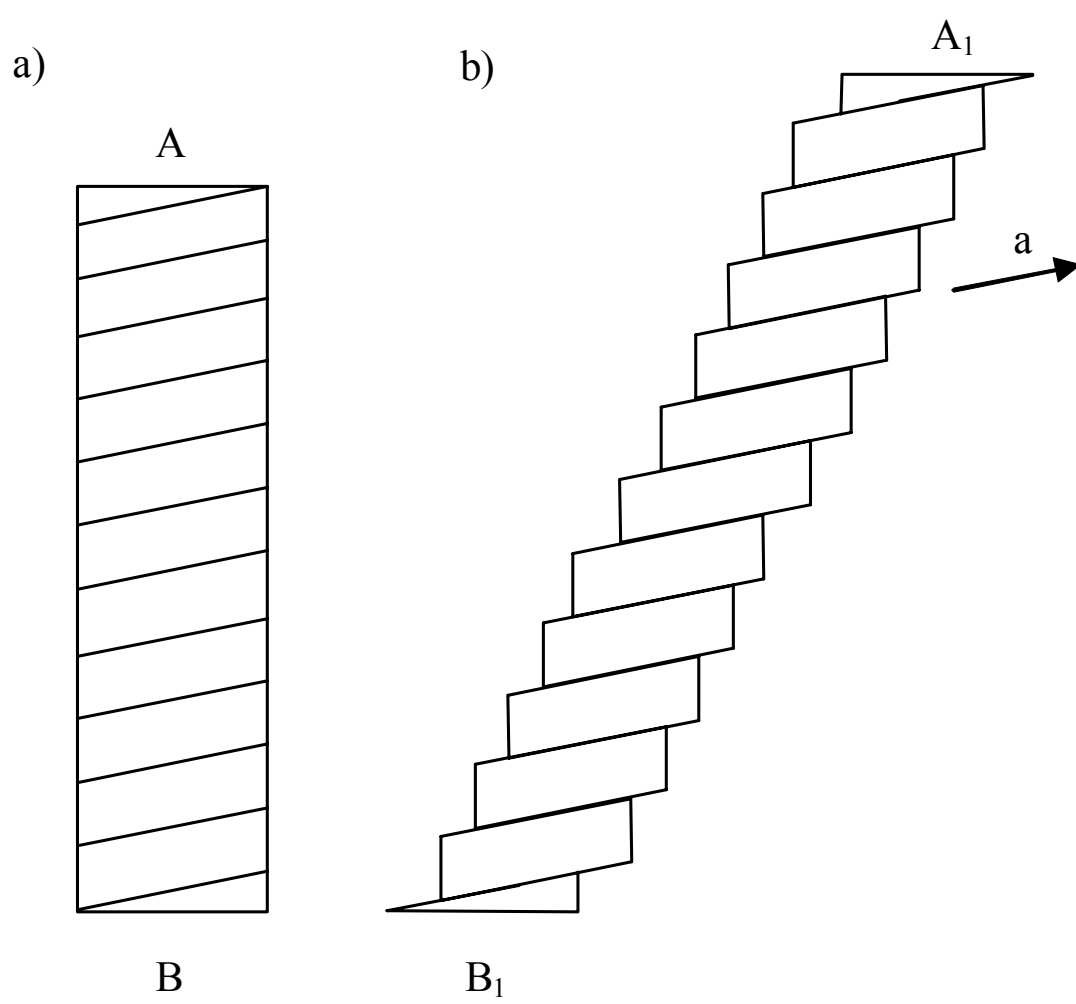
monokryštály zliatin

polykryštály

4.2 Deformácie

- Deformačné spevnenie – monokryštály čistých kovov

Kryštalická štruktúra sa pri plastickej deformácii nemení!





4.2 Deformácie

- Deformačné spevnenie – monokryštály čistých kovov

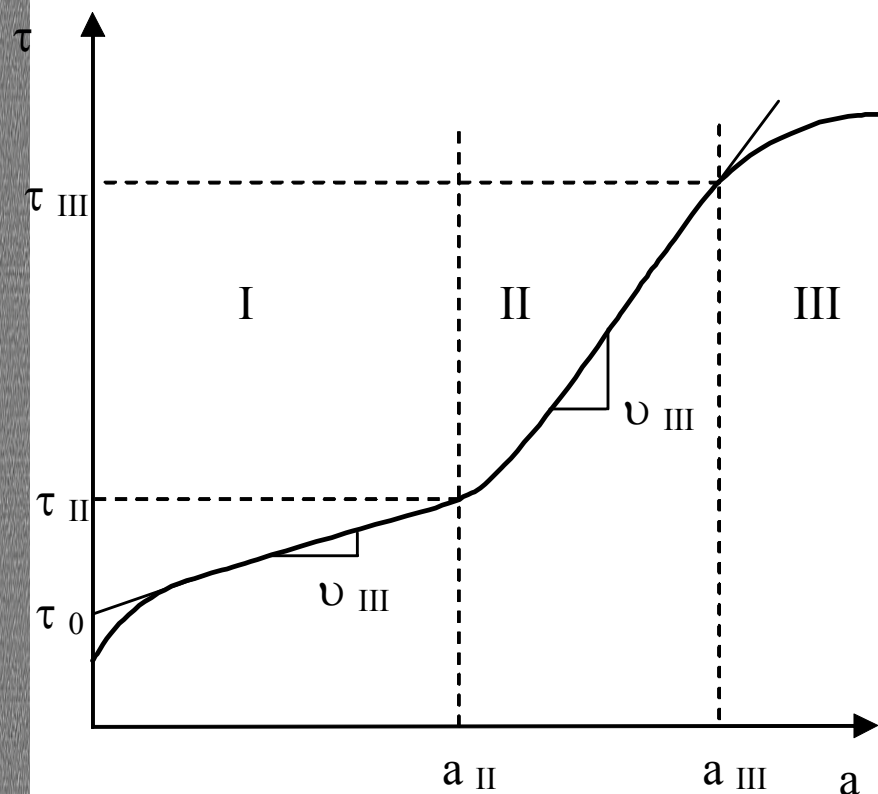
Šmykové napätie, pri ktorom sa posunú sklzové roviny → sklzové napätie → krivky spevnenia pre sklz „a“:

$$a = s/h$$

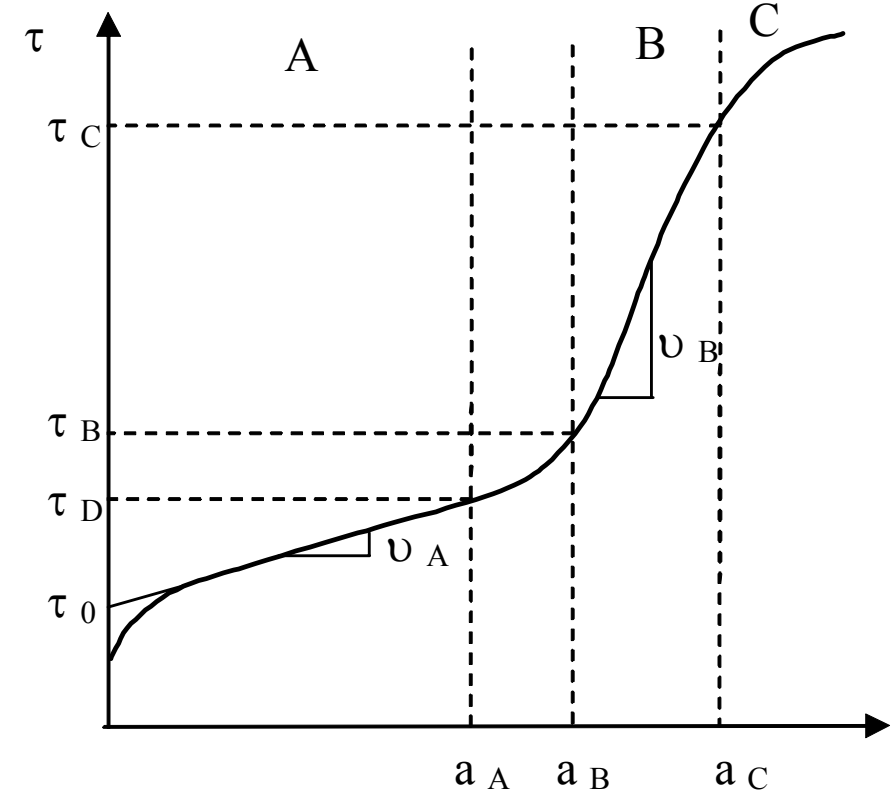
kde s = vzájomné posunutie 2 sklzových rovín s kolmou vzdialenosťou h

4.2 Deformácie

- Deformačné spevnenie – monokryštály čistých kovov
koeficient spevnenia: $\vartheta = d\tau/da$



a)



b)

4.2 Deformácie



- Deformačné spevnenie – monokryštály čistých kovov

Oblast' I

- základná dislokačná štruktúra vytvorí napäťové pole d'alekého dosahu,
- dislokácie sa pohybujú (v hlavnom sklzovom systéme) len zriedka,
- ich stredná voľná dráha je veľmi dlhá,
- vznikajú prekážky pre pohyb dislokácií

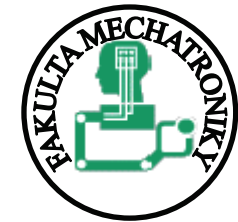


4.2 Deformácie

- Deformačné spevnenie – monokryštály čistých kovov

Oblast' II

- stredná voľná dráha dislokácií sa začína skracovať,
- skracovanie dĺžky sklzových čiar



4.2 Deformácie

- Deformačné spevnenie – monokryštály čistých kovov

Oblast' III

- τ_{III} silne závisí na teplote a sklzovej rýchlosti,
- dochádza k priečnemu pohybu dislokácií (predĺženie strednej voľnej dráhy) → koeficient spevnenia ↓ klesá



4.2 Deformácie

- Deformačné spevnenie – monokryštály zliatin

Zliatina = cudzí atóm v mriežke základného motívu

Ovplyvnenie vlastností:

- interakcia dislokácie s cudzím atómom
- pohyb cudzích atómov v oblasti vysokých teplôt:

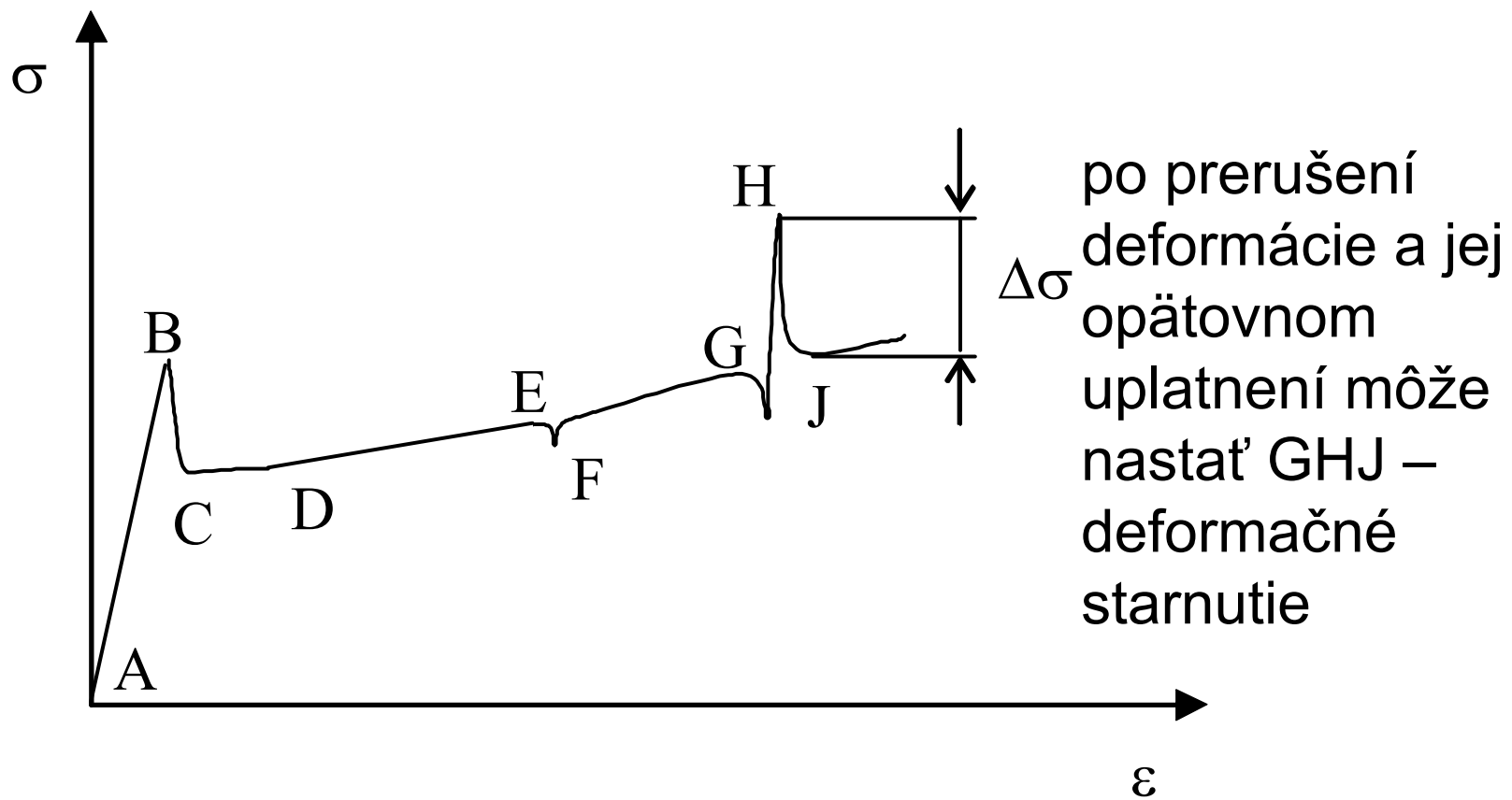
Ostrá medza sklzu

Portevin-LeChatelierov jav

4.2 Deformácie

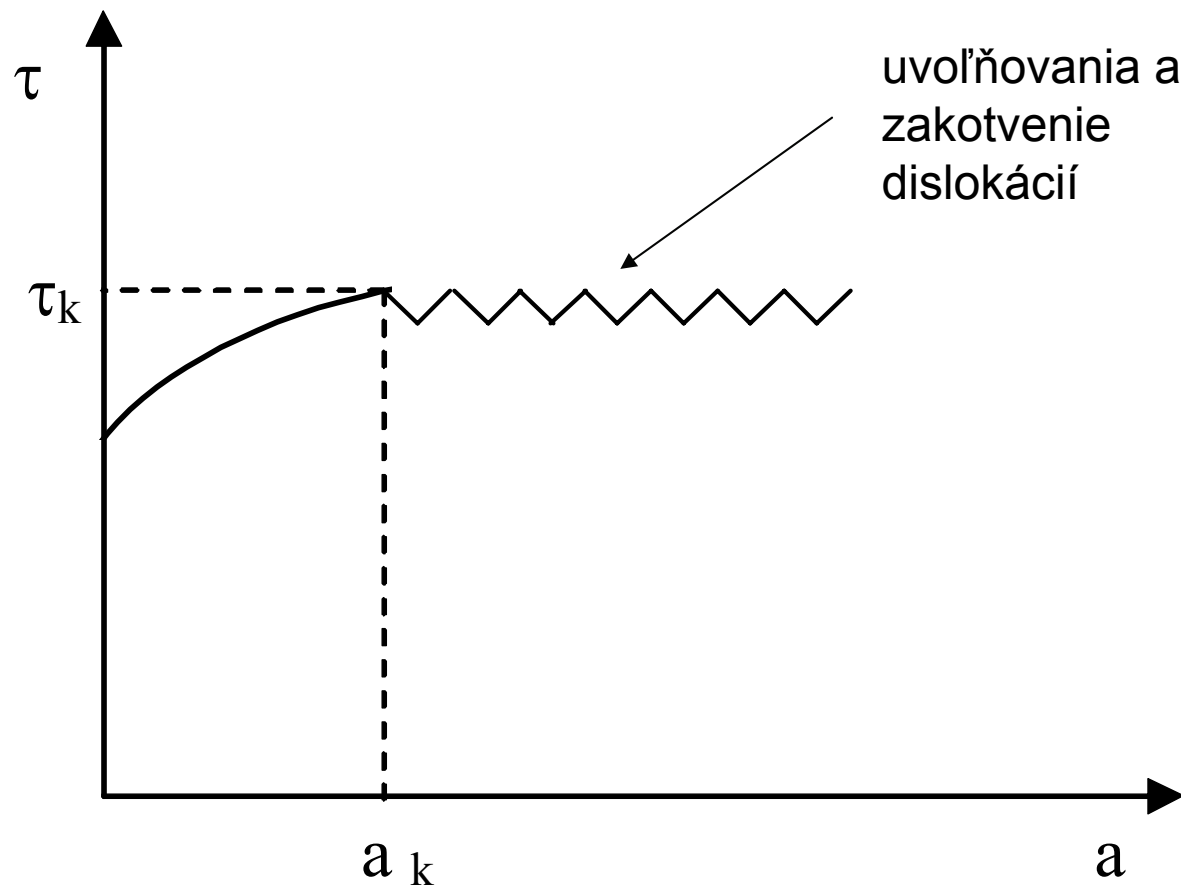
- Deformačné spevnenie – monokryštály z liatin

Ostrá medza skazu ABC, GHJ



4.2 Deformácie

- Deformačné spevnenie – monokryštály z liatin
Portevin-LeChatelierov jav





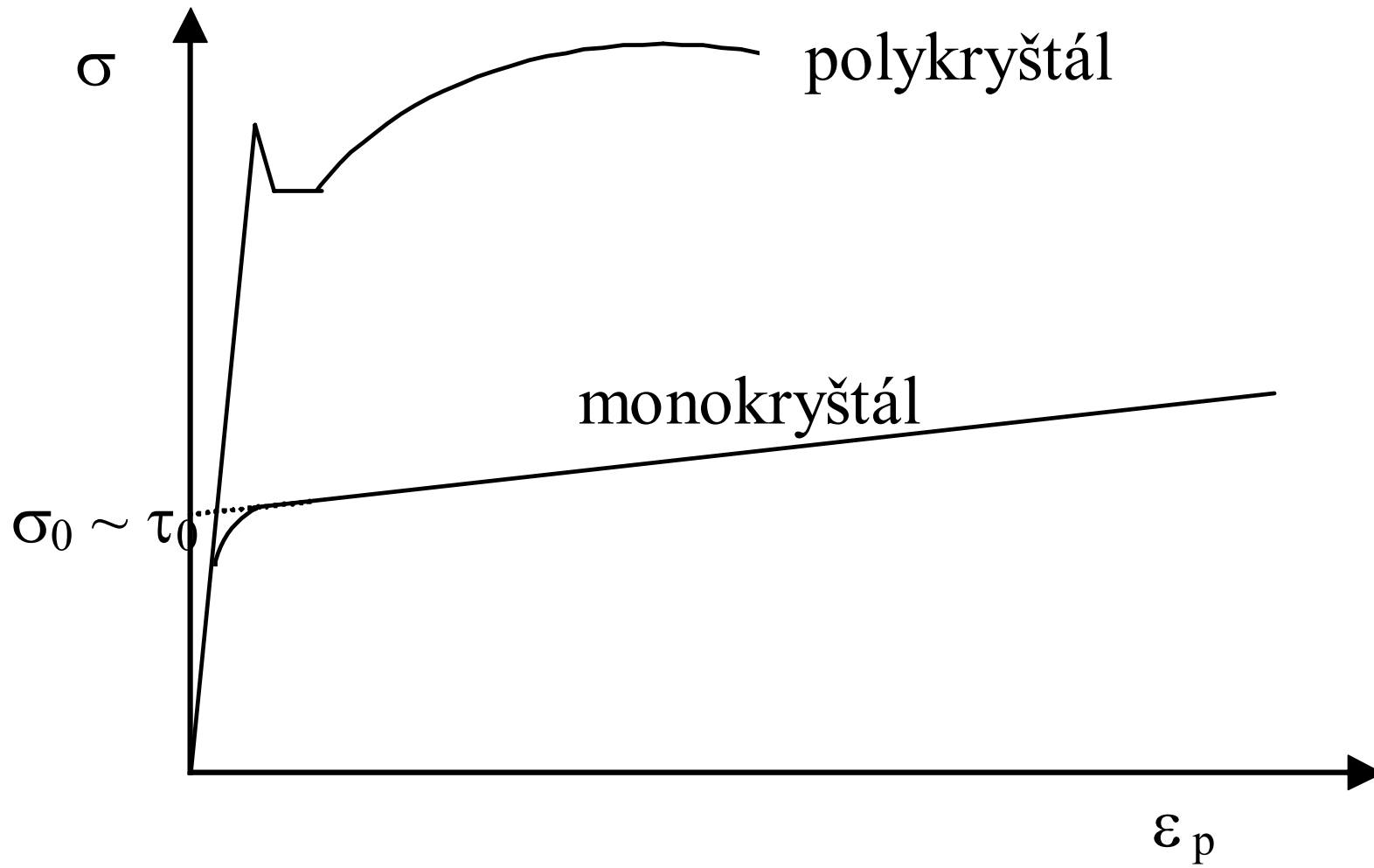
4.2 Deformácie

- Deformačné spevnenie – polykryštály

Technická prax – takmer výlučne polykryštalické materiály, deformácia, na rozdiel od monokryštálov, nie je homogénna a začína spravidla pri vyššom napäti

4.2 Deformácie

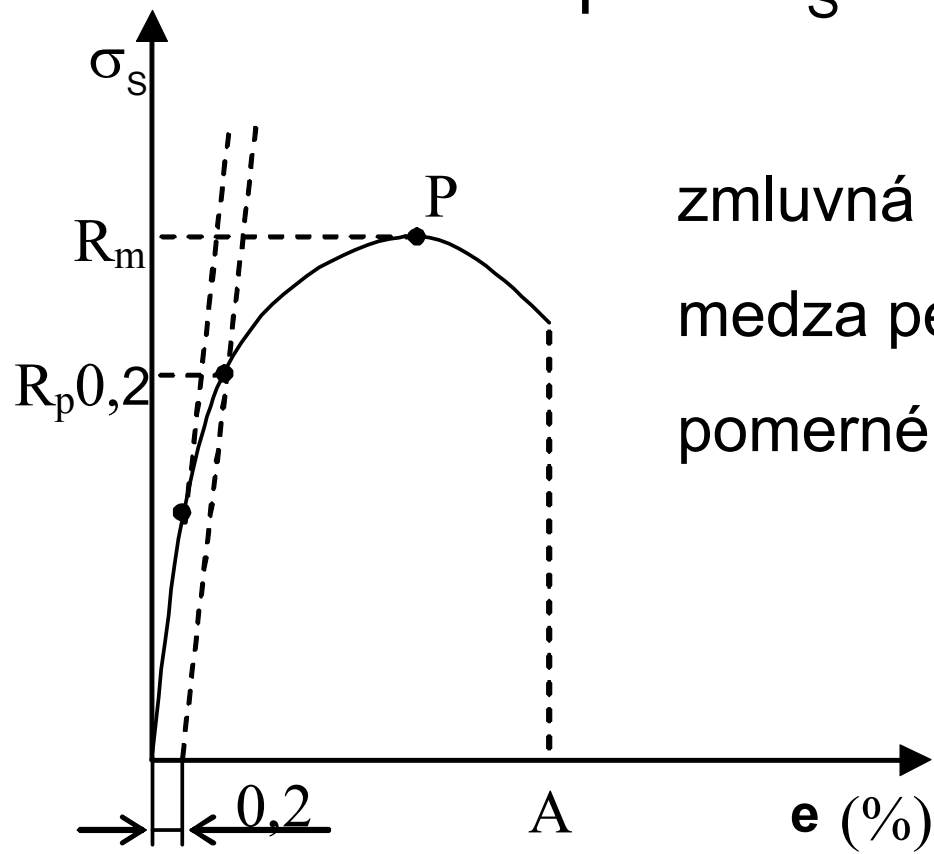
- Deformačné spevnenie – polykryštály



4.2 Deformácie

- Deformačné spevnenie – polykryštály

Skúška tāhom o konštantnej deformačnej rýchlosťi
 → závislosť napäťia σ_s na pomernom predĺžení e :



zmluvná medza sklzu v ťahu $R_{p0,2}$

medza pevnosti v ťahu $R_m = F_m/S_0$

pomerné trvalé predĺženie

$$A = (l_f - l_0)/l_0$$

$$\sigma_s \text{ (zmluvné napätie)} = F/S_0$$

4.2 Deformácie

- Deformačné spevnenie – polykryštály

Počas deformácie sa prierez mení:

$$\sigma = \frac{F}{S} = \frac{F}{S_0} \left(1 + \frac{l - l_0}{l_0} \right) = \frac{F}{S_0} (1 + e)$$

$$\varepsilon = \int_{l_0}^l \frac{dl}{l} = \ln \frac{l}{l_0} = \ln \left(1 + \frac{l - l_0}{l_0} \right) = \ln(1 + e)$$

4.3 Lomy



Zmena vonkajších zaťažení:

- Stabilný lom
- Nestabilný lom

4.3 Lomy



Základné typy lomových procesov:

- Tvárný lom
- Krehký lom
- Lom koróziou pod napäťím
- Únavový lom
- Creepový lom (Lom tečením)

4.3 Lomy

- Lomová mechanika – Griffithovo kritérium

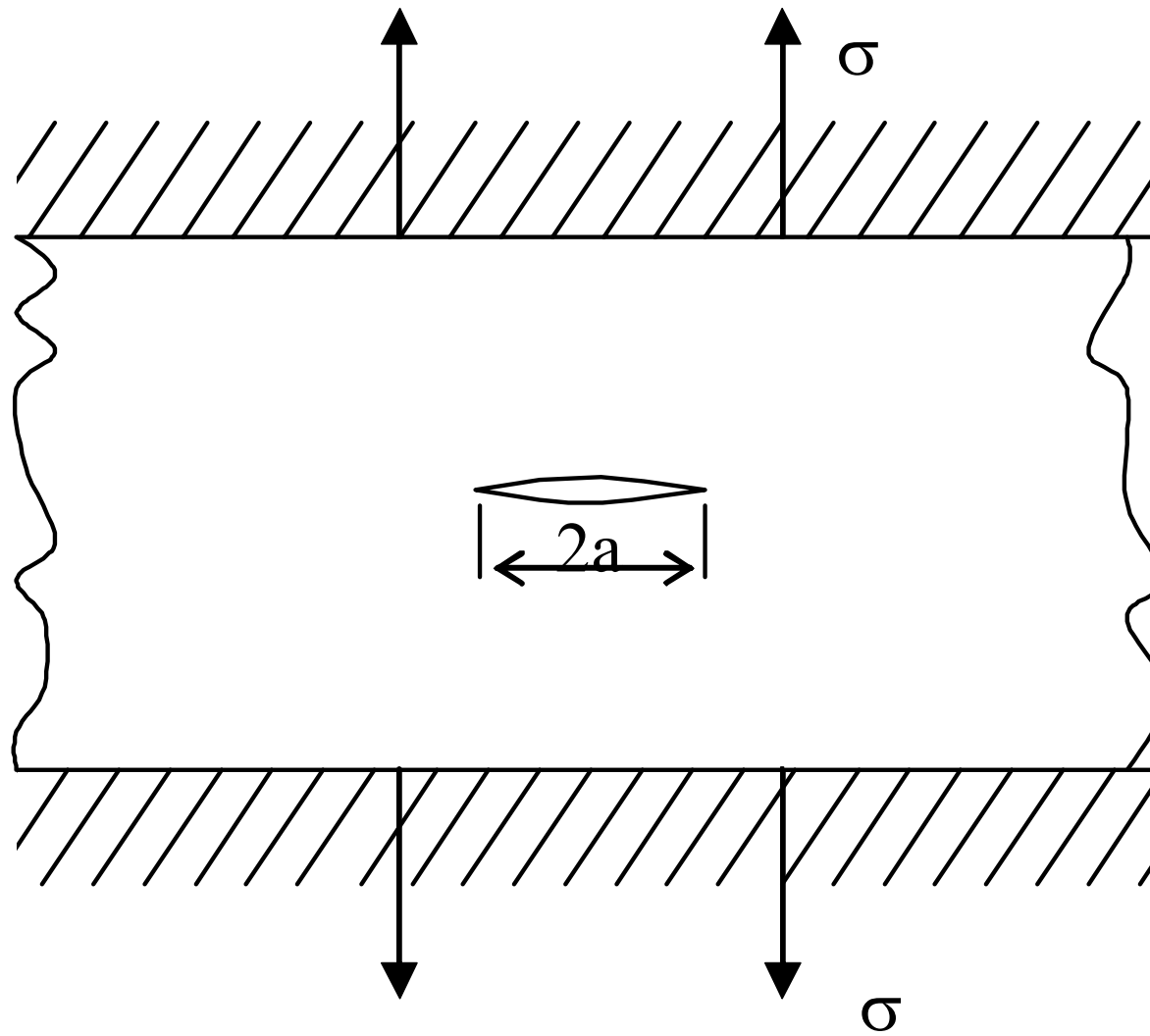
Podmienka stability, založená na energetickej bilancii telesa

Príklad: nekonečne široká doska o jednotkovej hrúbke s centrálnou trhlinou, zaťažená homogénym ťahovým napäťím → ak proces šírenia je spojený s poklesom celkovej energie → trhlina sa bude nestabilne šíriť

4.3 Lomy



- Lomová mechanika – Griffithovo kritérium



4.3 Lomy



- Lomová mechanika – Griffithovo kritérium

Trhlina o délce $2a$ uvoľní elastickú energiu:

$$W_e = \frac{\pi \sigma^2 a^2}{E}$$

Práca potrebná na vznik nových povrchov trhliny:

$$W_s = 4a\gamma_s$$

kde γ_s je merná povrchová energia materiálu

4.3 Lomy



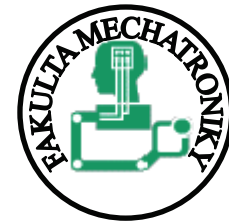
- Lomová mechanika – Griffithovo kritérium

$$W = W_s - W_e$$

podmienka nestability: $\frac{dW}{da} \leq 0$

$$\frac{d\left(4a\gamma_s - \frac{\pi\sigma^2 a^2}{E}\right)}{da} \leq 0 \rightarrow 2\gamma_s - \frac{\pi\sigma^2 a}{E} \leq 0$$

4.3 Lomy



- Lomová mechanika – Griffithovo kritérium

$$\sigma_c = 2\gamma_s \quad \text{odpor materiálu proti šíreniu trhliny}$$

$$a_c = \frac{\pi \sigma^2 a}{E} \quad \text{hnacia sila trhliny}$$

4.3 Lomy



- Lomová mechanika – Griffithovo kritérium

$$\sigma_c = \sqrt{\frac{2E\gamma_s}{\pi a}}$$

$$a_c = \frac{2E\gamma_s}{\pi\sigma^2}$$

Treba ešte vziať do úvahy:

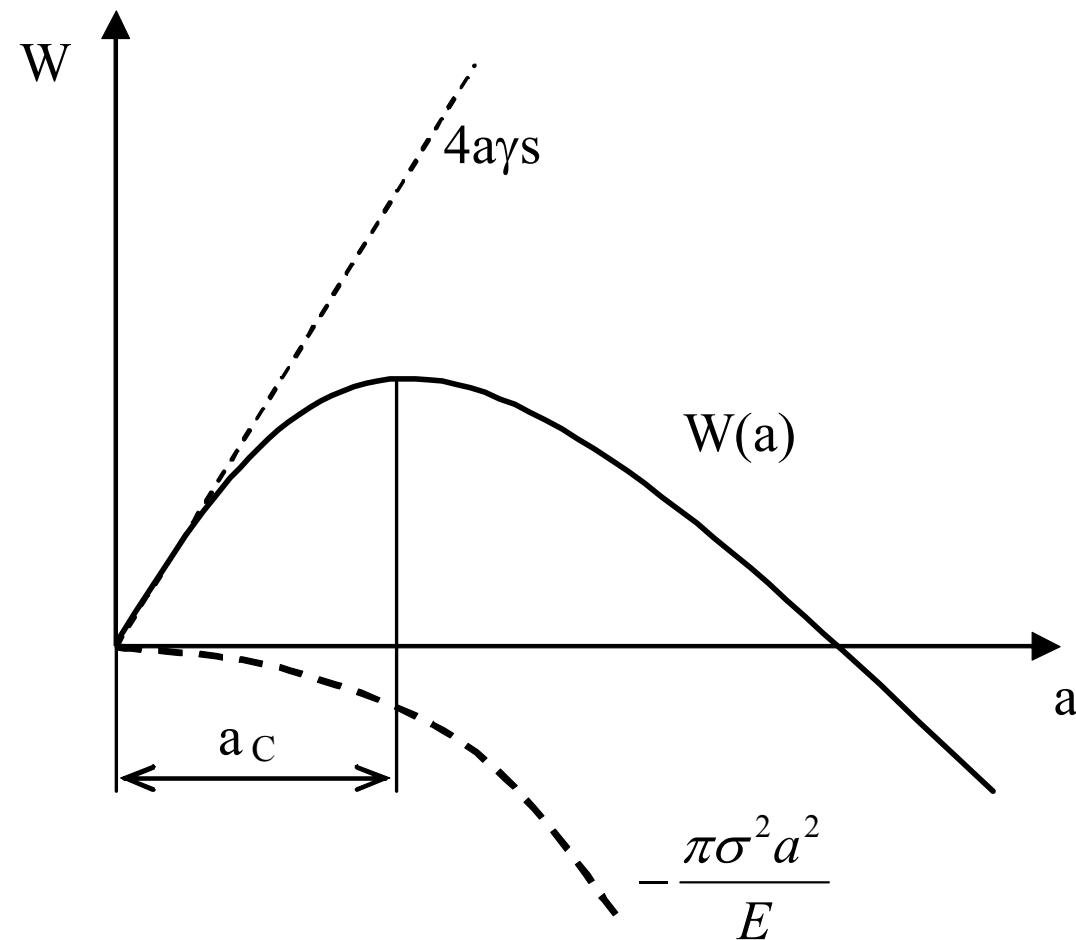
teleso má konečné rozmery

vzniká lokálna plastická deformácia (výmena en. medzi plast. a elast. deformáciou)

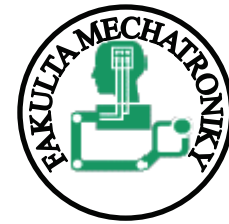
4.3 Lomy



- Lomová mechanika – Griffithovo kritérium



4.3 Lomy



- Lomová mechanika
- Griffithovo kritérium - nedostatky:
 - Neuvažuje sa s prácou vonkajších síl
 - Neuvažuje sa s tvarom telesa ani s tvarom trhliny
 - Neuvažuje sa s rozmiestnením vonkajších síl
- Iné konceptie lomovej mechaniky:
 - Lineárna (Hookov zákon)
 - Elasticko-plastická

4.3 Lomy



- Štádiá lomových procesov
 - Plastická deformácia
 - Vznik mikroskopických porúch
 - Stabilný rast porúch
 - Náhly dolom (nestabilný rast trhliny)

Jednotlivé štádiá sa môžu prelínat, objavovať súčasne a pod.!

4.3 Lomy



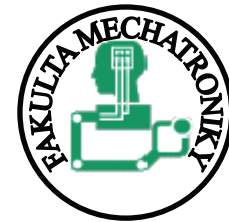
- Štádiá lomových procesov - plastická deformácia
 - pohyb dislokácií
 - plastická deformácia v celom objeme alebo len lokálne
 - spevňovanie materiálu
 - vznik miestnych napäťových koncentrácií

4.3 Lomy



- Štádiá lomových procesov - vznik mikroskopických porúch
 - interakcie dislokácií
 - vznik nových mikropovrchov → uvoľňovanie lokálnych napäťí

4.3 Lomy



- Štádiá lomových procesov - stabilný rast porúch
 - práca vonkajších sín
 - lokálne uvoľnovanie elastickej energie
 - účinky tepla
 - spájanie mikroporúch → vznik trhliny, ktorá ďalej rastie
 - ak práca vonkajších sín (+ nahromadená elastická energia) je dostatočne veľká na vytvorenie nových povrchov → je splnená jedna z podmienok pre nestabilné rozšírenie trhliny na celý prierez

4.3 Lomy



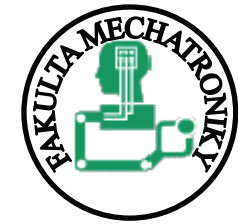
- Štádiá lomových procesov - náhly dolom
 - dôsledok splnenia podmienok nestability trhliny
 - teleso sa rozpadá na dve časti

4.3 Lomy

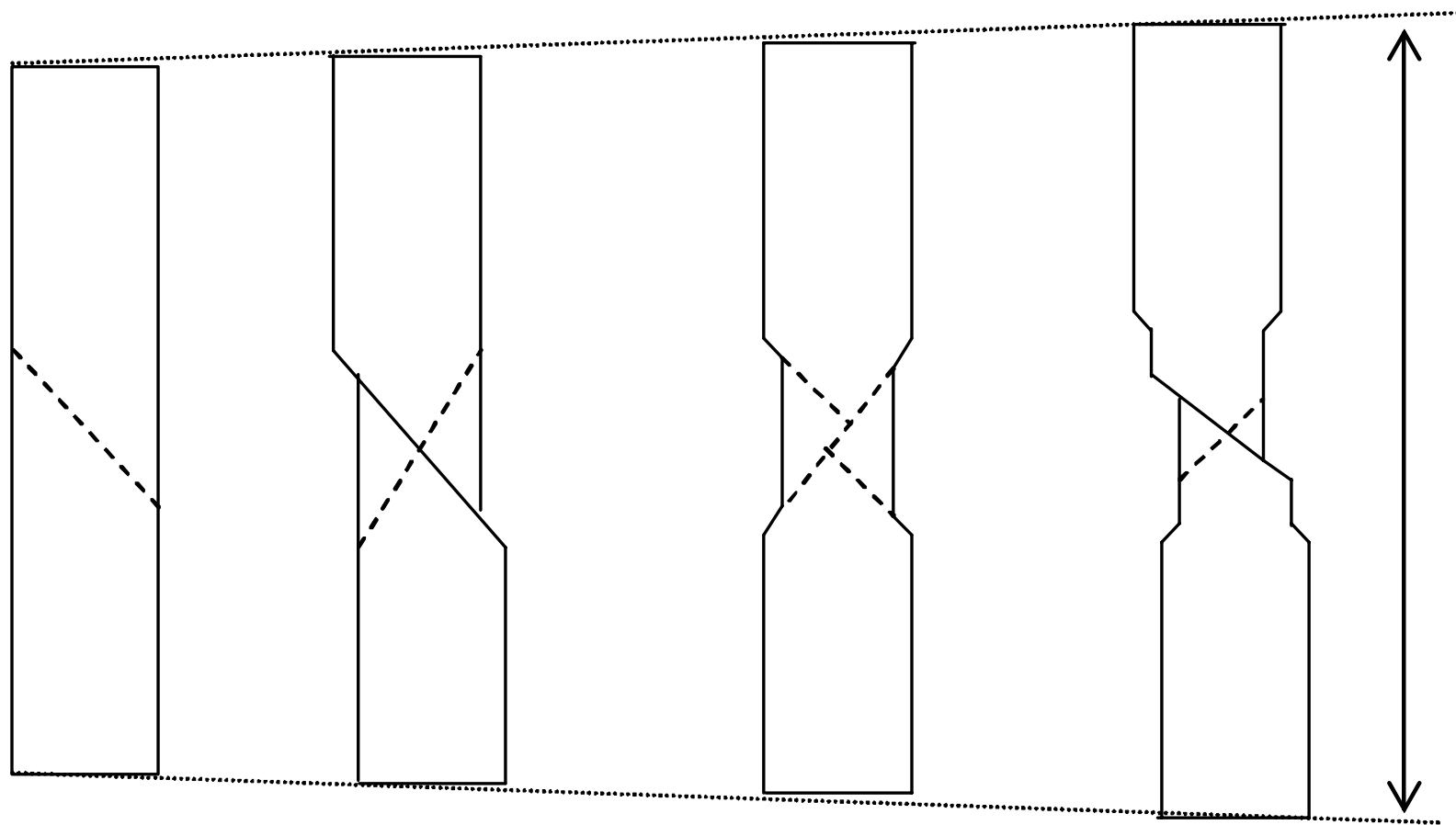


- Tvárny lom
 - sklz po hraniciach zŕn
 - z hľadiska bezpečnosti: nie je dôležitý
 - najčastejšie: skúška t'ahom

4.3 Lomy



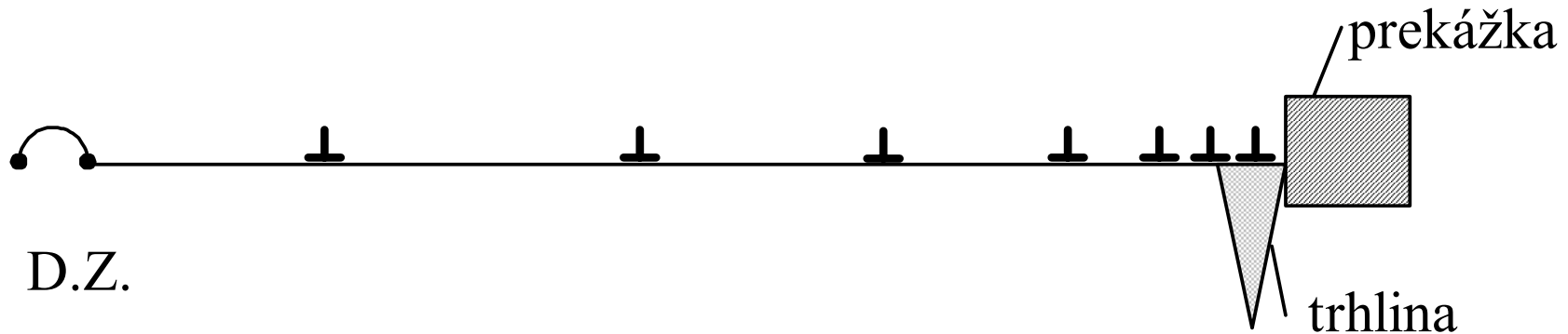
- Tvárny lom



4.3 Lomy



- Tvárny lom - vznik mikroporúch
 - zoskupenie dislokácií pred prekážkou (hranice zrn, cudzia častica a pod.) → koncentrácia napäťí → uvoľňuje sa:
 - prenosom plastickej deformácie do oblasti za prekážku (plasticá deformácia)
 - vznikom mikrotrhliny pozdĺž prekážky (tvárny lom)

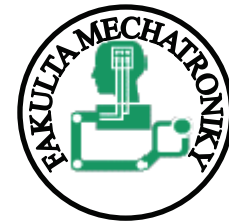


4.3 Lomy



- Tvárny lom – rast dutín
 - v smere pôsobiaceho napäťia
 - spojovanie dutín → (väčšie – menšie) jamky na lomových plochách

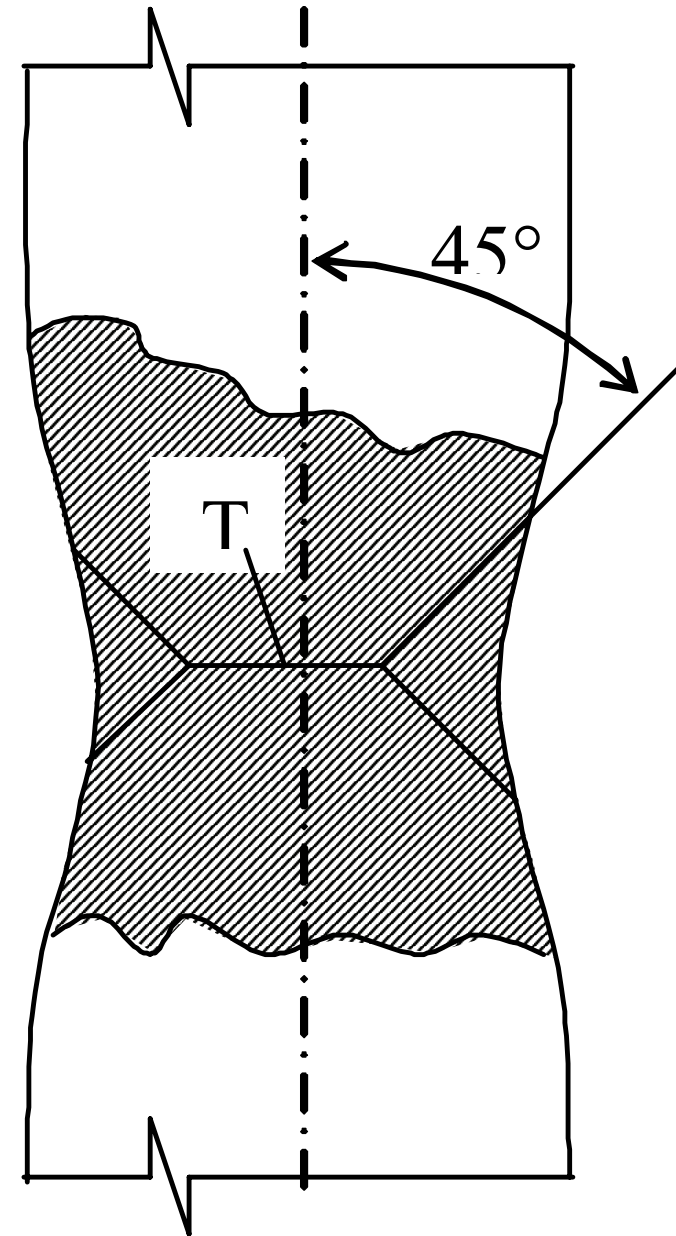
4.3 Lomy



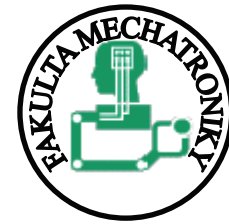
- Tvárny lom – dolom
 - koncentrácia dutín v strede, ak dosiahne povrch → vzniknú podmienky pre odrezanie zostatku nosného prierezu. Dôjde k „urezaniu“ krajných častí telesa v rovine maximálneho šmykového napäťia.

4.3 Lomy

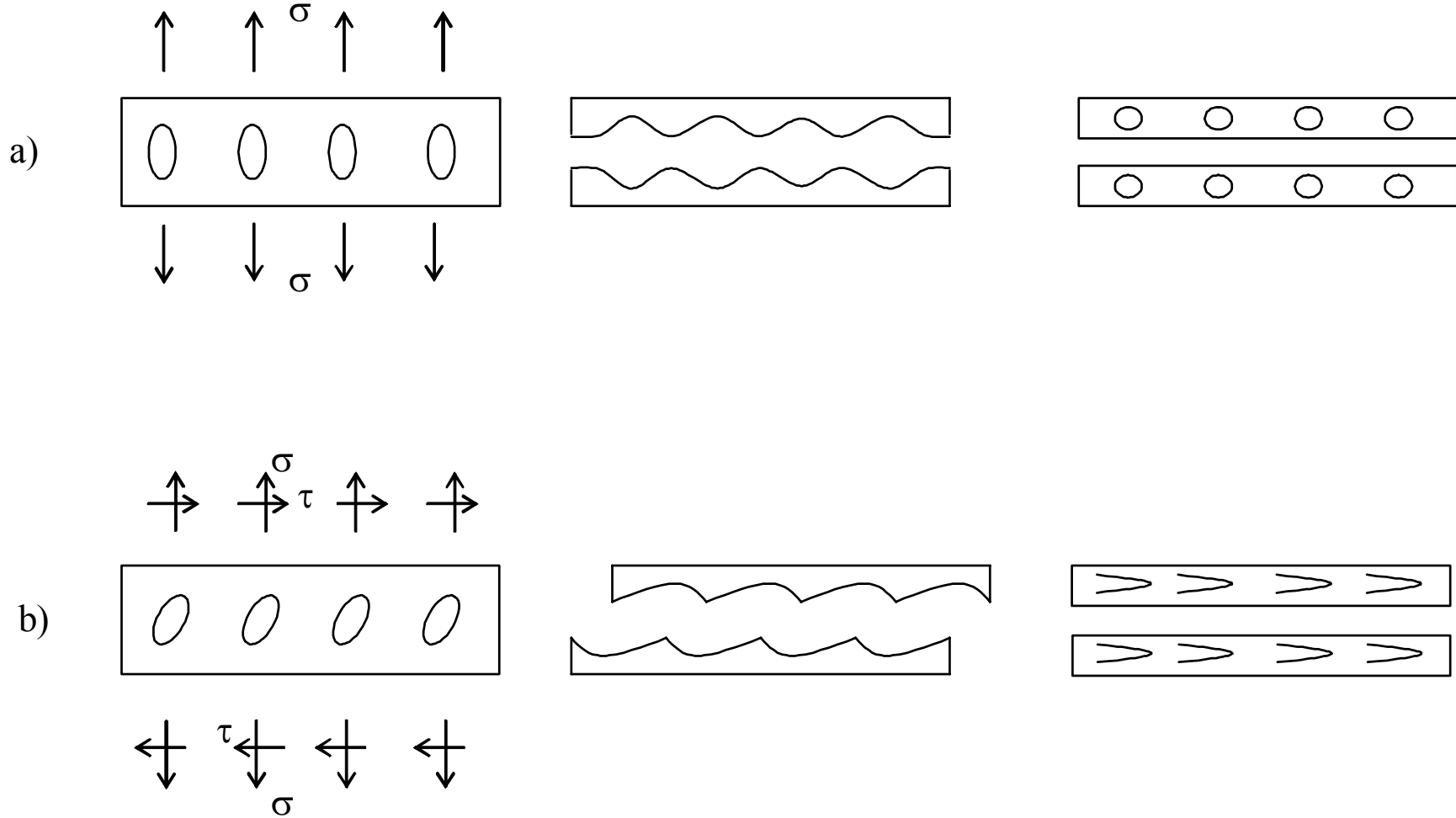
- Tvárny lom – dolom



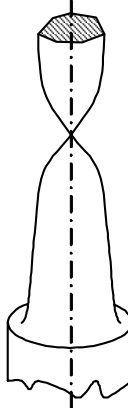
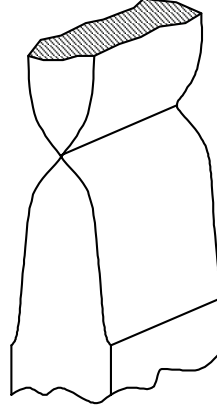
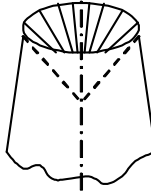
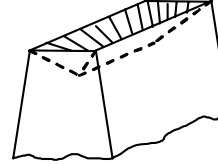
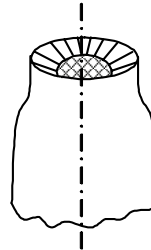
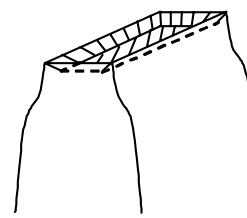
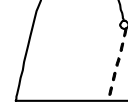
4.3 Lomy

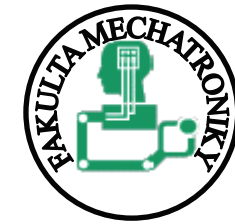


- **Tvárny lom – dolom**



4.3 Lomy – Tvárný lom - Dolom

lom	tvar lomu		ťahový diagram
	kruhový prierez	štvorhranný prierez	
bodový			
šmykový			
zmiešaný			



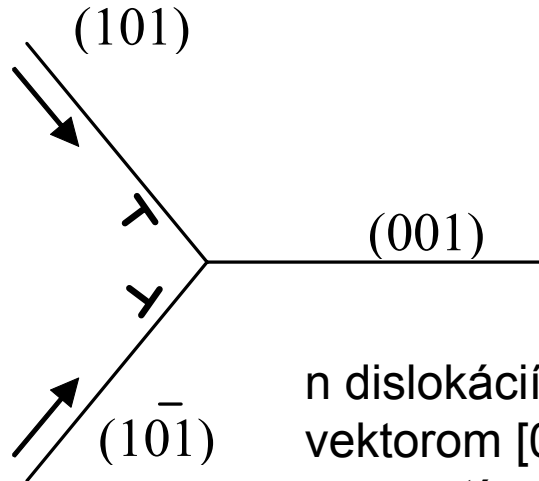
4.3 Lomy



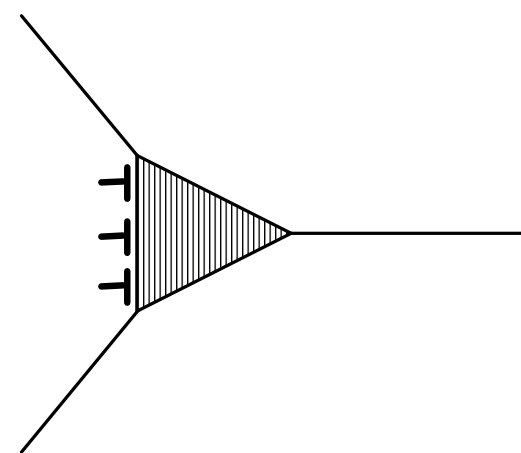
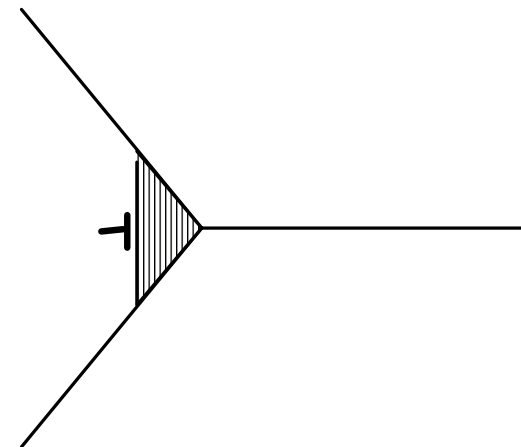
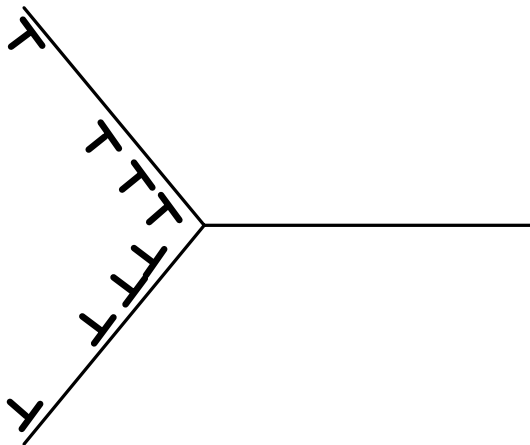
- Krehký lom
 - bez väčšej plastickej deformácie
 - porušenie pozdĺž kryštalografických rovín → štiepenie
(roviny obvykle najhustejšie obsadené atómmi)
 - nízke teploty

4.3 Lomy

- Krehký lom – mechanizmus vzniku



n dislokácií s Burgersovým vektorom [001] vytvorí trhlinu s posunutím jej predných stien „nb“



4.3 Lomy

- Krehký lom

- Mikroskopické kritérium lomu: sila pôsobiaca na čele n dislokácií musí vykonať prácu, ktorá sa aspoň rovná povrchovej energii novovytvorených plôch:

$$\partial_C nb = 2 \vartheta_s$$

↑

odpor materiálu
proti šíreniu trhliny

↑

merná povrchová
energie materiálu

4.3 Lomy

- Krehký lom
 - Lom bude tvárny ak: $\sigma_C n b < \vartheta_s$
 - Lom bude krehký ak: $\sigma_C n b > \vartheta_s$

ϑ_s nezávisí na teplote,
 σ_C , n sú tepelne závislé

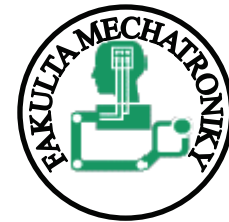
Pri nízkych teplotách a vysokých deformačných rýchlosťach dochádza ku krehkému lomu. Hrubozrnné materiály sú viac náchylné na krehký lom (podľa priemernej veľkosti zrna)

4.3 Lomy



- Krehký lom – šírenie trhliny
 - vonkajšia hnacia sila → šírenie trhliny
 - predpoklady: trhliny v materiály vinou nedokonalej technológie (zvary, morenie, kalenie) alebo vinou prevádzky konštrukcie (korózia, únava)
 - štandardný znak: rovinná lomová plocha (nízka spotreba energie pri šírení lomu)

4.3 Lomy

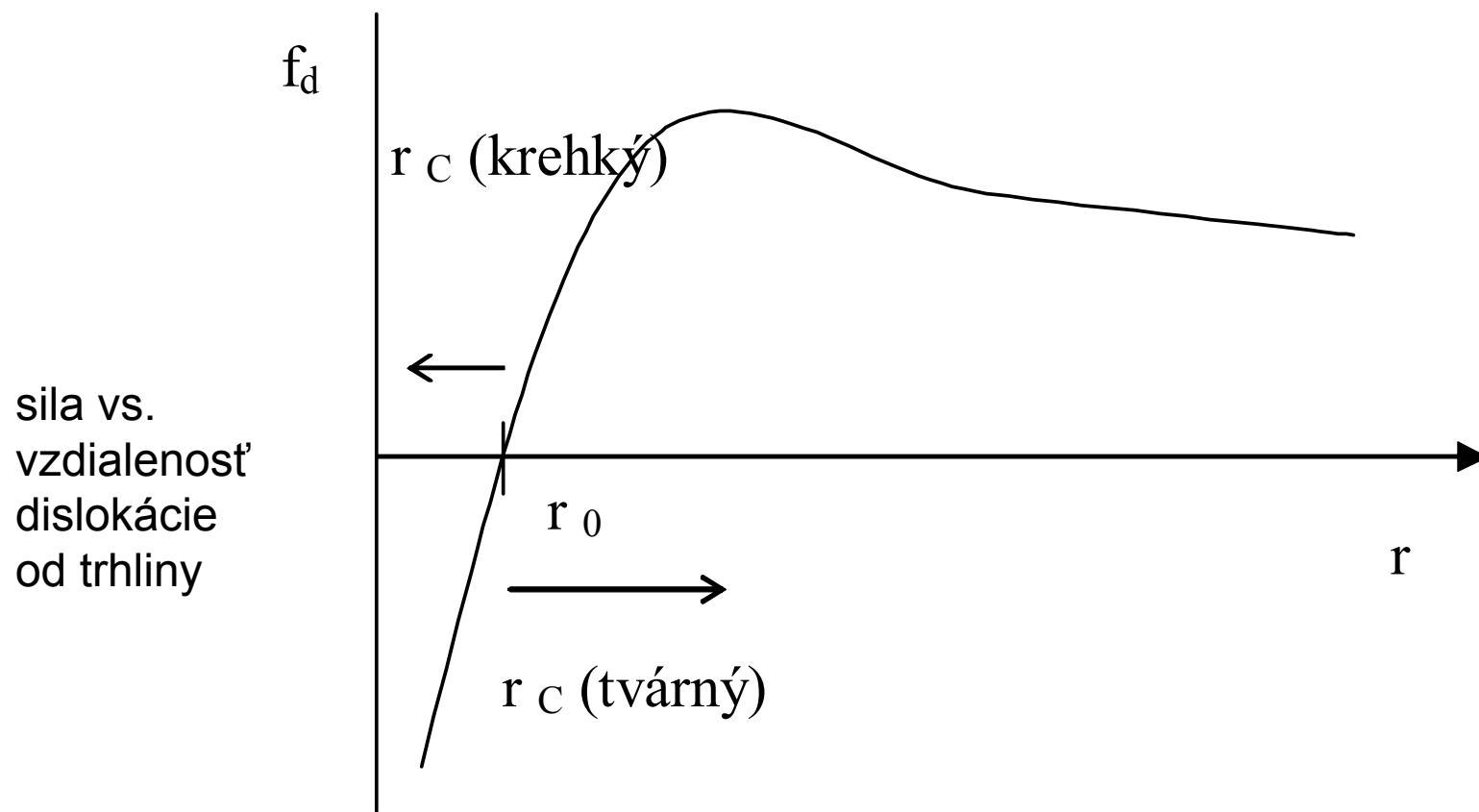


- Krehký lom – lomová húževnatosť
(odolnosť voči krehkému lomu)
 - je určená kritickou hodnotou hnacej sily v okamihu nestabilného lomu
 - meranie → komplikované
 - empirické (semiempirické) modely (vplyv štruktúry a pod.) → platia len v špeciálnych prípadoch

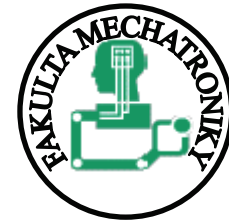
4.3 Lomy



- Krehký lom – krehkosť a tvárnosť ideálnych kryštálov teoretické koncepcie (Kelly, Tyson, Cottrell – KTC; Rice, Thopson – RT)



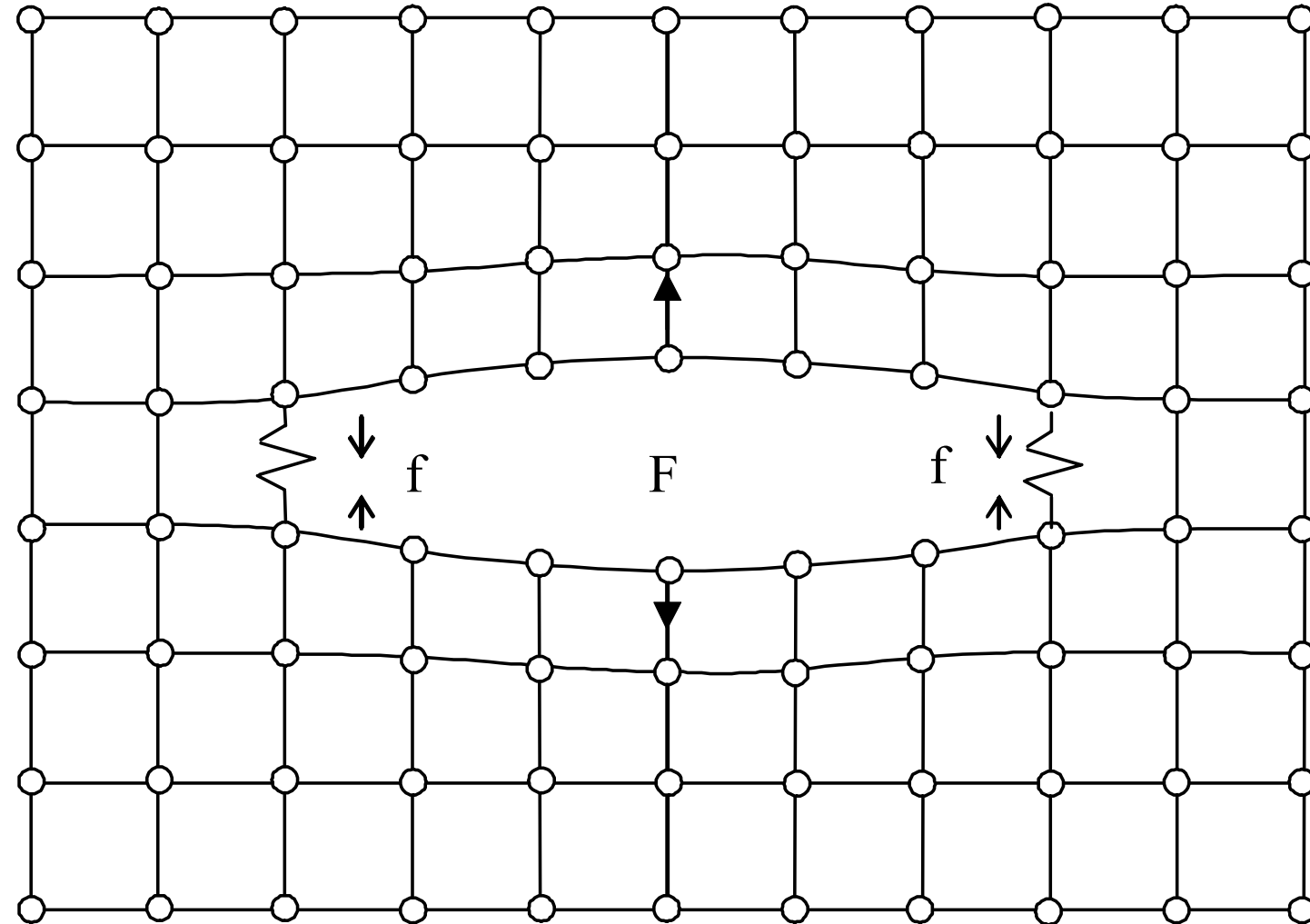
4.3 Lomy



- Lom koróziou pod napäťom
 - poškodzovanie (poškodzovacie procesy) je možné urýchliť vplyvom vonkajšieho prostredia.
 - korózia → jeden z najvýznamnejších degradačných mechanizmov
 - korózia → chemická (elektrochemická) reakcia medzi prostredím a materiálom
 - dôležité: príspevok korózie k porušovaniu väzieb na špici trhliny

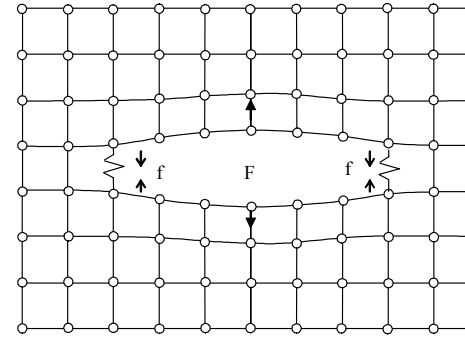
4.3 Lomy

- Lom koróziou pod napäťím



4.3 Lomy

- Lom koróziou pod napäťím
 - trhlina → porušenie konečného počtu $2N$ väzieb

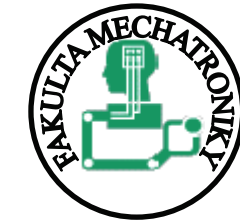


$$\vec{u}_i = \sum_j G_{ij} \vec{F}_j$$

\vec{u}_i premiestnenie i – teho bodu

G_{ij} symetrický Greenov tenzor (funkcia N)

\vec{F}_j vonkajšie sily



4.3 Lomy



- Lom koróziou pod napäťím
 - F_0 vonkajšia sila pôsobiaca na 2 atómy v centre trhliny
 - f väzobné sily medzi atómami na čelách
- pre $N \gg 1$ platí pre premiestnenie v centre a na čelach:
$$u_0 = G_{00}F_0 - 2G_{0N}f_N$$
$$u_N = G_{N0}F_0 - 2G_{NN}f_N$$
- koeficienty G sú pre danú dĺžku trhliny konštantné

4.3 Lomy



- Lom koróziou pod napäťím
ak zanedbáme f_N :

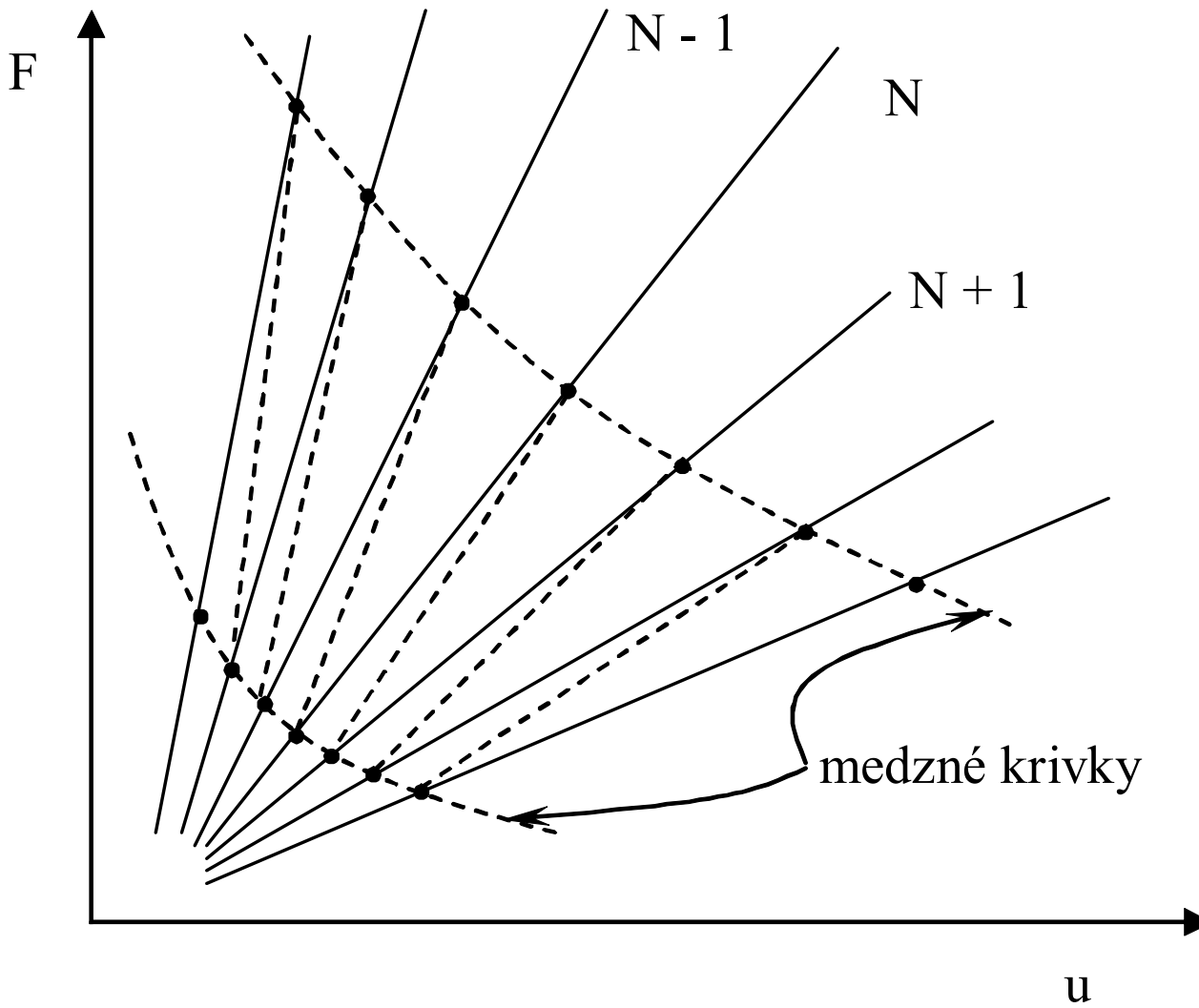
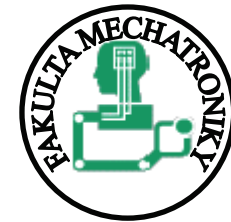
$$u_0 = G_{00} F_0$$

premestnenie je ako funkcia F_0 priamka so smernicou G_{00} (poddajnosť)

G_{00} je funkciou $N \rightarrow$ sústava priamok

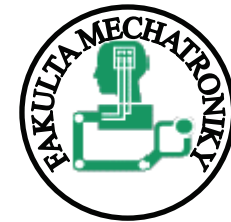
4.3 Lomy

- Lom koróziou pod napäťím

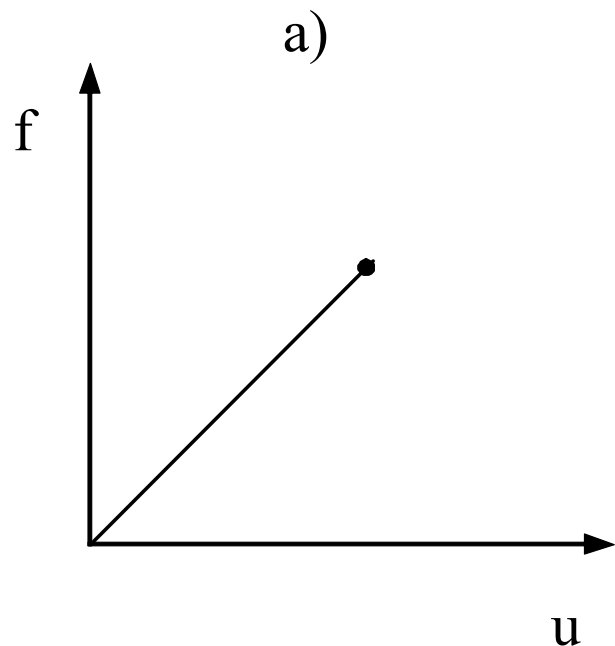


4.3 Lomy

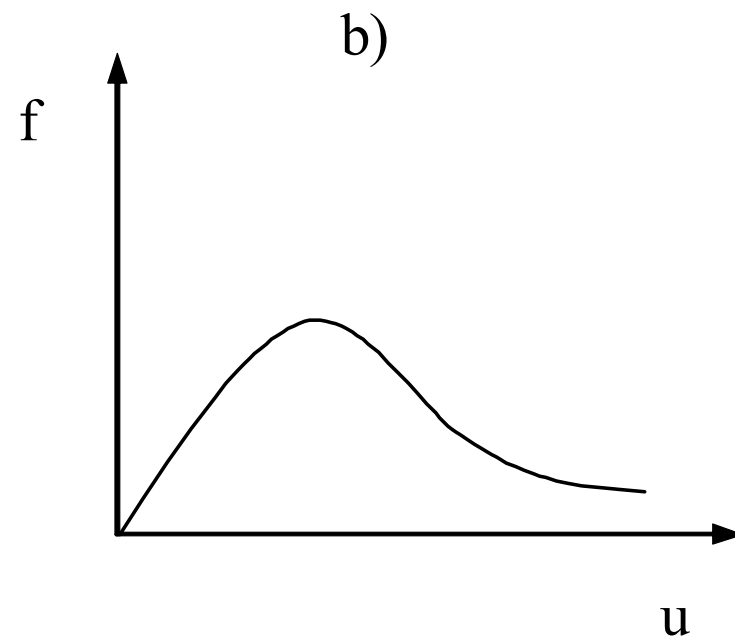
- Lom koróziou pod napäťím



doteraz:

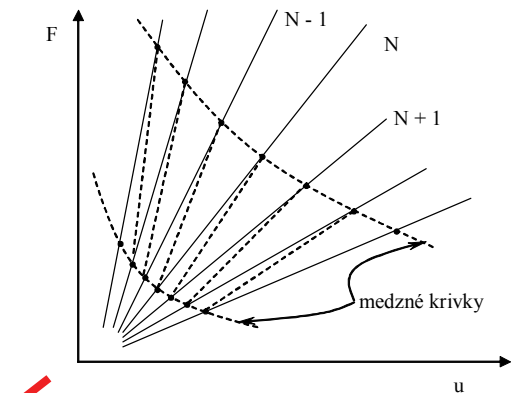
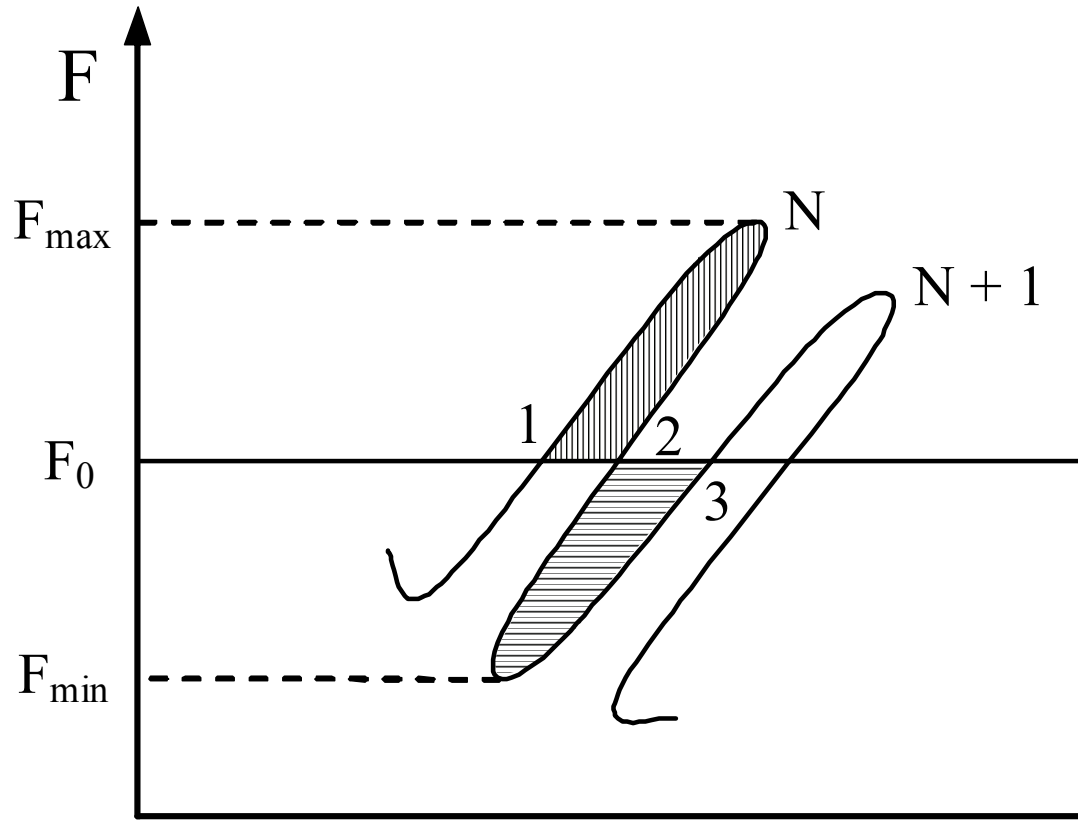


odteraz: nelineárne väzobné sily na čele trhliny



4.3 Lomy

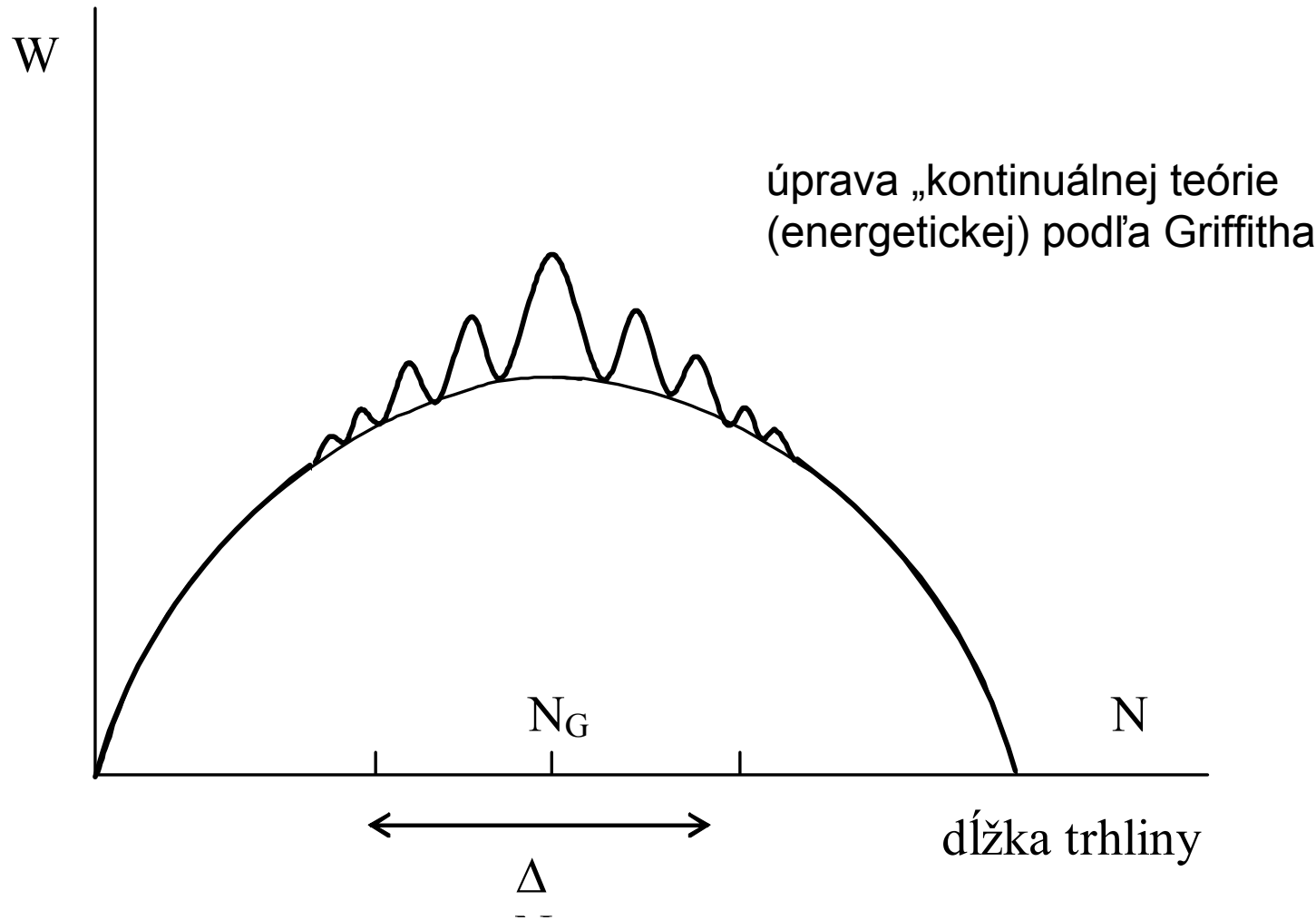
- Lom koróziou pod napäťím



na rozdiel od Griffitha
existuje viac stabilných
bodov pri danej sile
(dekompozičný teorém)

4.3 Lomy

- Lom koróziou pod napäťím



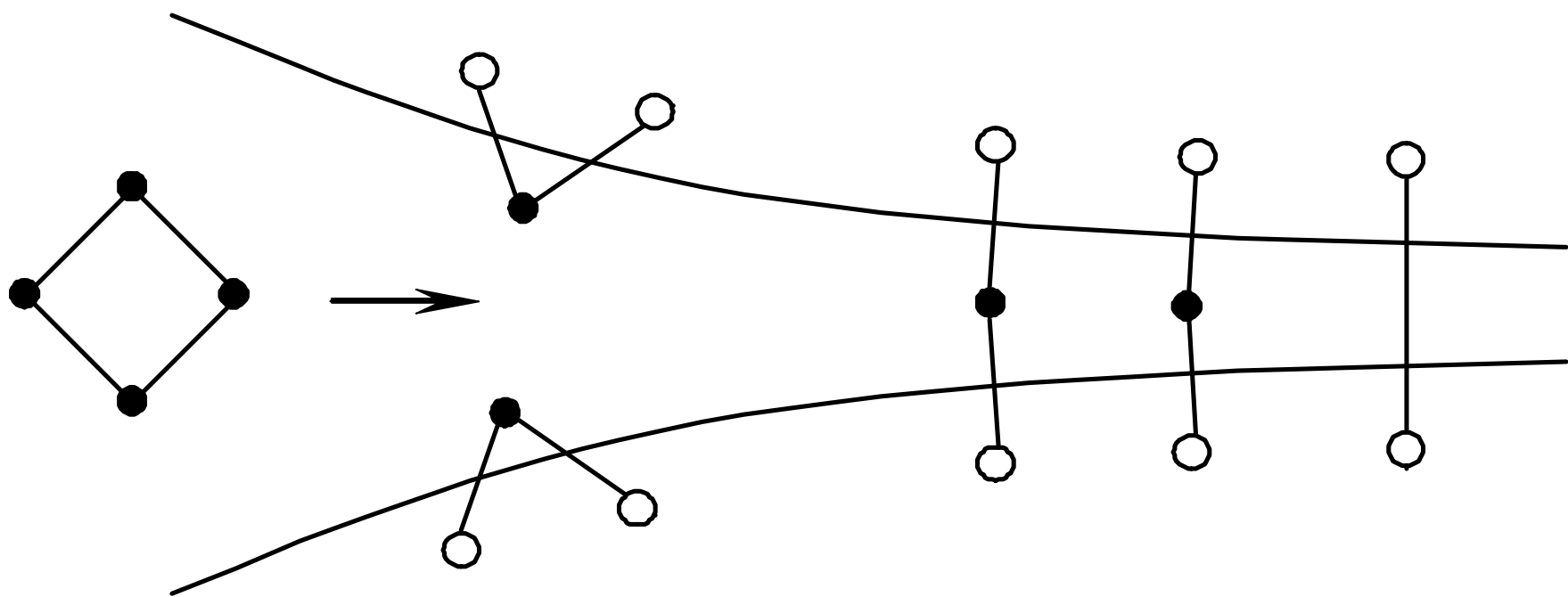
4.3 Lomy

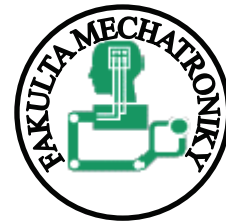


- Lom koróziou pod napäťím
- Ako reakcie s externými chemickými látkami modifikujú uvedené obecné riešenie?

4.3 Lomy

- Lom koróziou pod napäťom
- Atómy vonkajšieho prostredia sú schopné vytvárať spojovacie mostíky medzi porušenými mriežkovými väzbami na špici trhliny:



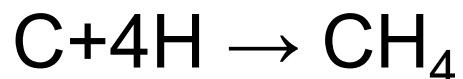


4.3 Lomy

- Lom koróziou pod napäťom - Vodík

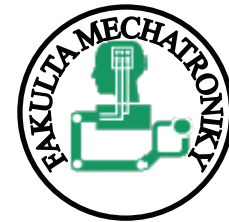
Vodík (malá atómová veľkosť) → ľahko preniká do objemu kovu. Vnútri sa opäť zlučuje do H_2 , vytvára vysoké lokálne teploty a tlaky → vodíkové praskanie.

Pod vplyvom technológie výroby (morenie v kyselinovom kúpeli) reaguje s uhlíkom a vytvára *metán*:



Metán vytvára vnútorné napäťia → vodíková korózia

4.3 Lomy



- Lom koróziou pod napäťím - charakteristiky
- Ak je teleso zaťažené tāhom v koróznom prostredí → vzniknú v ňom po čase transkryštalické alebo interkryštalické trhliny, ktor. po rozšírení na kritickú veľkosť spôsobia lom koróziou pod napäťím. V prípade existencie vnútorných napäťí k tomu môže dôjsť aj bez pôsobenia vonkajších sín

4.3 Lomy



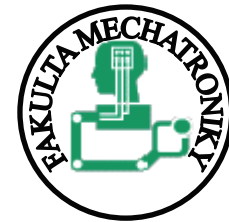
- Lom koróziou pod napäťom – charakteristiky
- K_I – súčinitel' intenzity napäťia ~ lomová húževnatosť
- Existuje minimálna (prahová) hranica K_{ISCC}
- Hodnoty K → funkcie prostredia
- Charakteristiky LKpN → ovplyvnené typom prostredia a teplotou

4.3 Lomy



- Lom koróziou pod napäťom – Aktuálne problémy:
- vplyv radiačného (neutrónového) žiarenia → pokles charakteristík húževnatosti

4.3 Lomy

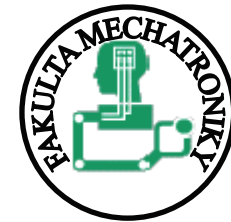


- Lom koróziou pod napäťom
- Stabilné šírenie trhliny v koróznom prostredí pri pomína stabilné šírenie trhliny v inertnom prostredí → LKpN sa niekedy nazýva aj statickou únavou

4.3 Lomy

- Únavový lom

- V praxi → 80% prípadov lomov
- Premenlivé vonkajšie sily → môže dôjsť k lomu aj pri nižšej maximálnej hladine napäť ako je medza sklzu (proces postupného poškodzovania materiálu – únavu materiálu)
- Prvé pokusy: August Wöhler v r. 1852-1870 (praskanie osí železničných vagónov a parných strojov) → Wöhlerova krivka (záv. počtu cyklov do lomu N na amplitúde napäťia σ_a)



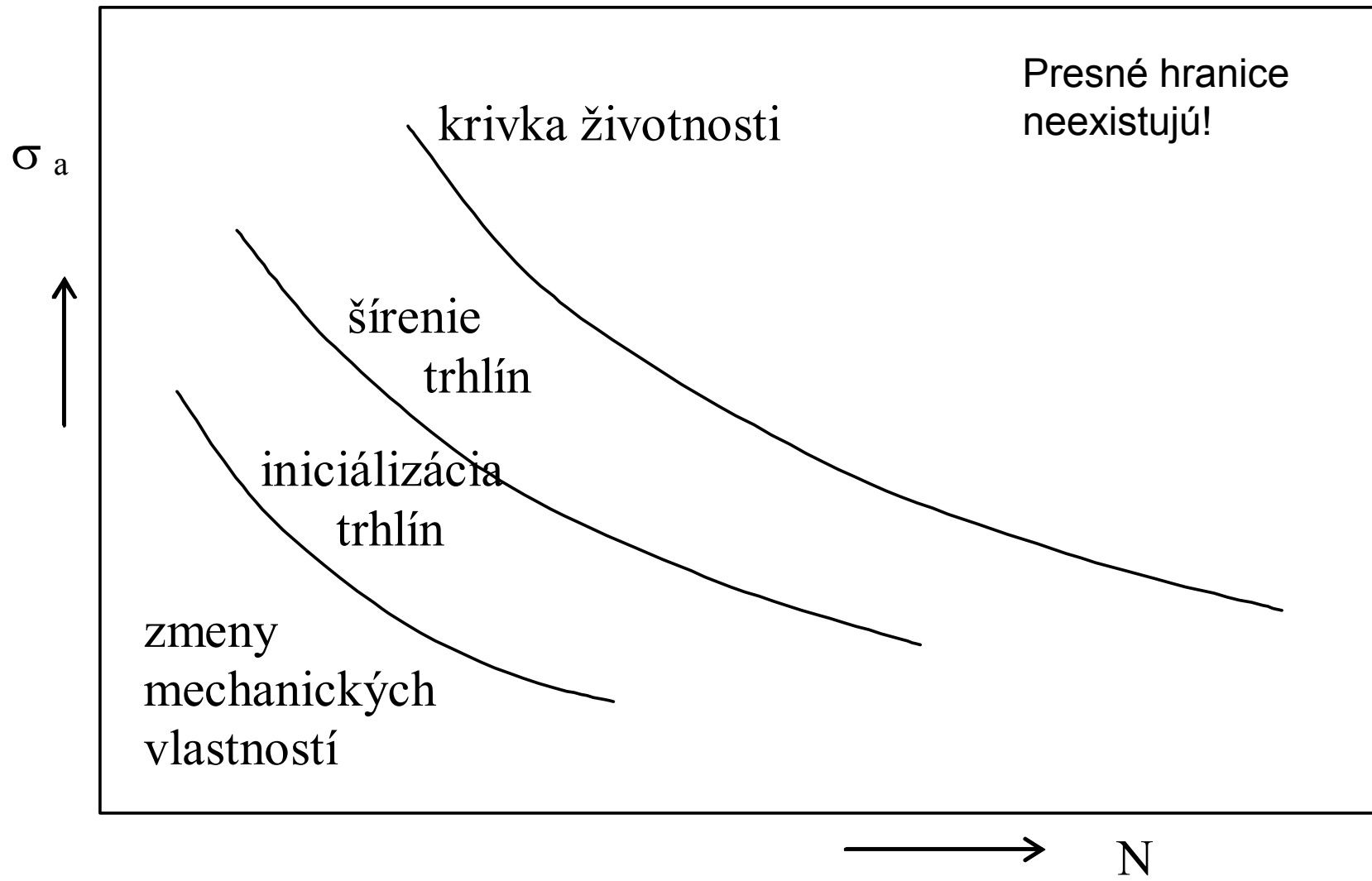
4.3 Lomy

- Únavový lom
 - Hranica: 10^7 cyklov pri harmonickom zaťažení → medza únavy σ_c



4.3 Lomy

- Únavový lom



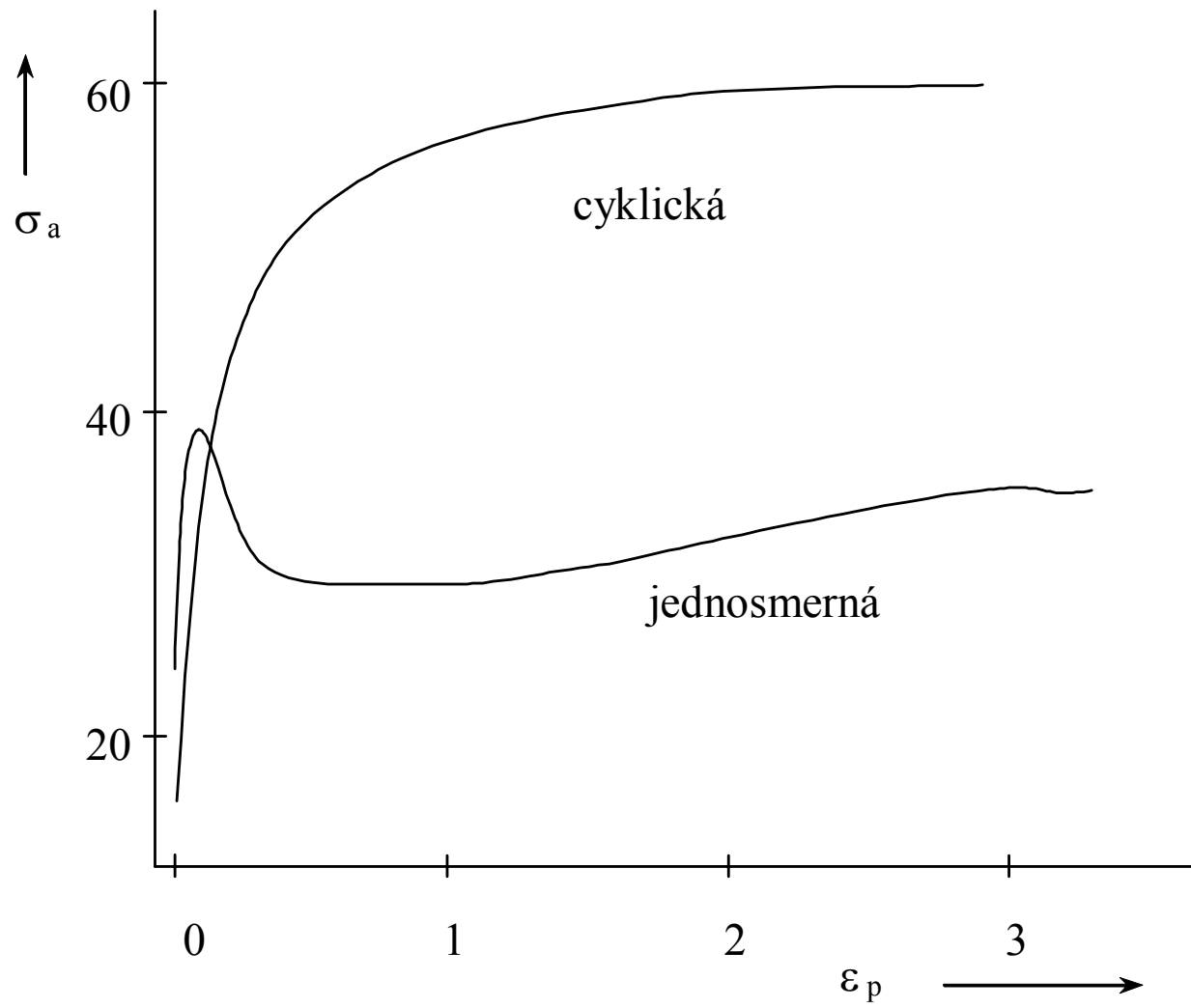
4.3 Lomy



- Únavový lom - odozva na cyklické zaťaženie
 - 1. Odpor materiálu rastie → cyklické spevňovanie
 - Typické: materiály žíhané
 - 2. Odpor materiálu klesá → cyklické zmäkčovanie
 - Typické: materiály spevnené
 - 3. Superpozícia 1. + 2. → zmena charakteru odozvy
 - Typické: materiály so špeciálnym typom mriežky (b.c.c.) s intersticiálnymi atómmi

4.3 Lomy

- Únavový lom





4.3 Lomy

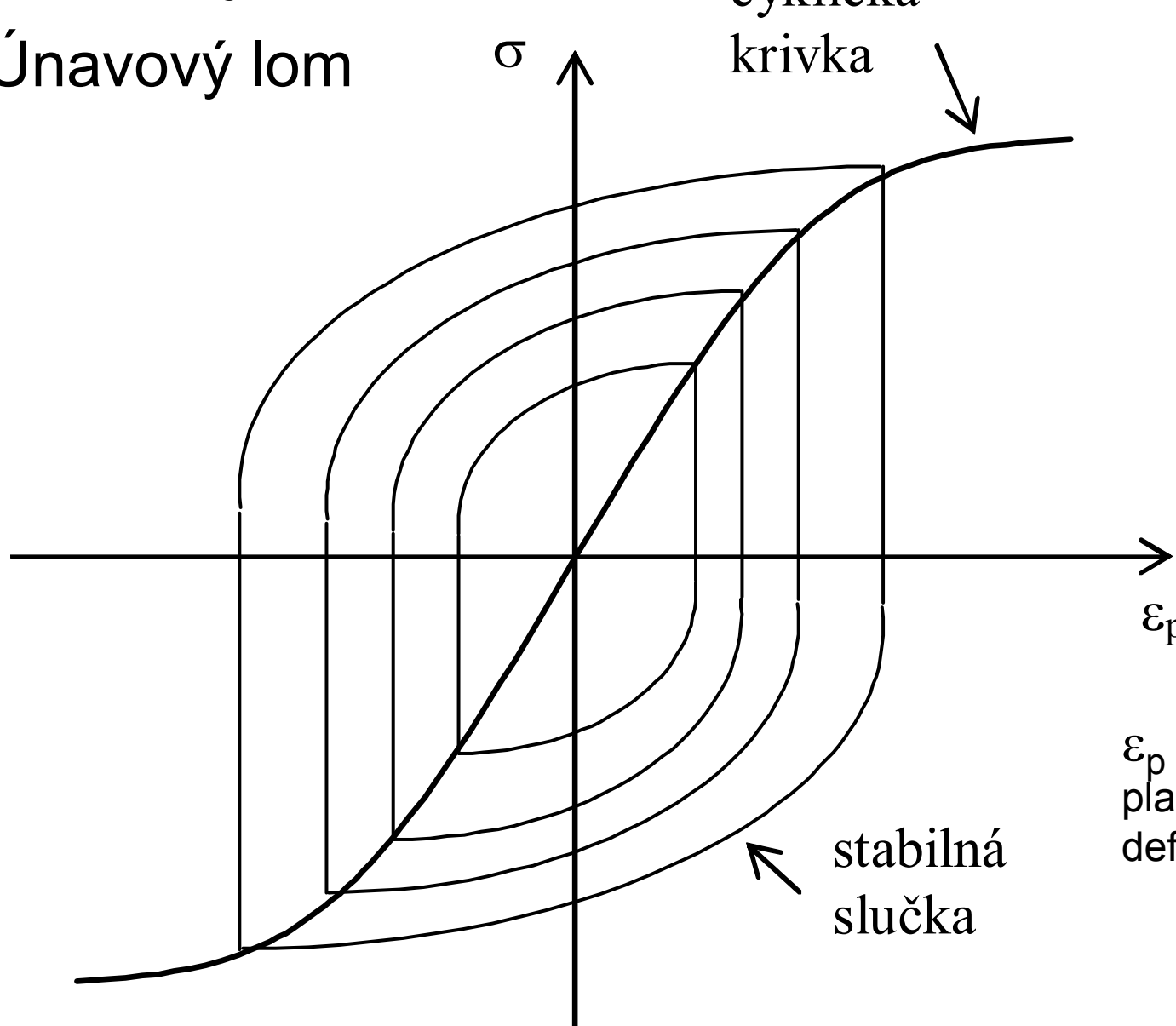
- Únavový lom

Saturovaná napäťovo-deformačná odozva (cyklická krivka napätia vs. deformácie)

[saturácia = zmeny, resp. intenzita zmien v čase klesá → saturačný charakter]

4.3 Lomy

- Únavový lom



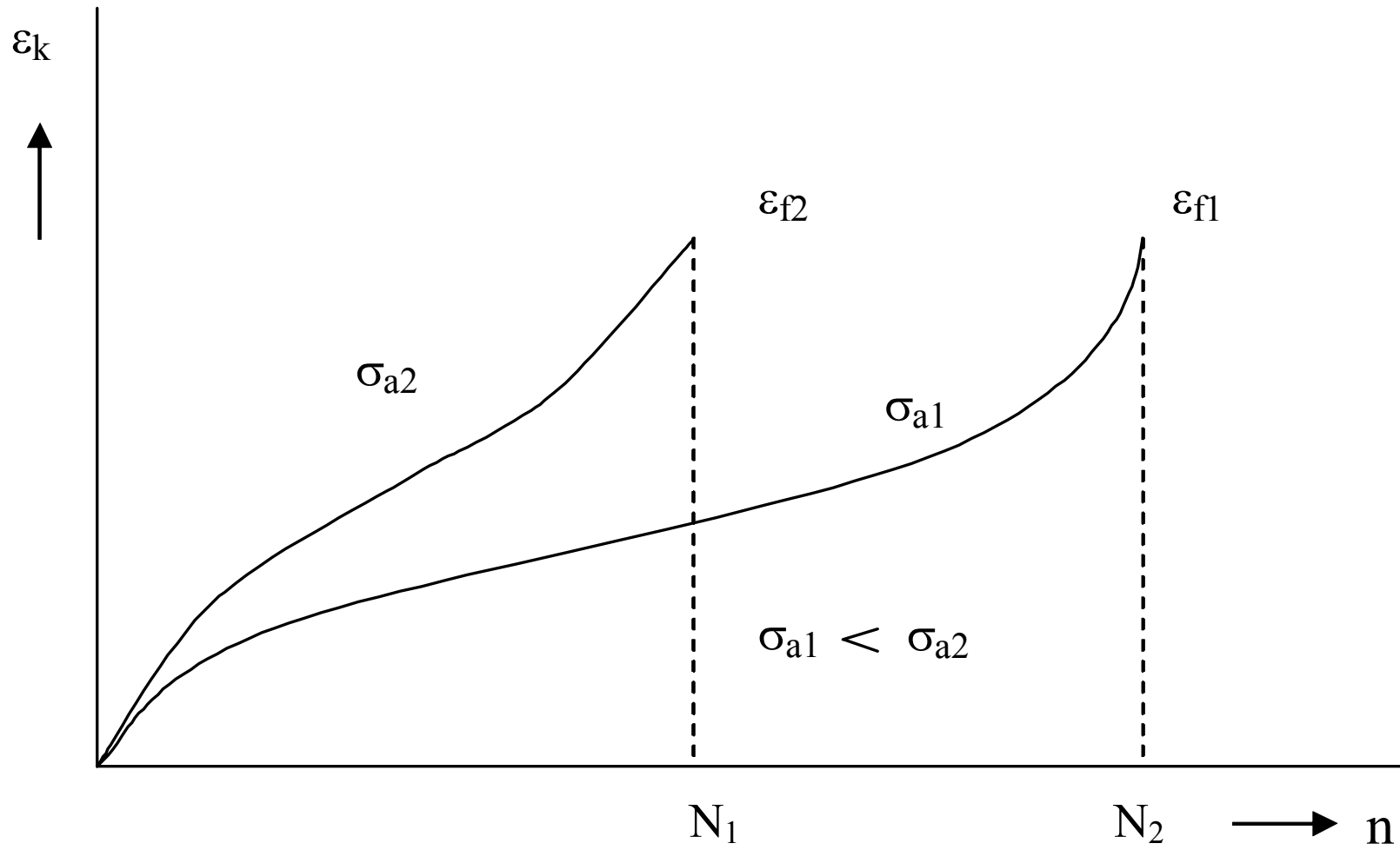
4.3 Lomy



- Únavový lom – charakteristiky únavovej životnosti
- Wöhlerova krivka (počet cyklov do lomu vs. amplitúda napäťia)
- Manson-Coffinova krivka (amplitúda plastickej deformácie vs. počet cyklov do lomu)
- ...

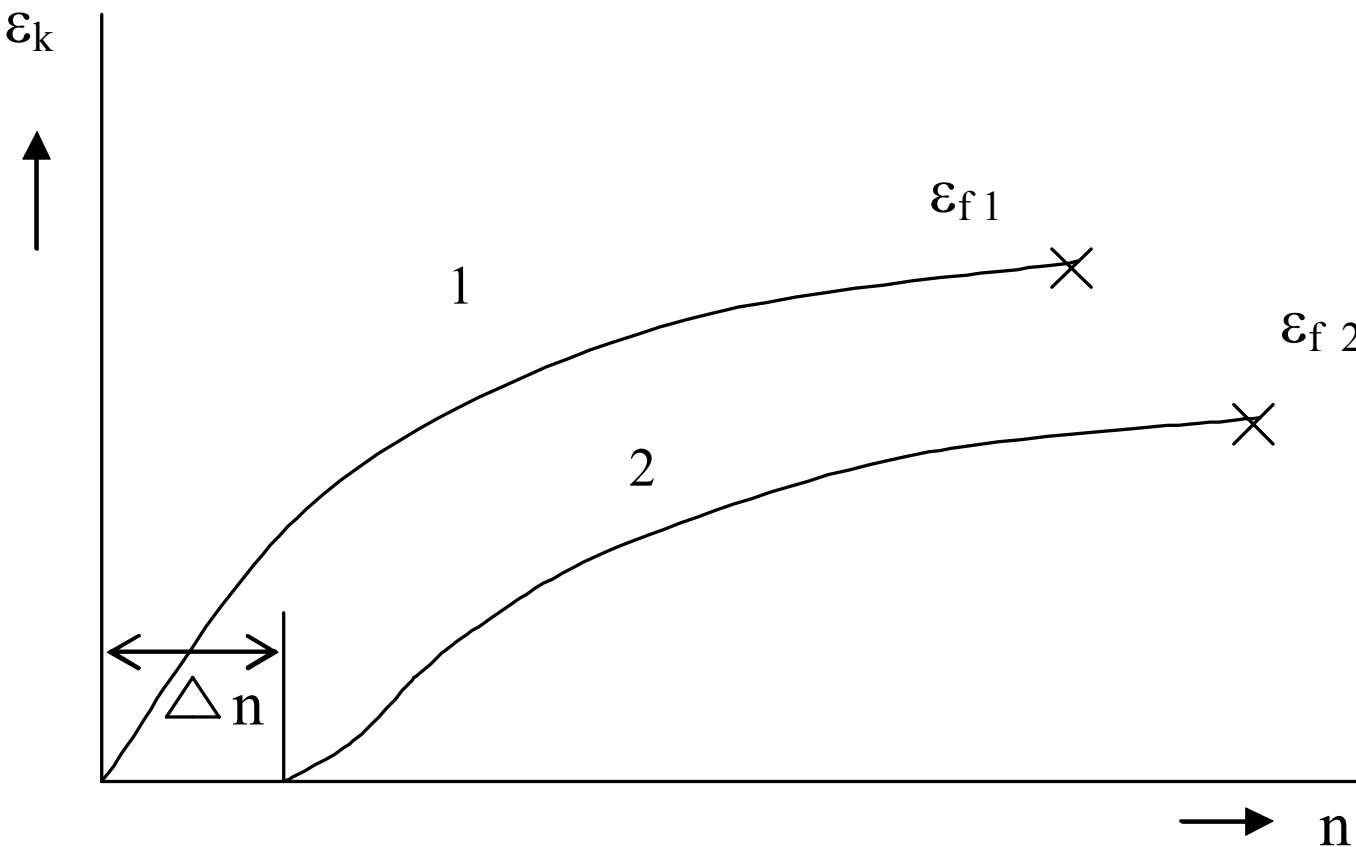
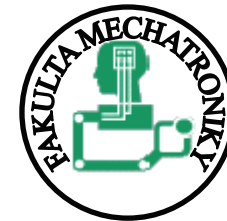
4.3 Lomy

- Únavový lom – charakteristiky únavovej životnosti



4.3 Lomy

- Únavový lom – charakteristiky únavovej životnosti



4.3 Lomy

- Únavový lom – Životnosť telesa

Životnosť telesa s existujúcimi trhlinami (zbytková životnosť) → počet cyklov do lomu N'

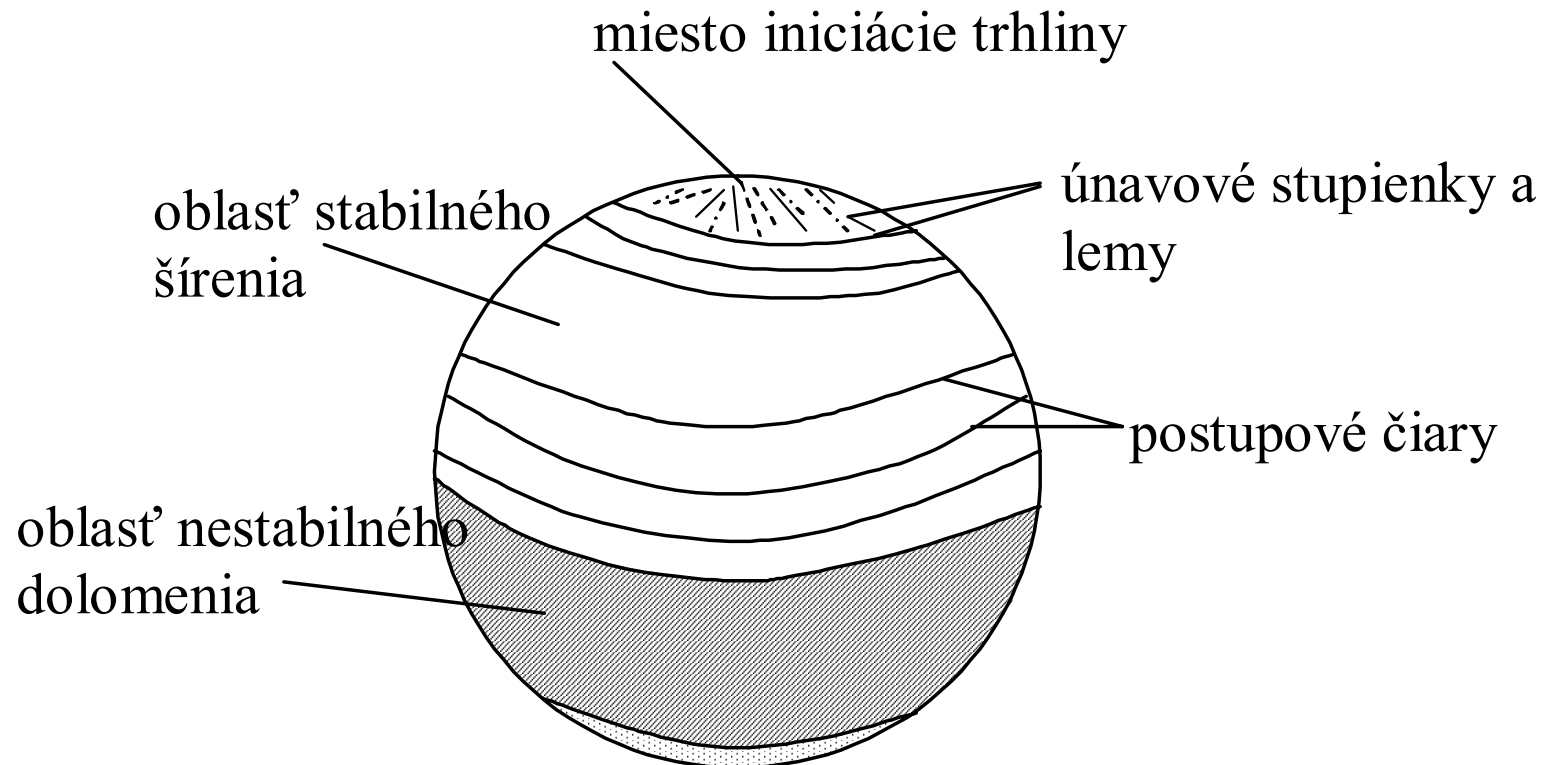
$$N' = \frac{1}{A} \int_{a_p}^{a_k} \frac{1}{K_a^\alpha} dl$$

a_p – počiatočná dĺžka

a_k – kritická dĺžka v okamihu nestabilného lomu

4.3 Lomy

- Únavový lom – Lomové plochy



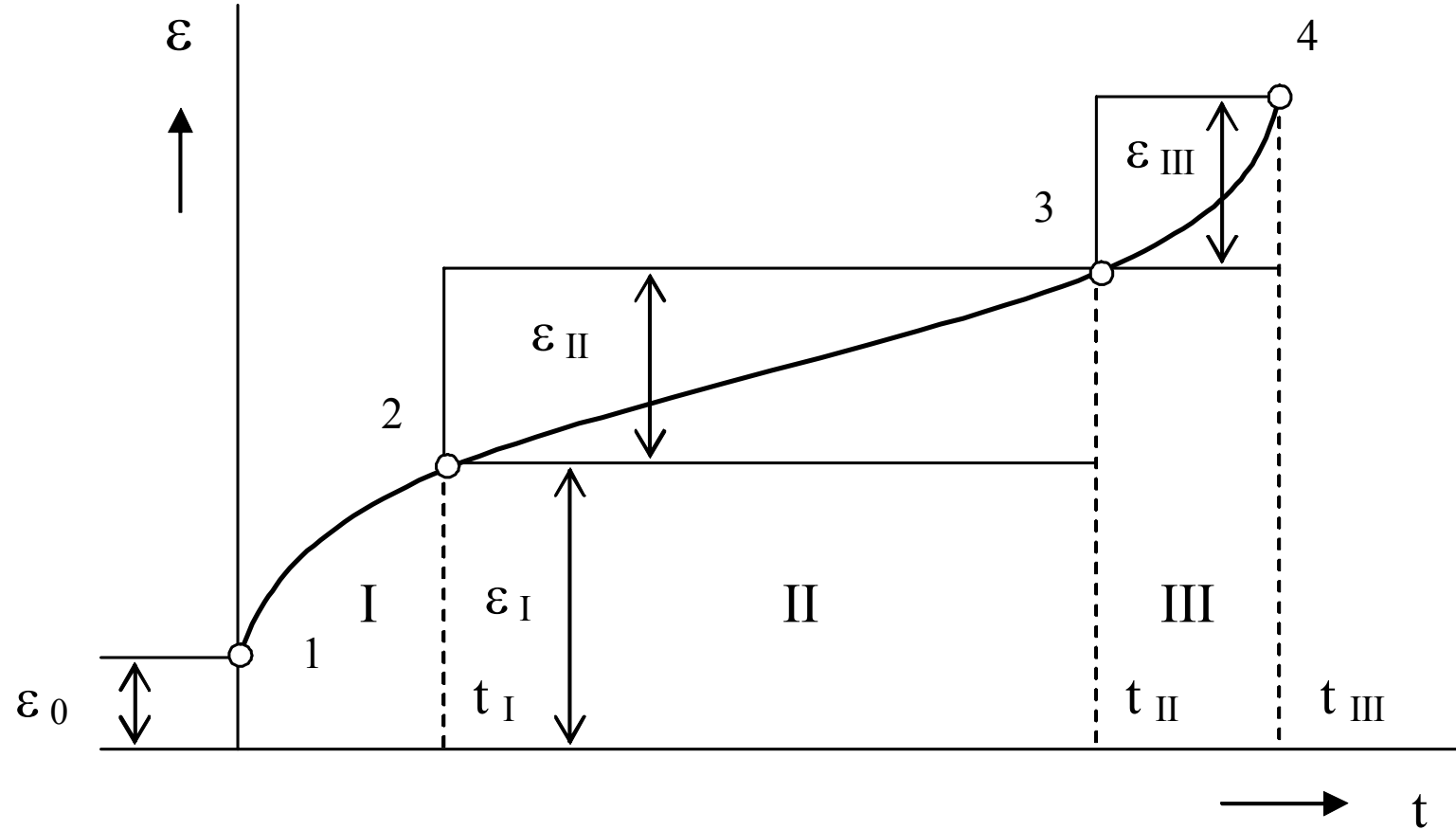
4.3 Lomy



- Creepový lom (Lom tečením)
 - Plastická deformácia pri konštantnom zaťažení rastie s časom → tečenie (creep)
 - Vzťah medzi sklzom (deformáciou) a časom t pri konštantnom napätí t (σ) → krivka tečenia

4.3 Lomy

- Creepový lom (Lom tečením)



4.3 Lomy

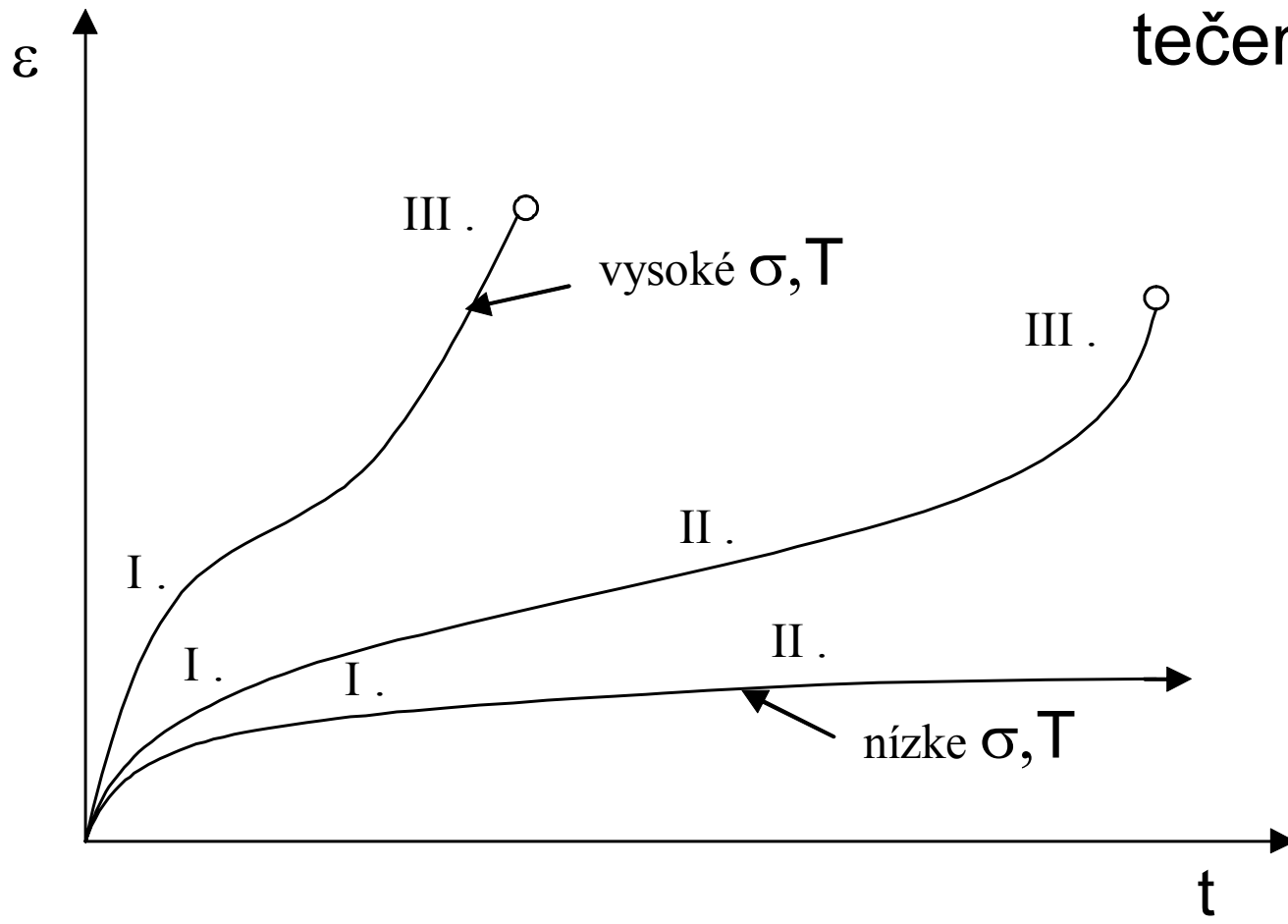


- Creepový lom (Lom tečením) – Štádiá tečenia
 - I – prechodové (primárne), rýchlosť tečenia klesá
 - II – ustálené (stacionárne), rýchlosť je konštantná
 - III – zrýchленé (terciálne), rýchlosť vzrastá

4.3 Lomy

- Creepový lom (Lom tečením)

krivky tečenia majú rozdielne tvary ← podmienky tečenia (σ, T)



4.3 Lomy

- Creepový lom (Lom tečením) – Druhy tečenia

Existujú 4 základné druhy tečenia:

dislokačné

difúzne

pokl佐vé (hranice zrn)

superplasticita

[superplasticita → v špeciálnych prípadoch sa polykryštály deformujú viac ako na 1000%]

4.3 Lomy

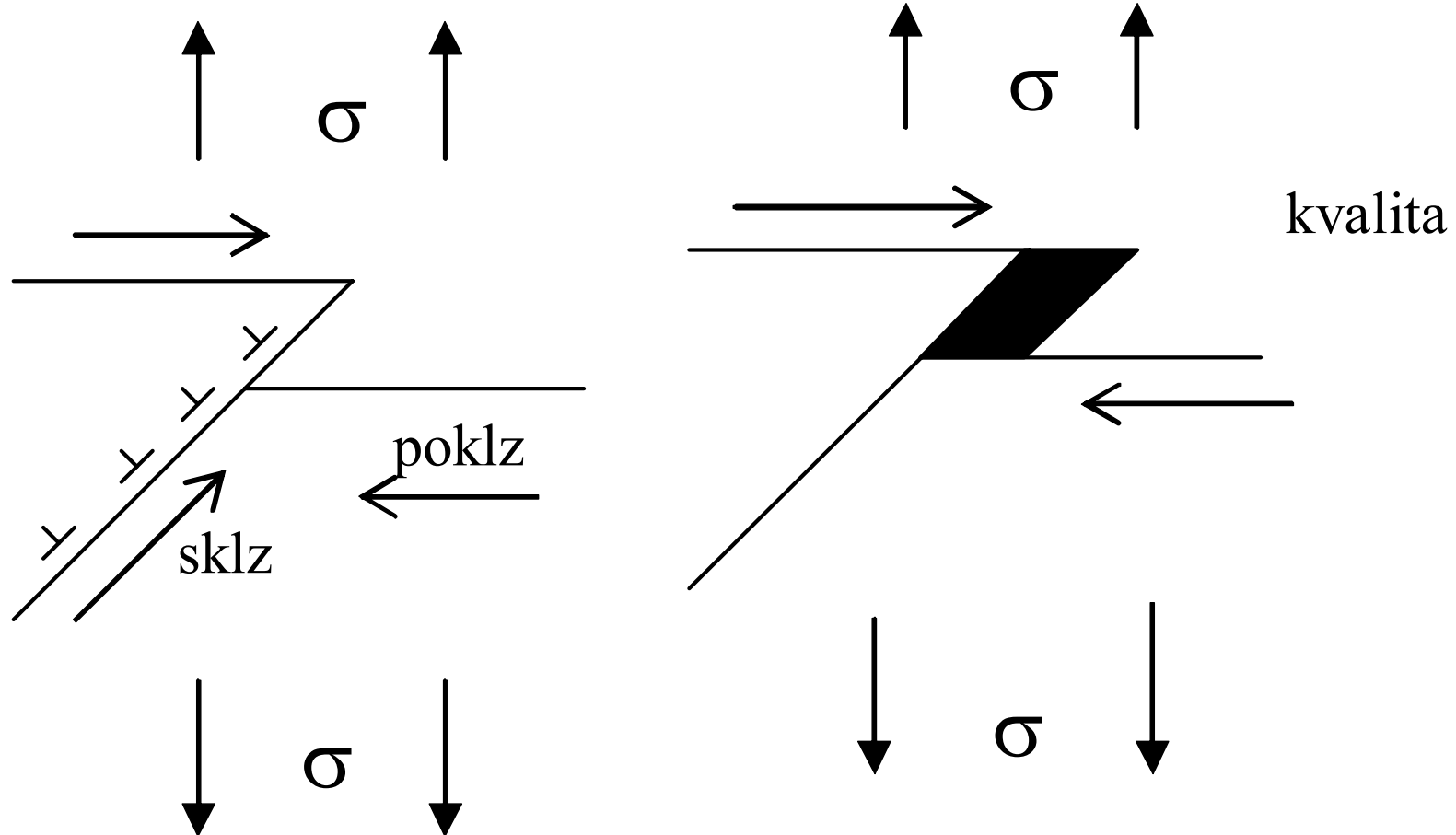


- Creepový lom (Lom tečením) – Štádiá lomu
 - Vznik kavít (klinové trhliny na hraničiach 3 zrn)
 - Rast kavít
 - Koalescencia kavít a rast magistrálnej trhliny

4.3 Lomy

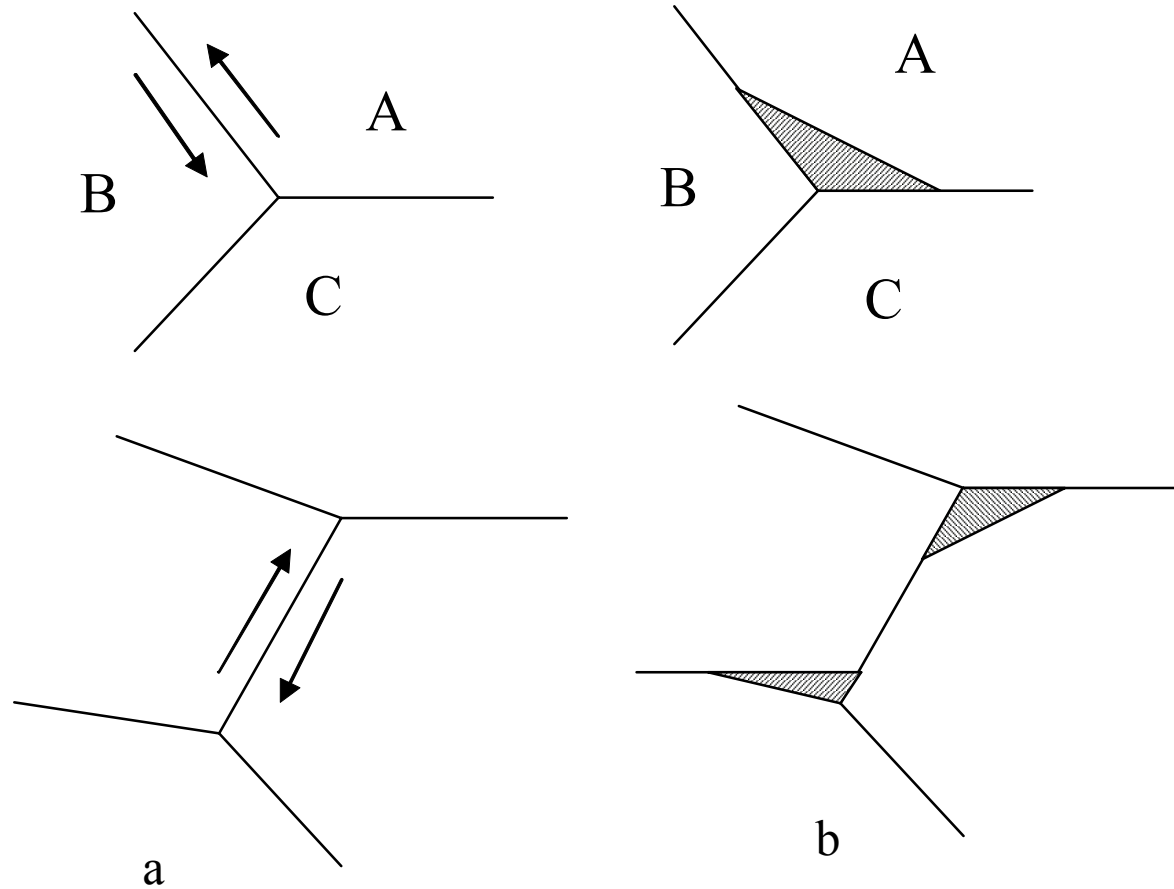


- Creepový lom (Lom tečením) – Štádiá lomu – Vznik kavít (trhlín)



4.3 Lomy

- Creepový lom (Lom tečením) – Štádiá lomu – Vznik kavít (trhlín)



4.3 Lomy

- Creepový lom (Lom tečením) – Charakteristiky
 - Medza pevnosti pri tečení R_{mT} + údaj o čase do lomu T_f [hod.] + údaj o skúšobnej teplote T
 - napr. “R_{mT} 10⁵/680” (charakteristika R_{mT} - napätie, ktr. pri danej teplote spôsobí porušenie za stanovenú dobu)
 - Medza tečenia R_T + trvanie skúšky t_λ do dosiahnutia deformácie ε_P [%] + teplota T
 - napr. “R_T 10⁴/1/550” (R_T - napätie, pri ktr. sa pri danej teplote dosiahne predpísanej deformácie za stanovený čas)

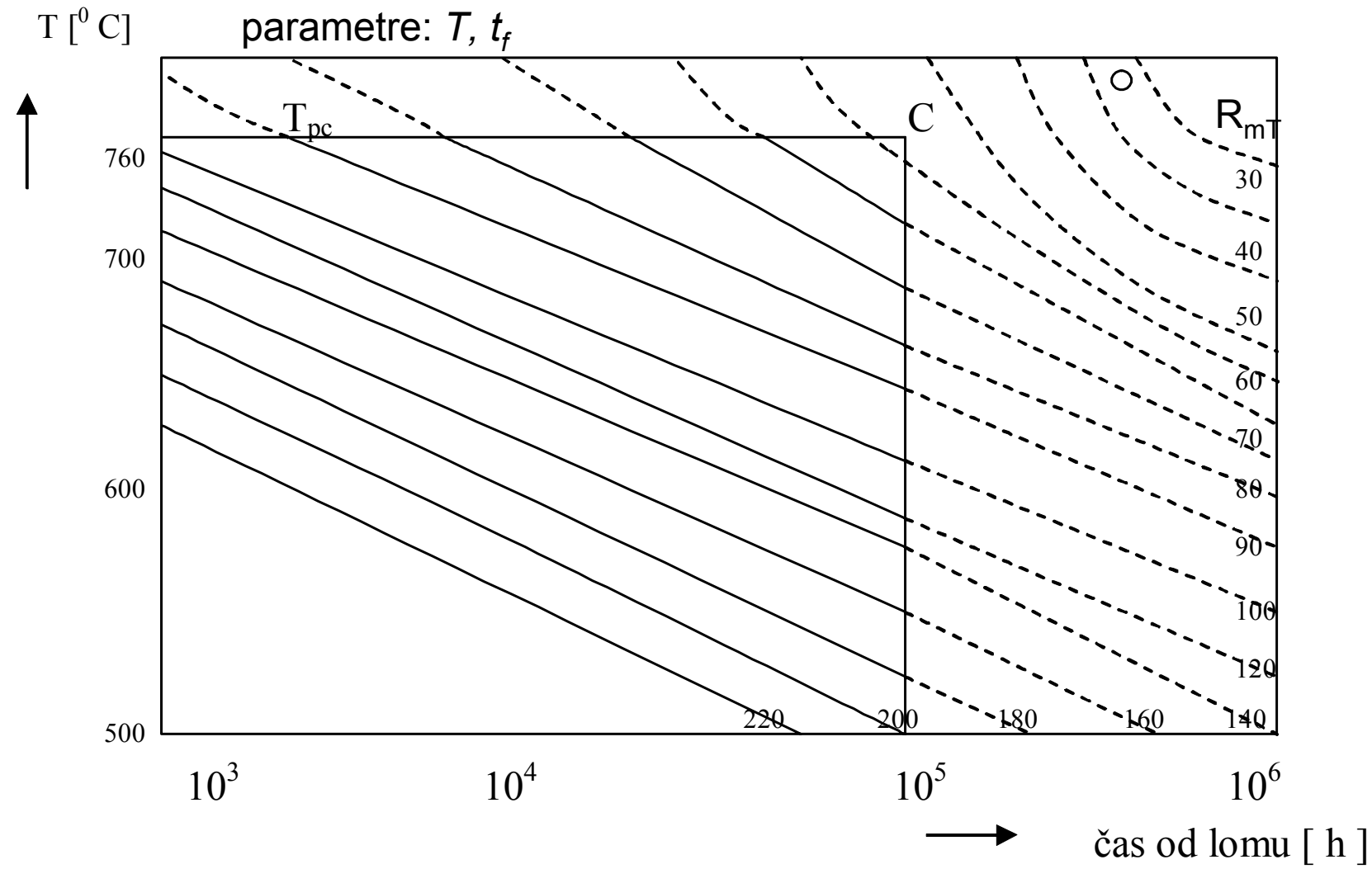
4.3 Lomy



- Creepový lom (Lom tečením) – Charakteristiky
 - Charakteristiky R_{mT} + resp. R_T pre rôzne časy a teploty
→ **Diagram životnosti**
 - Vplyv faktorov:
 - veľkosť zrna
 - energia chybovej vrstvy
 - mikročistota
 - hranice zrň
 - atď...

4.3 Lomy

- Creepový lom (Lom tečením) – Charakteristiky





5. Keramika

- (Úvod)
- Deformácie
- Základné mechanické vlastnosti
- Lom po dlhodobej degradácii

5. Keramika



- Kerannini (Gr.) – mieša
- Keramos (Gr.) – vzniknutý miešaním



5. Keramika

- definícia: Materiál prevažne kryštalický, zložený hlavne z anorganických zlúčení nekovového charakteru
- materiály: porcelán, cement, tehly, brúsne materiály, konštrukčná (technická) keramika, šamot

5. Keramika



- výroba: použitie jemných zemín → kaolín, íly
- technické materiály: prevažne zo syntetických surovín (vlastnosti iných závisia na vlastnostiach surovín z daného zdroja)

5. Keramika



- keramika oxidová: korund Al_2O_3 , ZrO_2 , MgO , BeO
- keramika neoxidová: karbidy, nitridy, boridy (napr. karbid kremíka SiC , nitrid kremíka Si_3N_4)



5. Keramika

- Obsahuje: viac kryštalických fáz a často aj fázu sklenú
- Štruktúra: heterogénna, polykryštalická a polyfázová
 - makroskopicky: homogénny materiál → jednotlivé zrná sú usporiadane náhodne, vnútri jednotlivých zrn sa však vlastnosti líšia → pnutie medzi jednotlivými kryštálmi (mikronapäťie)



5. Keramika

- Ovplyvnenie vlastností:
 - vlastnosti skla (sklenej fázy)
 - prítomnosť pórov
- vlastnosti:
 - vysoká pevnosť
 - krehkosť
 - nie sú tvárne (schopnosť plastickej deformácie – typická pre kovy)
 - nie sú húževnaté (schopnosť absorpcie energie pri porušovaní – typická pre kovy)

5. Keramika

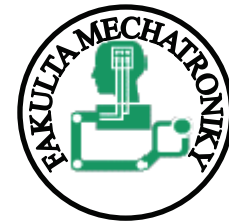
- Väzby:
 - iónová
 - kovalentná
- Pórovitost':
 - $P = (\rho - \rho_V) / \rho \cdot 100\%$
 - kde ρ_V je hmotnosť jednotkového objemu obsahujúceho póry
 - ak $P < 5\% \rightarrow$ keramika je vákuovo tesná
- Objemová hmotnosť:
 - 2500 až 3000 kg/m³

5.1 Deformácia



- Elastická deformácia
 - elasticky izotropná (polykryštalická keramika):
 - Youngov modul E; modul pružnosti v ťahu:
 - 70000 MPa (porcelán) až 480000 MPa (lisovaný SiC), resp. ešte viac (karbidy WC, TiC) alebo aj podstatne menej (keramika pre tepelné izolácie)
 - Poissonovo číslo $\nu = 0,17 - 0,36$ (v priemere 0,25)

5.1 Deformácia



- Anelastická deformácia
 - na rozdiel od kovov – neexistuje pohyb dislokácií, aj keď oni principálne pohyblivé sú

5.1 Deformácia



- Plastická deformácia
 - Dislokácie → iný význam ako u kovov → malá aktívna úloha v keramike
 - Iónové a kovalentné väzby → obmedzenie plastickej deformácie (dôvody: menší počet sklzových systémov, vyššie PN napätie) → pri nízkych a stredných teplotách sú hranice zrn prekážkou pohybu dislokácií
 - Skúša sa väčšinou tlakom (pri skúške ťahom dochádza k lomu už pri malej plastickej deformácii)

5.1 Deformácia

- Plastická deformácia

- von Misesovo kritérium (principiálne geometrické dôvody):

Pri plastickej deformácii polykryštalických materiálov musí mať mriežka 5 nezávislých sklzových systémov, aby jednotlivé zrná mohli nadobudnúť ľubovoľného tvaru → t. j. vzájomne sa prispôsobovať, nevznikajú medzi nimi trhliny

Pri veľa keramických materiálov toto splnené nie je → môže dôjsť k medzikryštalickému lomu skôr ako sa vynúti činnosť vedľajších sklzových systémov.

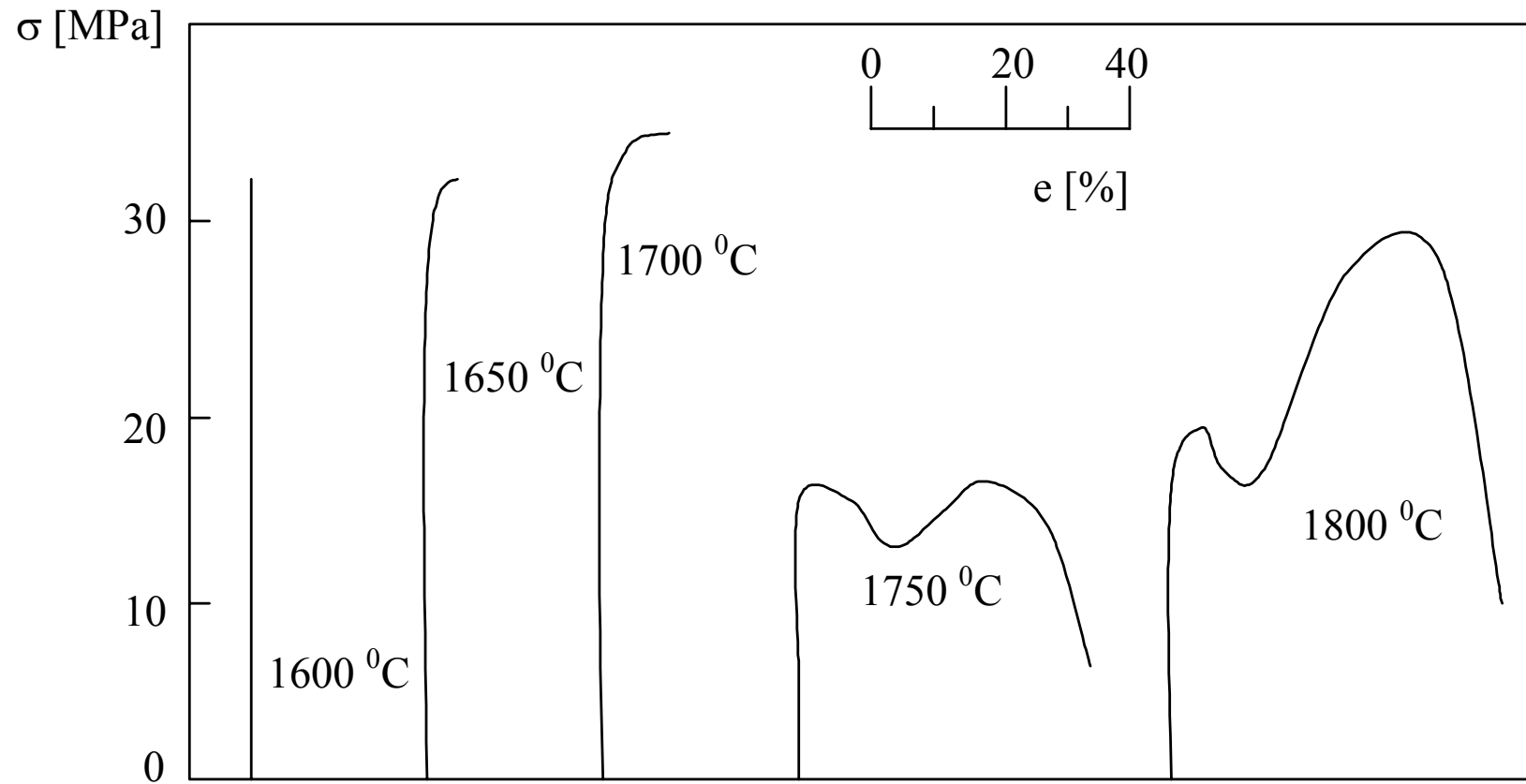
5.1 Deformácia



- Plastická deformácia
 - kovová väzba → málo závislá na presnom usporiadaní susediacich zrn a je blízka pevnosti vnútri zrn
 - kovalentné väzby → smerové, krátkeho dosahu → zmena najbližších susedov má vplyv na vlastnosti → zmenšenie pevnosti hranice zrn
 - keramika: pevnosť na hraniciach zrn cca 50% pevnosti vnútri zrn. Prímesi a póry znižujú pevnosť na hraniciach zrn o cca 1 rád

5.1 Deformácia

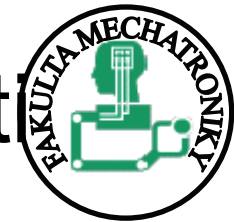
- Plastic deformácia



5.1 Deformácia

- Plastická deformácia
 - výrazná vlastnosť: existencia prechodovej teploty T_P , pod ktorou nie sú schopné plastickej deformácie, príčiny:
 - 1. nesplnenie von Misesovho kritéria (MgO)
 - 2. malá pohyblivosť dislokácií, veľké PN napätie (diamant)
 - 3. 1. + 2. (Al_2O_3 , SiO_2 ...)
 - + vlastnosti hranice zrn
 - pri niektorých keramických materiáloch dochádza k mäknutiu sklenej fázy, takže zvyšovanie teploty nad T_P nie je možné

5.2 Základné mechanické vlastnosti



- Pevnosť
 - Pružná deformácia až do okamihu náhleho lomu.
Prebieha makroskopicky krehký lom.
 - 1. porušenie je takmer stále vyvolané účinkom ťahových napäť
 - 2. pevnosť v tlaku je niekoľkonásobne ($10 \times$) vyššia ako pevnosť v ťahu
 - 3. pevnosť rovnakých vzoriek kolíše (10 – 30%)
 - 4. porušenie vychádza z povrchu
 - 5. priemerná pevnosť je tým menšia, čím menšie sú rozmery telesa (resp. zaťaženej oblasti)

5.2 Základné mechanické vlastnosti



- Pevnosť'

Materiál	Porce-lán	Steatit	Al_2O_3 99,5%	ZrO_2 stabilizovaný	MgO	SiC	Si_3N_4
E (GPa)	70-80	70-100	400	150- 210	200- 300	140- 300	210- 310
Rmo (MPa)	40-100	80-140	300- 400	100- 200	100	200- 400	600- 800

Rmo – pevnosť' v ohybe

5.2 Základné mechanické vlastnosti



- Pevnosť

S teplotou pevnosť keramiky klesá, za vysokých teplôt klesá rýchlejšie

5.2 Základné mechanické vlastnosti



- Pevnosť

faktory znižujúce pevnosť:

1. štruktúrne defekty atomárnych rozmerov
2. chyby a koncentrátorы napäti príslušiace mikroštruktúre keramiky
3. povrchové mikrotrhliny a chyby
4. trhliny a chyby vzniknuté nesprávnym technologickým postupom
5. rozdielnosť fyzikálnych vlastností jednotlivých fáz

5.2 Základné mechanické vlastnosti



- Pevnosť

faktory znižujúce pevnosť:

1. štruktúrne defekty atomárnych rozmerov
vplyv dislokácií → ešte viac znižujú pevnosť na
hraniciach zrň

5.2 Základné mechanické vlastnosti



- Pevnosť

faktory znižujúce pevnosť:

2. chyby a koncentrátory napäťí príslušiace mikroštruktúre keramiky

zrná navzájom, resp. zrná – sklená fáza, póry
(koncentrujú napäcia), nepravidelné tvary kryštalických
zrň

5.2 Základné mechanické vlastnosti



- Pevnosť

faktory znižujúce pevnosť:

3. povrchové mikrotrhliny a chyby

časť povrchových chýb je rovnakého charakteru ako vnútri keramiky (rozhrania zrn, póry, praskliny...).

Výraznejšie trhliny vznikajú pri mechanickom opracovaní (brúsenie, rezanie...), pri nárazoch a pod.

Nebezpečný je napr. úder letiacou časticou → zanedbatelná plasticita → vznik vysokých napäťí v mieste nárazu.

Ďalej: chemické reakcie a pod.

5.2 Základné mechanické vlastnosti



- Pevnosť

faktory znižujúce pevnosť:

4. trhliny a chyby vzniknuté nesprávnym technologickým postupom

nesprávne technologické postupy pri tvarovaní, sušení, vypaľovaní ...

5.2 Základné mechanické vlastnosti



- Pevnosť

faktory znižujúce pevnosť:

5. rozdielnosť fyzikálnych vlastností jednotlivých fáz
rozdielny súčinatel' teplotnej rozťažnosti
(mikronapäťia), rozdielnosť elastických konštant pri
deformácii vzorku (vzorka sa deformeuje ako celok)

5.2 Základné mechanické vlastnosti



- Pevnosť

faktory znižujúce pevnosť:

- + vplyv rozmerov telesa

s narastajúcimi rozmermi zaťaženej oblasti rastie pravdepodobnosť výskytu väčších a nebezpečných chýb

5.2 Základné mechanické vlastnosti



- Lomová húževnatosť

Lom (delenie telesa na 2, resp. viac častí), neprebehne v telesе naraz:

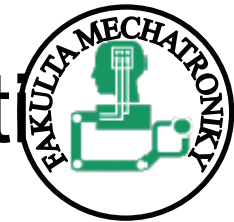
proces iniciácie trhliny

proces šírenia trhliny

Zárodok vzniká pri plastickej deformácii alebo pri výrobe (apriórne trhliny)

Typický lom: ***krehký***

5.2 Základné mechanické vlastnosti



- Lomová húževnatosť

Energia potrebná na vznik jednotkovej plochy trhliny → efektívna lomová energia V_{ef} :

$$V_{ef} = 2V_0 + V_{PL} + V_{Pr} + V_{kin}$$

V_0 – povrchová energia, pre pevné látky = 1 J/m² pri 0K

V_{PL} – energia absorbovaná pri pohybe dislokácií pred čelom trhliny (zvyčajne sa mení na teplo)

V_{Pr} – energia absorbovaná pred čelom trhliny inými procesmi (napr. mikrotrhliny)

V_{kin} – kinetická energia (zanedbateľná)

5.2 Základné mechanické vlastnosti



- Lomová húževnatosť

húževnatosť kovov → plastická zóna pred čelom trhliny
so silnou absorbciou energie → $V_{Pl} = 10^4\text{-}10^5 \text{ J/m}^2$ (o niekoľko rádov viac ako $2V_0$)

keramika: nevytvorí sa účinná plastická zóna

5.2 Základné mechanické vlastnosti



- Lomová húževnatosť

Lomová húževnatosť K_{IC} :

$$K_{IC} = \sqrt{\frac{EV_{ef}}{1 - \nu^2}}$$

5.2 Základné mechanické vlastnosti



- Lomová húževnatosť

	Kovy	Keramika
K_{IC} [MPa.m ^{1/2}]	50-200	1-10

- Keramika nemá dostatočnú ochranu proti šíreniu trhliny!

5.2 Základné mechanické vlastnosti



- Metódy zvyšujúce pevnosť a lomovú húževnatosť
- Zvyšovanie pevnosti:
 - Zmenšenie veľkosti kritických chýb (technológia výroby, dodržiavanie technologických postupov)
 - Znižovanie vnútorných napäti - zmenšovanie veľkosti zrn (zhoršia sa energetické podmienky pre šírenie trhliny)
 - povrchové ochranné vrstvy (glazúry a pod.)

5.2 Základné mechanické vlastnosti



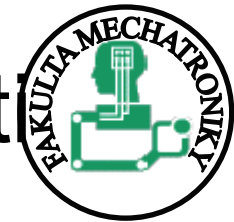
- Metódy zvyšujúce pevnosť a lomovú húževnatosť
- Zvyšovanie lomovej húževnatosti:
 - výrazné zvýšenie pevnosti hranice zrn
 - zvýšenie manévrovateľnosti dislokácií (prímesy)
 - zvýšenie hustoty pohyblivých dislokácií
 - technológie znižujúce prechodovú teplotu
 - vývoj viacfázových keramických materiálov

5.2 Základné mechanické vlastnosti



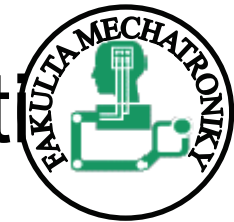
- Metódy zvyšujúce pevnosť a lomovú húževnatosť
- Zvyšovanie lomovej húževnatosti – koef. K_{IC} :
 - optimalizácia mikroštruktúry
 - využitie procesov tieniacich špici trhliny (transformačné spevnenie)
 - vytváranie kompozitov

5.2 Základné mechanické vlastnosti



- Optimalizácia štruktúry
 - obmedzenie sklenej fázy (trhlina sa šíria práve cez túto fázu)
 - minimalizácia veľkosti zrna + homogénna mikroštruktúra (zmenšovanie zrna má svoje hranice → v skle sa šíri trhlina dobre) – optimálne veľkosti zrna = desatiny μm
 - tvar zŕn (+ prísady – nečistoty)

5.2 Základné mechanické vlastnosti



- Transformačné spevnenie
 - transformačná zóna = oblasť pred čelom trhliny
 - vhodné prísady + špeciálne tepelné spracovanie
 - technológia miešania chemických prvkov
 - úspech: cca 3 x lepšie parametre V_{ef} , R_{mo}

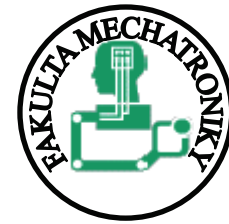
5.2 Základné mechanické vlastnosti



- Vytváranie kompozitov
 - vkladanie vlákien z iného materiálu, tieto pomáhajú prenášať zaťaženie (molybdénové vlákna, vlákna z legovaných ocelí, wolfrámové vlákna...). Ich priemer → μm , dĺžka → mm.

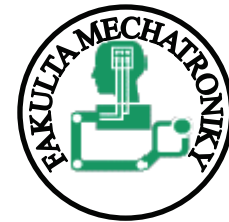
Nevýhoda: obmedzenie teploty použitia

5.3 Lom po dlhodobej degradácii



- Lom koróziou pod napäťím
- Únavový lom
- Creepový lom
- V keramike môže nastať krehký lom alebo môže dôjsť k podkritickému šíreniu trhliny vplyvom koróznych procesov, cyklického zaťaženia alebo difúznych pochodov.

5.3 Lom po dlhodobej degradácii



- Lom koróziou pod napäťom
- Šírenie trhlín vplyvom tepelnej aktivácie alebo chemickej reakcie s prostredím (aj účinkom vodných pár)
- Príčina: statická únava → pri záťaži konštantným napäťom trhlina rastie, až po určitej dobe t_f (doba života, životnosť) dosiahne kritickej dĺžky a_c a prebehne krehký lom.

5.3 Lom po dlhodobej degradácii

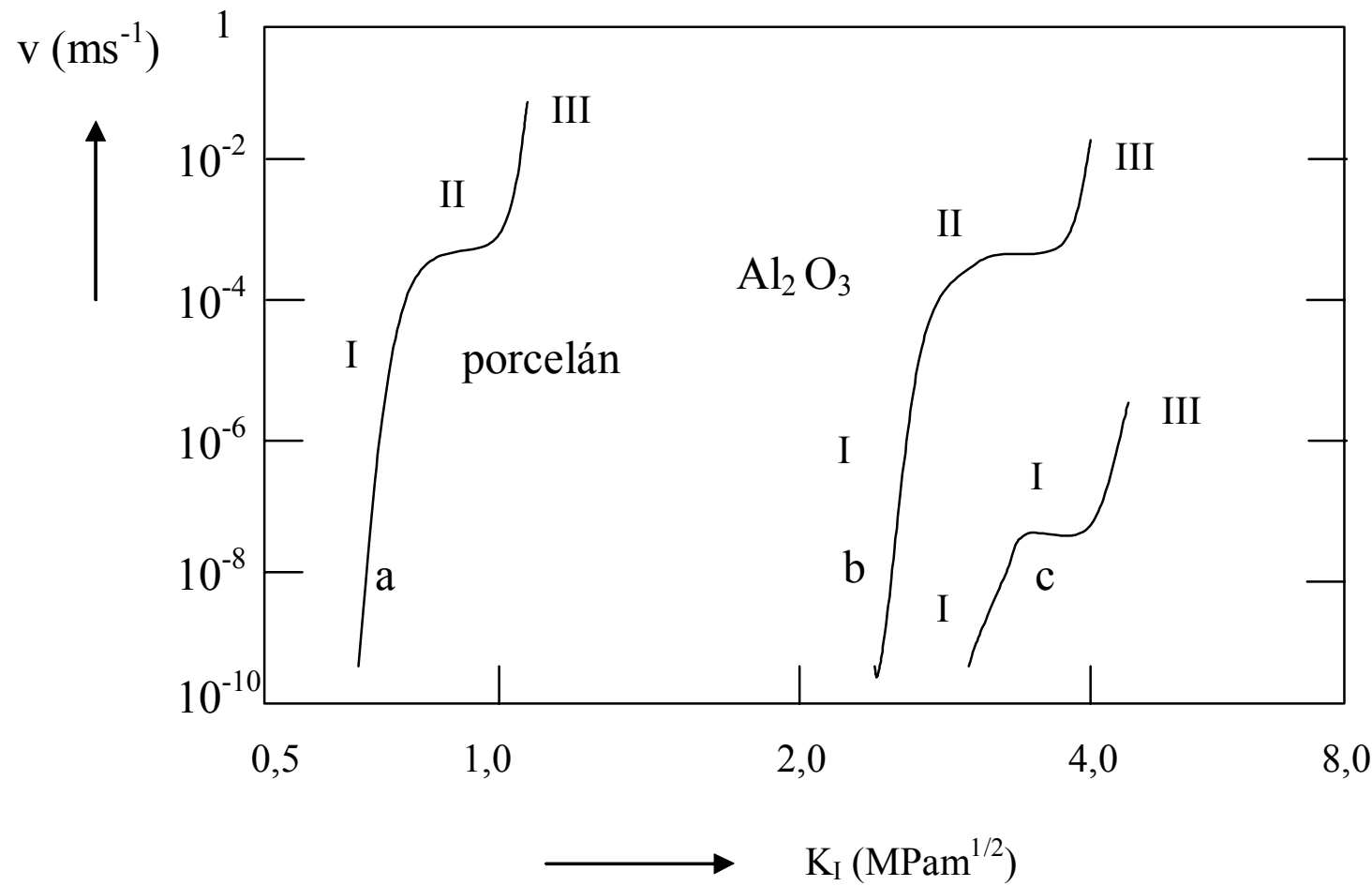


- Lom koróziou pod napäťím
- charakteristiky:
napr.: rýchlosť šírenia trhliny vs. faktor intenzity
napäťia

5.3 Lom po dlhodobej degradácii



- Lom koróziou pod napäťím



5.3 Lom po dlhodobej degradácii



- Únavový lom
 - Cyklické zaťaženie → únavový lom, existuje i v keramike,
 - Faktory: štruktúra materiálu, charakter zaťažovania (ťah, tlak resp. ich kombinácia)

5.3 Lom po dlhodobej degradácii

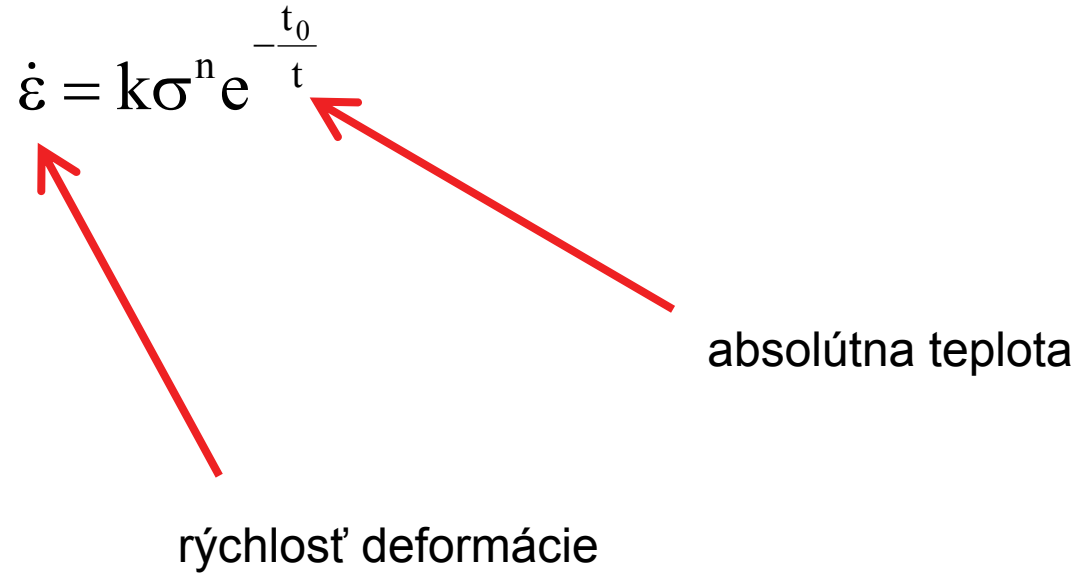


- Creepový lom
 - vysoké teploty + nízke napäťia → tečenie (pri dlhodobom zaťažení)
 - trvalá deformácia (podľa teploty) môže byť až niekoľko percent → susediace zrná nestačia prispôsobiť svoje tvary deformácii → vzniká množstvo mikrotrhlín. Vplyv má i prítomnosť sklenej fázy.

5.3 Lom po dlhodobej degradácii



- Creepový lom



Tečenie pri keramike: od $0,5 T_m$ (teplota topenia) –
prítomnosť pórom a sklenej fázy

5.3 Lom po dlhodobej degradácii

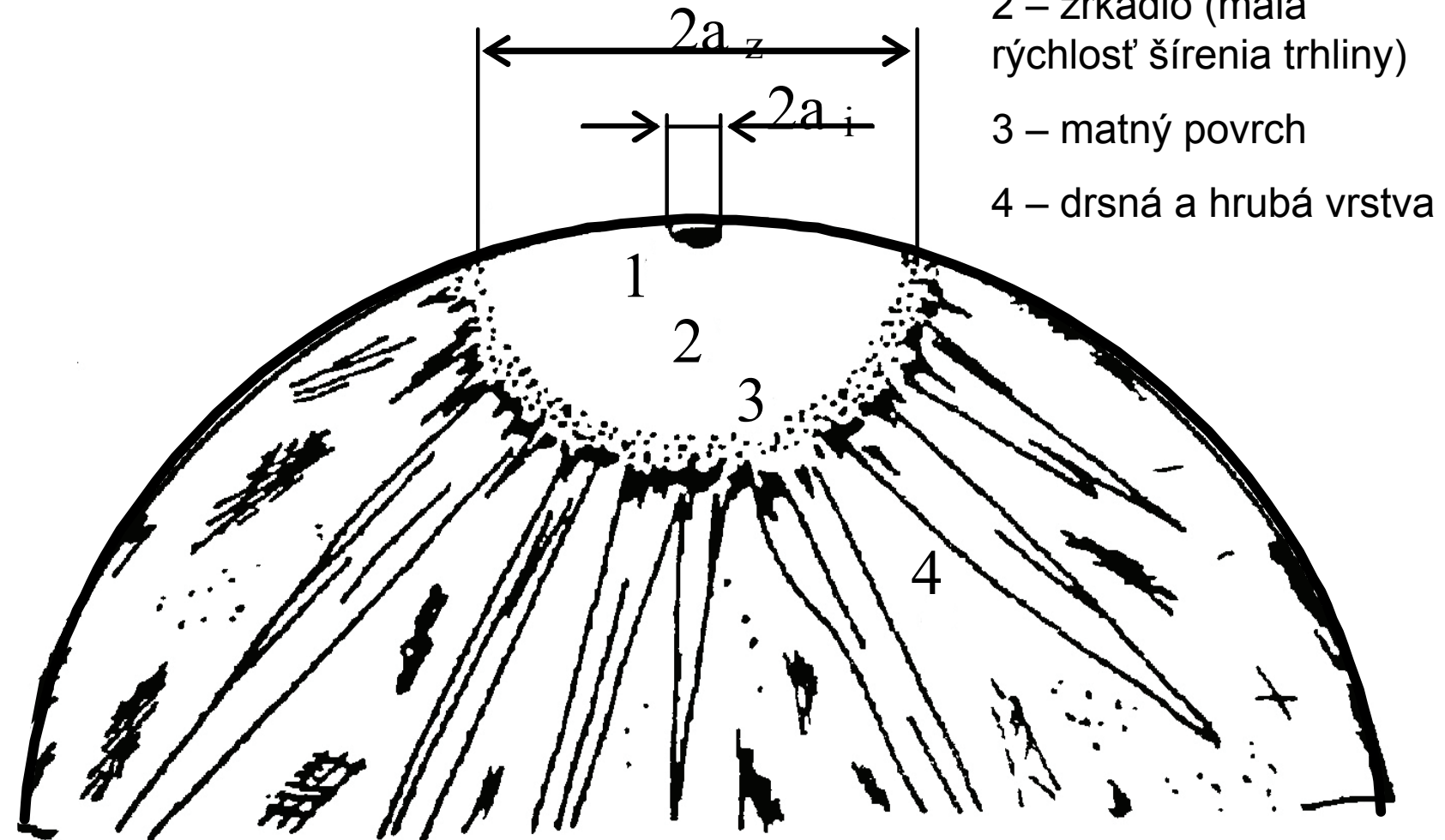


- Morfológia lomovej plochy
 - rovná plocha pri krehkom lome ako aj pri lome po dlhodobej degradácii

5.3 Lom po dlhodobej degradácii



- Morfológia lomovej plochy



1 – ohnisko lomu

2 – zrkadlo (malá rýchlosť šírenia trhliny)

3 – matný povrch

4 – drsná a hrubá vrstva

6. Plasty

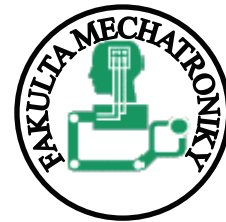


- Fyzika deformácie a porušenia
- Základné mechanické vlastnosti
- Medzné stavy

6.1 Fyzika deformácie a porušenia



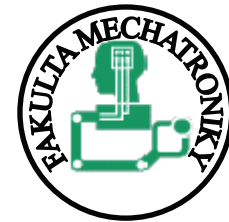
- deformácie
- porušovanie
- popis deformačných vlastností



6.1 Fyzika deformácie a porušenia

- Polyméry – dlhé reťazce → prepojenie atómov silnými kovalentnými väzbami → obtiažna elastická deformácia
- Vnútri reťazca: rotácia → ak je uhol prepojenia prvkov reťazca $< 180^\circ$ → makroskopicky: ohybnosť
- medzireťazcové väzby → Van der Waalsovho typu. Ovplyvnenie: vonkajšia sila, zvýšená teplota

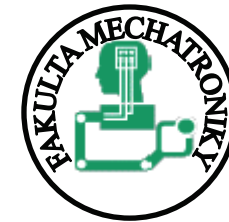
6.1 Fyzika deformácie a porušenia



Deformácie:

- vysoké teploty → prekonanie medzireťazcových väzieb → voľný posun častí → správanie sa kvapaliny. Vzťahy: rovnaké ako v hydrodynamike (Eyringova rovnica)

6.1 Fyzika deformácie a porušenia



Deformácie

- Pohyb molekúl po sebe → prekonanie bariéry medzi dvomi metastabilnými polohami
- Bez vonkajšieho namáhania → pravdepodobnosť pohybu vo všetkých smeroch rovnaká
- Vonkajšie namáhanie → zníženie energetickej bariéry v smere silového poľa (o hodnotu úmernú tomuto pôsobeniu) a naopak, zvýši o túto hodnotu v opačnom smere. Výsledok → makrospokický pohyb kvapaliny



6.1 Fyzika deformácie a porušenia

Deformácie

kde

$$\frac{d\gamma}{dt} = 2 \frac{nl}{h} KT^{-\frac{\delta F}{KT}} \cdot \sinh \frac{\tau l}{2NKT}$$

γ je šmyková deformácia

t čas

τ šmykové napätie

l dĺžka preskoku segmentu

K Boltzmanova konštanta

T absolútna teplota

δF aktivačná voľná energie preskoku

n hustota procesov na jednotku dĺžky

N hustota procesov na jednotku plochy

h Planckova konštanta

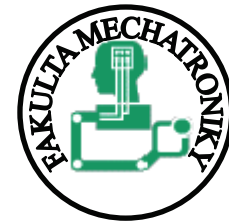
6.1 Fyzika deformácie a porušenia



Deformácie:

- Rozdiel medzi ideálnym chovaním sa kvapaliny a „polymérovej kvapaliny“ → závislosť viskozity μ na rýchlosťi deformácie $d\gamma/dt$

6.1 Fyzika deformácie a porušenia



Deformácie:

- ak sú polymérové reťazce prepojené chemickými väzbami → „kaučuková“ pružnosť:

Sila pôsobiaca na teleso v smere vonkajšej deformácie:

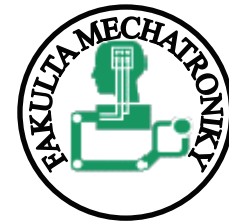
$$f = \frac{dF}{dx}$$

kde F je voľná energia:

$$F = U - TS$$

U – energia systému, S – entropia, T – absolútна teplota

6.1 Fyzika deformácie a porušenia



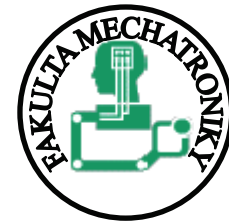
Deformácie:

- pri deformácii kryštálov sa usporiadanosť nemení
→ nemení sa ani entropia
- V prípade naťahovania polymérového reťazca z „klbka“ entropia klesá, U ostáva konštantné → polymérová siet pôsobí proti deformácii:

$$f = -T \frac{dS}{dx}$$

(s rastúcou teplotou sila stúpa!)

6.1 Fyzika deformácie a porušenia



Deformácie:

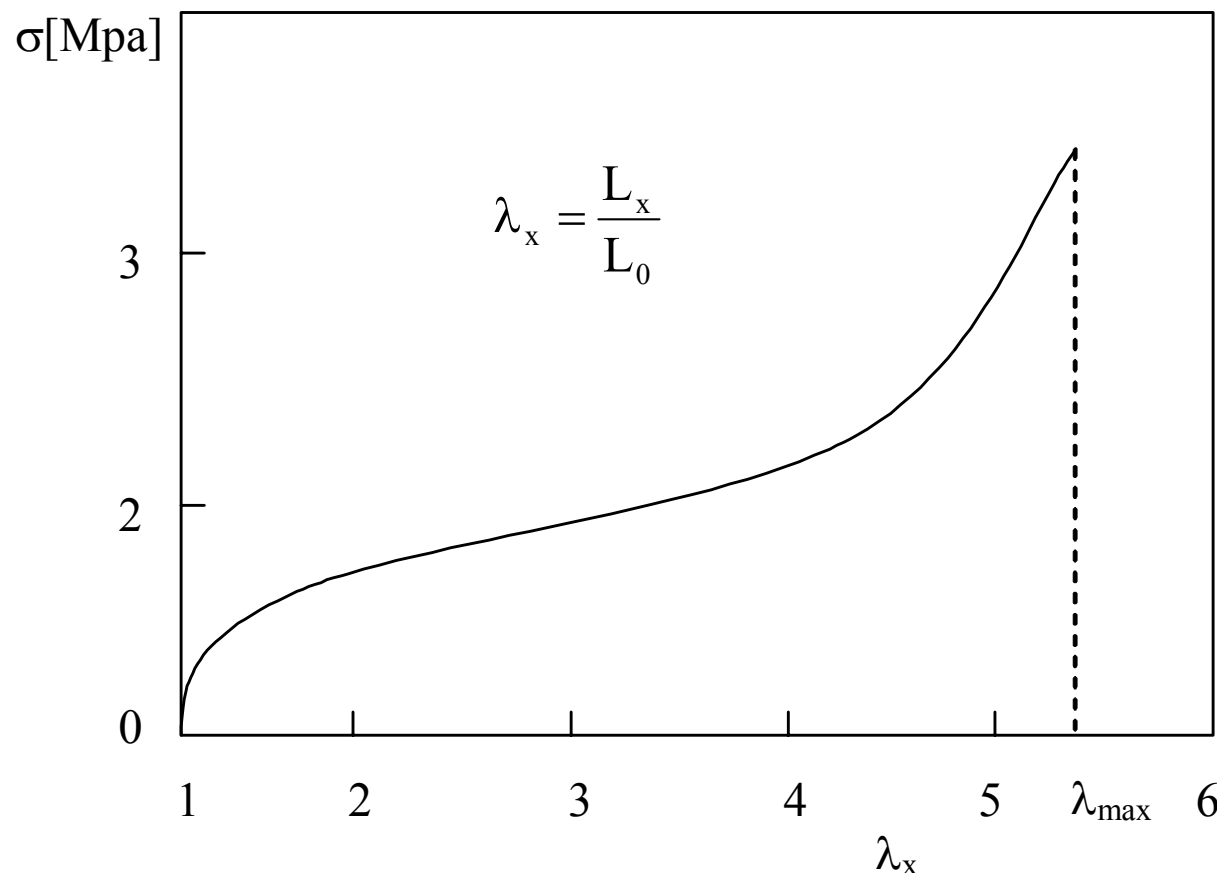
- Teplotná závislosť entropie polymérovej siete → rovnice podobné stavovým rovniciam ideálneho plynu
- obmedzenia:
 - konečná dĺžka reťazcov
 - konečný počet aktívnych reťazcov

6.1 Fyzika deformácie a porušenia

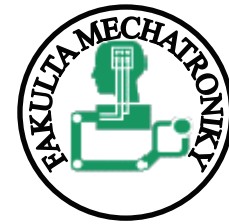


Deformácie:

- namáhanie tāhom:

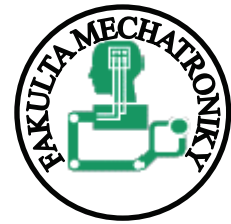


6.1 Fyzika deformácie a porušenia



Deformácie:

- ďalšie vlastnosti kaučukovej pružnosti:
 - existuje veľké množstvo priestorových usporiadaní → pri rýchlej deformácii sa tieto nestačia zrealizovať → uvedené vzťahy medzi deformáciou a napäťom neplatia

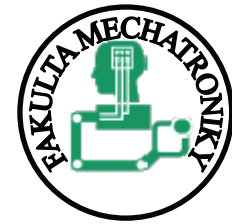


6.1 Fyzika deformácie a porušenia

Deformácie:

- iné typické deformácie väzieb medzi atómmi spojené so zmenou vnútornej energie U :
 - deformácie dĺžky vnútorných väzieb retázca
 - deformácie uhlov väzieb
 - deformácie slabých medzimolekulárnych väzieb

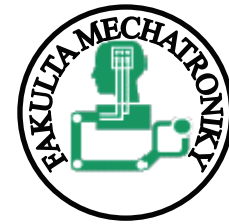
6.1 Fyzika deformácie a porušenia



Deformácie:

- Viskoelastické látky →
dlhodobé hľadisko = kvapalina
krátkodobé hľadisko = pružná látka

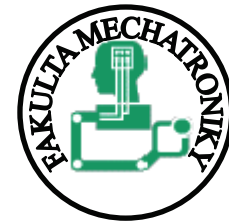
6.1 Fyzika deformácie a porušenia



Deformácie:

- Plasty → väčšinou dôležitá nadmolekulárna štruktúra → heterogénne látky, jednotlivé fázy sa líšia v
 - hustote
 - stupni usporiadania
 - chemickom zložení

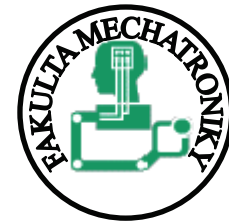
6.1 Fyzika deformácie a porušenia



Porušovanie:

- Pri deformácii môže dôjsť k porušeniu väzieb → treba na to dostatok energie (chemická, žiarenie, vplyv vonkajších síl a pod.)
- zdanie = treba dostatočne veľkú vonkajšiu silu. Atómy však vykonávajú aj tepelný pohyb → môže dôjsť k lokálnemu nahromadeniu kinetickej energie.

6.1 Fyzika deformácie a porušenia



Porušovanie:

- Pravdepodobnosť, že dôjde k porušeniu väzby:

$$p = A^{-\frac{\delta F}{KT}}$$

- kde δF je aktivačná voľná energia (spojená s prekonaním energetickej bariéry väzby), K je Boltzmanova konštanta

6.1 Fyzika deformácie a porušenia



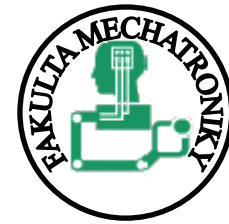
Porušovanie:

- Voľná energia sa môže znížiť o pôsobenie vonkajších síl f o hodnote $f.l$, kde l je rozdiel vzdialenosťi atómov pri porušovaní väzby:

$$p = A \frac{-\delta F - fl}{KT}$$

- („A“ môže byť elastická konštanta G , šmyková deformácia, teplota a pod.)

6.1 Fyzika deformácie a porušenia



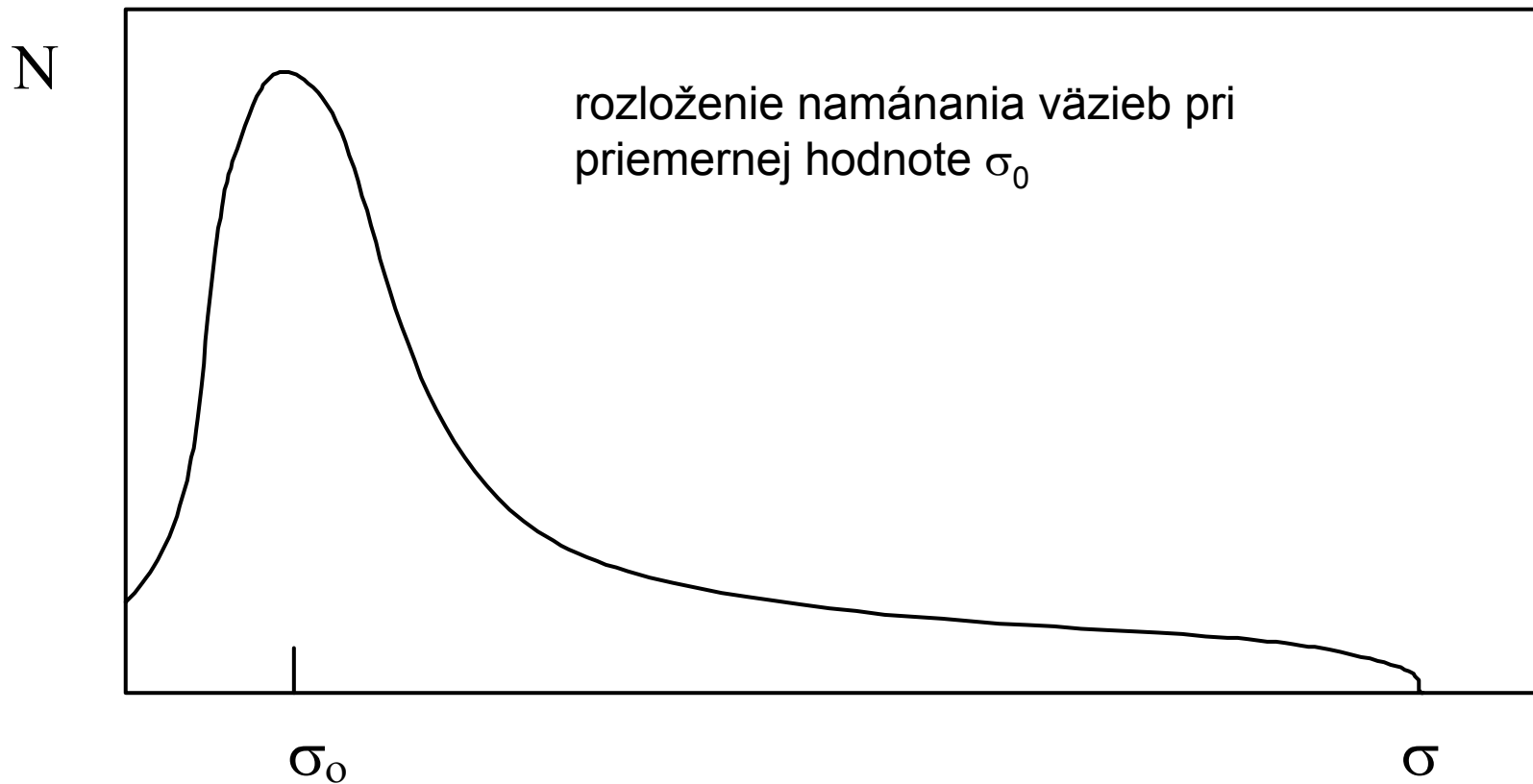
Porušovanie:

- Za určitých okolností môže dôjsť po porušení väzby medzi dvomi atómami opäť k ich spojeniu, alebo, odtrhnuté atómy dodajú svoju nadbytočnú energiu susedom a dôjde k reťazovej reakcii trhania makromolekúl

6.1 Fyzika deformácie a porušenia



Porušovanie:



6.1 Fyzika deformácie a porušenia



Porušovanie:

- O odolnosti polymérov rozhoduje:
 - pevnosť primárnych väzieb
 - pravdepodobnosť spojenia porušených reťazcov
 - pravdepodobnosť prenosu voľnej energie na ďalšie reťazce

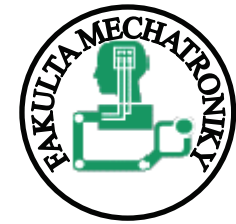
6.1 Fyzika deformácie a porušenia



Popis deformačných vlastností:

- Vykazujú sa vlastnosti kvapalín i pružných látok, prejavuje sa to hlavne:
 - tečením → ak je teleso z polyméru pod stálym mechanickým napäťom,
 - relaxáciou napäťia → pri deformácii o konštantnej hodnote s časom napäťia v telese klesnú,
 - hysteréziou → pri periodickom zatážovaní je deformácia posunutá voči napätiu (hysterézna slučka)

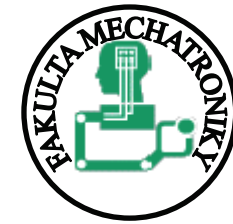
6.1 Fyzika deformácie a porušenia



Popis deformačných vlastností:

- Modely:
 - Maxwellov model
 - Kelvinov (Voigtov) model

6.1 Fyzika deformácie a porušenia

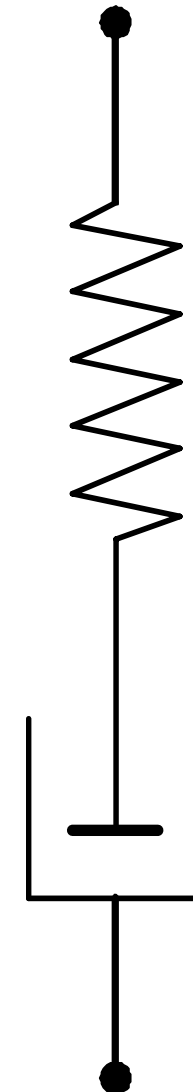


Popis deformačných vlastností:

Maxwellov model

$$\frac{d\gamma}{dt} = \frac{1}{G} \frac{d\tau}{dt} + \frac{\tau}{\mu}$$

kde μ je viskozita, γ deformácia
 τ šmykové napätie, G modul
pružnosti v šmyku



pružný prvok - G

viskozita - μ

6.1 Fyzika deformácie a porušenia



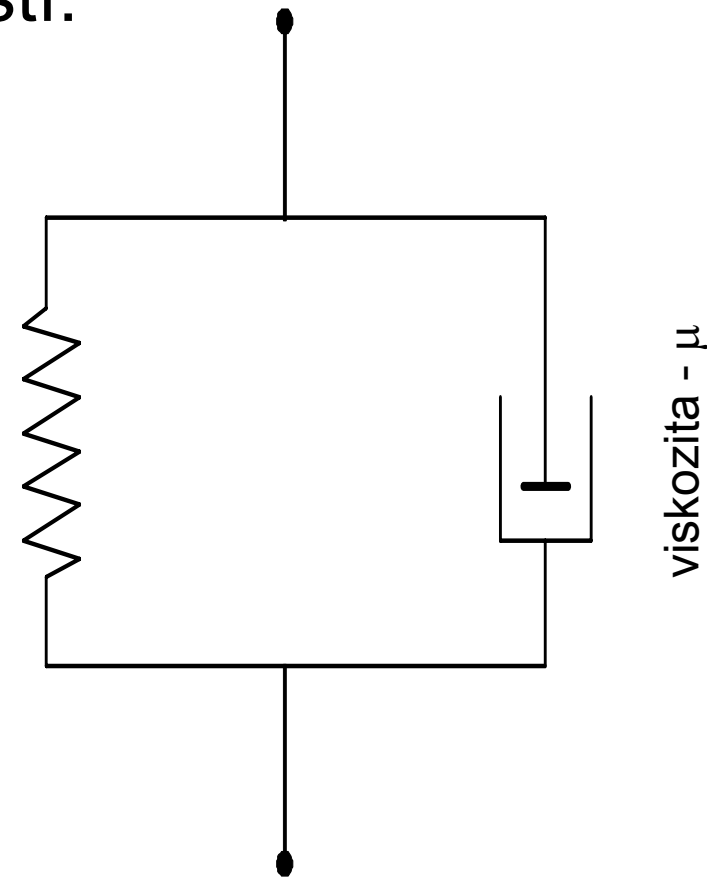
Popis deformačných vlastností:

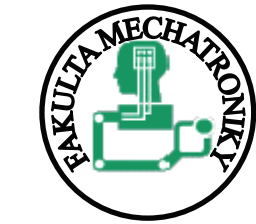
Kelvinov (Voigtov) model

$$\tau = G\gamma + \mu \frac{d\gamma}{dt}$$

kde μ je viskozita, γ deformácia
 τ šmykové napätie, G modul
pružnosti v šmyku

pružný prvok - G





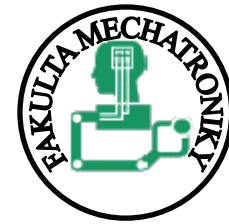
6.1 Fyzika deformácie a porušenia

Popis deformačných vlastností:

Výsledok → diferenciálne rovnice, treba ich vyriešiť
→ dostatočne presne popisujú chovanie sa
plastov len pri určitom type namáhania:

Maxwell → relaxácia napätí
Kelvin → tečenie (creep)

6.1 Fyzika deformácie a porušenia



Popis deformačných vlastností:

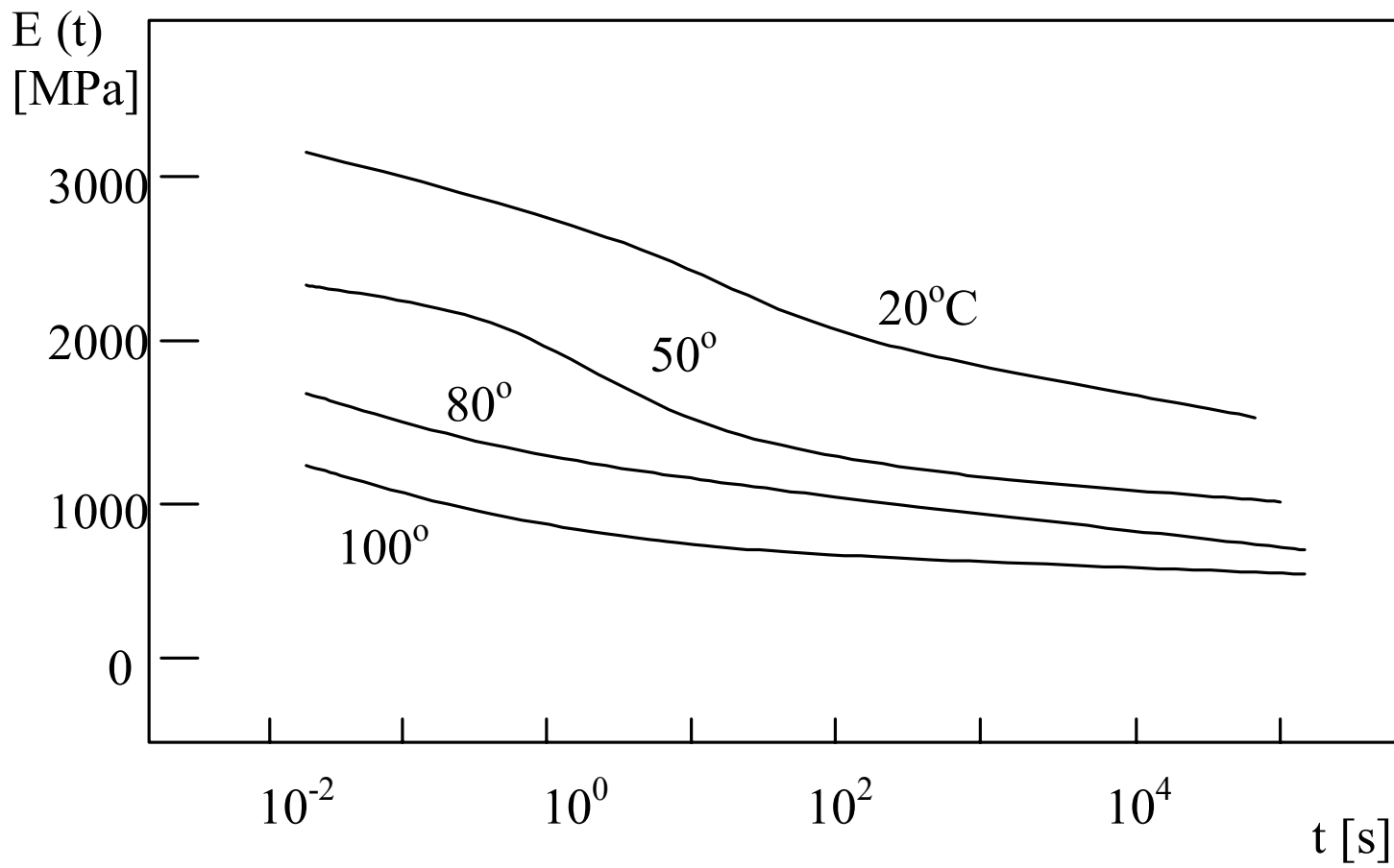
Model:	Tečenie	Relaxácia
Maxwell	$\gamma = \gamma_0 + \frac{\tau_0}{\mu} t$ $\tau = \tau_0$	$\tau = G\gamma_0 e^{-\frac{tG}{\mu}}$ $\gamma = \gamma_0$
Kelvin	$\gamma = \frac{\tau_0}{G} \left(1 - e^{-\frac{tG}{\mu}} \right)$ $\tau = \tau_0$	$\tau = G\gamma_0$ $\gamma = \gamma_0$

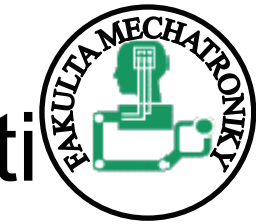
6.1 Fyzika deformácie a porušenia



Popis deformačných vlastností:

Príklad: creepový modul v ťahu (nameraný)





6.2 Základné mechanické vlastnosti

- Sklené polyméry
- Kryštalické polyméry
- Elastomery

6.2 Základné mechanické vlastnosti



Sklené polyméry (= sklené plasty)

- amorfné polyméry pod teplotou skleného prechodu:
 - polystyrén
 - nemákčený polyvinylchlorid (PVC)
 - polymetylmetakrylát (PMMA)

6.2 Základné mechanické vlastnosti

Sklené polyméry

- Malé deformácie:

Slabé medzireťazcové väzby (Youngov modul pružnosti = 1 GPa) → pri dlhom pôsobení napäťia môže prísť k preskoku atómov alebo celých segmentov medzi dvomi metastabilnými polohami

Pri krátkodobom pôsobení a za nízkych teplôt sa viskózne vlastnosti neprejavia → elastické správanie sa → platia tu klasické vzťahy (Youngov modul, Poissonova konšanta, elastické konštandy...)

6.2 Základné mechanické vlastnosti

Sklené polyméry

- Veľké deformácie:

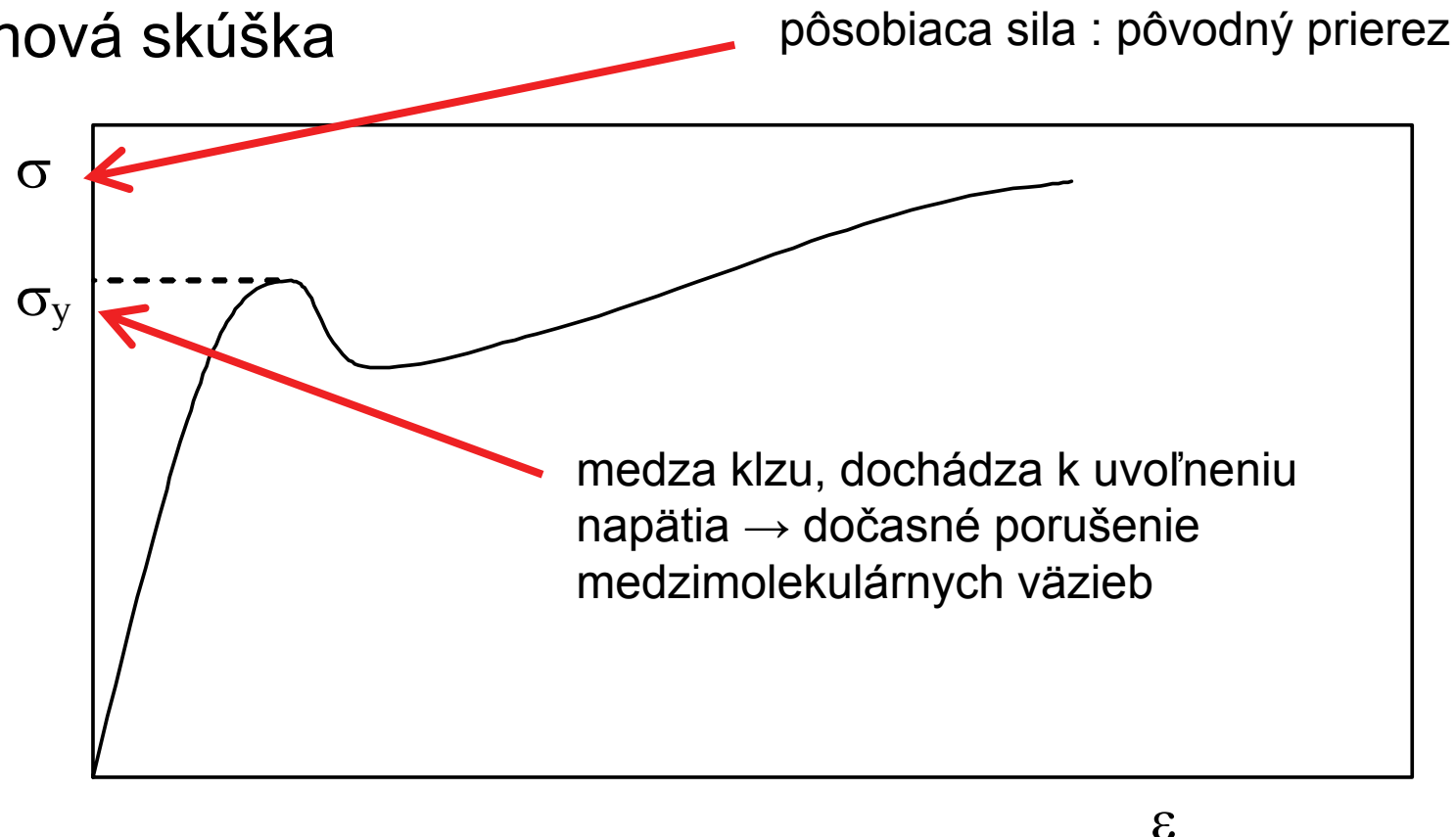
Veľká deformácia = nelineárne správanie sa + plasticita.

Metódy skúmania: totožné s metódami pre neviskoelastické materiály (pri stálej teplote a konštantnej rýchlosťi)

6.2 Základné mechanické vlastnosti

Sklené polyméry

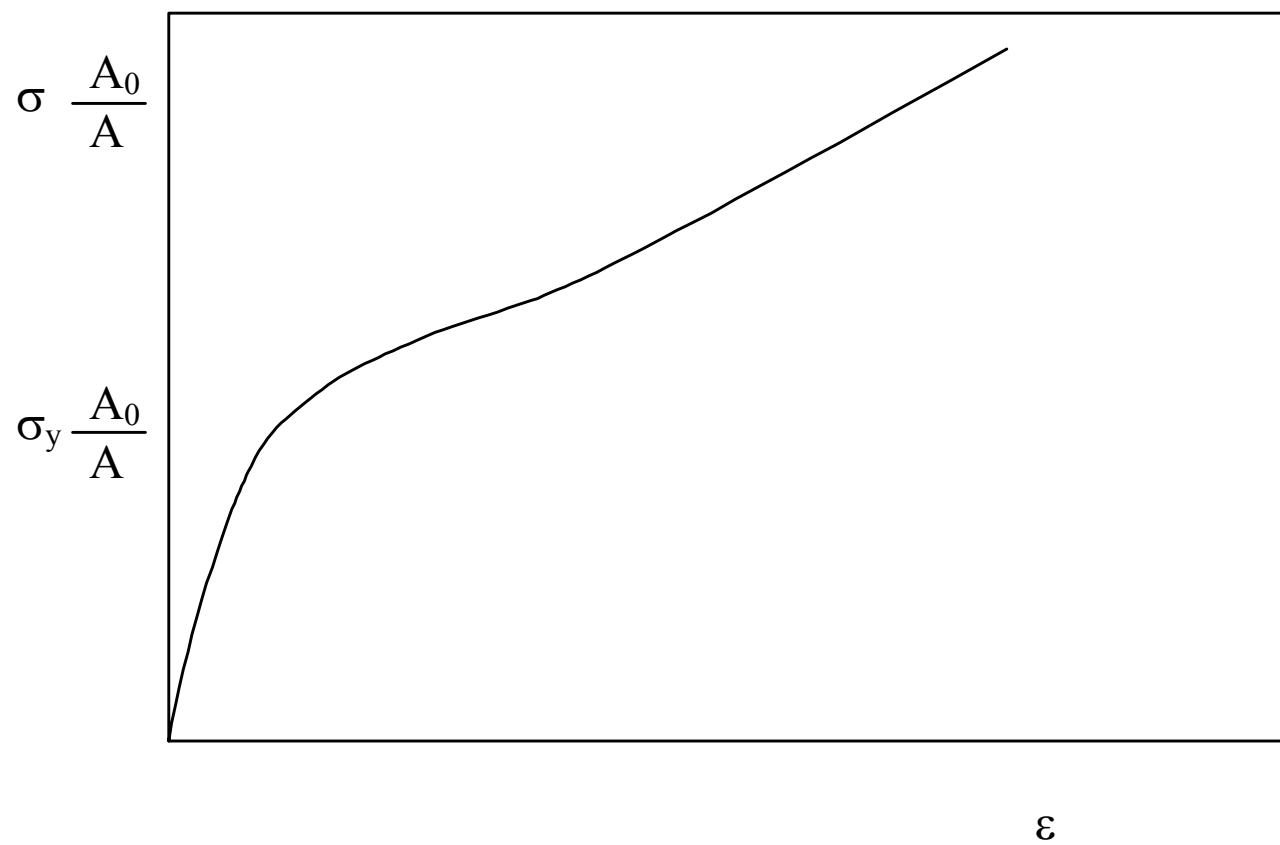
- Veľké deformácie:
 - tāhová skúška



6.2 Základné mechanické vlastnosti

Sklené polyméry

- Veľké deformácie:
 - tāhová skúška pri zohľadnení zmenšujúceho sa prierezu



6.2 Základné mechanické vlastnosti

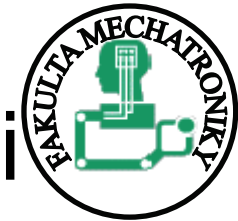
Sklené polyméry

- Veľké deformácie:

$$\sigma_y = a + b \cdot \log \frac{de}{dt}$$

- a, b materiálové konštanty, $a = f(T)$, $b = f(T)$
- de/dt rýchlosť deformácie

6.2 Základné mechanické vlastnosti



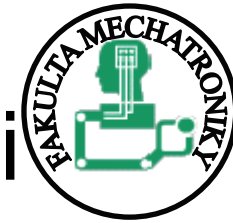
Sklené polyméry

- Veľké deformácie:

Striebrenie → u sklených polymérov:

plastická deformácia v transparentných polyméroch je sprevádzaná vznikom malých strieborných oblastí (vzhľadom podobných trhline) pri ďalšom zaťažení z nich môžu vzniknúť trhliny ich vznik je ovplyvnený nečistotami (hlavne na povrchu)

6.2 Základné mechanické vlastnosti



Sklené polyméry

- Veľké deformácie:

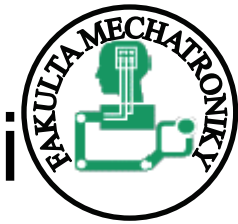
Striebrenie → u sklených polymérov:

ich vznik je ovplyvnený prítomnosťou kvapalín a plynov

pri nižšej teplote a väčšej rýchlosťi ich vzniká väčšie množstvo

sú to oblasti diskovitého tvaru 10-1000 nm hrubé o priemere 0,1 - 10 mm

6.2 Základné mechanické vlastnosti



Sklené polyméry

- Veľké deformácie:

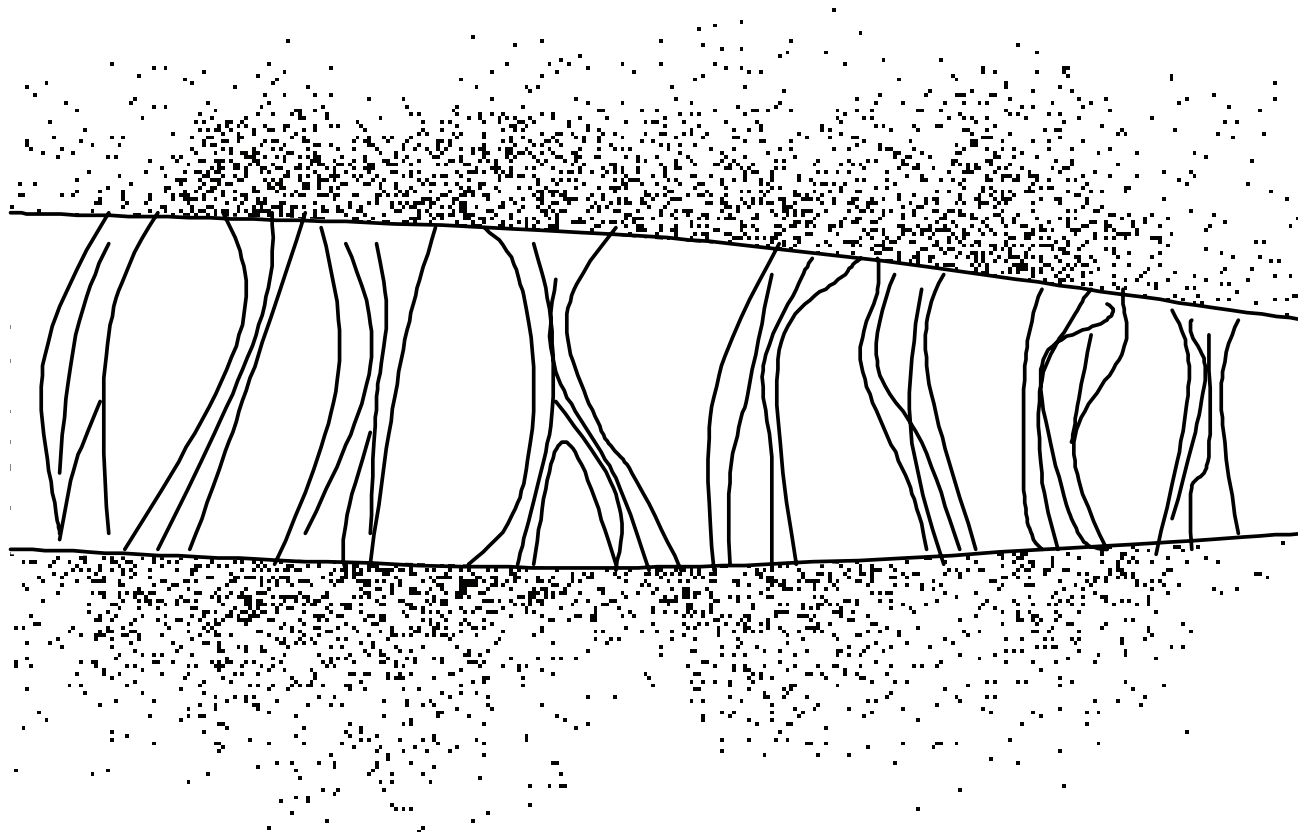
Striebrenie → u sklených polymérov:

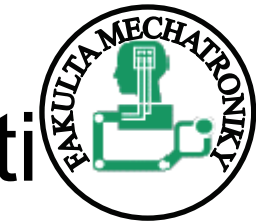
menšia hustota → menší index lomu → optické zviditeľnenie

6.2 Základné mechanické vlastnosti

Sklené polyméry

- Veľké deformácie: Striebrenie → u sklených polymérov:





6.2 Základné mechanické vlastnosti

Kryštalické polyméry

- čisté kryštalické polyméry prakticky neexistujú, výsledné mechanické vlastnosti majú charakter ako amorfnych plastov, tak čisto kryštalických látok

6.2 Základné mechanické vlastnosti

Kryštalické polyméry

- Malé deformácie:
 - amorfna fáza pod teplotou skleného prechodu → deformácie ako doteraz
 - amorfna fáza nad teplotou skleného prechodu → kaučuk (oveľa menší modul pružnosti)

Polyetylén: Youngov modul $E \sim 1/(1-c)$

kde c je stupeň kryštalinity

6.2 Základné mechanické vlastnosti

Kryštalické polyméry

- Malé deformácie:

kovalentná väzba pozdĺž reťazca

Van der Waalsova väzba
kolmo k reťazcu

E [GPa]	kryštalická fáza	kryštalická fáza	vzorka polyméru
Polyetylén	240	4	~ 1,0
Polypropylén	42	3	~ 1,1

- Silná anizotropia!

6.2 Základné mechanické vlastnosti

Kryštalické polyméry

- Veľké deformácie:

- vplyv kryštalickej fázy reťazce sa môžu vytahovať z lamiel. Medza klzu:

$$\sigma_y = A \cdot c + B$$

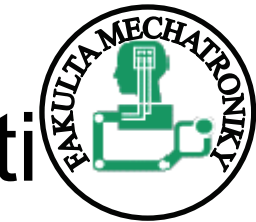
c = stupeň kryštalinity, A, B konštandy

- vznik strieborných plôch prevažne v amorfnej fáze a v menšom množstve, vlastnosti silne ovplyvnené nadmolekulárrou štruktúrou.



6.2 Základné mechanické vlastnosti Elastomery

- Zosietované elastomery (gumy, kaučuk...)
- Fyzikálne modifikované elastomery (kaučuk)
- Nezosietované elastomery (fólie, tmely)



6.2 Základné mechanické vlastnosti

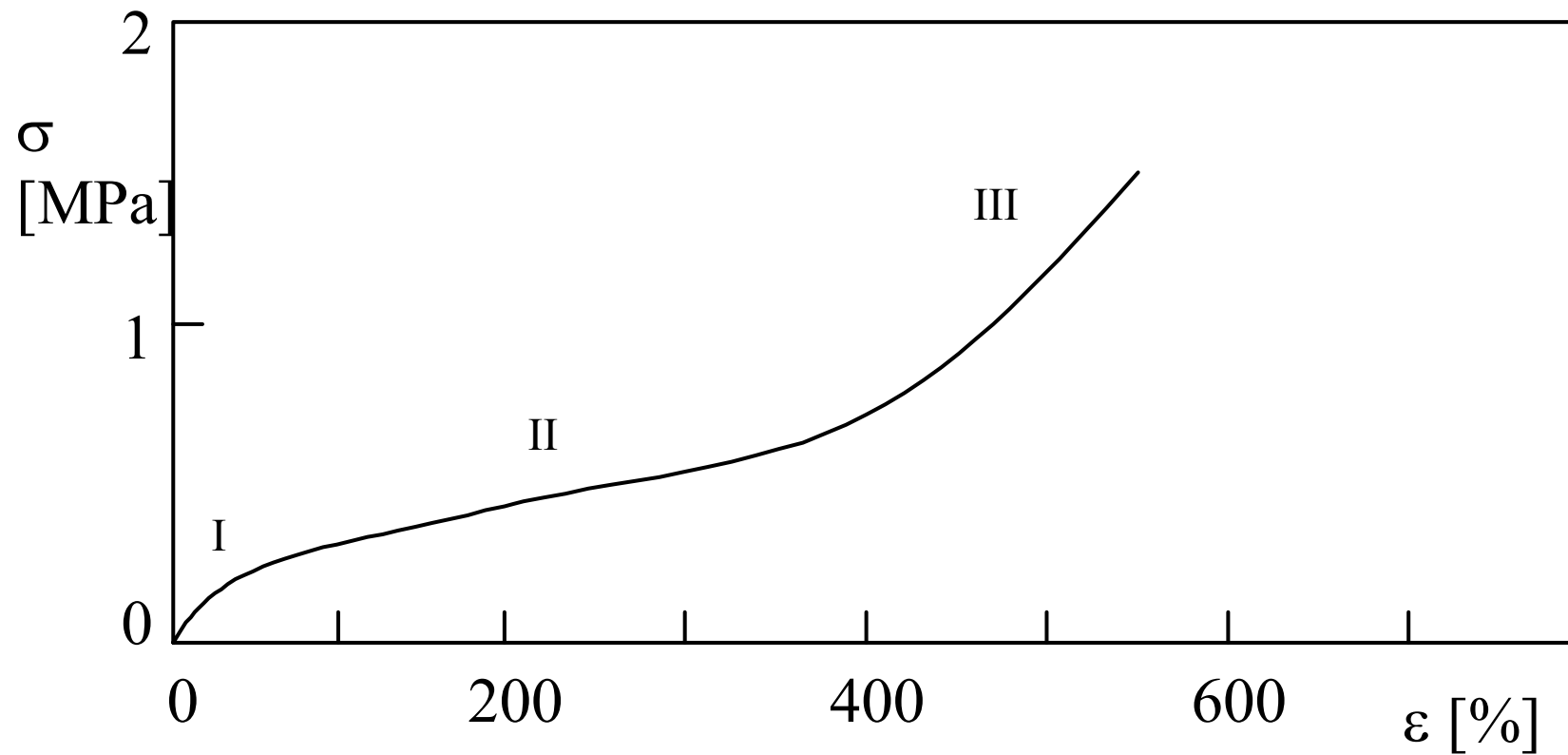
Elastomery - zosietované elastomery

- guma, kaučuk
- ľahká deformovateľnosť, pružnosť
- navonok: viac homogénne v porovnaní s tuhými plastmi (mechanické vlastnosti)

6.2 Základné mechanické vlastnosti

Elastomery - zosietované elastomery

typická ťahová krivka:

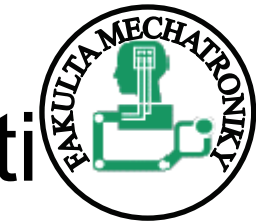


6.2 Základné mechanické vlastnosti

Elastomery - zosietované elastomery

typická ľahová krivka:

oblasť I: modul pružnosti v nábehovej časti: 1-10 MPa, pri dostatočne vysokých teplotách medzimolekulárne sily nie sú schopné zabrániť vzájomnému šmykovému posunu reťazcov po sebe

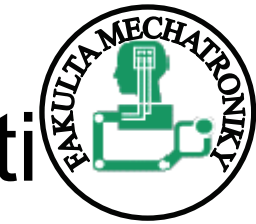


6.2 Základné mechanické vlastnosti

Elastomery - zosietované elastomery

typická ľahová krivka:

oblasť II: Poissonova konštanta = 0,5 (bežné anorg. mat., alebo tvrdé plasty: 0,3) → objem látky zostáva konštantný → nestlačiteľný materiál (ľahká deformovateľnosť v šmyku nedovolí vnútri vzorku vznik napäti, ktoré by upravili medziatómové vzdialenosťi)

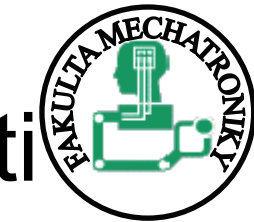


6.2 Základné mechanické vlastnosti

Elastomery - zosietované elastomery

typická ďahová krivka:

oblasť III: nárast deformačnej sily, obmedzená dĺžka
reťazcov



6.2 Základné mechanické vlastnosti

Elastomery - zosietované elastomery

typická ľahová krivka:

Pri vysokých rýchlosťach deformácie (resp. pri nízkych teplotách) nestihnú polymérové reťazce zaujať všetky možné polohy, stúpa viskozita aj veľkosť napäťia → deformujú sa medzimolekulárne aj vnútromolekulárne väzby



6.2 Základné mechanické vlastnosti

Elastomery – fyzikálne modifikované elastomery

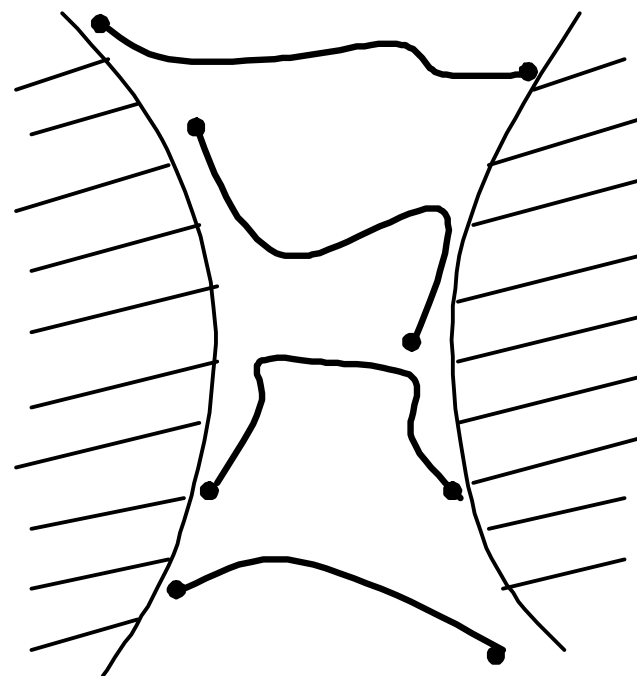
malé hodnoty modulu pružnosti → obmedzenie použitia.

zväčšenie hustoty použitia → zvýšenie tuhosti
(zároveň aj vzrast teploty skleného prechodu)

6.2 Základné mechanické vlastnosti

Elastomery – fyzikálne modifikované elastomery

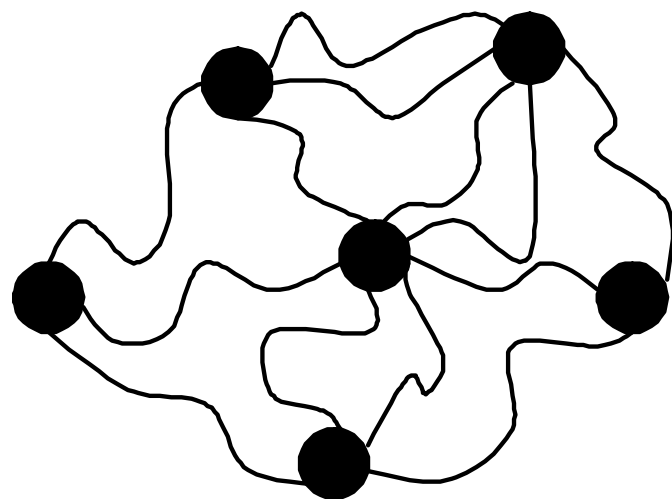
- kryštalizácia pozdĺžne natiahnutých reťazcov, kryštalické oblasti sa chovajú ako tuhé plnivo → zvýšenie modulu pružnosti (väčšinou vratný proces)
- u iných materiálov plnívá: sadze



6.2 Základné mechanické vlastnosti

Elastomery – fyzikálne modifikované elastomery

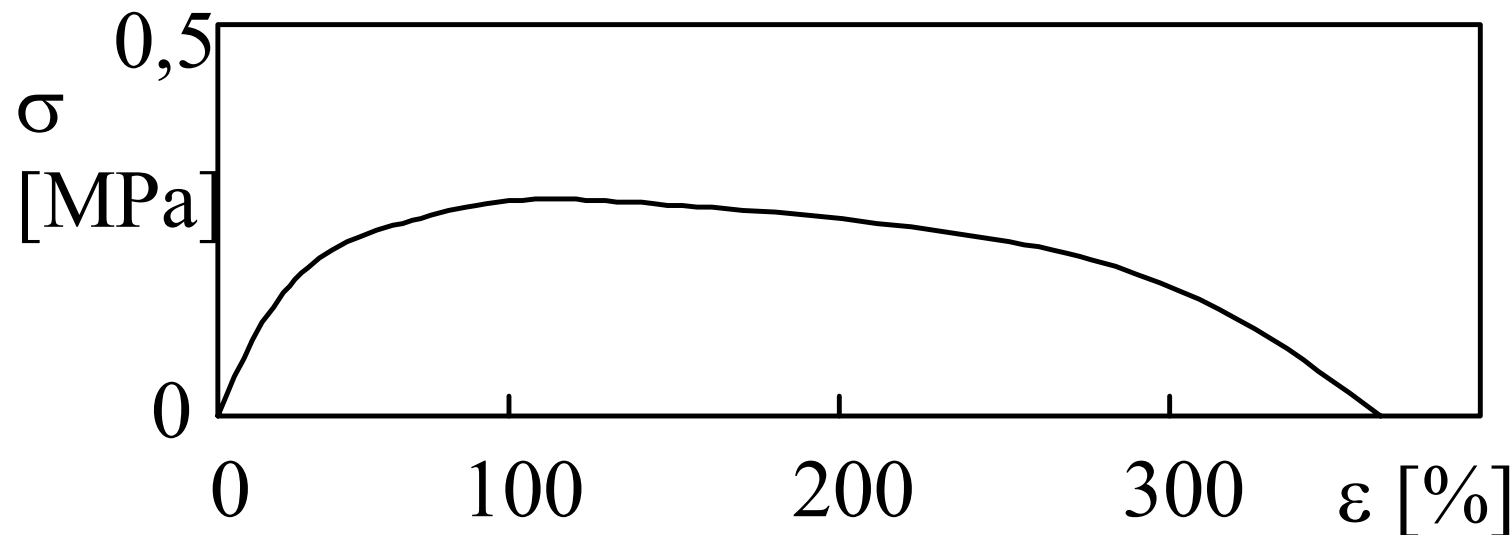
- fyzikálna väzba = spojenie dvoch blokov rôznych polymérov z ktorých jeden je pri danej teplote pod teplotou skleného prechodu a druhý nad ňou



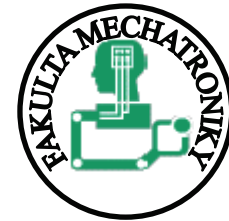
6.2 Základné mechanické vlastnosti

Elastomery - nezosietované elastomery

- veľká deformácia viskózneho typu
- použitie: ohybné fólie, tmely...



6.3 Medzné stavy



- Lom
- (Malé hodnoty modulu pružnosti + viskoelastické vlastnosti) → iné stavy ako lom
- Medzný stav → stav pri ktorom modelové teleso, vyrobené z daného materiálu a podrobene mechanickému namáhaniu, stráca schopnosť prenášať napätie, alebo keď jeho deformácia prekročí stanovený limit
(porušenie = len strata schopnosti prenášať napätie)

6.3 Medzné stavy

$$F = \sigma \cdot S$$

$$F = \sigma \cdot V/L$$

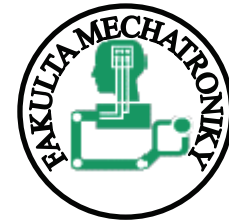
F - sila pôsobiaca na teleso

σ - napätie

S - okamžitá plocha v priereze

V - objem

L - dĺžka

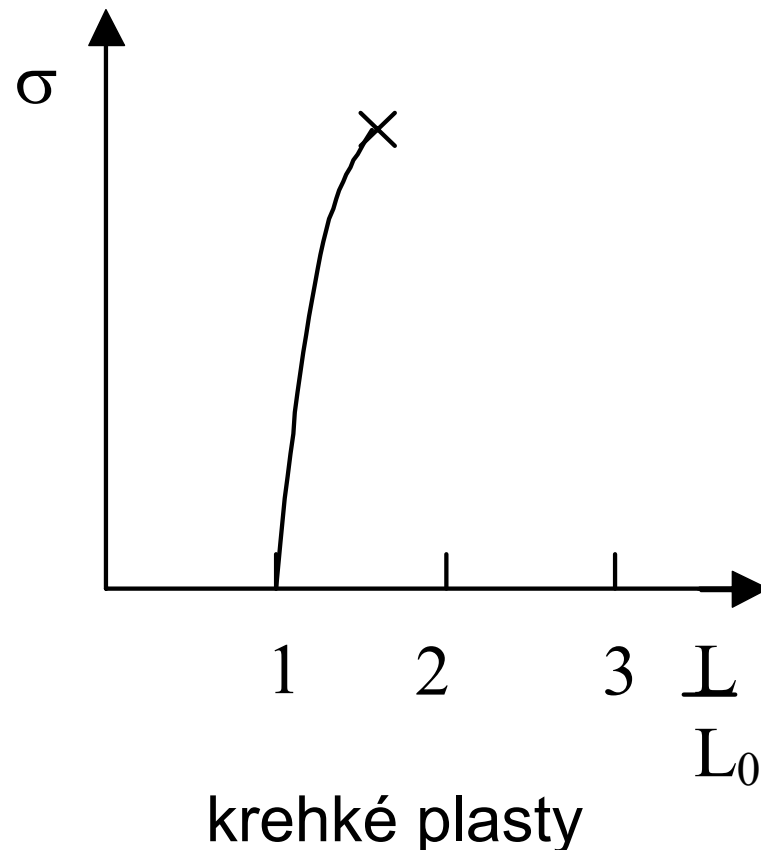


Predpoklad: objem sa pri deformácii nemení

6.3 Medzné stavy

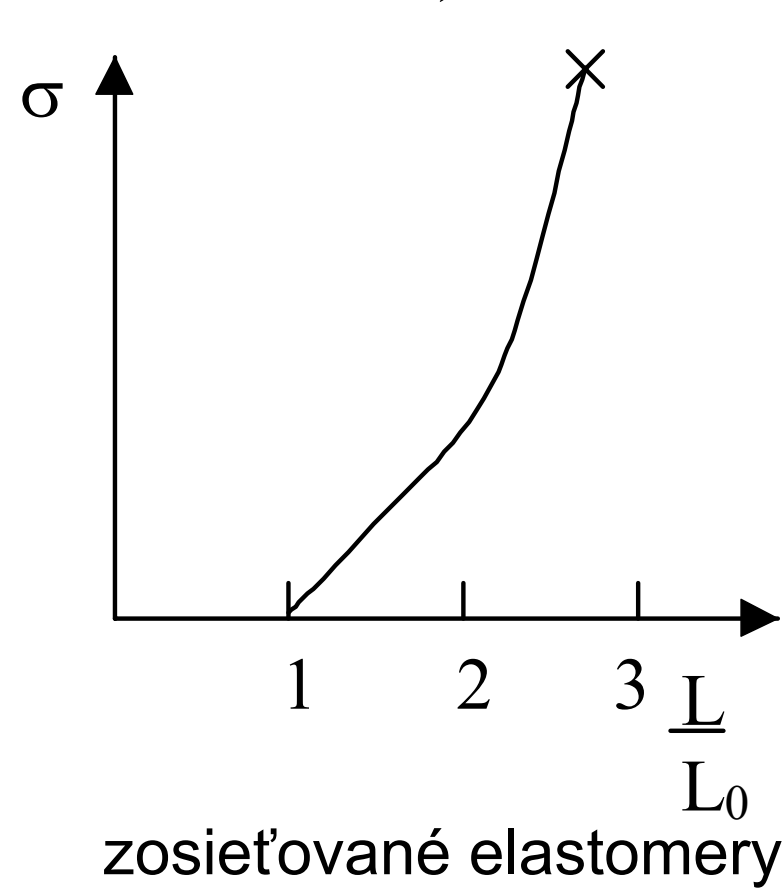


a)



krehké plasty

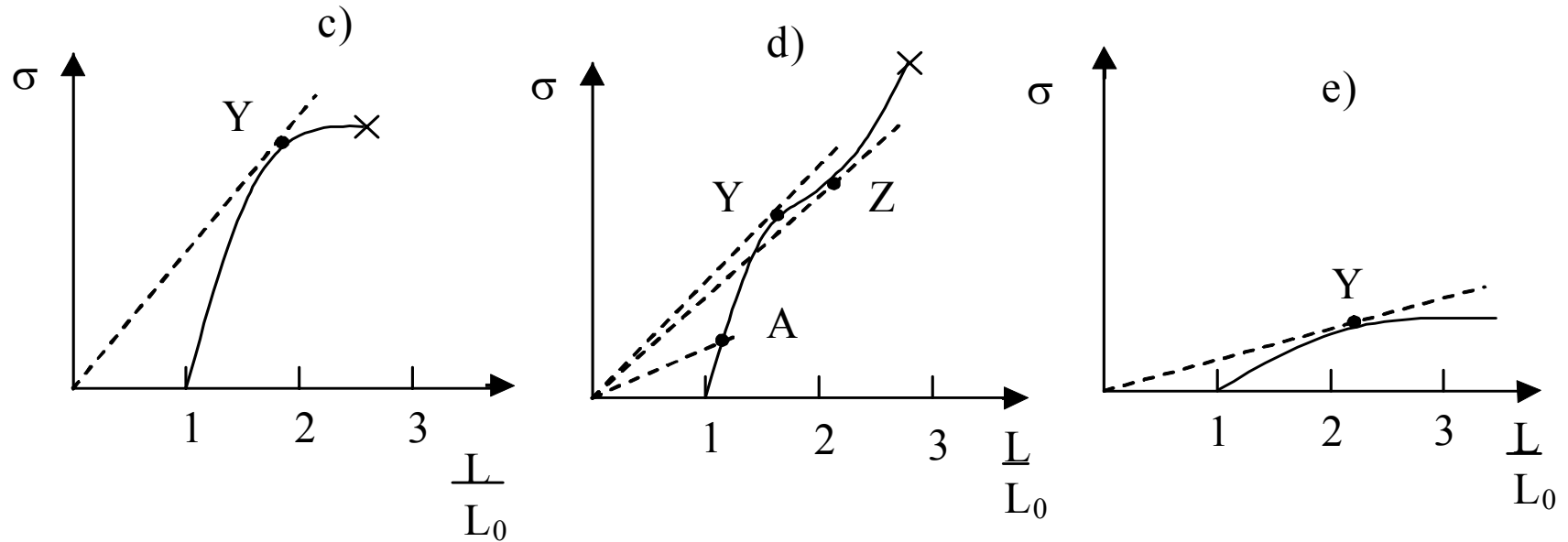
b)



zosietované elastomery

dochádza k stálemu nárastu sil → krehký (kvázikrehký) lom
teleso sa zužuje väčšinou po celej dĺžke, sila úmerná $\text{tg}\alpha$ sa stále zväčšuje

6.3 Medzné stavy



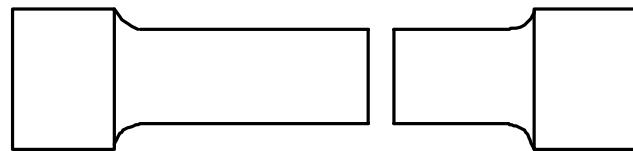
po dosiahnutí bodu Y (medza klzu) dochádza k poklesu celkovej sily. Reálna vzorka nemá všade rovnaký prierez → v mieste najužšieho prierezu sa ďalej predlžuje a zužuje

c) → končí tvárnym lomom

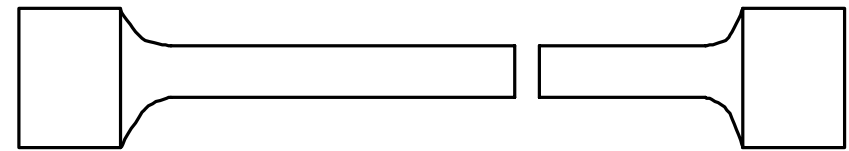
d) → proces tvorenia „krčku“ sa zastaví v bode Z, typické pre kryštalické materiály
nasleduje krehký alebo aj tvárny lom

e) → nestabilita krčku sa nezastaví → bodový lom (nezosietované elastomery)
Faktory: teplota, rýchlosť deformácie, doba namáhania...

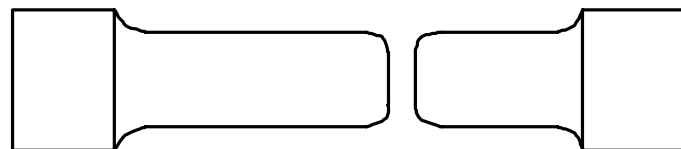
6.3 Medzné stavy



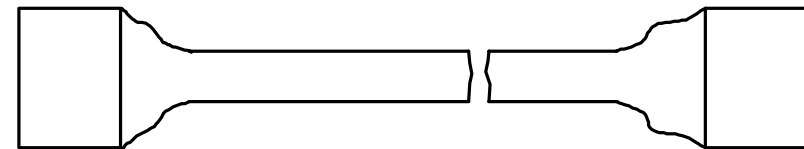
a)



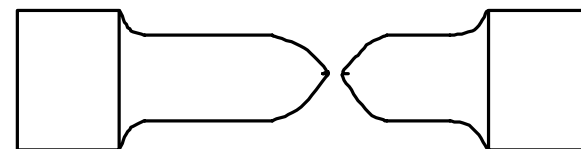
b)



c)



d)



6.3 Medzné stavy Krehký lom

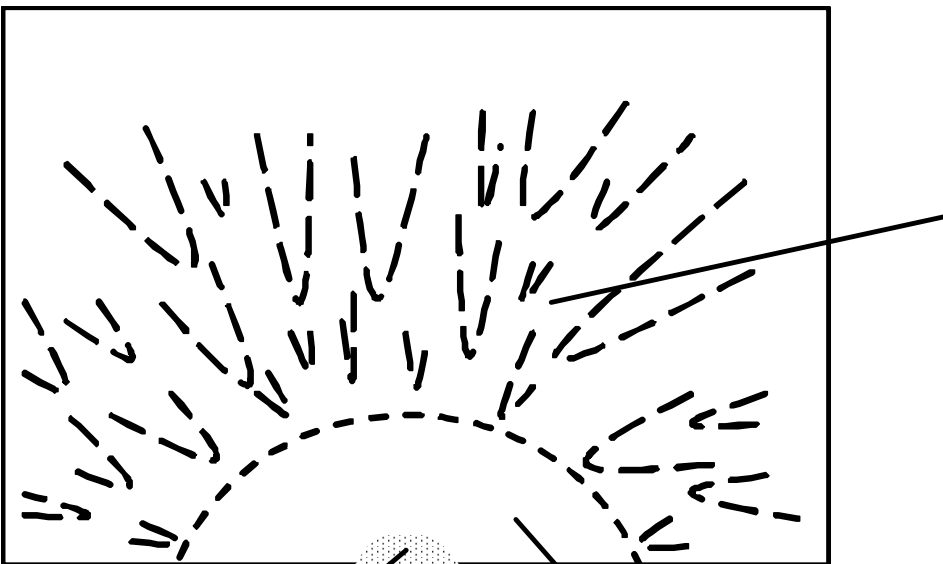


- Chýbajú rozsiahle plasticke deformácie, resp. sú potlačené
- Hlavne pri zvýšenej rýchlosi namáhania a zníženej teplote (možné aj pri malých ale časovo dlho pôsobiacich napätiach)
- Jednotná teória → neexistuje

6.3 Medzné stavy Krehký lom



- Lomová plocha:



zárodek
lomu

hrubá lomová plocha
rýchly rast

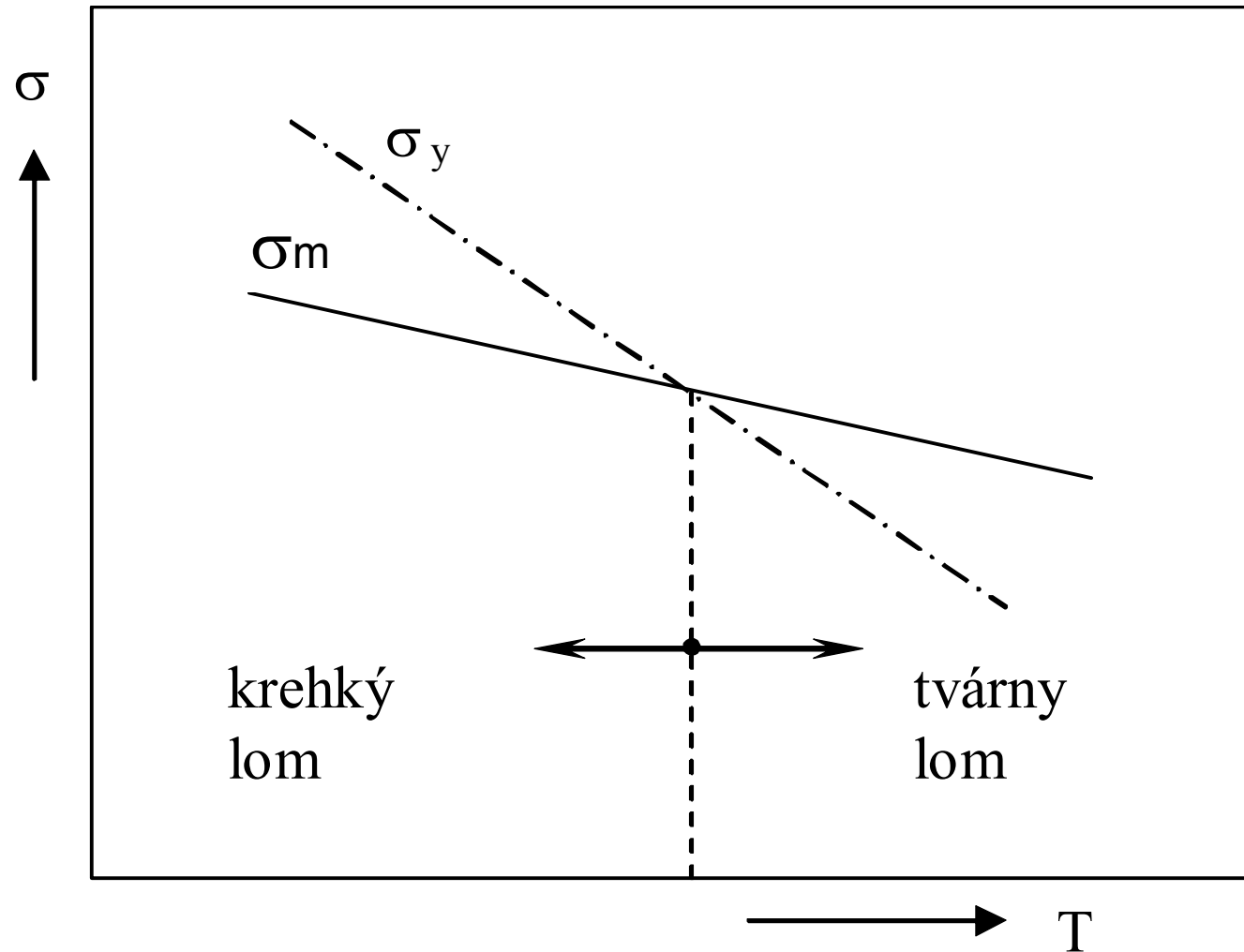
hladká lomová plocha
pomalý rast

6.3 Medzné stavy Tvrny lom



- Rozsiahle plastické deformácie
 - Výrazné zakrivenie (alebo aj pokles) ĭahovej krivky
 - Ludwig (1926) – teória, kedy nastane tvárny a kedy krehký lom na základe materiálových parametrov:
 - medza klzu σ_y
 - medza pevnosti σ_m
- faktory: teplota, rýchlosť zaťažovania, doba zaťažovania, chemické pôsobenie, hrúbka vzorku a pod.

6.3 Medzné stavy Tvárny lom



6.3 Medzné stavy Únavový lom



- Zvýšenie teploty → strata mechanickej energie (transformuje sa na tepelnú)
- Fázy:
 - vznik trhlín (geometria telesa, technológia prípravy)
 - šírenie trhlín

6.3 Medzné stavy Creepový lom

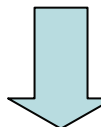


- Predovšetkým: nesietované plasty nad teplotou skleného prechodu.
- Chemické narušenie krehkých väzieb → nevratnosť procesov

6.3 Medzné stavy



Metódy zlepšenia lomových charakteristík

- Zaistenie tvárneho lomu
 - Pri deformácii nesmie dochádzať k trhaniu polymérových reťazcov
- 
- Zníženie medze klzu
 - Zaistenie homogenity materiálu
 - Potlačenie existencie mikrotrhlín, vrubov a ďalších koncentrátorov napäťia
 - Prísne dodržanie podmienok prevádzky (teplota,...)

7 Skúšanie materiálov



- Mechanické skúšky
 - Statické
 - Dynamické
 - alebo:
 - Nízke, obvyklé, vysoké teploty
- Technologické skúšky (a skúšky opotrebenia)

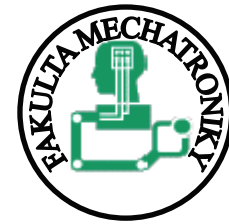
7.1 Mechanické skúšky

Statické



- Zaťaženie silou, ktorá sa pomaly a plynulo zvyšuje
- Zaznamenáva sa závislosť pôsobiacej sily a zmena rozmerov alebo tvaru telies.
- Skúška:
 - ťahom
 - tlakom
 - ohybom
 - krútením
 - strihom
 - skúšky lomovej húževnatosti
 - skúšky tvrdosti

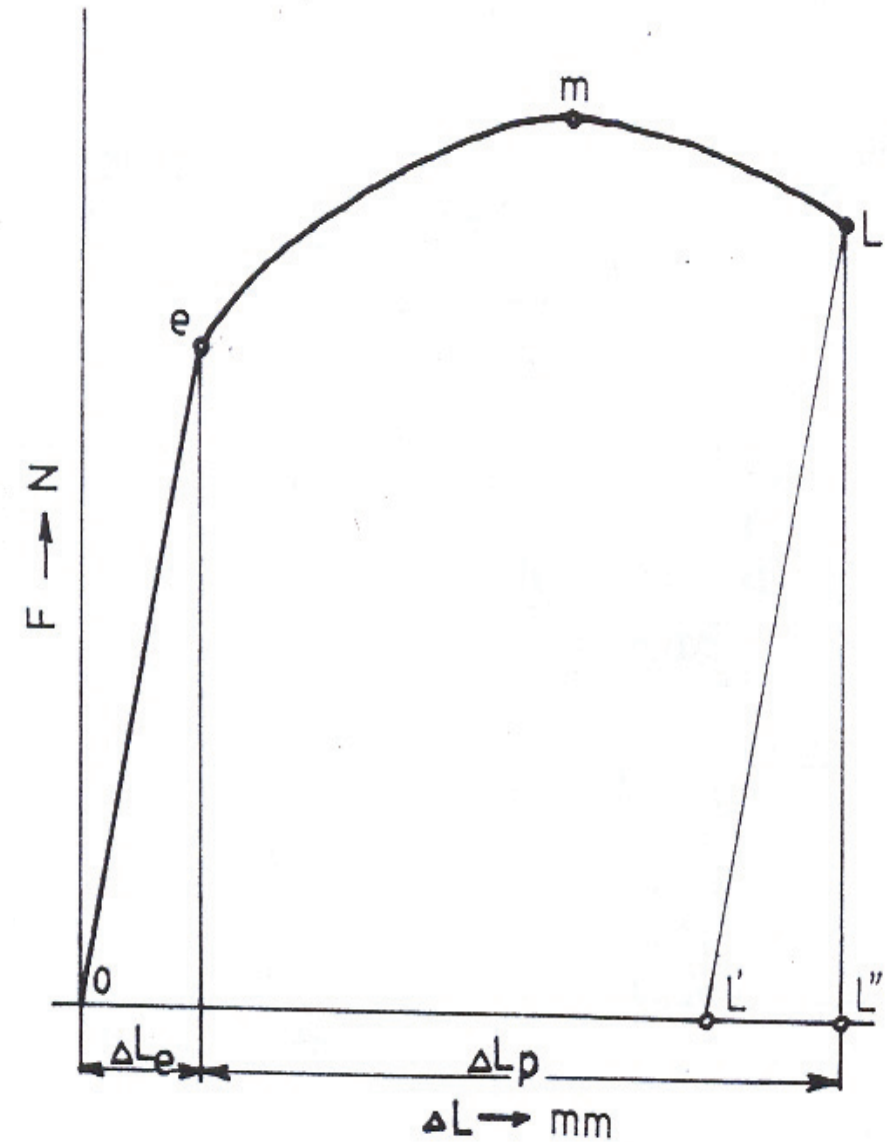
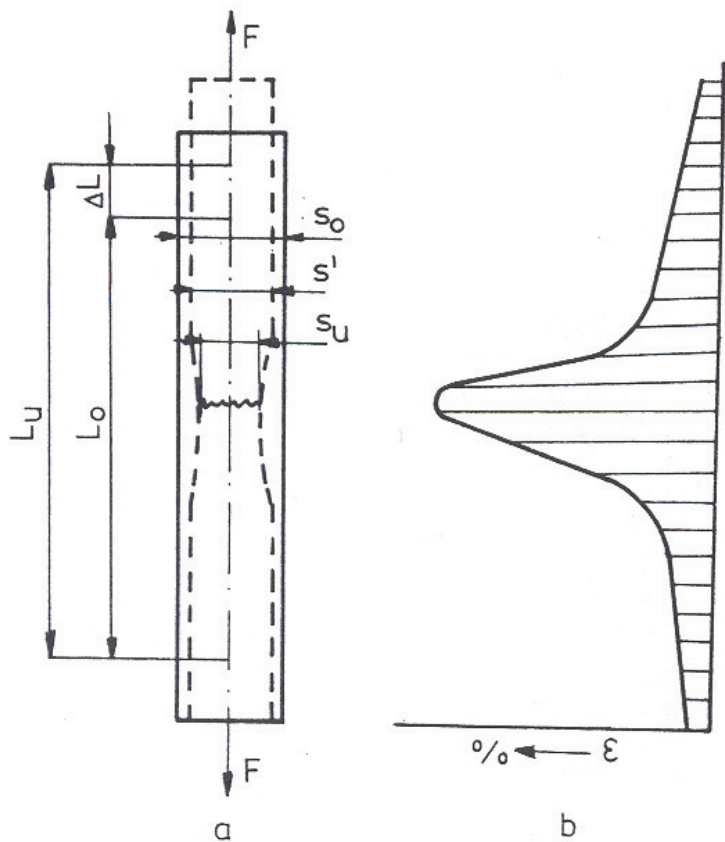
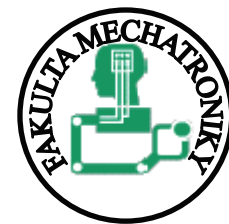
7.1 Mechanické skúšky Statické – Skúška t'ahom



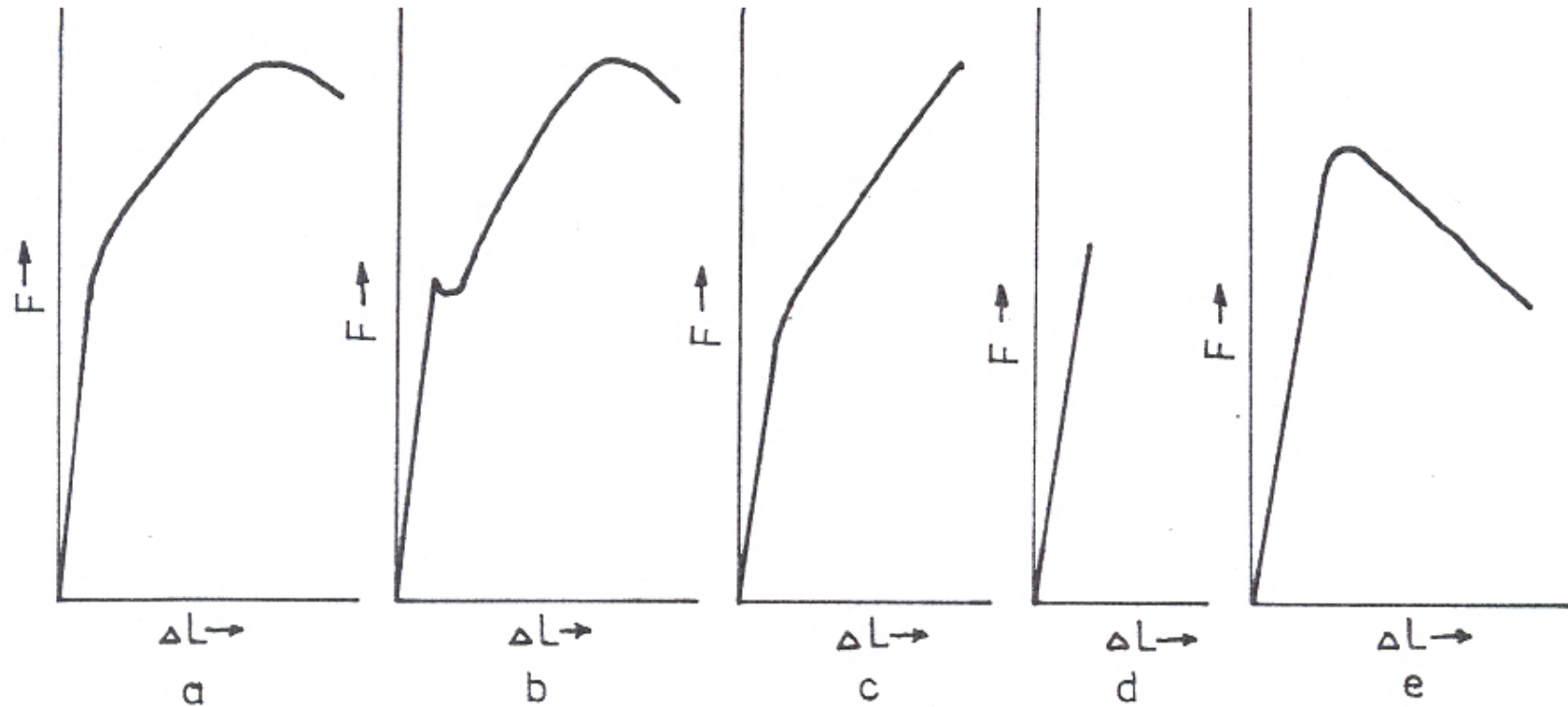
- Normalizovaná tyč
- Zaťaženie silou tak, aby vzniklo len jednoosové napätie
- Pri vzrastajúcej sile sa tyč predlžuje:
 - Najprv elasticky ΔL_e
 - Potom plasticky (bod e) ΔL_p
 - Celkové predĺženie je: $\Delta L = \Delta L_e + \Delta L_p$

7.1 Mechanické skúšky

Statické – Skúška tāhom



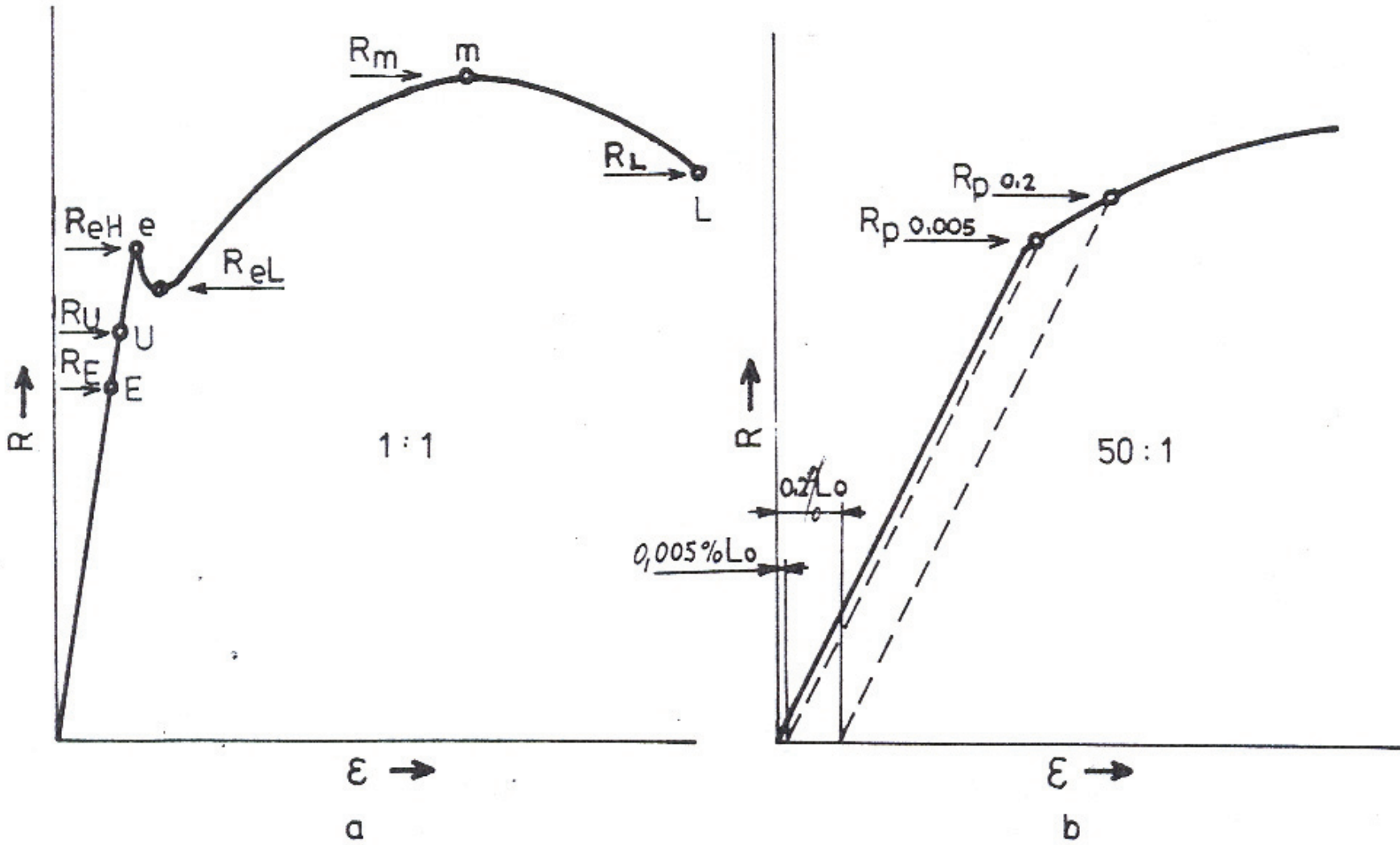
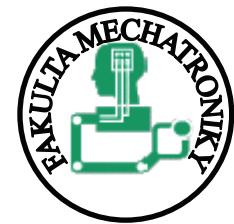
7.1 Mechanické skúšky Statické – Skúška t'ahom



- a, kubická, plošne centrovaná mriežka (med', nikel, hliník...),
- b, nízkouhlíkové ocele,
- c, intenzívne spevňovanie (niektoré ocele),
- d, krehké materiály,
- e, materiály rýchlo strácajúce schopnosť spevňovania (ocele po starnutí)

7.1 Mechanické skúšky

Statické – Skúška tāhom

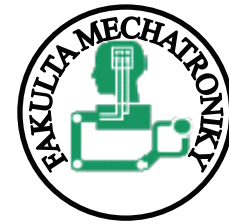


7.1 Mechanické skúšky Statické – Skúška t'ahom



- Medza pružnosti R_E – len elastická deformácia, alebo max. 0,005% plastickej defromácie (zmluvná medza pružnosti $R_{P0,005}$)
- Medza úmernosti R_U – do R_U platí $R = E \cdot \varepsilon$ (Hookov zákon) dostatočne presne
- Medza klzu R_e – Napätie, pri ktorom sa ukazovateľ vzrastu pôsobiaceho zaťaženia zastaví, alebo poklesne (horná – dolná medza klzu), resp. napätie, ktoré spôsobí 0,2% predĺženie ($R_{P0,2}$)

7.1 Mechanické skúšky Statické – Skúška t'ahom



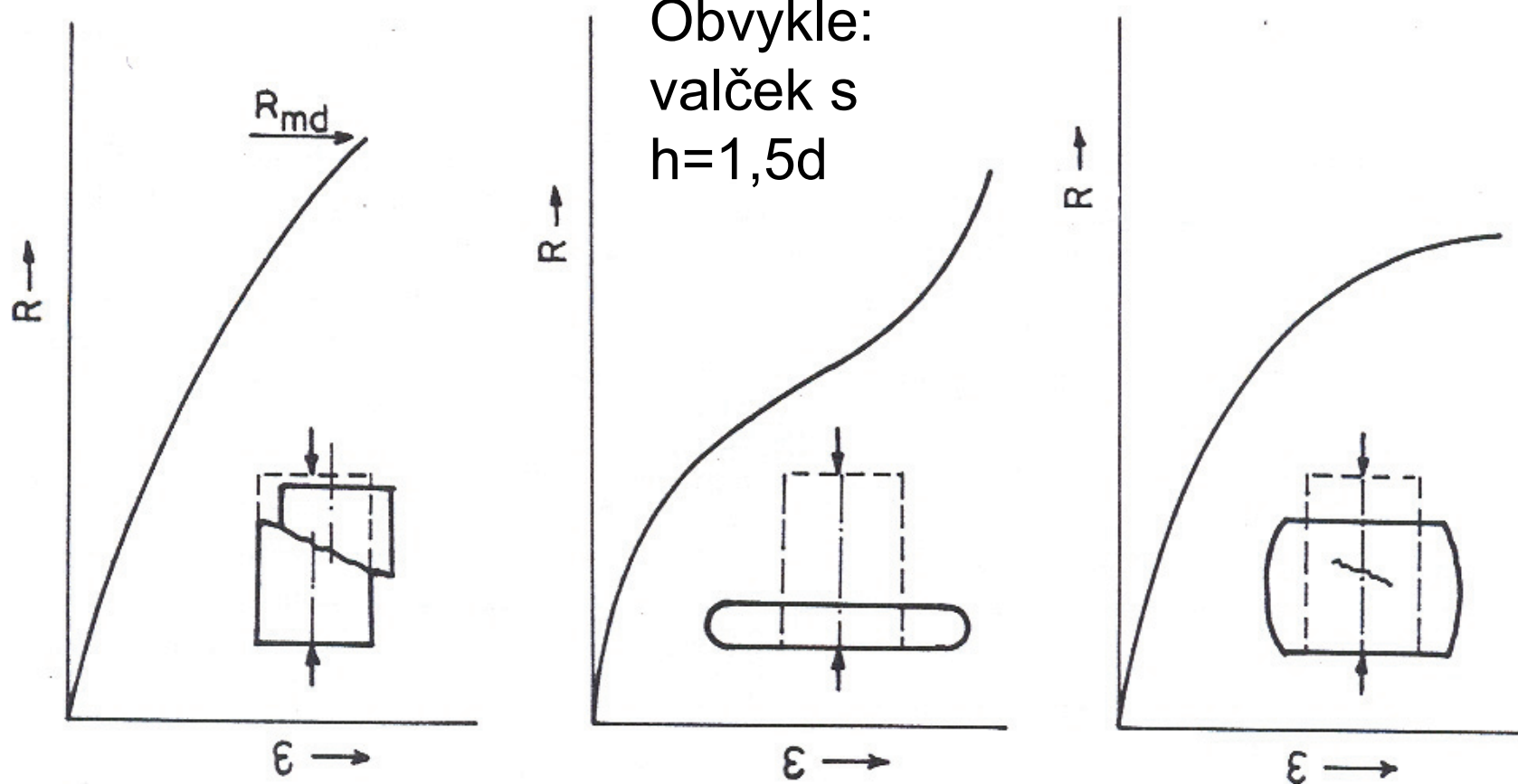
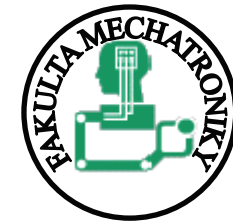
- Medza pevnosti $R_M = F_{max}/S_0$
až do tohto bodu je deformácia pozdĺž tyče rovnomerná, potom sa lokalizuje do určitého objemu → kŕčok
- t'ažnosť materiálu A (pri roztrhnutí tyče):

$$A = \frac{L_v - L_0}{L_0} \cdot 100\%$$

podľa pomeru $L_0 : d_0$ sa označuje:
 A_5 ($L_0 : d_0 = 5$) A_{10} ($L_0 : d_0 = 10$)...

7.1 Mechanické skúšky

Statické - Skúška tlakom

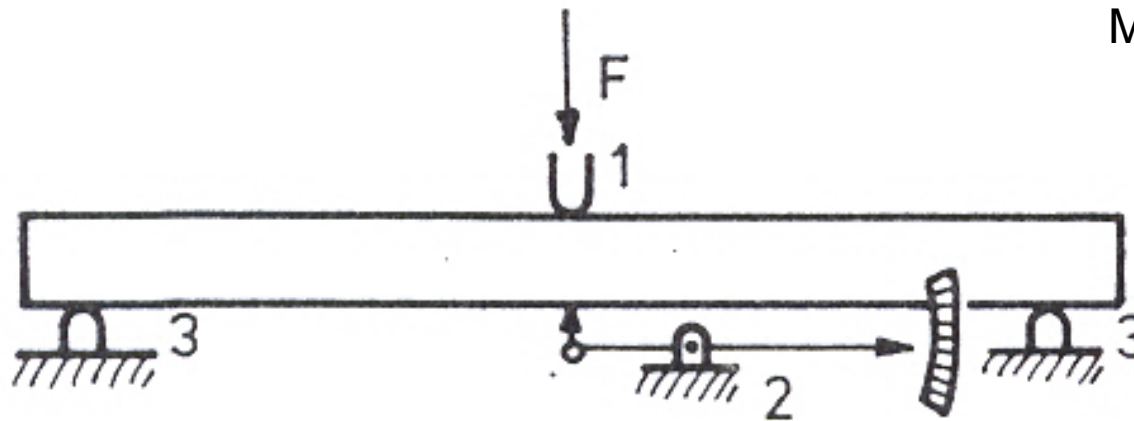
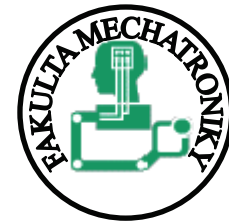


Diagramy skúšky tlakom a zmeny tvaru vzoriek po skúške

a - krehké materiály (napr. šedá liatina), b - dobre tvarovateľné materiály (napr. olovo), c - obvyklé materiály (napr. ocel, kompozícia a pod.)

7.1 Mechanické skúšky

Statické - Skúška ohybom



Medza pevnosti pri ohybe:

$$R_{mo} = \frac{M_{o\max}}{W_o}$$

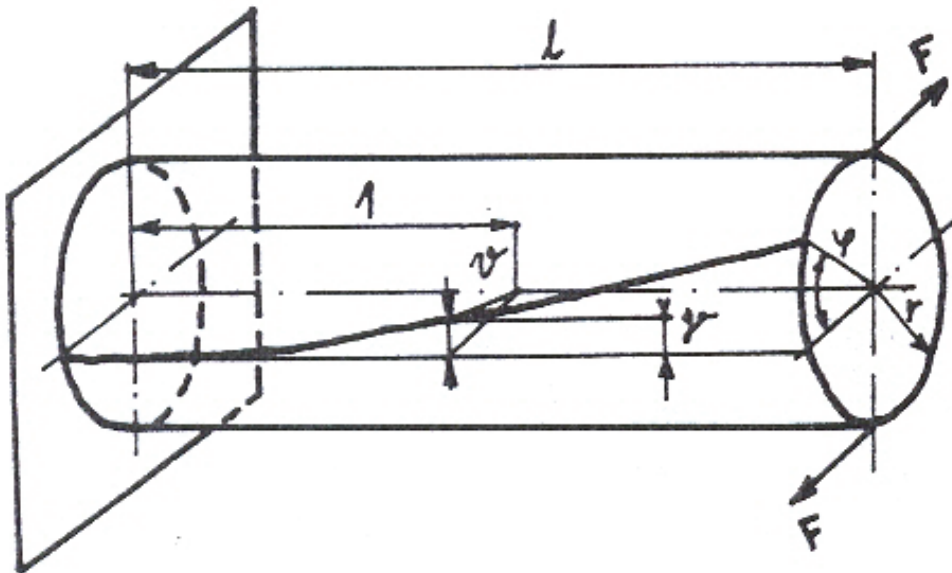
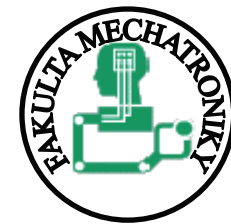
Pomerný príehyb:

Skúška ohybom šedej liatiny
1 - zatažovací trň, 2 - zariadenie
k meraniu prehybu y , 3 - podpery

$$y = \frac{Y}{l} \cdot 100\%$$

7.1 Mechanické skúšky

Statické - Skúška krútením



Pevnosti pri krútení:

$$\tau_{pk} = \frac{M_k}{W_k}$$

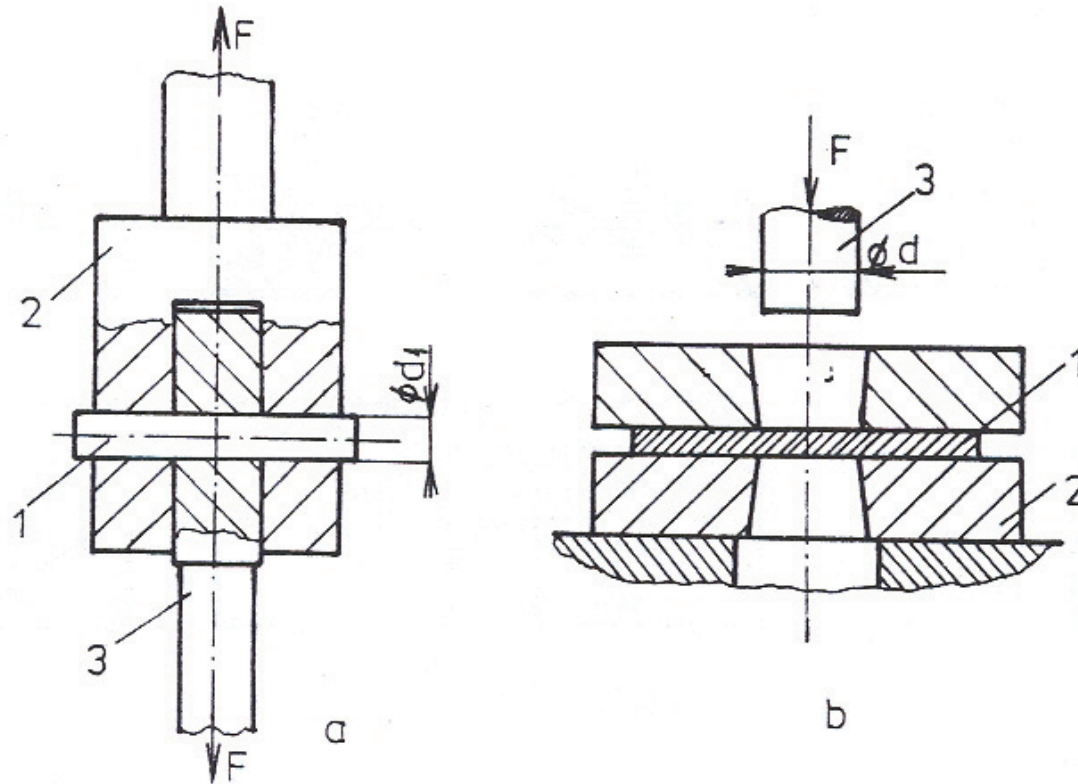
$$M_k = 2Fr$$

Pomerné skrútenie:

$$\gamma = \frac{\phi}{l} \cdot 100\%$$

7.1 Mechanické skúšky

Statické - Skúška strihom

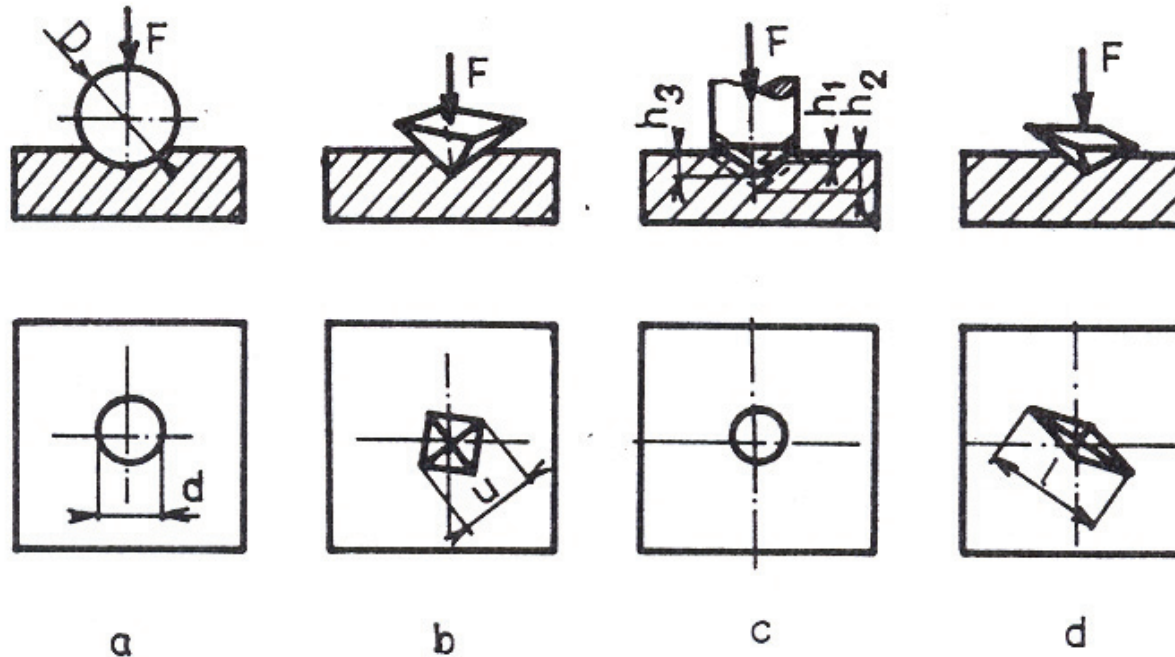
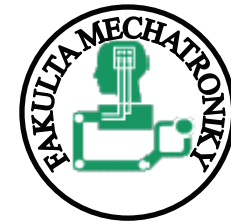


Skúška strihom

a) zariadenie pre skúšku tyčí kruhového prierezu: 1 skúšobná tyč, 2 - vidlica, 3 - tiahlo s okom; b) zariadenie pre skúšku plechu: 1 - skušaný plech, 2 - strižnica, 3 - strižník

7.1 Mechanické skúšky

Statické - Skúšky tvrdosti



Schematicke znázornenie základných skúšok tvrdosti (horné obrázky) a tvar, prípadne dôležité rozmerov vtlačkov (spodné obrázky) pre skúšku
a - podľa Brinella, b - podľa Vickera, c - podľa Rockwella, d - podľa Knoopa

7.1 Mechanické skúšky

Statické - Skúšky tvrdosti



Brinell:

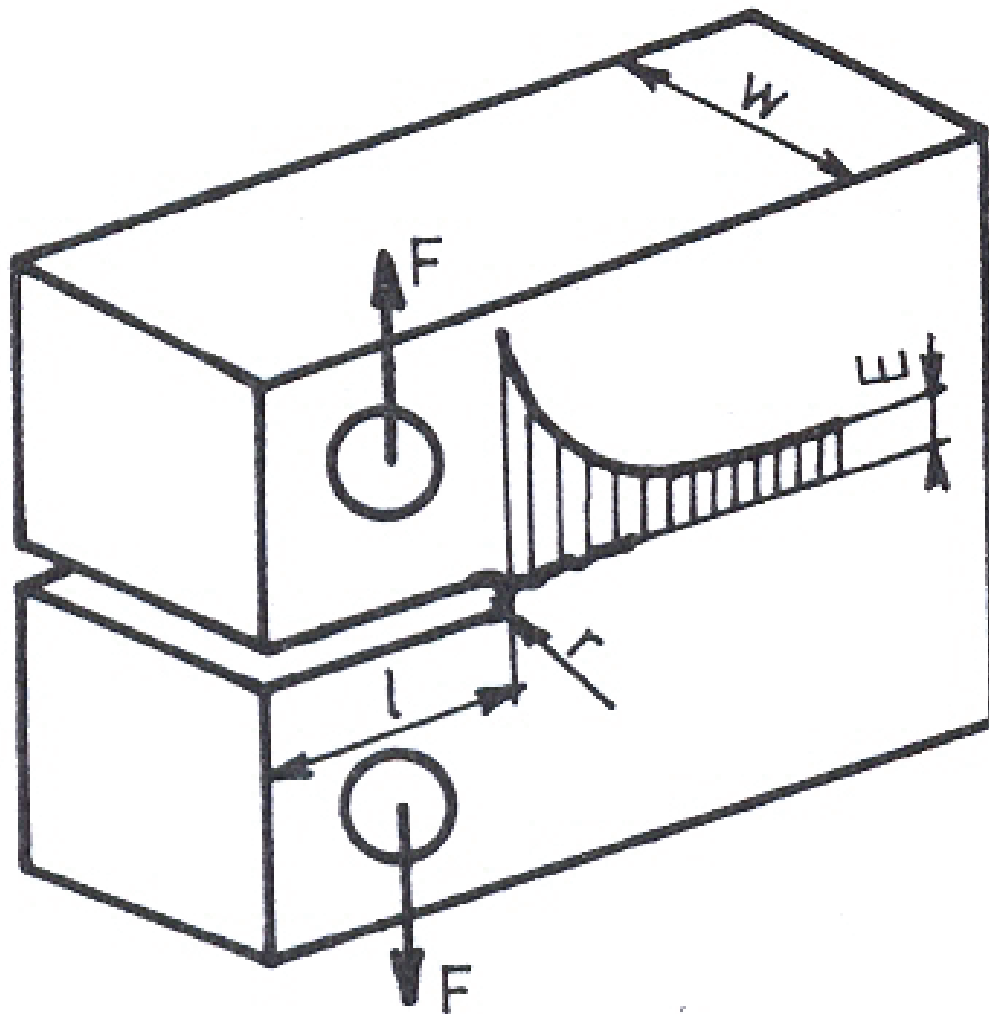
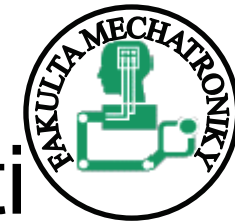
$$HB = \frac{F}{S} = \frac{2F}{\pi D(D - \sqrt{D^2 - d^2})}$$

Vickers:

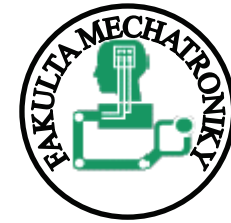
$$HV = \frac{F}{S} = 1,854 \frac{F}{u^2}$$

7.1 Mechanické skúšky

Statické – Sk. lomovej húževnatosti



7.1 Mechanické skúšky Dynamické



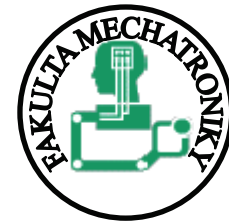
Skúška ohybom

Skúšky: krútením, t'ah, tlak...

Únavové skúšky

7.1 Mechanické skúšky

Dynamické



Skúška ohybom

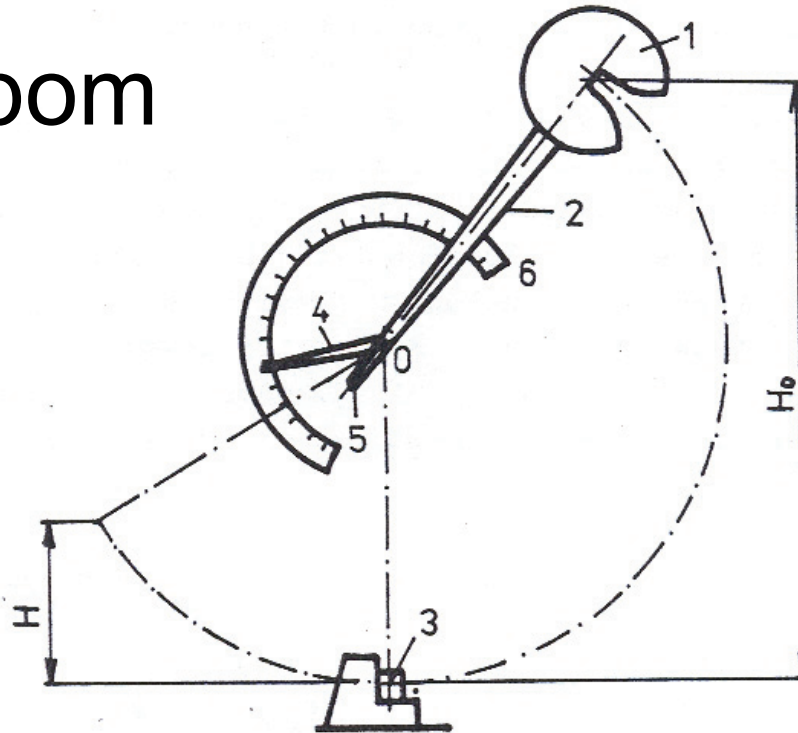
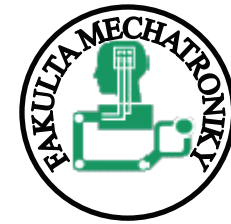


Schéma Charpyho kladiva

0 - otočná os, 1 - kladivo, 2 - kyvadlová páka, 3 - skúšaná vzorka, 4 - rúčka,
5 - unášač na predĺženom konci páky, 6 - stupnica pre určenie spotrebovanej
práce

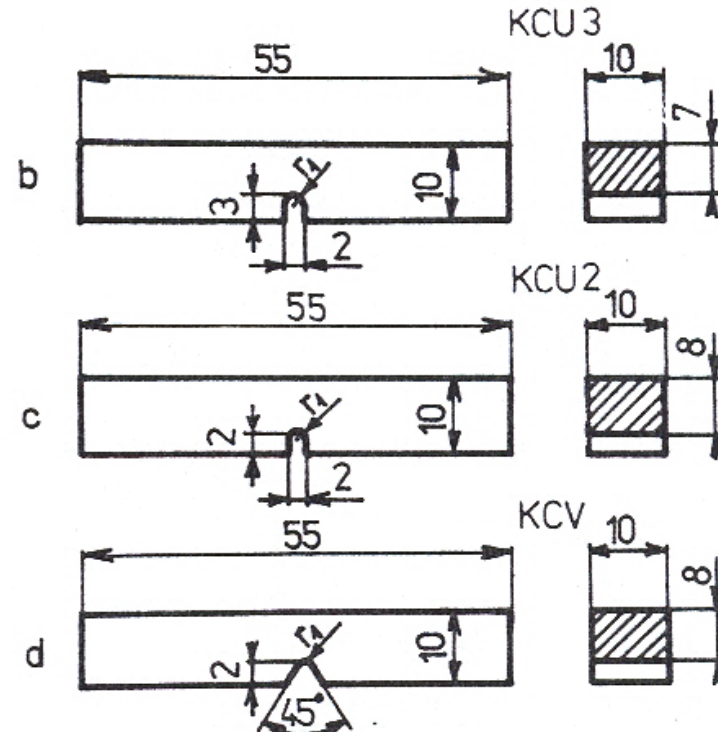
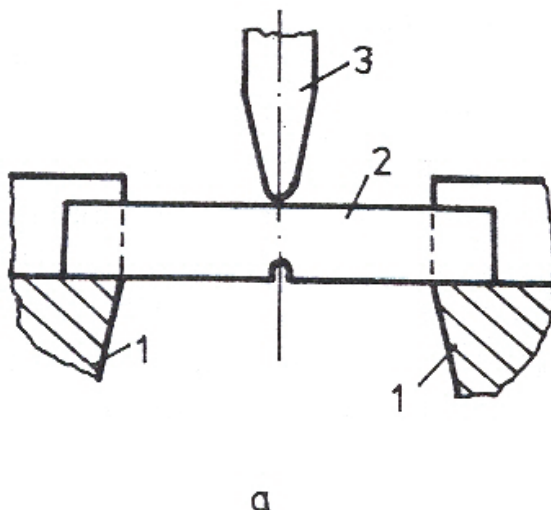
7.1 Mechanické skúšky

Dynamické



Skúška ohybom

Skúška vrubovej húževnatosti



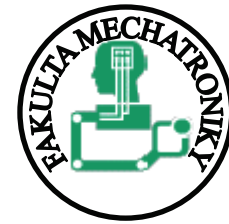
Obr. 4.15

Schéma skúšky vrubovej húževnatosti - a (1 - podpery, 2 - skúšobná vzorka, 3 - hrot kladiva) a znázornenie skúšobných telies

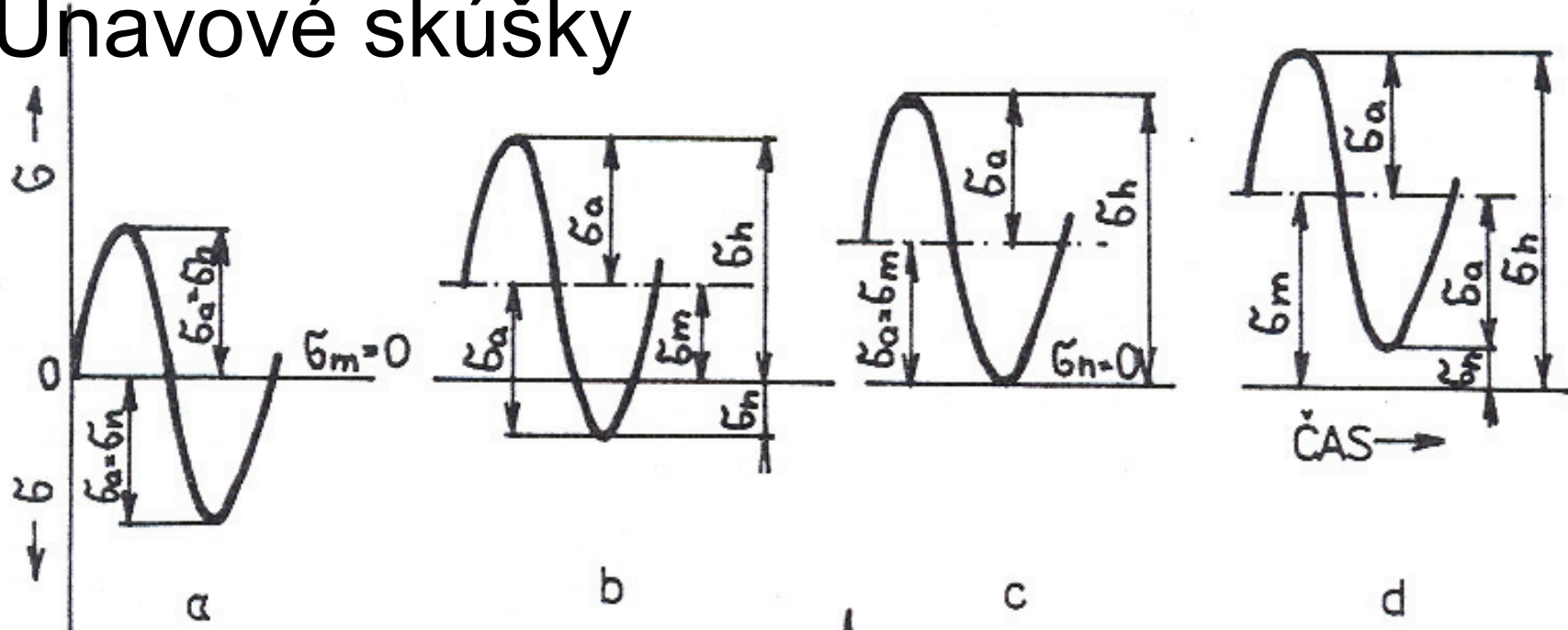
b - ČSN 42 0381.2, c - ČSN 42 0381.1 (Mesnager), d - ČSN 42 0381.5 (Charpy)

7.1 Mechanické skúšky

Dynamické

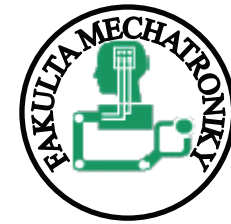


Únavové skúšky



- a, súmerný cyklus,
- b, nesúmerný cyklus,
- c, miznúci cyklus,
- d, pulzujúci cyklus.

7.2 Technologické skúšky a skúšky opotrebenia



Skúška zvariteľnosti

zaručená, zaručená podmienená,
dobrá, obtiažna

Skúšky drôtov a lán

skúška striedavým ohybom,
krútením, navíjaním

Skúšky plechov

Erichsen, Kališteková skúška, skúšky lámavosti

Skúšky rúr rozháňanie, stlačenie,...

Skúšky opotrebenia

klzné, valivé, abrazívne, erozívne,
prechod prúdu, prietok vody...

a pod. kapilárne skúšky, ultrazvuk, mikroskopia...